

*Ex. 3*  
491307

# STUDIA UNIVERSITATIS BABEŞ-BOLYAI

SERIES MATHEMATICA-PHYSICA

FASCICULUS 2

1967

C L U J

În cel de al XII-lea an de apariție (1967) *Studia Universitatis Babeș-Bolyai* cuprinde seriile:  
matematică—fizică (2 fascicule);  
chimie (2 fascicule);  
geologie—geografie (2 fascicule);  
biologie (2 fascicule);  
filozofie;  
științe economice;  
psihologie—pedagogie;  
științe juridice;  
istorie (2 fascicule);  
lingvistică—literatură (2 fascicule).

На XII году (1967) *Studia Universitatis Babeș-Bolyai* выходит следующими сериями:  
математика—физика (2 выпуска);  
химия (2 выпуска);  
геология-география (2 выпуска);  
биология (2 выпуска);  
философия;  
экономические науки;  
психология—педагогика;  
юридические науки;  
история (2 выпуска);  
языкознание—литературоведение (2 выпуска);

Dans leur XII-me année de publication (1967) les *Studia Universitatis Babeș-Bolyai* comportent les séries suivantes:  
mathématiques—physique (2 fascicules);  
chimie (2 fascicules);  
géologie—géographie (2 fascicules);  
biologie (2 fascicules);  
philosophie;  
sciences économiques;  
psychologie—pédagogie;  
sciences juridiques;  
histoire (2 fascicules);  
linguistique—littérature (2 fascicules).

STUDIA  
UNIVERSITATIS BABEŞ-BOLYAI

SERIES MATHEMATICA-PHYSICA  
FASCICULUS 2

1967

C L U J

STUDIA UNIVERSITATIS BABEŞ—BOLYAI  
Anul XII

1967

REDACTOR SEF:

**Acad. proi. C. DAICOVICIU**

REDACTORI SEFI ADJUNCȚI:

**Acad. prof. ȘT. PÉTERFI, prof. AL. ROŞCA, membru corespondent al Academiei,  
prof. I. URSU, membru corespondent al Academiei**

COMITETUL DE REDACȚIE AL SERIEI MATEMATICĂ—FIZICĂ:

**Acad prof. G. CĂLUGĂREANU (redactor responsabil), prof. GH. CHIŞ,  
prof. Z. GÁBOS, prof. D. V. IONESCU, conf. I. POP, prof. GH. PIC,  
prof. I. URSU, membru corespondent al Academiei, conf. AL. BÓDI  
(secretar de redacție), lector P. SZILÁGYI (secretar de redacție).**

**R e d a c ḥ i a :**

**CLUJ, str. M. Kogălniceanu, 1  
Telefon 1—34—50**

## S U M A R

E. ANI, Конечные непрерывные дроби (II). Целые непрерывные дроби (Fracții continue finite. II. Fracții continue întregi) . . . . .	7
W. WRONA, Sur une méthode de localisation des zéros d'un polynôme (Despre o metodă de localizare a zerourilor unui polinom) . . . . .	17
G. CĂLUGĂREANU, Considérations directes sur la génération des noeuds (II) (Considerații directe asupra generării nodurilor. II) . . . . .	25
P. KESSLER, Despre unele proprietăți ale stelelor familiilor de mulțimi . . . . .	31
C. KALIK, Despre rezolvabilitatea problemei la limită generală în semispații . . . . .	39
ȘT. I. NICZKY, Operatori iterativi (IV) . . . . .	45
GR. MOLDOVAN, O problemă de aproximare prin polinoamele lui Bernstein . . . . .	51
GH. NICULA, O formulă de cuaadratură cu 5 noduri cu gradul de exactitate 5 . . . . .	59
P. PAVEL, On the Remainder of Some Gaussian Formulae (Asupra restului unor formule de cuaadratură de tip Gauss) . . . . .	65
I. TODORAN, Asupra perioadelor binarelor fotometrice <i>AB Cassiopeiae</i> , <i>CC Herculis</i> și <i>ET Orionis</i>	71
P. BRĂDEANU, Aplicarea problemei lui Mayer-Bolza la optimizarea mișcării rachetei . . . . .	81
Z. GÁBOS, Despre polarizarea particulelor cu spinul unu . . . . .	87
O. GHERMAN, GH. STEINBRECHER, Problema relativistă a momentelor multipolare . . . . .	93
D. DEMCO, Deplasarea de frecvență datorită interacțiunilor intramolecularare și intermolecularare dipol-dipol . . . . .	99
F. KELEMEN, A. NÉDA, O metodă de impuls de căldură pentru măsurarea proprietăților termice ale probelor scurte . . . . .	107
O. POP, L. STĂNESCU, I. POP, Das Studium einiger elektrischen und magnetischen Eigenschaften des Systems $\text{Cr}_2\text{O}_3 - \text{Li}_2\text{O}$ (Studiul unor proprietăți electrice și magnetice ale sistemului $\text{Cr}_2\text{O}_3 - \text{Li}_2\text{O}$ ) . . . . .	115
V. MARIAN, Dintr-un caiet de școală al lui Pápai Páriz Ferenc . . . . .	123
M. POPESCU, E. GALIGER, Începuturile fizicii la Universitatea din Cluj. Activitatea științifică a profesorului Antoniu Abt . . . . .	133
N. VEZENTAN, Elektronenspinresonanz einiger Cu(II)-Chelatverbindungen der $\beta$ -Diketone (Kurzer Bericht). (Rezonanță electronică de spin la unii compuși chelatici ai Cu(II) cu $\beta$ -dicetone. Comunicare preliminară) . . . . .	139
 R e c e n z i i	
Joachim Lambek, Lectures on Rings and Modules (I. GY. MAURER) . . . . .	147
 C r o n i c ă	
Dezvoltarea în serie întreagă a inversei unui polinom (Rezumatul disertației susținută de NICOLAE V. GHIRCOIASIU) . . . . .	149
Sedinițe de comunicări ale Facultăților de Matematică-mecanică și Fizică în 1966 . . . . .	150
Participanți la manifestările științifice din străinătate în 1966 (Facultatea de matematică-mecanică)	151
Participanți la manifestările științifice din țară . . . . .	151
Vizite . . . . .	152

## СОДЕРЖАНИЕ

Э. ДАНИ, Конечные непрерывные дроби (II). Целые непрерывные дроби . . . . .	7
В. ВРОНА, О методе локализации нулей многочлена . . . . .	17
Г. КЭЛУГЭРЯНУ, Непосредственные соображения о генерировании узлов (II) . . . . .	25
П. КЕССЛЕР, О некоторых свойствах звёзд семейств множеств . . . . .	31
К. КАЛИК, О разрешимости общей граничной задачи в полуупространствах . . . . .	39
Ш. И. НИЦКИ, Итеративные операторы (IV) . . . . .	45
Г. МОЛДОВАН, Одна задача аппроксимации посредством многочленов Бернштейна . . . . .	51
Г. МИКУЛА, Одна квадратурная формула с 5 узлами 5-ой степени точности . . . . .	59
П. ПАВЕЛ, Об остатке некоторых формул квадратуры типа Гаусса . . . . .	65
И. ТОДОРАН, О периодах фотометрических двойных звёзд <i>AB Cassiopeia</i> , <i>CC Herculis</i> и <i>ET Orionis</i> . . . . .	71
П. БРЭДЯНУ, Применение проблемы Майера-Болза к оптимизации движения ракеты . . . . .	81
З. ГАБОШ, О поляризации частиц с единичным спином . . . . .	87
О. ГЕРМАН, Г. ШТЕЙНБРЕХЕР, Релятивистская проблема мультиполлярных моментов.	93
Д. ДЕМКО, Смещение частоты благодаря внутримолекулярным и межмолекулярным взаимодействиям диполь-диполь . . . . .	99
Ф. КЕЛЕМЕН, А. НЕДА, Метод теплового импульса для измерения термических свойств коротких образцов . . . . .	107
О. ПОП, Л. СТЭНЕСКУ, И. ПОП, Исследование некоторых электрических и магнитных свойств системы $\text{Cr}_2\text{O}_3 - \text{Li}_2\text{O}$ . . . . .	115
В. МАРИАН, О школьной тетради Папая Парижа Ференца . . . . .	123
М. ПОПЕСКУ, Е. ГАЛИГЕР, Начало преподавания физики в Клужском университете. Научная деятельность профессора Антониу Абта . . . . .	133
Н. ВЕЗЕНТАН, Электронный парамагнитный разонанс некоторых хелатных соединений $\text{Cu}(\text{II})$ с $\beta$ -дикетонами (Письмо в редакцию) . . . . .	139
Рецензии . . . . .	147
Хроника . . . . .	149

## S O M M A I R E — C O N T E N T S — I N H A L T

E. DANI, Fractions continues finies (II). Fractions continues entières . . . . .	7
W. WRONA, Sur une méthode de localisation des zéros d'un polynôme . . . . .	17
G. CĂLUGĂREANU, Considérations directes sur la génération des noeuds (II) . . . . .	25
P. KESSLER, Sur certaines propriétés des étoiles des familles d'ensembles . . . . .	31
C. KALIK, Sur la résolubilité du problème général aux limites dans les demi-espaces . . . . .	39
ȘT. I. NICZKY, Iterative Operators (IV) . . . . .	45
GR. MOLDOVAN, Un problème d'approximation par les polynômes de Bernstein . . . . .	51
GH. MICULA, A Quadrature Formula with 5 Nodes Having the Degree of Exactness 5 . . . . .	59
P. PAVEL, On the Remainder of Some Gaussian Formulae . . . . .	65
I. TODORAN, Sur les périodes des binaires photométriques <i>AB Cassiopeiae, CC Herculis et ET Orionis</i> . . . . .	71
L. BRĂDEANU, Application du problème de Mayer-Bolza à l'optimisation du mouvement d'une fusée . . . . .	81
Z. GÁBOS, On the Polarization of the Spine One Particles . . . . .	87
O. GHerman, GH. STEINBRECHER, Relativist Problem of the Multi-polar Moments . . . . .	93
D. DEMCO, Frequency Shift by the Intramolecular and Intermolecular Dipol-Dipol Interactions . . . . .	99
F. KELEMEN, A. NÉDA, A Heat Pulse Method of Measuring the Thermal Properties of the Small Samples . . . . .	107
O. POP, L. STĂNESCU, I. POP, Das Studium einiger elektrischen und magnetischen Eigenschaften des Systems $\text{Cr}_2\text{O}_3 - \text{Li}_2\text{O}$ . . . . .	115
V. MARIAN, On an Exercise-Book Belonging to Pápai Páriz Ferenc . . . . .	123
M. POPESCU, E. GALIGER, The Beginning of Teaching Physics at Cluj University. Prof. Anthony Abt's Scientific Activity . . . . .	133
N. VEZENTAN, Elektronenspinresonanz einiger Cu(II)-Chelatverbindungen der $\beta$ -Diketone . . . . .	139
 Les livres parus — Books — Bücherbesprechung . . . . .	147
 Chronique — Chronicle — Chronik . . . . .	149



## КОНЕЧНЫЕ НЕПРЕРЫВНЫЕ ДРОБИ (II)

### Целые непрерывные дроби

#### Э. ДАНИ

**1.1.** Понятия, употреблённые в работе [1] сохраняются. Множество всех целых непрерывных дробей составляет группу  $\mathcal{Q}$ , тождественную с группой матриц второго порядка с нормой-целой единицей, определённой над кольцом целых чисел. Названия: положительная целая непрерывная дробь и натуральная непрерывная дробь будут употреблены в том же смысле. Отрицательная целая непрерывная дробь —  $Z$ -противоположна положительной целой непрерывной дроби  $Z$ . Абсолютное значение  $|Z|$  положительной или отрицательной целой непрерывной дроби  $Z$  получится переходом к абсолютному значению элементов. Целая непрерывная дробь, не являющаяся ни положительной, ни отрицательной, назовём смешанной целой непрерывной дробью.

**1.2.** Группу  $\mathcal{Q}$  можно интерпретировать как область операторов  $Z$  в смысле внутренних автоморфизмов,  $ZYZ^{-1} = X$ , т.е.

$$XZ = ZY. \quad (1)$$

Автоморфная эквивалентность целых непрерывных дробей  $X$  и  $Y$ , определённая таким образом, является собственной, соответственно несобственной, поскольку автоморфизм  $Z$ -собственный, т.е.  $N(Z) = 1$ , соответственно -несобственный, т.е.  $N(Z) = -1$ .

**1.3.**  $\psi$ , соответственно  $\tau$  (в работе [1]  $T$ ) обозначают оператор перехода от данной целой непрерывной дроби  $Z$  к противоположной  $Z^\psi$  соответственно к транспонированной  $Z^\tau$ . Эти два оператора порождают группу  $\{\psi, \tau, \psi\tau\} = \{\chi\}$ .

**1.4.** Умножением соотношения (1) справа на целую непрерывную дробь  $I^{-1}$ ,

$$I = \begin{pmatrix} 0 & 1 \\ -1 & 0 \end{pmatrix}, \quad (2)$$

$I = (0)(1)(-1)(1)$ , имея в виду, что  $IZI^{-1} = N(Z)Z^{-\tau}$ , получим соотношение  $XI^{-1}N(Z)Z^{-\tau} = ZYI^{-1}$ . Это выражение, если напишем вместо  $XI^{-1}N(Z)$ , соответственно  $YI^{-1}$  коротко  $X$ , соответственно  $Y$ , примет форму  $XZ^{-\tau} = ZY$ , т.е.

$$X = ZYZ^\tau. \quad (3)$$

В смысле соотношения (3)  $\mathcal{Q}$  можно интерпретировать, как новую группу операторов, именно симметрических преобразований. Преобразованное обозначим  $Y^z = X$ . Замечаем, что симметрические преобразования  $Z$  с преобразованиями  $\chi$  коммутативны.

Симметрическая эквивалентность  $X \sim Y$ , в зависимости от симметрического преобразования, является, как и автоморфная эквивалентность, собственной, соответственно несобственной.

2.1. Полугруппа  $\mathcal{H}$  натуральных непрерывных дробей с точки зрения делимости ведёт себя, как свободная полугруппа.

2.2. Натуральная непрерывная дробь  $P(Z)$  кратчайшей длины со свойством, что степень её равна натуральной непрерывной дроби  $Z$ , называется её периодом.

2.3. Обозначим через  $\rho$  перестановку, которая переносит первый неприводимый множитель натуральной (или вообще целой) непрерывной дроби за последний неприводимый множитель. Преобразованное обозначим  $Z^\rho$ . Замечаем, что  $\rho \neq \tau$ . Перестановка  $\rho$  в связи с натуральной непрерывной дробью  $Z$  порождает циклическую группу  $\{\rho\}$  порядка  $L(P(Z))$ .

2.4. Для фиксированного  $X \in \mathcal{K}$  и неизвестных  $Y, Z \in \mathcal{K}$ , уравнение (1) имеет общее решение  $Y = X^{\rho^m}$ ,  $Z = P^v(X)P_{(m)}(X)$ ,  $0 \leq m \leq L(P(X)) - 1$ ,  $v \geq 0$ , где степень  $P^0(X)$  и частичное произведение  $P_{(0)}(X)$  считаются пустыми символами.

Замечаем, что индекс частичної непрерывной дроби написан в скобках, чтобы отличить его от других индексов, употреблённых в работе.

2.5. Тождество формы (1) влечёт за собой подобное  $Z'X = YZ'$ , где  $Z' = (P^{\rho^m}(X))_{(n-m)}P^v(X)$ ,  $0 \leq m \leq L(P(X)) - 1$ ,  $v \geq 0$ .

2.6. Класс  $C_X$  автоморфно-эквивалентных натуральных непрерывных дробей содержит  $L(P(X))$  элементов формы  $X^{\rho^m}$ ,  $0 \leq m \leq L(P(X)) - 1$ .

2.7. Если  $N(P(X)) = -1$ , тогда  $C_X$  в то же время – класс собственно-эквивалентных натуральных непрерывных дробей. Если  $N(P(X)) = 1$ , тогда класс  $C_X$ -объединение двух таких классов  $C_X$  и  $C_{X^\rho}$ , соответствующих двум смежным классам фактор-группы  $\{\rho\} / \{\rho^2\}$ .

3.1. Множество всех целых непрерывных дробей с элементами-неотрицательными целыми числами составляет полугруппу  $\mathcal{H}_0$ , в которой каждый элемент имеет однозначное разложение в одну из форм (0),  $E$ ,  $Z$ ,  $(0)Z$ ,  $Z(0)$ ,  $(0)Z(0)$ , где  $Z$ -натуральная непрерывная дробь. На основе канонической формы натуральной непрерывной дроби умножение производится соответственно формуле  $(q')(0)(q'') = (q' + q'')$ .

3.2. Целую непрерывную дробь  $Z$  можно преобразовать, пригодно выбраным оператором,  $\theta \in \{\pm \chi\}$ , в целую непрерывную дробь  $Z^\theta$ , которая или элемент из  $\mathcal{H}_0$  или, учитывая только знак элементов, имеет форму

$$\begin{pmatrix} - & + \\ - & + \end{pmatrix}. \quad (4)$$

Замечаем, что каждый элемент нуль выбран с соответствующим знаком.

3.3. Изучим тождество  $XZ = \pm ZY$ , где  $X, Y \in \mathcal{K}$  и  $Z \in \mathcal{Q}$ . Имеет место следование  $XZ = \pm ZY \Leftrightarrow X^*Z^0 = \pm Z^0Y^*$ , где можно предположить, что

$\{X^*, Y^*\} \in \{(X, Y), \{Y, X\}\}$ ,  $0 \in \{\pm 1, \pm \psi\}$ , когда  $Z^0 \in \mathcal{K}_0$  и  $\{X^*, Y^*\} \in \{(X, Y), \{Y^*, X^*\}\}$ ,  $0 \in \{\chi\}$ , когда  $Z^0 \notin \mathcal{K}_0$ . Обозначим снова пару  $\{X^*, Y^*\}$  натуральных непрерывных дробей через  $\{X, Y\}$  и изучим тождество  $XZ^0 = \pm Z^0Y$ . Пусть по предположению  $Z^0 \notin \mathcal{K}_0$ . Умножением изучаемого тождества справа на  $I^{-1}$  выведем  $XZ^0I^{-1}Y^* = \pm N(Y)Z^0I^{-1}$ . Из  $X, Y \in \mathcal{K}$ ,  $Z^0I^{-1} \in \mathcal{K}_0$  следует  $XZ^0I^{-1}Y^* \in \mathcal{K}$ , итак,  $\pm N(Y) = 1$  и  $Z^0I^{-1} \in \mathcal{K}$ . Однако натуральная непрерывная дробь  $Z^0I^{-1}$  не может иметь и отличную вторую каноническую форму  $XZ^0I^{-1}Y^*$ , откуда следует, что  $Z^0 \in \mathcal{K}_0$ . Следовательно соответствует только знак плюс во втором члене тождества и  $Z^0 = E$  или  $Z^0 \in \mathcal{K}$ .

3.4. Для фиксированного  $X \in \mathcal{K}$ , и неизвестных  $Y \in \mathcal{K}$  и  $Z \in \mathcal{Q}$ , общее решение уравнения (1) - это  $Y = X^{p''}, Z = \pm P'(X)P_{(m)}(X)$ ,  $0 \leq m \leq L(P(X)) - 1$ ,  $p$ -целое.

4.1. Для данного  $X \in \mathcal{G}$ ,  $\pm X \notin \mathcal{K}$ ,  $X \neq \pm I$ , можно определить положительное или отрицательное ядро  $Y$ ,  $|Y| \in \mathcal{K}$ , как и соответствующее партикулярное симметрическое преобразование  $A \in \mathcal{G}$ ,  $X = Y^A$ .

Обозначим (сравнить с обозначением (2) [1])

$$X = \begin{pmatrix} x_1 & x_2 \\ x_3 & x_4 \end{pmatrix}. \quad (5)$$

Пусть  $i = 1$ , для  $x_1 \neq 0$  или  $x_1 = x_4 = 0$ ,  $i = 4$  для  $x_1 = 0$ ,  $x_4 \neq 0$ ;  $\delta = 1$  для  $N(X) = 1$  или  $|x_i| \neq 0$ ,  $\delta = 2$  для  $N(X) = -1$ , и  $|x_i| = 1$ ;  $q = |\lfloor \min\{x_2 \operatorname{sgn} x_i, x_3 \operatorname{sgn} x_i\} : |x_i|\rfloor| + \delta$  для  $x_1 \neq 0$  или  $x_4 \neq 0$  и  $q = 1$  для  $x_1 = x_4 = 0$ .

Можно проверить, что

$$Y = \begin{pmatrix} x_1 & & & \\ & x_2 + \frac{1 + (-1)^i}{2} + x_i q & & \\ & & x_{5-i} + (x_2 + x_3)q + x_i i^2 & \\ x_2 + \frac{1 + (-1)^i}{2} + x_i q & & & \end{pmatrix} \quad (6)$$

-положительная или отрицательная целая непрерывная дробь, которая вместе с  $A = (0)^{i-1}(-q)(0)$  удовлетворяют уравнению (3).

Чтобы включить и случай  $\pm X \in \mathcal{K}$ , возьмём  $Y = X$  и  $A = E$ .

4.2. Целые непрерывные дроби  $X = \pm I$  позволяют только сами себя, как ядро, так как соотношение (3) удовлетворено тождественно с  $Y = N(A)X$  и с любым  $Z = A$ .

5.1. Для данного минимального ядра  $K \in \mathcal{K}$ ,  $D(K) = -k$ :  $k \geq 1$  для  $N(K) = -1$  и  $k \geq 3$  для  $N(K) = 1$ , можно определить ядро  $GI \in \mathcal{Q}$ ,  $G \in \mathcal{K}$  формы (4), как и соответствующее партикулярное симметрическое преобразование  $F$ ,  $K = (GI)^F$ .

Согласно характеристикам  $\{n, q_1 - q_n, q_{n-1}\}$  натуральной непрерывной дроби  $K = (q_1) \dots (q_n)$ , значения  $F$  и  $G$  можно найти в таблице 1. Тождества  $K = (GI)^F$  таблицы 1 можно построить индуктивным путём на основе результатов работы [1] (на основе леммы 4, которая даст нам форму минимальных ядер натуральных непрерывных дробей), но их можно проверить и дедуктивно, вычислением.

Таблица 1

$K = (q_1) \dots (q_n)$			$K = FGIF^\tau$	
$n$	$q_1 - q_n$	$q_{n-1}$	$F$	$G$
2	$\geq 3$		$(q_1 - 1)$	$(1)(q_1 - q_2 - 2)$
	1		$(q_1)(-1)(0)$	$(q_2)$
3	$\geq 2$	1	$(q_1 + 1)$	$(q_1 - q_3)$
	$\geq 2$	$\geq 2$	$(q_1)$	$(q_2 - 1)(1)(q_1 - q_3 - 1)$
4	1	$\geq 2$	$(q_1)(-1)(0)$	$(q_2 + 1)(q_3 - 1)$
	$\geq 2$	1		$(q_2 + 1)(q_1 - q_4 - 1)$
$\geq 4$	$\geq 2$	$\geq 2$	$(q_1)$	$(q_2) \dots (q_{n-2})(q_{n-1} - 1)(1)(q_1 - q_n - 1)$
	1	1	$(q_1)(-q_3 - 1)(0)$	$(q_2 + q_3 + 1)$
$\geq 5$	1	$\geq 2$	$(q_1)(-1)(0)$	$(q_2 + 1)(q_3) \dots (q_{n-2})(q_{n-1} - 1)$
	$\geq 2$	1	$(q_1)$	$(q_2) \dots (q_{n-3})(q_{n-2} + 1)(q_1 - q_n - 1)$
$\geq 6$	1	1	$(q_1)(-q_{n-2} - 1)(0)$	$(q_2 + q_{n-2} + 1)(q_3) \dots (q_{n-3})$

Таблица 2

$K = FGIF^\tau$	$GI = HGIF^\tau$		
$K$	$F$	$G$	$H$
$(q_1) q_1 \equiv 0 \pmod{2}$	$\begin{pmatrix} q_1 \\ 2 \end{pmatrix}$	$\begin{pmatrix} 1 & 0 \\ 0 & -1 \end{pmatrix}$	$\pm \begin{pmatrix} 0 & 1 \\ 1 & 0 \end{pmatrix}^v, v \in \{0, 1\}$
$(q_1) q_1 \equiv 1 \pmod{2}$	$\left( \frac{q_1 - 1}{2} \right)(0)$	$\begin{pmatrix} 1 & 0 \\ 1 & -1 \end{pmatrix}$	$\pm \begin{pmatrix} 1 & -2 \\ 0 & -1 \end{pmatrix}^v, v \in \{0, 1\}$
$(q_1)(q_1)$		$\begin{pmatrix} 0 & -1 \\ 1 & 0 \end{pmatrix}$	$\pm \begin{pmatrix} 0 & 1 \\ 1 & 0 \end{pmatrix}, \pm \begin{pmatrix} 1 & 0 \\ 0 & -1 \end{pmatrix}, \begin{pmatrix} 0 & -1 \\ 1 & 0 \end{pmatrix}^v, v \in \{0, 1, 2, 3\}$
$(q_1)(q_1 - 1)$	$(q_1)$	$\begin{pmatrix} 0 & -1 \\ 1 & 1 \end{pmatrix}$	$\pm \begin{pmatrix} 0 & -1 \\ 1 & 1 \end{pmatrix}^v, v \in \{0, \dots, 5\}$
$(q_1)(q_1 - 2)$		$\begin{pmatrix} 0 & -1 \\ 1 & 2 \end{pmatrix}$	$\pm \begin{pmatrix} 0 & -1 \\ 1 & 2 \end{pmatrix}^v, v \in \{0, \pm 1, \pm 2, \dots\}$
$(q_1)(q_2)(1)(q_1 - 1)$		$\begin{pmatrix} 1 & 0 \\ q_2 + 1 & 1 \end{pmatrix}$	$\begin{pmatrix} 1 & 0 \\ 1 & 1 \end{pmatrix}^v, v \in \{0, \pm 1, \pm 2, \dots\}$

5.2. Если  $L(G) \geq 2$ ,  $G = (q)G'$ , то имеет место соотношение

$$q = \frac{k + g'_2 - g'_3}{g'_4}. \quad (7)$$

Минимальные ядра  $K$ , для которых  $L(G) = 1$ , т.е.  $G = (k)$  соответственно  $L(G) \geq 2$  и  $g'_4 = 1$ , т.е.  $G = (1)(k-2)$ , принадлежат тому же классу симметрически-эквивалентных натуральных непрерывных дробей, который называется главным классом. Остальные минимальные ядра не принадлежат этому классу. Множество минимальных ядер  $K$ , принадлежащих главному классу, как и их транспонированные для неопределенного  $k$ , - это множество натуральных минимальных ядер-многочленов от  $k$  с элементами - многочленами, определенными над кольцом целых чисел, которые для  $k \geq k_0$ , где  $k_0$  фиксировано от случая к случаю, принимает значение в  $\mathcal{H}$  (см. теорему 2 [1]).

5.3. Элементы  $g_2$  и  $g_3$  натуральной непрерывной дроби  $G$ -нуклеоны, но ни один из них не является обязательно нуклеоном минимального ядра  $K$  (см. теорему 1 [1]).

6.1. Для данного минимального ядра  $K$ ,  $D(K) = -k$ ;  $k = 0$  для  $N(K) = -1$  и  $k = 0, 1, 2$  для  $N(K) = 1$ , имеем только типы таблицы 2.

6.2. Целые непрерывные дроби  $K$ ,  $G$  и  $F$  таблицы 2 удовлетворяют тождеству  $K = (GI)^F$ .

6.3. Целые непрерывные дроби  $H$  таблицы 2 составляют общее решение уравнения симметрической автоэквивалентности целой непрерывной дроби  $GI$ ,  $GI = (GI)^H$ .

7.1. Приведение целых непрерывных дробей состоит в способе, по которому данная целая непрерывная дробь  $X$  выражается ядром  $V$ , представительным элементом класса  $C_X$ , определенным единственным образом. Соответствующее общее симметрическое преобразование обозначим через  $Z = Z_0 H$ ,  $X = V^Z$ , где  $Z_0$ -партикулярное симметрическое преобразование, а  $H$ -общее решение уравнения симметрической автоэквивалентности, связанной с целой непрерывной дробью  $V$ ,  $V = V^H$ .

7.2. Целые непрерывные дроби  $X = \pm I$  составляют единственный класс и, взяв, как представительный элемент  $V = I$  в соотношении  $X = V^Z$  целая непрерывная дробь  $Z$  выполняет единственное условие  $N(Z) = 1$  для  $X = I$  и  $N(Z) = -1$  для  $X = -I$ .

7.3. Для любой положительной или отрицательной целой непрерывной дроби  $Y$ ,  $|Y| \in \mathcal{H}$ , согласно канонической форме  $|Y|$ , можно определить единственным образом ядро  $U$ ,  $|U| \in \mathcal{H}$ , минимальное в абсолютном значении, как и партикулярное симметрическое преобразование  $B = E$  или  $B \in \mathcal{H}$ ,  $Y = U^B$ .

7.4. Для любого положительного или отрицательного ядра  $U$ ,  $|U| \in \mathcal{H}$ , минимального в абсолютном значении, можно определить единственным образом определенное ядро  $V$ , представительный элемент класса  $C_U$ , как и партикулярное симметрическое преобразование  $C$ ,  $U = V^C$ .

7.5. Построим целые непрерывные дроби  $V$ ,  $C$  и  $H$  в случае  $k \geq 1$  для  $N(U) = -1$  или  $k \geq 3$  для  $N(U) = 1$ .

Обозначив  $\alpha = \frac{1}{2}(1 + \operatorname{sgn} D(|U|))$ ,  $\beta = \frac{1}{2}(1 - \operatorname{sgn} U)$ , можно написать  $U^{\psi^{\alpha} \tau^{\alpha}} = K$ . Таким образом, согласно таблице 1  $U = (G^{\tau^{\alpha}} I)^{\psi^{\alpha} + \beta F I^{\alpha}}$ .

Обозначив через  $m$ ,  $0 \leq m \leq L(P(G)) - 1$ , показатель, для которого  $(G^{\tau^x})^{\rho^m}$ -первое в взятом лексикографическом расположении, согласно убывающему расположению неприводимых множителей  $G^{\tau^x}$ , можно написать тождество  $G^{\tau^x}I = ((G^{\tau^x})^{\rho^m}I)^{\psi^Y(G^{\tau^x})(m)}$ , где  $\gamma = \frac{1}{2}(1 - (-1)^m)$ .

Из установленных выражений следует  $U = ((G^{\tau^x})^{\rho^m}I)^{\psi^x + \beta + \gamma FI^x(G^{\tau^x})(m)}$ .

Обозначив

$$V = ((G^{\tau^x})^{\rho^m}I)^{\psi(x + \beta + \gamma)(1 - \delta)}, \quad (8)$$

где  $\delta = \frac{1}{2}(1 - N(P(G)))$ , можно написать  $U = V^{\psi(x + \beta + \gamma)\delta FI^x(G^{\tau^x})(m)}$ .

Имеет место тождество  $V = V^{\psi\delta P(|VI^{-1}|)}$  и следовательно, обозначив  $\omega = \frac{1}{2}(1 - (-1)^{x + \beta + \gamma})$ , следует  $U = V^{FI^x(G^{\tau^x})(m)P^{\delta\omega}(|VI^{-1}|)}$ .

Имея в виду, что  $|VI^{-1}| = (G^{\tau^x})^{\rho^m}$ , показатель последнего соотношения между  $U$  и  $V$  можно обозначить через

$$C = FI^x(G^{\tau^x})_{(m)}P^{\delta\omega}((G^{\tau^x})^{\rho^m}) \quad (9)$$

и следовательно построили симметрическое преобразование  $C$ , для которого имеет место соотношение  $U = V^C$ .

Чтобы показать, что ядро  $V$  определено единственным образом, будем основываться на факте, что  $|VI^{-1}|$ -натуральная непрерывная дробь. Из симметрической эквивалентности  $V \sim V'$  следует автоморфная эквивалентность  $VI^{-1} = ZV'I^{-1}Z^{-1}N(Z)$ , где  $Z$ -соответствующее симметрическое или автоморфное преобразование. Имея в виду лексикографическое расположение  $|VI^{-1}| = |V'I^{-1}|$ , откуда следует, что  $Z = \pm P^v(|VI^{-1}|)$ ,  $v$ -целое. Если  $\delta = 0$ , т.е.  $N(P(|VI^{-1}|)) = 1 \rightarrow N(Z) = 1$ , то из автоморфной эквивалентности  $VI^{-1} = ZV'I^{-1}Z^{-1}$  следует  $\psi^{x+\beta+\gamma} = \psi^{x'+\beta'+\gamma'}$  и таким образом  $VI^{-1} = V'I^{-1}$ , итак,  $V = V'$ . Если  $\delta = 1$ , т.е.  $N(P(|VI^{-1}|)) = -1 \rightarrow N(Z) = -1$  для нечётного  $v$  и  $N(Z) = 1$  для чётного  $v$ , тогда  $\psi^{(x+\beta+\gamma)(1-\delta)} = \psi^{(x'+\beta'+\gamma')(1-\delta')} = 1$  выбором знака ядра (8) и следовательно соответствует только случай, когда,  $N(Z) = 1$ , т.е.  $v$ -чётное и, как раньше  $VI^{-1} = V'I^{-1} \rightarrow V = V'$ .

Так же на основе связи между симметрической и автоморфной эквивалентностей следует, что

$$H = \pm P^{(1+\delta)v}((G^{\tau^x})^{\rho^m}), \quad (10)$$

$v$ -целое.

7.6. Построим целые непрерывные дроби  $V$ ,  $C$  и  $H$  в случае  $k = 0$  для  $N(U) = -1$  или  $k = 0, 1, 2$  для  $N(U) = 1$ ,  $U \neq \pm I$ .

Можно проверить вычислением, что формулы (8), (9) и (10) действительны и в данном случае, если условимся в том, что при первых двух целых непреры-

вных дробей  $G$  таблицы 2 имеем  $m = 0$ ,  $\alpha = 0$ , а при последних четырёх целых непрерывных дробей имеем разложение:

$$(1)(-1)(1)(0), \quad (1)(-1)(1)(1), \quad (1)(-1)(1)(2), \quad (q_2 + 1)(0);$$

в случае  $x = 1$  вместо  $H$  напишем  $H^\tau$ ;  $P(G^{\tau^2}) = G^{\tau^2}$ .

7.7. Из предыдущих результатов следует, что  $Z_0 = ABC$  получится согласно диаграмме (11).

8.1. Приведение целых непрерывных дробей применим, в первую очередь, к установлению симметрической эквивалентности целых непрерывных дробей. Целые непрерывные дроби  $X' = V'Z_0H'$  и  $X'' = V''Z_0''H''$  тогда и только тогда являются симметрически-эквивалентными, когда  $V' = V''$ . В случае эквивалентности, обозначив  $X' = X''z_0H$ , где  $Z_0$  представляет партикулярное симметрическое преобразование, а  $H$  общее решение автотеквивалентности целой непрерывной дроби  $X''$ ,  $X'' = X''H$ , имеем  $Z_0 = Z_0Z_0''^{-1}$  и  $H = Z_0''H''Z_0''^{-1}$ .

8.2. Знание симметрической эквивалентности, согласно следованию  $X = ZYZ^{-1} \leftrightarrow XI = ZYIZ^\tau N(Z)$ , -эквивалентно со знанием автоморфной эквивалентности.

9.1. Представление натуральных чисел  $e$  арифметическими квадратичными формами  $ax^2 + bxy + cy^2$  с дискриминантом  $D \geq -4$ ,

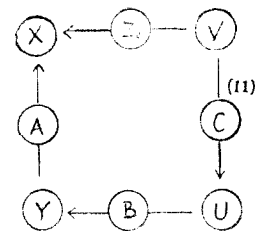
$$e = ax^2 + bxy + cy^2 \quad (12)$$

-другое применение приведения целых непрерывных дробей.

9.2. Решим уравнение (12), включив его, как составляющую часть, в одно уравнение симметрической эквивалентности целых непрерывных дробей.

Пусть  $k$  -второй компонент основной единицы  $\varepsilon = \frac{1}{2}(k + l\sqrt{D})$  порядка  $\Omega$  (который не должен быть главным) целых квадратичных иррациональностей с положительным дискриминантом, отличным от квадрата, и  $l = 1$  в противном случае. Уравнение  $el = alx^2 + blxy + cly^2$  эквивалентно с (12). Классическим способом [4], какое бы то ни было фиксированное решение  $\{x = z_{01}, y = z_{02}\}$ ,  $(z_{01}, z_{02}) = 1$ , можно ассоциировать с тождеством  $el = alz_{01}^2 + blz_{01}z_{02} + clz_{02}^2$  собственную симметрическую эквивалентность  $X' = X''z_0$ ,  $N(Z_0) = 1$ , где

$$X' = \begin{pmatrix} el & \frac{1}{2}(fl - k) \\ \frac{1}{2}(fl + k) & gl \end{pmatrix} \quad (13)$$



-целая непрерывная дробь с первым элементом  $el$ , который является представляемым числом, и с  $N(X') = N(\varepsilon)$ , которое соответствует тождеству  $f^2 - D = 4eg$  соответственно сравнению

$$f^2 \equiv D \pmod{4e}, \quad (14)$$

а

$$X'' := \begin{pmatrix} al & \frac{1}{2}(bl - k) \\ \frac{1}{2}(bl + k) & cl \end{pmatrix} \quad (15)$$

-целая непрерывная дробь, связанная с коэффициентами данной формы, которой осуществляется представление.

Элемент  $el$  целой непрерывной дроби  $X'$ , пара элементов  $\{z_{01}, z_{02}\}$  целой непрерывной дроби  $Z_0$  и целая непрерывная дробь  $X''$  -инварианты класса  $C_{f(\text{mod } 2e)}$ . Таким образом,  $Z_0$  можно выбрать так, чтобы  $X'$  была натуральная непрерывная дробь. Число основных решений уравнения (12) равно числу классов  $C_{f(\text{mod } 2e)}$ , для которых имеет место симметрическая эквивалентность  $X' = X''\#$ . Общее решение  $\{Z = Z_0H\}$  уравнения (12) получим из множества  $\{Z_0\}$  основных решений умножением каждого основного решения на симметрическое преобразование  $H$  симметрической автоэквивалентности целой непрерывной дроби  $X''$ ,  $X'' = X''\#$ .

9.3. Чтобы проиллюстрировать способ применения полученных результатов, определим общее решение уравнения  $9 = 17x^2 + 32xy + 14y^2$  (см. задачу 17 литературы [1, стр. 205] первой части данной работы [1]).

Имеем  $D = 72$ ,  $\varepsilon = 17 + 2\sqrt{72}$ . Таким образом,  $k = 34$ ,  $l = 4$  и можно перейти к эквивалентному уравнению  $36 = 68x^2 + 128xy + 56y^2$ , к которому присоединится целая непрерывная дробь (15)

$$X'' = \begin{pmatrix} 68 & 47 \\ 81 & 56 \end{pmatrix}.$$

Согласно 4.1. для  $X''$  можно вывести  $A'' = (-1)(0)$  и положительное ядро  $Y'' = (2)(5)(4)(2)(1)(1)$ .

Имея в виду, что  $Y''$  -минимальное ядро, согласно 7.3. следует  $U'' = \mathbf{Y}''$  и  $B'' = E$ .

Согласно 7.5., имея в виду, что  $\alpha = 0$ ,  $\beta = 0$ , следует, что  $U'' = K''$ . В таблице 1 найдём  $F'' = (2)(-3)(0)$ ,  $G'' = (8)(4)$ . Так как  $G''$ -первая натуральная непрерывная дробь в фиксированном лексикографическом расположении, имеем  $m = 0$  и следовательно  $\gamma = 0$ . Имеем ещё  $\delta = 0$ . Итак,  $V'' = (8)(4)I$  и  $C'' = (2)(-3)(0)$  (сделаны сокращения типа  $(q')(0)(q'') = (q' + q'')$ ).

Согласно диаграмме (11)  $Z'_0 = (1)(-3)(0)$  и  $H'' = \pm ((8)(4))^\vee$ ,  $v$ -целое (10).

Чтобы найти натуральные непрерывные дроби (13), надо принять во внимание решения  $42 \in C_{6(\text{mod } 18)}$  и  $30 \in C_{12(\text{mod } 18)}$  сравнения (14)  $f^2 - 72 \equiv 0 \pmod{36}$  для которых получим  $X'_1 = (2)(1)(4)(6)(1)(1)$  и  $X'_2 = (2)(7)(5)(1)$ .

Подобно случаю  $X''$ , приведением получим:  $V'_1 = (8)(4)I$ ,  $Z'_{10} = (2)(-7)(0)$ ;  $V'_2 = (8)(4)I$ ,  $Z'_{20} = (2)(-1)(0)$ .

Имея в виду, что  $V'_1 = V''$  и  $V'_2 = V''$ , для эквивалентности  $X'_1 = X''^{Z_{10}H_0}$ , соответственно  $X'_2 = X''^{Z_{20}H_0}$  получим основные решения  $Z_{10} = (2)(-4)(-1)(0)$ , соответственно  $Z_{20} = (2)(2)(-1)(0)$  и  $H_0 = \pm X''I$ .

Вычислением пар значений  $\{z_{i01}, z_{i02}\}$ ,  $i \in \{1, 2\}$ , получим множество  $\{\{5, -4\}, \{-1, 2\}\}$  основных решений данного уравнения. Отсюда выведем общее решение умножением каждого основного решения на преобразование  $H_0 = \pm X''I$ .

**10.1.** Пусть  $G_\infty^* = G_0^* \lim_{v \rightarrow \infty} G^{*v}$ -бесконечная периодическая правильная непрерывная дробь, соответствующая вещественной квадратичной иррациональности  $\xi = \frac{-b - \sqrt{D}}{2a}$  или  $\xi = \frac{-b + \sqrt{D}}{2a}$ , которая удовлетворяет тождеству  $a\xi^2 + b\xi + c = 0$ .

Как раньше, предполагая известной основную единицу  $\epsilon$ , перейдём к эквивалентному тождеству  $al\xi^2 + bl\xi + cl = 0$ , к которому присоединится целая непрерывная дробь  $X''$  формы (15), которую в дальнейшем будем обозначать через  $X$ .

На основе словаря: „упорядоченные комплексы целых чисел  $\rightarrow$  целые непрерывные дроби (в смысле матричной записи), действие  $| \rightarrow$  целая непрерывная дробь  $I$  (с обычным оператором умножения справа и слева), и т.д.”, можно использовать соотношение  $(G^*I)^{(0)lG_0^*} = \pm X$ , соответствующее формуле (28) работы [2]. Целая непрерывная дробь  $X$ , согласно формуле приведения, имеет форму  $V^*$ , где индекс  $m$  не считается в смысле лексикографического расположения, а фиксируется,  $m = m^*$ , вместе с целым показателем  $v$ ,  $v = v^*$ , так, чтобы иметь  $G^* = P((G^{*x})^{v^m})$  и  $G_0^* = \pm (0)IZ^*$ , т. е.

$$G_0^* = \pm (0)IAIFI^x(G^{*x})_{(m*)}P^{v^*}((G^{*x})^{v^m}). \quad (16)$$

Из знаков плюс и минус выберем тот, для которого  $G_0^*$  правильная непрерывная дробь.

**10.2.** Например разложим в правильную непрерывную дробь квадратичную иррациональность  $\xi = (-16 - \sqrt{18}) : 17$  или  $\xi = (-16 + \sqrt{18}) : 17$ , для которой имеем тождество  $17\xi^2 + 32\xi + 14 = 0$ . В 9.3. имеем вычисленные значения  $A = (-1)(0)$ ,  $B = E$ ,  $F = (2)(-3)(0)$ ,  $G = (8)(4)$ ,  $x = 0$ , т.е.  $(0)IAIFI^x = (1)(-1)(1)(-3)(0)$  и  $P(G^{*x}) = (8)(4)$ . Следовательно, в форме общей правильной непрерывной дроби с конечным числом отрицательных множителей  $G_\infty = \pm (1)(-1)(1)(-3)(0) \lim_{v \rightarrow \infty} ((8)(4))^v$ . Взяв  $m^* = 1$ ,  $v^* = 0$  и знак минус, согласно формуле (16), получим  $G_0^* = (-3)(1)(4)$  и  $G^* = (4)(8)$ . Итак,  $G_\infty^* = (-2)(1)(4) \lim_{v \rightarrow \infty} ((4)(8))^v$ . Употребив формулу (25'') [2], следует, что сопряженная иррациональность  $\bar{\xi}$  будет иметь разложение  $\bar{G}_\infty^* = (-1)(3) \lim_{v \rightarrow \infty} ((4)(8))^v$ .

Сравнив полученные разложения, следует  $\xi < \bar{\xi}$ , следовательно  $\xi = (-16 - \sqrt{18}) : 17$ .

**10.3.** Построение формулы (16) при помощи натуральных непрерывных дробей  $G$ , данных в таблице 1, связано с работой [3], посвящённой изучению взаимнооднозначного соответствия между квадратичной иррациональностью  $\xi$  и её „ядром“  $E$ ,  $\xi \leftrightarrow E$ . Вклад данной работы связан со стороной  $E \rightarrow \xi$ .

## ЛИТЕРАТУРА

1. Дани Э., *Конечные непрерывные дроби (I)*, Ядро непрерывной дроби, Studia Univ. Babeş-Bolyai, s. Math.-Phys., fasc. 2, Cluj, 1966.
2. Дерасимович В., Über die Kettenbruchentwicklung quadratischer Irrationalzahlen, Math. Zeitschr., 66, S. 228–239 (1956).
3. Дерасимович В., О вершине представлениях вещественных и неких комплексных квадратных иррациональных брояра, Математички вестник I (16), стр. 267–283, Београд, 1964.
4. Гаусс К. Ф., *Untersuchungen über höhere Arithmetik*, Berlin, 1889.

## FRACTII CONTINUE FINITE (II)

*Fracții continue întregi*

(Rezumat)

În aceasta a doua parte a lucrării se studiază grupul fracțiilor continue întregi. Fracție continuă întreagă se numește fracția continuă finită cu cituri parțiale numere întregi în notație matricială. Se construiește un procedeu de reducere a fracțiilor continue întregi bazat pe scrierea canonica a fracțiilor continue naturale. Fracție continuă naturală se numește fracția continuă regulată finită cu primul cit parțial pozitiv în notație matricială. Cheia procedeului constă în folosirea tabelelor 1 și 2, care ne permit citirea directă în funcție de un nucleu minim, legat de fracția continuă întreagă de redus, atât a fracției continue întregi reduse cât și a transformării simetrice prin care se face această reducere. Construcția, în ipoteza cunoașterii unității de bază a ordinului pătratic corespunzător, permite ca să rezolvăm în mod efectiv, în limitele fracțiilor continue finite, următoarele probleme: reprezentarea numerelor prin forme pătratice aritmétice de discriminant mai mare sau egal cu  $-4$  și dezvoltarea iraționalităților pătratice reale în fracții continue regulate infinite periodice.

## FRACTIONS CONTINUES FINIES (II)

*Fractions continues entières*

(Résumé)

Dans cette deuxième partie de notre travail on étudie le groupe des fractions continues entières. On appelle fractions continues entières les fractions continues finies à quotients partiels nombres entiers en notation matricielle. On construit un procédé de réduction des fractions continues entières fondé sur la forme canonique des fractions continues naturelles. On appelle fraction continue naturelle la fraction continue régulière finie ayant le premier quotient partiel positif en notation matricielle. La clé du procédé consiste dans l'emploi des tableaux 1 et 2 qui nous permettent de lire directement — en fonction d'un noyau minima lié à la fraction continue entière à réduire — aussi bien la fraction continue entière réduite que la transformation symétrique par laquelle cette réduction a lieu. Daus l'hypothèse de la connaissance de l'unité de base de l'ordre quadratique correspondant, cette construction nous permet de résoudre d'une manière effective — dans les limites des fractions continues finies — les problèmes suivants: représentation des nombres par des formes quadratiques arithmétiques à discriminant supérieur ou égal à  $-4$  et développement des irrationalités quadratiques réelles sous forme de fractions continues régulières infinies périodiques.

# SUR UNE MÉTHODE DE LOCALISATION DES ZÉROS D'UN POLYNÔME

par

**WŁADYSŁAW WRONA (Bydgoszcz)**

Dans cette note je généralise le résultat de Ilie Torsan, lequel est donné dans la Note [1]. Je donne aussi les formules récurrentes, que j'applique pour le calcul des valeurs minimales des rayons des cercles de Gerchgorin [2], qui contiennent les zéros du polynôme.

I. Considérons le polynôme

$$f(z) = z^n + a_1 z^{n-1} + a_2 z^{n-2} + \dots + a_{n-1} z + a_n \quad (1)$$

aux coefficients complexes. Les zéros du polynôme

$$\begin{aligned} F(z) = (z - \alpha)f(z) &= z^{n+1} + (a_1 - \alpha)z^n + (a_2 - \alpha a_1)z^{n-1} + \\ &\quad + \dots + (a_n - \alpha a^{n-1})z - \alpha a_n \end{aligned} \quad (2)$$

sont égaux aux zéros du polynôme (I). La valeur quelconque du paramètre  $\alpha$  est aussi le zéro de (2).

Les valeurs caractéristiques de la matrice

$$A = \begin{pmatrix} a_1 - \alpha & \frac{a_2 - \alpha a_1}{\beta} & \frac{a_3 - \alpha a_2}{\beta^2} & \dots & \frac{a_n - \alpha a_{n-1}}{\beta^{n-1}} & -\frac{\alpha a_n}{\beta^n} \\ -\beta & 0 & 0 & \dots & 0 & 0 \\ 0 & -\beta & 0 & \dots & 0 & 0 \\ 0 & 0 & -\beta & \dots & 0 & 0 \\ \dots & \dots & \dots & \dots & \dots & \dots \\ 0 & 0 & 0 & & -\beta & 0 \end{pmatrix} \quad (3)$$

où  $\beta$  est un nombre complexe quelconque, se situent dans le domaine  $U_{\eta\mu}^{(1)}$ , réunion des deux disques d'équations

$$U_{\eta\mu}^{(1)} = \left\{ \begin{array}{l} \eta : |z + a_1 - \alpha| \leqslant |a_2 - \alpha a_1| \frac{1}{|\beta|} + \dots + |a_n - \alpha a_{n-1}| \frac{1}{|\beta|^{n-1}} + |\alpha a_n| \frac{1}{|\beta|^n} \\ \mu : |z| \leqslant |\beta|. \end{array} \right. \quad (4)$$

Ses valeurs caractéristiques sont les mêmes que celles de  $F(z)$ . Nous écrirons la première inégalité sous la forme suivante :

$$U_{\eta\mu}^{(2)} = \begin{cases} \eta : |z| \leq |a_1 - \alpha| + |a_2 - \alpha a_1| \frac{1}{|\beta|} + \dots + |a_n - \alpha a_{n-1}| \frac{1}{|\beta|^{n-1}} + |\alpha a_n| \frac{1}{|\beta|^n} \\ \mu : |z| \leq |\beta| \end{cases} \quad (5)$$

Le rayon de cercle  $\eta$  dans (5), nous le transformerons en appliquant l'inégalité de Hölder [3, p. 37] et nous aurons alors

$$U_{\eta\mu}^{(3)} = \begin{cases} \eta : |z|^p \leq [|a_1 - \alpha|^q + \dots + |\alpha a_n|^q]^{p/q} \left[ \frac{1 - \frac{1}{|\beta|^{np+p}}}{1 - \frac{1}{|\beta|^p}} \right] \\ \mu : |z| \leq |\beta| \end{cases} \quad (6)$$

Que  $\lambda_i$  ( $i = 1, 2, \dots, n$ ) soient les zéros du polynôme (I) et que  $|\beta| = \max |\lambda_i| = |z| > 1$ , alors (6) nous pouvons écrire :

$$|z| \leq \left\{ 1 + [|a_1 - \alpha|^q + |a_2 - \alpha a_1|^q + \dots + |a_n - \alpha a_{n-1}|^q + |\alpha a_n|^q]^{p/q} \right\}^{1/p}. \quad (7)$$

De cette façon nous avons obtenu l'estimation donnée dans [I].

Posant dans le (4)  $\alpha = 1$ ,  $\beta = 1$  nous aurons une modification certaine de la localisation des zéros du polynôme, qu'a donnée M. Parodi dans le [4].

$$U_{\eta\mu}^{(4)} = \begin{cases} \eta : |z + a_1 - 1| \leq |a_2 - a_1| + |a_3 - a_2| + \dots + |a_n - a_{n-1}| + |a_n| \\ \mu : |z| \leq 1 \end{cases} \quad (8)$$

**II.** Maintenant nous calculons les valeurs des paramètres  $\alpha$  et  $\beta$ . Nous transformons le rayon du cercle  $\eta$  dans (4) en appliquant l'inégalité de Hölder :

$$\begin{aligned} |a_2 - \alpha a_1| \frac{1}{|\beta|} + \dots + |\alpha a_n| \frac{1}{|\beta|^n} &\leq [|a_2 - \alpha a_1|^q + \\ &+ \dots + |\alpha a_n|^q]^{1/q} \left[ \frac{1}{|\beta|^p} + \dots + \frac{1}{|\beta|^{np}} \right]^{1/p} \end{aligned} \quad (9)$$

Considérons l'expression

$$|a_2 - \alpha a_1|^q + \dots + |a_n - \alpha a_{n-1}|^q + |\alpha a_n|^q \quad (10)$$

Soit

$$a_k = q_k + i h_k \text{ et } p = q = 2. \quad (\text{II})$$

De (10) et (11) nous avons

$$\begin{aligned} &|(q_2 + i h_2) - \alpha(q_1 + i h_1)|^2 + |(q_3 + i h_3) - \alpha(q_2 + i h_2)|^2 + \dots + |\alpha(q_n + i h_n)|^2 = \\ &= \alpha^2 \sum_{k=1}^n (q_k^2 + h_k^2) - 2\alpha \sum_{k=1}^n (q_k q_{k+1} + h_k h_{k+1}) + \sum_{k=2}^n (q_k^2 + h_k^2). \end{aligned}$$

L'expression (10) réalise son minimum, si

$$\alpha = \frac{\sum_{k=1}^{n-1} (q_k q_{k+1} + h_k h_{k+1})}{\sum_{k=1}^n (q_k^2 + h_k^2)}. \quad (\text{IIa})$$

Calculant les valeurs du paramètre  $\beta$ , nous nous bornons au cas où il existe la valeur réelle et positive du paramètre  $\beta$  pour laquelle les cercles (4) n'ont pas de points communs, c'est-à-dire :

$$A_0 - \sum_{i=1}^n \frac{A_i}{\beta^i} > \beta, \text{ où} \quad (12)$$

$$A_0 = |a_1 - \alpha|, A_i = |a_{i+1} - \alpha a_i| (i = 1, 2, \dots, n-1), A_n = |\alpha a_n|.$$

La résolution de l'inégalité (12) est équivalente à la double localisation des zéros. Si nous calculons deux valeurs extrémales de paramètre, alors les cercles (4) seront tangents.

Nous écrirons l'inégalité (12) dans la forme suivante :

$$\beta_2 - A_0 \beta + A_1 < - \sum_{i=1}^n \frac{A_i}{\beta^{i-1}} \quad (13)$$

Alors l'inégalité (13) est satisfaite, si

$$-\frac{A_0^2 - 4A_1}{4} < - \sum_{i=2}^n \frac{A_i}{\left(\frac{A_0}{2}\right)^{i-1}}.$$

Par transformation nous avons

$$A_0 > 2 \sqrt{\sigma} \text{ où } \sigma = \sum_{i=1}^n \frac{A_i}{\left(\frac{A_0}{2}\right)^{i-1}}. \quad (14)$$

Considérons deux fonctions

$$\omega(\beta) = \beta^2 - A_0 \beta + A_1 \text{ et } \Omega(\beta) = - \sum_{i=2}^n \frac{A_i}{\beta^{i-1}}. \quad (15)$$

Nous désignons des zéros de la fonction  $\omega(\beta)$  par  $m_1$  et  $m_2$ . Au cas où  $A_1 = 0$  nous remplaçons la valeur  $m_1$  par  $m'_1$  telle que

$$m'_1 < \frac{1}{2} A_0 \text{ et } \omega(m'_1) > \Omega(m'_1).$$

Admettons que (14) soit satisfait, alors les fonctions  $\omega(\beta)$  et  $\Omega(\beta)$  ont deux points communs, dont nous désignons des arguments par  $g_1$  et  $g_2$  ( $g_1 < g_2$ ).

Maintenant nous nous occuperons de l'inégalité

$$\beta^2 - A_0\beta + A_1 - \Omega(\beta) < 0. \quad (16)$$

Il faut calculer la valeur  $\beta$ , pour laquelle

$$\beta^2 - A_0\beta + A_1 - \Omega(\beta) = 0. \quad (17)$$

La plus grande racine de l'équation (17) est

$$\beta = \frac{1}{2} (A_0 + \sqrt{A_0^2 - 4[A_1 - \Omega(\beta)])}.$$

Soit  $\beta_0 = \frac{1}{2} A_0$ , alors

$$\beta_1 = \frac{1}{2} \left( A_0 + \sqrt{A_0^2 - 4[A_1 - \Omega\left(\frac{1}{2} A_0\right)]} \right)$$

En conséquence

$$\beta_2 = \frac{1}{2} (A_0 + \sqrt{A_0^2 - 4[A_1 - \Omega(\beta_1)]})$$

$$\beta_i = \frac{1}{2} (A_0 + \sqrt{A_0^2 - 4[A_1 - \Omega(\beta_{i-1})]}), \quad (i = 0, 1, 2, \dots), \quad \beta_0 = \frac{1}{2} A_0. \quad (18)$$

Parce que  $\alpha_0 = \frac{1}{2} A_0$ , alors  $-\Omega(\beta_0) < -\Omega(g_2)$ .

D'où  $\beta_0 < \beta_1 < g_2$ . Parce que aussi  $-\Omega(\beta_0) > -\Omega(\beta_1) > -\Omega(g_2)$ ,

$$\text{alors } \beta_0 < \beta_1 < \beta_2 < \dots < \beta_i < \dots < g_2. \quad (19)$$

La suite (19) est croissante et bornée, alors elle possède une limite. Nous notons que la limite de cette suite est  $g_2$ , parce que

$$g_2 = \frac{1}{2} (A_0 + \sqrt{A_0^2 - 4[A_1 - \Omega(g_2)]}).$$

Pour toute valeur  $\beta_i$ , définie par la formule (18), l'inégalité (16) est satisfaite, alors (12) est vrai.

Les zéros du polynôme (I) dont les coefficients remplissent la condition (14) se situent dans la réunion des cercles :

$$\bigcup_{\eta^\mu}^{(5)} \begin{cases} \eta : |z + A_0| \leq A_0 - \beta_i \\ \mu : |z| \leq \beta_i \end{cases} \quad (20)$$

Pour calculer la plus petite racine de l'équation (17), nous menons la ligne droit

$$\psi(\beta) = \frac{\Omega\left(\frac{1}{2} A_0\right) - \Omega(m_1)}{\frac{1}{2} A_0 - m_1} (\beta - m_1) + \Omega(m_1). \quad (21)$$

par des points  $A(m_1, \Omega(m_1))$  et  $B\left(\frac{1}{2} A_0, \Omega\left(\frac{1}{2} A_0\right)\right)$ .

Nous remplaçons l'équation (17) par l'équation

$$\omega(\beta) = \psi(\beta), \text{ où}$$

$$\beta^2 - \left( A_0 + \frac{\Omega\left(\frac{1}{2}A_0\right) - \Omega(m_1)}{\frac{1}{2}A_0 - m_1} \right) \beta + A_1 - \Omega(m_1) + \frac{\left[ \Omega\left(\frac{1}{2}A_0\right) - \Omega(m_1) \right] m_1}{\frac{1}{2}A_0 - m_1} = 0. \quad (22)$$

Nous calculons maintenant la plus petite racine de l'équation (22)

$$\begin{aligned} \beta'_1 &= \frac{1}{2} \left\{ A_0 + \frac{\Omega\left(\frac{1}{2}A_0\right) - \Omega(m_1)}{\frac{1}{2}A_0 - m_1} - \right. \\ &\quad \left. - \sqrt{\left( A_0 + \frac{\Omega\left(\frac{1}{2}A_0\right) - \Omega(m_1)}{\frac{1}{2}A_0 - m_1} \right)^2 - 4 \left( A_1 - \Omega(m_1) + \frac{\left[ \Omega\left(\frac{1}{2}A_0\right) - \Omega(m_1) \right] m_1}{\frac{1}{2}A_0 - m_1} \right)} \right\}. \end{aligned}$$

Pour calculer  $\beta'_1$  nous remplaçons en (21) le point  $B\left(\frac{1}{2}A_0, \Omega\left(\frac{1}{2}A_0\right)\right)$  par le point  $C(\beta'_1, \Omega(\beta'_1))$ . En conséquence nous remplaçons le point  $C$  par le point  $D(\beta'_2, \Omega(\beta'_2))$ , e.t.c. Généralement nous pouvons écrire

$$\begin{cases} \beta_j = \frac{1}{2} \left\{ A_0 + \theta(\beta_{j-1}) - \sqrt{[A_0 + \theta(\beta_{j-1})]^2 - 4[A_1 - \Omega(m_1) + m_1\theta(\beta_{j-1})]} \right\} \\ \text{où } \theta(\beta) = \frac{\Omega(\beta) - \Omega(m_1)}{\beta - m_1}, \quad (j = 0, 1, 2, \dots), \quad \beta_0 = \frac{1}{2}A_0. \end{cases} \quad (23)$$

L'examen des formules (15), (21) et (23) montre que si  $j \rightarrow \infty$ , alors  $\beta_j \rightarrow g_1$ . Utilisant des valeurs  $\beta_j$  définies par la formule (23) nous pouvons fixer le domaine  $\bigcup_{n,u}^{(6)}$  dans lequel se trouvent les zéros du polynôme (I)

$$\bigcup_{n,u}^{(6)} = \begin{cases} \gamma: |z + A_0| \leq A_0 - \beta_j \\ u: |z| \leq \beta_j. \end{cases} \quad (24)$$

De cette façon nous avons démontré le théorème suivant :

**THEOREME.** Les zéros du polynôme (I) qui a les coefficients complexes satisfaisant à l'inégalité (14) se situent dans la réunion des cercles

$$\bigcup_{n,u} = \begin{cases} \gamma: |x + A_0| \leq A_0 - \beta_i \\ u: |z| \leq \beta_j \end{cases}$$

où  $\beta_i$  et  $\beta_j$  sont définis par les formules (18) et (23), mais nous calculons  $A_0, A_1, \dots, A_n$  par des formules (II), (II a) et (12).

De cette note et du théorème de Brauer [3, p. 71] nous tirons les conséquences suivantes:

**COROLLAIRE 1.** Si les coefficients du polynôme (1) satisfont à la condition (14), alors  $f(z)$  a un zéro dans le cercle

$$\eta : |z + A_0| \leq A_0 - \beta,$$

et  $n - 1$  des zéros dans le cercle

$$\mu : |z| \leq \beta_j.$$

Le corollaire 1 généralise et améliore les résultats respectifs de M. Parodi, la note [5] et de A. Ostrowski, de la note [7].

**COROLLAIRE 2.** Si les coefficients du polynôme (I) sont entiers et satisfont à l'inégalité

$$A > 1 + \sum_{i=1}^n A_i \quad (25)$$

alors  $f(z)$  est le polynôme irréductible dans le corps des nombres rationnels. En effet : le polynôme aux coefficients entiers est irréductible si  $n - 1$  de ses zéros se situent dans le cercle au rayon  $r = I$  et un zéro se trouve en dehors de ce cercle [6].

Si les coefficients du polynôme sont entiers et que

$$\omega(1) < \Omega(1) \text{ et } A_0 \geq 2 \text{ où } \begin{cases} \omega(\beta) = \beta^2 - A_0\beta + A_1 \\ \Omega(\beta) = - \sum_{i=2}^n \frac{A_i}{\beta^{i-1}} \end{cases}$$

c'est-à-dire

$$1 - A_0 + A_1 < - \sum_{i=2}^n A_i,$$

d'où

$$A_0 > 1 + \sum_{i=1}^n A_i,$$

alors le polynôme  $f(z)$  est irréductible.

La condition (25) est la généralisation du résultat analogue de Perron [6] et de Parodi [5] concernant le critérium d'irréductibilité des polynômes.

(Manuscrit reçu le 28 février 1967.)

#### BIBLIOGRAPHIE

1. Ilie Torsan, *Asupra limitării în modul a rădăcinilor ecuațiilor algebrice*, Studia Universitatis Babes-Bolyai, Series Mathematica-Physica (1965) **10**, nr. 2, 25–29.
2. S. A. Gerchgorin, *Über die Abgrenzung der Eigenwerte einer Matrix*, Izv. Akad. Nauk. SSSR otde. mat. estestvennykh (1931) 749–754.
3. M. Parodi, *Lokalizacija charakteristicheskikh čisel matric i ejo primenenija*, Izdatel'stvo inostranno literatury, Moskva, 1960, pp. 37–71.
4. Parodi, M. *Sur la localisation de zéros des polynômes dont les coefficients ont des valeurs voisines*, Bulletin des sciences mathématiques, 2<sup>e</sup> série, **84**, 1960, p. 65–73.

5. M. Parodi, *Sur quelques propriétés des polynômes*, Bulletin des sciences mathématiques, 1956, **80**, 76–81.
6. O. Perron, *Neue Kriterien für die Irreduzibilität algebraischer Gleichungen*, J. de Crelle, **132** (1907), 288–307.
7. A. Ostrowski, *Über einige Sätze von Herrn M. Parodi*, Mathematische Nachrichten, 1958, **19**, nr. 1–6, 331–338.

DESPRE O METODĂ DE LOCALIZARE A ZEROURILOR UNUI POLINOM  
(R e z u m a t)

În această lucrare se dă o îmbunătățire a rezultatelor obținute de I. Torsan în [1].  
Fie  $f(z)$  polinomul

$$f(x) = x^n + a_1 x^{n-1} + a_2 x^{n-2} + \dots + a_n$$

definit peste corpul numerelor complexe. Fie  $\alpha$  un parametru

$$A_0 = |a_1 - \alpha|, A_i = |a_{i+1} - \alpha a_i| (i = 1, 2, \dots, n-1), A_n = |\alpha a_n| \quad (1)$$

$$\sigma = \sum_{i=1}^n \frac{A_i}{\left(\frac{A_0}{2}\right)^{i-1}}, \quad a_k = q_k + i h_k \quad \alpha = \frac{\sum_{k=1}^{n-1} (q_k q_{k+1} + h_k h_{k+1})}{\sum_{k=1}^n (q_k^2 + h_k^2)}$$

Se arată că:

*Teoremă.* Dacă coeficienții  $a_i$  satisfac inegalitatea

$$A_0 > 2\sqrt{\sigma} \quad (14)$$

atunci rădăcinile polinomului  $f(x)$  sunt situați în reunirea cercurilor

$$|z + A_0| \leq A_0 - \beta_i \quad \text{și} \quad |z| \leq \beta_f$$

unde

$$\beta_0 = \frac{1}{2} A_0 \quad \text{și} \quad \beta_i = \frac{1}{2} (A_0 + \sqrt{A_0^2 - 4[A_1 - \Omega(\beta_j)]}) \quad \text{și}$$

$$\beta_j = \frac{1}{2} \{A_0 + \Omega(\beta_{j-1}) - \sqrt{[A_0 + \Omega(\beta_{j-1})]^2 - 4[A_1 - \Omega(m_1) + m_1 \Omega(\beta_{j-1})]}\}$$

și  $\Omega(\beta) = -\sum_{i=2}^n \frac{A_i}{\beta^{i-1}}$ ,  $\Omega(\beta) = \frac{\Omega(\beta) - \Omega(m_1)}{\beta - m_1}$ , iar  $m_1$  este rădăcină a polinomului  $\beta^2 - A_0\beta + A_1$ .

Consecințe ale acestui rezultat sunt:

*Corolar 1.* Dacă coeficienții polinomului (1) satisfac condiția (14), atunci  $f(z)$  are o rădăcină în cercul

$$|z + A_0| \leq A_0 - \beta_i$$

și  $n-1$  rădăcini în cercul

$$|z| \leq \beta_f$$

Acest rezultat generalizează și îmbunătățește rezultate ale lui M. Parodi [5] și A. Ostrowski [7].

*Corolarul 2.* Dacă coeficienții polinomului (1) sunt numere întregi și satisfac inegalitatea

$$A_0 < 1 + \sum_{i=1}^n A_i$$

atunci  $f(z)$  este ireductibil în corpul numerelor raționale.

Acest rezultat generalizează rezultate ale lui M. Parodi [5] și O. Perron [6].

О МЕТОДЕ ЛОКАЛИЗАЦИИ НУЛЕЙ МНОГОЧЛЕНА  
(Р е з ю м е)

Автор даёт улучшение результатов, полученных И. Торсаном в [1].  
Пусть  $f(x)$  многочлен

$$f(x) = x^n + a_1 x^{n-1} + a_2 x^{n-2} + \dots + a_n \quad (1),$$

определенный над телом комплексных чисел. Пусть  $\alpha$  параметр

$$A_0 = |a_1 - \alpha|, \quad A_i = |a_{i+1} - \alpha a_i| \quad (i = 1, 2, \dots, n-1), \quad A_n = |\alpha a_n|$$

$$\sigma = \sum_{i=1}^n \frac{A_i}{\left(\frac{A_0}{2}\right)^{i-1}}, \quad a_k = q_k + i h_k \quad \alpha = \frac{\sum_{k=1}^{n-1} (q_k q_{k+1} + h_k h_{k+1})}{\sum_{k=1}^n (q_k^2 + h_k^2)}$$

Показано, что:

*Теорема.* Если коэффициенты  $a_i$  удовлетворяют неравенству

$$A_0 < 2\sqrt{\sigma} \quad (14),$$

то корни многочлена  $f(x)$  расположены в объединении кругов

$$|z + A_0| \leq A_0 - \beta_i \text{ и } |z| \leq \beta_f$$

где

$$\beta_0 = \frac{1}{2} A_0 \text{ и } \beta_i = \frac{1}{2} (A_0 + \sqrt{A_0^2 - 4[A_1 - \Omega(\beta_{i-1})]}) \text{ и}$$

$$\beta_j = \frac{1}{2} \{A_0 + \Theta(\beta_{j-1}) - \sqrt{[A_0 + \Theta(\beta_{j-1})]^2 - 4[A_1 - \Omega(m_1) + m_1 \Theta(\beta_{j-1})]}\}$$

$$\text{и } \Omega(\beta) = - \sum_{i=1}^n \frac{A_i}{\beta^{i-1}}, \quad \Theta(\beta) = \frac{\Omega(\beta) - \Omega(m)}{\beta - m_1} \text{ а } m_1 \text{ — корень многочлена } \beta^2 - A_0 \beta + A_1.$$

Этот результат имеет следующие следствия:

*Следствие 1.* Если коэффициенты многочлена (1) удовлетворяют условию (14), то  $f(z)$  имеет один корень в круге

$$|z + A_0| \leq A_0 - \beta_i$$

и  $n-1$  корней в круге  $|z| \leq \beta_f$ .

Этот результат обобщает и улучшает результаты М. Пароди [5] и А. Островского [7].

*Следствие 2.* Если коэффициенты многочлена (1) целые числа и удовлетворяют неравенству

$$A_0 > 1 + \sum_{i=1}^n A_i$$

то  $f(z)$  несокращаема в теле рациональных чисел.

Этот результат обобщает результаты М. Пароди [5] и О. Перроне [6].

## CONSIDÉRATIONS DIRECTES SUR LA GÉNÉRATION DES NOEUDS (II)

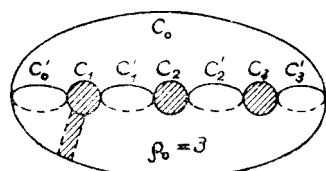
par

GEORGE CĂLUGĂREANU

de l'Académie de la République Socialiste de Roumanie

Dans un travail antérieur [1] nous avons montré que chaque noeud  $N$  de  $S^3$  peut être tracé sur une surface fermée  $S$  orientable et en position normale dans  $S^3$ , de manière que  $N$  divise  $S$  en deux domaines disjoints. On dit que  $S$  est en position normale dans  $S^3$  si  $S$  est plongée dans  $S^3$  de manière à diviser  $S^3$  en deux domaines homéomorphes entre eux. Dans ce qui suit, nous voulons indiquer un procédé de construction des courbes fermées simples  $N$  qui divisent une telle surface  $S$  en deux domaines, en utilisant des systèmes de courbes simples qui ne divisent pas la surface  $S$ . Ce procédé résulte aussi d'un théorème de H. Zieschang [2, p. 38]; nous y établissons un équivalent de la seconde partie de ce théorème par des moyens directs.

1. *Courbes fermées simples séparatrices. Graphes complémentaires.*  $N$  étant un noeud de  $S^3$ , de type quelconque, il existe une surface fermée orientable  $S$ , en position normale dans  $S^3$ , sur laquelle  $N$  se trouve tracé de manière à diviser cette surface en deux domaines. Nous dirons que  $N$  est une courbe simple séparatrice sur  $S$ . Le type de  $N$  étant donné, le genre  $p$  de  $S$  ne pourra être inférieur à une valeur minima  $p_0(N)$ , que nous appelons *genre normal* de  $N$ . Supposons  $N$  tracé sur une surface  $S$  de genre  $p_0(N)$  (coussin à  $p_0$  trous). Nous pouvons prendre  $S$  sous une forme canonique, cette surface étant placée symétriquement par rapport à un plan  $\Pi$  qui coupe  $S$  suivant  $p_0+1$  courbes fermées  $C_0, C_1, \dots, C_{p_0}$  (fig. 1). De plus, on suppose  $S$  placée symétriquement par rapport à un second plan  $\Pi'$  orthogonal à  $\Pi$ , et  $\Pi'$  coupant  $S$  suivant  $p_0+1$  courbes fermées  $C'_0, C'_1, \dots, C'_{p_0}$ . Dans ces conditions,  $N$  étant tracé sur  $S$ ,  $N$  devra traverser effectivement chaque courbe  $C_i$ ,  $i = 0, 1, \dots, p_0$ , car, si une courbe  $C_i$  n'était pas traversée par  $N$ , le trou de  $S$  correspondant à  $C_i$  pourrait être comblé, donc supprimé, et le genre  $p_0(N)$  pourrait être diminué, contrairement à sa définition. De même, on voit que  $N$  doit traverser chacune des courbes  $C'_i$ ,  $i = 0, 1, \dots, p_0$ , sans quoi le genre  $p_0(N)$  pourrait encore être diminué en pratiquant dans  $S$  une coupure (hachurée sur la fig. 1) par deux plans parallèles et rapprochés, orthogonaux à  $\Pi$ , de manière à supprimer un trou de  $S$ . Désignons



Pig. 1.

par  $S_1$  la partie de  $S$  qui se trouve au-dessus de  $\Pi$ , et par  $S_2$  la partie située au-dessous de  $\Pi$ .

Le noeud  $N$  divise  $S$  en deux domaines disjoints. Soit  $\Delta$  l'un de ces domaines (hachuré sur la fig. 2, a)). Le plan  $\Pi$  divise  $\Delta$  en plusieurs domaines  $\Delta_k$  situés sur  $S_1$  ou  $S_2$ . La frontière de l'un de ces domaines est formée d'un certain nombre d'arcs appartenant à  $N$ , et d'un certain nombre d'arcs appartenant aux courbes  $C_i$ . Chacun des arcs appartenant à  $N$  joint un point d'une courbe  $C_i$  à un point appartenant à une  $C_j$ . Dans chaque domaine  $\Delta_k$  choisissons un point intérieur  $P_k$ , et sur chaque arc appartenant à une courbe  $C_i$ , situé sur la frontière de  $\Delta_k$ , choisissons un point  $Q'_k$ . Joignons chaque  $Q'_k$  à  $P_k$  par un arc dans  $\Delta_k$ , deux de ces arcs ayant en commun le point  $P_k$  seulement. Les points  $Q'_k$  seront les mêmes pour les domaines  $\Delta_k$  appartenant aux deux moitiés  $S_1$  et  $S_2$  de  $S$  (fig. 2 ; b, c).

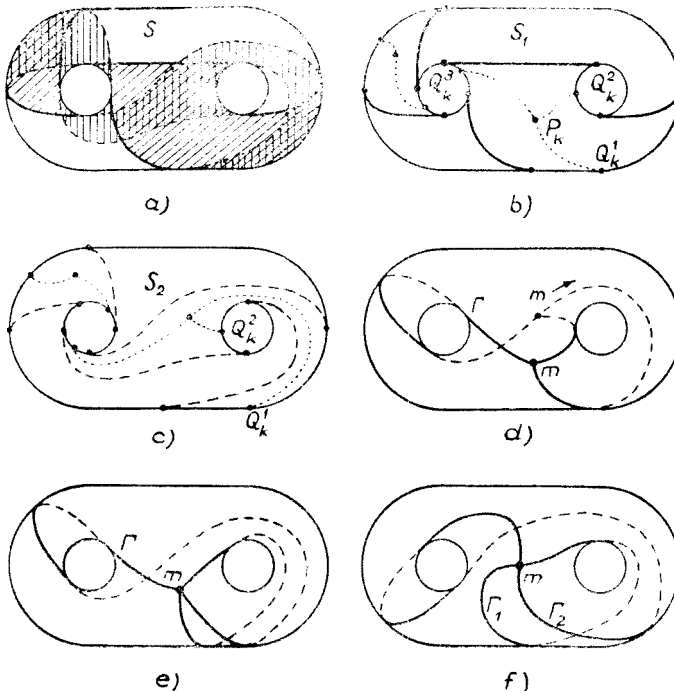


Fig. 2.

Les arcs ainsi construits forment alors un graphe  $\Gamma$  intérieur à  $\Delta$  (fig. 2 ; d), qui est un rétracte de déformation de  $\Delta$ . Un graphe analogue peut être construit à l'intérieur du second domaine que  $N$  détermine sur  $S$ , et ces deux graphes seront appelés „graphes complémentaires de  $N$  sur  $S$ “. Dans ce qui suit, il suffira de considérer l'un quelconque de ces graphes, que nous désignerons par  $\Gamma$ . Alors  $S - \Gamma$  forme un domaine unique, dont le bord est une courbe fermée isotope (sur  $S$ ) à  $N$ . Cette propriété n'est pas altérée si l'on supprime, sur  $\Gamma$ , chaque arc ayant une extrémité libre. De plus, si  $\Gamma$  possède plusieurs points de ramification (points en lesquels se rencontrent un nombre  $\geq 3$  d'arcs simples appartenant à  $\Gamma$ ), on peut déformer  $\Gamma$  de manière qu'il possède un seul point de ramification. A cet effet, choisissons un point de ramification de  $\Gamma$ , soit  $m$  (fig. 2 ; d, e). Si, à partir de  $m$ , on parcourt un arc de  $\Gamma$  qui mène à un autre point de ramification  $m'$ , on pourra raccourcir successivement l'arc  $mm'$  sur  $S$  (et rallonger en conséquence les arcs qui aboutissent en  $m'$ ) de manière à amener  $m'$  en  $m$ . Cette opération ne change pas la classe d'isotopie du bord de  $\Gamma$ . En effectuant cette opération pour chacun des arcs qui partent de  $m$ , on obtient un graphe  $\Gamma$  à un seul point de ramification  $m$  (fig. 2 ; e, f).  $\Gamma$  se compose alors d'un certain nombre d'arcs tracés sur  $S$ , ayant leurs extrémités en  $m$ .

Si l'on remplace chacun de ces arcs par un ruban mince placé sur  $S$ , on obtient une surface de Seifert dont le bord est une courbe isotope à  $N$ , avec cette différence

que notre surface est placée sur une surface fermée orientable en position normale dans  $S^3$ .

Si l'on a en vue d'obtenir un procédé de construction des noeuds de  $S^3$ , on peut donc se limiter à la formation des graphes  $\Gamma$  situés sur  $S$ , et formés de courbes simples sur  $S$ , concourantes en un point  $m$  et deux-à-deux disjointes en dehors de  $m$ . Nous appellerons *gerbe sur  $S$*  un tel assemblage de courbes.

**2. Gerbes admissibles.** Une gerbe sur  $S$  détermine un noeud unique si son bord ne se décompose pas en plusieurs courbes. Nous dirons donc qu'une gerbe  $\Gamma$  est *admissible* si son bord est une courbe unique. Cherchons les conditions nécessaires et suffisantes pour qu'une gerbe soit admissible.

Si une gerbe admissible  $\Gamma$  est formée de  $n$  courbes simples  $C_i$  passant par  $m$  et disjointes en dehors de  $m$ , il est clair que chaque courbe  $C_i$  prise séparément ne divise pas la surface  $S$ , puisque  $\Gamma$  ne doit pas diviser  $S$ . Mais cette condition nécessaire n'est pas suffisante pour que  $\Gamma$  soit admissible. Soit  $\gamma$  une courbe fermée simple qui est la frontière d'un petit disque sur  $S$ , contenant le point  $m$  à son intérieur. Choisissons un sens positif de parcours sur  $\gamma$  et marquons par les indices  $1, 2, \dots, 2n$  les points d'intersection des courbes  $C_i$  avec  $\gamma$ , l'ordre de succession de ces points sur  $\gamma$  coïncidant avec l'ordre naturel des indices. A chaque  $k$  de cette suite il correspond un indice  $\varphi(k)$  si l'on convient que  $k$  et  $\varphi(k)$  représentent les deux points d'intersection de la courbe  $C_k$  avec  $\gamma$ , pour  $k = 1, 2, \dots, 2n$ .

L'application  $\varphi$  est une permutation de la suite  $1, 2, \dots, 2n$  et se décompose en cycles binaires (à deux éléments), donc  $\varphi\varphi(k) = k$ . Marquons, au voisinage de  $\gamma$ , les bords de chaque  $C_k$  des signes  $+$  et  $-$ , ces signes se suivant alternativement le long de  $\gamma$  (fig. 3). On voit alors que, en parcourant le bord de  $\Gamma$  dans un sens convenable, on sort de  $\gamma$  sur le bord  $+$  de  $C_k$  et l'on rentre dans  $\gamma$  sur le bord  $-$  de  $C_{\varphi(k)}$ , on ressort de  $\gamma$  sur le bord  $+$  de  $C_{\varphi(k)-1}$  et l'on rentre sur le bord  $-$  de  $C_{\varphi(\varphi(k)-1)}$ , etc. En posant  $i_0 = 1, i_1 = \varphi(i_0), i_2 = i_1 - 1, i_3 = \varphi(i_2), i_4 = i_3 - 1, \dots, i_{2s+1} = \varphi(i_{2s}), i_{2s+2} = i_{2s+1} - 1, \dots$  on voit que, si le bord de  $\Gamma$  est une courbe unique, la suite  $i_1, i_2, \dots, i_{4n}$  doit épuiser deux fois la suite  $1, 2, \dots, 2n$ , les deux bords de chaque  $C_i$  devant être parcourus, chacun une seule fois. En posant  $\psi(k) = k - 1$  pour  $k > 1$ ,  $\psi(1) = 2n$ , la suite  $i_1, i_2, \dots, i_{4n}$  se décompose en

$$\begin{aligned} \varphi(1), \quad \varphi\psi\varphi(1), \dots \varphi(\psi\varphi)^k(1) \dots \varphi(\psi\varphi)^{2n-1}(1) \\ \psi\varphi(1), \quad (\psi\varphi)^2(1), \dots (\psi\varphi)^{k+1}(1) \dots (\psi\varphi)^{2n}(1). \end{aligned} \quad (1)$$

Cette suite doit contenir deux fois chaque nombre naturel de  $1$  à  $2n$ . On voit que la seconde ligne de (1) donne les points-sortie sur les bords  $+$  des  $C_i$ , tandis que la première donne les points-rentree sur les bords  $-$ . Chacune des deux lignes de (1) doit alors épuiser la suite  $1, 2, \dots, 2n$  (mod.  $2n$ ). Or, puisque  $\psi(k) = k - 1$ , il suffit que l'une de ces lignes vérifie cette condition pour que l'autre la vérifie aussi. En regard à la seconde ligne de (1), cela signifie que la permutation  $\psi\varphi$  doit former un cycle unique. Posons  $P = \psi\varphi$ ,  $\varphi = \psi^{-1}P$ . Si  $P = (a_1 a_2 \dots a_{2n})$ , les  $a_i$  étant des nombres naturels distincts, entre  $1$  et  $2n$ , on a

$$\varphi = \psi^{-1} \begin{pmatrix} a_1 & a_2 & \dots & a_{2n} \\ a_2 & a_3 & \dots & a_1 \end{pmatrix} = \begin{pmatrix} a_1 & & a_2 & & \dots & a_{2n} \\ a_2 + 1 & a_3 + 1 & \dots & a_1 + 1 \end{pmatrix}.$$

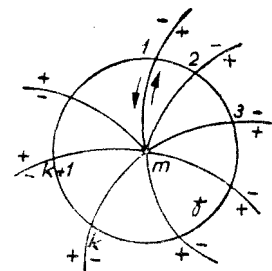


Fig. 3.

Il s'agit donc de trouver les cycles  $P$  à  $2n$  éléments tels que la permutation  $\varphi$  correspondante se décompose en  $n$  cycles binaires. Donnons les conditions nécessaires et suffisantes pour qu'il en soit ainsi. Si  $\varphi$  se décompose en cycles binaires, soit

$$\begin{pmatrix} a_i & a_j \\ a_{i+1} + 1 & a_{j+1} + 1 \end{pmatrix} \quad (2)$$

un de ces cycles. On a

$$a_i = a_{j+1} + 1 \pmod{2n}, \quad a_j = a_{i+1} + 1 \pmod{2n}. \quad (3)$$

A chaque  $i$  entre 1 et  $2n$  il doit correspondre un  $j$  entre 1 et  $2n$  de manière que (3) soit vérifiée. Cette condition suffit pour que  $\varphi$  se décompose en cycles binaires. La détermination des permutations  $P$  jouissant de cette propriété peut être intéressante, mais l'application d'une autre opération, de caractère plus géométrique, nous dispense de poursuivre ce problème sur les permutations, dont les solutions sont assez nombreuses.

La construction d'une gerbe admissible  $\Gamma$  comporte deux étapes distinctes. La première consiste à grouper les points 1, 2, ...,  $2n$  marqués sur  $\gamma$  en  $n$  couples  $(k, \varphi(k))$ , où  $\varphi$  vérifie la condition ci-dessus. Toute solution de ce problème détermine une *indicatrice admissible* pour la gerbe  $\Gamma$ . En joignant  $m$  aux points marqués 1, 2, ...,  $2n$  sur  $\gamma$  par des rayons sur  $S$ , l'indicatrice fait correspondre à chaque rayon  $k$  un rayon conjugué  $\varphi(k)$ . La seconde étape consiste à joindre les extrémités des rayons conjugués par des arcs de courbes tracées sur  $S$ , de manière que ces  $n$  arcs soient deux-à-deux disjoints. La gerbe  $\Gamma$  ainsi construite sera admissible, car  $S - \Gamma$  est alors un domaine unique.

Nous définirons une opération, appelée *opération A*, telle que, étant donnée une indicatrice admissible, l'application de  $A$  nous permet d'en déduire une autre indicatrice admissible ; de plus, toute indicatrice admissible (pour  $n$  fixé) peut être déduite de l'une d'elles par application répétée de l'opération  $A$ .

Soit  $\Gamma$  une gerbe admissible, et  $(i, j)$ ,  $j = \varphi(i)$  un couple d'indices conjugués. Les extrémités des rayons  $i$  et  $j$  se trouvent donc joints par un arc simple sur  $S$ , situé à l'extérieur du disque  $\gamma$ .

Remplaçons le rayon  $i - 1$  par un arc de courbe intérieur à  $\gamma$  qui joint le point  $i - 1$  (sur  $\gamma$ ) à un point  $P$  du rayon  $i$  (fig. 4 ; b) sur le bord — de ce rayon, puis, en faisant glisser le point  $P$  sur la courbe qui joint  $i$  à  $j$  sur  $S$ , prolongeons l'arc  $(i - 1, P)$  par une courbe sur  $S$  assez voisine de la précédente pour qu'elle ne rencontre aucune courbe de la gerbe. Le point  $P$  arrivera sur le rayon  $j$  (fig. 4, c) et, finalement, sera ramené en  $m$ , le rayon  $i - 1$  se trouvant déplacé entre les rayons  $j$  et  $j + 1$ . Il est clair que cette transformation de la gerbe  $\Gamma$  entraîne une déformation isotope du bord de  $\Gamma$ , et la nouvelle indicatrice ainsi obtenue est encore admissible. Telle est notre opération  $A$ . Elle peut être appliquée aussi en prenant  $P$  sur le bord + du rayon  $i$ , ce qui permet de déplacer le rayon  $i + 1$  entre  $j - 1$  et  $j$ .

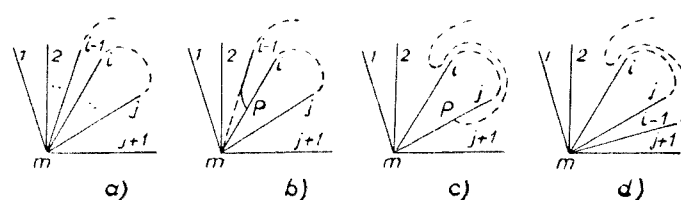


Fig. 4.

Remarquons que si  $\Gamma$  est admissible, et  $i, j$  sont conjugués, il existe entre  $i$  et  $j$  un indice  $k$  dont le conjugué n'est pas entre  $i$  et  $j$ , sans quoi le bord de  $\Gamma$  ne formerait pas une courbe unique, et  $\Gamma$  ne serait pas admissible. Supposons,

pour fixer les idées,  $i < k < j$ . Si  $\varphi(k) < i$ , déplaçons successivement les rayons  $i - 1, i - 2, \dots, \varphi(k) + 1$  entre  $j$  et  $j + 1$  par l'opération  $A$ . Il ne restera alors aucun rayon entre  $\varphi(k)$  et  $i$  (fig. 5, a). Déplaçons ensuite les rayons  $i + 1, i + 2, \dots, k - 1$  sur le bord  $+$  du rayon  $i$ , ce qui amène ces rayons entre  $j - 1$  et  $j$  (fig. 5, b), et continuons avec les rayons situés entre  $k$  et  $j$  que nous déplacerons sur le bord  $+$  de  $k$ , ce qui amène ces rayons entre  $\varphi(k) - 1$  et  $\varphi(k)$  (fig. 5, c). On obtient de cette manière un quadruplet  $k, \varphi(k), i, j$  aucun rayon n'existant plus entre  $\varphi(k)$  et  $i$ , ou entre  $i$  et  $k$ , ou entre  $k$  et  $j$ . Les rayons  $k, \varphi(k)$  se trouvent joints par une courbe sur  $S$ , de même que les rayons  $i$  et  $j$ . D'ailleurs, notre hypothèse  $\varphi(k) < i$  peut toujours être réalisée par un changement circulaire des indices  $1, 2, \dots, 2n$ . En laissant inchangé le quadruplet déjà formé, on pourra ensuite reprendre les opérations sur les rayons restants, ce quadruplet permettant le passage du point mobile  $P$  d'un côté

ou de l'autre du quadruplet. On arrivera ainsi à la formation de plusieurs quadruplets et, si  $n$  était impair, on obtiendrait finalement un couple de rayons consécutifs conjugués, donc joints par une courbe sur  $S$ . Mais alors le bord de  $\Gamma$  serait composé de plusieurs courbes, et  $\Gamma$  ne serait pas admissible. Il en résulte que  $n$  est nécessairement un nombre pair si  $\Gamma$  est admissible.

Ainsi, une gerbe admissible est formée d'un nombre pair de courbes  $C_i$  et, par application répétée de l'opération  $A$ , l'indicatrice peut être ramenée à la forme canonique d'une suite de quadruplets  $(k, k + 2), (k + 1, k + 3)$ , les indices entre parenthèses étant conjugués. On peut aussi employer une autre forme canonique  $(k, k + n)$ ,  $k = 1, 2, \dots, n$ , qui a l'avantage de posséder la symétrie de rotation autour de  $m$ . Dans ce cas, deux courbes quelconques  $C_i, C_j$  de la gerbe se transversent au point  $m$ .

Il en résulte que chaque courbe simple séparatrice sur  $S$  appartient à une classe d'homotopie de la forme  $w_1 w_2 \dots w_{2q} w_1^{-1} w_2^{-1} \dots w_{2q}^{-1}$ ,  $w_1, \dots, w_{2q}$  représentant des classes d'homotopie qui contiennent des courbes simples, et ces courbes pouvant être choisies de manière à passer par un point  $m$  de  $S$ , sans avoir deux-à-deux un autre point en commun. On peut encore caractériser ces courbes par  $w_1 w_2 w_1^{-1} w_2^{-1} \dots w_{2q-1} w_{2q} w_{2q-1}^{-1} w_{2q}^{-1}$ , ce qui nous ramène au théorème cité de H. Zieschang.

En ce qui concerne le choix de l'indicatrice, on voit que l'on peut toujours se contenter de l'indicatrice symétrique  $(k, k + 2q)$ ,  $k = 1, 2, \dots, 2q$ , sans perte de généralité. Si  $S$  est de genre  $p$ , toute gerbe admissible à  $2p$  courbes forme un système de coupures canoniques de  $S$ ,  $S - \Gamma$  étant homéomorphe à un disque.

Pour la construction effective des gerbes admissibles un second problème se pose : joindre les extrémités des rayons opposés de l'indicatrice par des arcs simples de  $S$ , deux-à-deux disjoints, et cela de toutes les manières possibles. La solution de ce problème est fournie par les résultats de M. Dehn [3] sur les rétrécissements (Selbstverbindungen) d'une surface fermée de genre  $p$  avec un bord (la courbe  $\gamma$ ). De même que le problème des classes d'homotopie de  $S$  qui contiennent

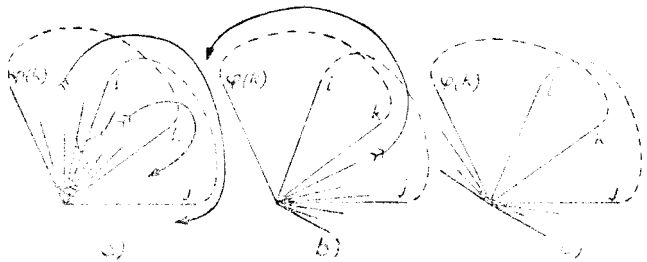


Fig. 5.

des courbes simples, ce problème revient à la détermination des automorphismes du groupe fondamental  $\pi_1(S)$ . En représentant ce groupe à l'aide de  $2p$  générateurs  $g_1, g_2, \dots, g_{2p}$ , liés par la relation symétrique

$$g_1 g_1 \cdots g_{2p} g_1^{-1} g_2^{-1} \cdots g_{2p}^{-1} = 1$$

nous avons donné [4] les conditions nécessaires et suffisantes pour que le mot  $h = g_{i_1}^{x_1} g_{i_2}^{x_2} \cdots g_{i_n}^{x_n}$  représente une classe d'homotopie de  $S$  contenant des courbes simples. Ces conditions sont données par  $n(n-1)/2$  inégalités de nature arithmétique concernant les suites d'entiers  $i_1, i_2, \dots, i_n; x_1, x_2, \dots, x_n$ . Or, la méthode qui nous a conduit à ce résultat s'étend sans modification essentielle au problème de la détermination des automorphismes de  $\pi_1(S)$ ; l'étude de ce dernier problème fera l'objet de notre prochain travail.

(Manuscrit reçu le 20 février 1967)

#### BIBLIOGRAPHIE

1. Călugăreanu G., *Considérations directes sur la génération des nœuds tridimensionnels*. Revue roumaine de math. et appl., **10**, 389--403 (1965).
2. Zieschang H., *Algorithmen für einfache Kurven auf Flächen*. Mathematica Scandinavica, **17**, 17--40 (1965).
3. Dehn M., *Die Gruppe der Abbildungsklassen*. Acta math., **69**, 135--206 (1938).
4. Călugăreanu G., *Courbes fermées simples sur une surface fermée orientable*. Mathematica (Cluj) (en cours d'impression).

#### CONSIDERAȚII DIRECTE ASUPRA GENERĂRII NODURILOR (II)

(Rezumat)

Într-o lucrare anterioară [1] s-a arătat că orice nod  $N$  din  $S^3$  poate fi trasat pe o suprafață închisă orientabilă  $S$  în poziție normală în  $S^3$ , astfel încât  $N$  să o dividă în două domenii disjuncte.  $S$  este în poziție normală în  $S^3$  dacă  $S$  divide spațiul  $S^3$  în două domenii homeomorfe. Se dă aci un procedeu de construcție a curbelor închise simple  $N$  care divid suprafața  $S$  în două domenii disjuncte, regăsindu-se astfel și o parte a unei teoreme datorite lui H. Zieschang [2] prin mijloace mai directe. Se definesc grafele complementare unui nod trasat pe  $S$  ca retracție de deformare ale celor două domenii complementare lui  $N$  pe  $S$ . Se introduce apoi noțiunea de jerbă admisibilă, caracterizată prin indicatricea corespunzătoare. Analiza proprietăților acestor indicatrici conduce direct la procedeul de construcție căutat, și permite determinarea claselor de omotopie din  $\pi_1(S)$  care conțin curbe simple separatoare pe  $S$ .

#### НЕПОСРЕДСТВЕННЫЕ СООБРАЖЕНИЯ О ГЕНЕРИРОВАНИИ УЗЛОВ (II)

(Резюме)

В предыдущей работе (I) показано, что любой узел  $N$  из  $S^3$  можно начертить на ориентируемой закрытой поверхности  $S$  в нормальном положении в  $S^3$  так, чтобы  $N$  разделял её на две непересекающиеся области.  $S$  находится в нормальном положении в  $S^3$ , если  $S$  разделяет пространство  $S^3$  на две гомеоморфные области. Даётся способ построения простых закрытых кривых  $N$ , разделяющих поверхность  $S$  на две непересекающиеся области и, таким образом, снова находится и часть одной теоремы Г. Цишаңга (2) более прямыми средствами. Определяются дополнительные графы одного узла, начертенного на  $S$  как деформационные ретракты двух дополнительных областей кривой  $N$  на  $S$ . Вводится затем понятие допустимого пучка, характеризующегося соответствующей индикаторной. Анализ свойств этих индикаторов непосредственно приводит к искомому способу построения и позволяет определить классы гомотопии из  $(S)$ , содержащие разделяющие простые кривые на  $S$ .

DESPRE UNELE PROPRIETĂȚI ALE STELELOR FAMILIIILOR  
DE MULTIMI

de

**PETER KESSLER**

§ 1. Cu  $S$  vom nota o mulțime oarecare de elemente și cu  $\mathcal{P}(S)$  mulțimea părților lui  $S$ . Elementele lui  $S$  le vom nota cu litere mici, elementele lui  $\mathcal{P}(S)$  cu litere mari, iar elementele lui  $\mathcal{P}^2(S)$  cu litere rotunde. Prin familie de mulțimi se înțelege orice submulțime a lui  $\mathcal{P}(S)$ . Acoperire a lui  $S$  va fi orice familie de mulțimi a căror reuniune este  $S$ . O acoperire formată din mulțimi două cîte două disjuncte o vom numi partitie.

Pentru două familii de mulțimi  $\mathcal{U}$  și  $\mathcal{V}$  se definește  $e$ -incluziunea în felul următor:  $\mathcal{U} \overset{e}{\subset} \mathcal{V}$  dacă pentru orice  $U \in \mathcal{U}$  există un  $V \in \mathcal{V}$ , astfel încât  $U \subset V$ . Cu ajutorul  $e$ -incluziunii se poate introduce o relație de echivalență între elementele lui  $\mathcal{P}^2(S)$  în felul următor:  $\mathcal{U} \sim \mathcal{V}$  dacă  $\mathcal{U} \overset{e}{\subset} \mathcal{V}$  și  $\mathcal{V} \overset{e}{\subset} \mathcal{U}$ .

Dacă  $M \in \mathcal{P}(S)$  și  $\mathcal{U} \in \mathcal{P}^2(S)$  atunci prin steaua mulțimii  $M$  în raport cu familia de mulțimi  $\mathcal{U}$  înțelegem următoarea mulțime:

$$St(M, \mathcal{U}) = \bigcup \{U \in \mathcal{U} : U \cap M \neq \emptyset\},$$

deci reuniunea tuturor mulțimilor din  $\mathcal{U}$  care intersectează  $M$ . În cazul cînd  $M$  se reduce la un singur punct  $M = \{p\}$  se notează mai scurt  $St(\{p\}, \mathcal{U}) = St(p, \mathcal{U})$ .

Se notează cu  $St(\mathcal{U})$  și  $St^*(\mathcal{U})$  următoarele familii de mulțimi:

$$St(\mathcal{U}) = \{St(p, \mathcal{U}) : p \in S\}$$

$$St^*(\mathcal{U}) = \{St(U, \mathcal{U}) : U \in \mathcal{U}\}$$

numite steaua, respectiv steaua mare a familiei de mulțimi  $\mathcal{U}$ .

În cazul particular, cînd  $\mathcal{U}$  este o acoperire al lui  $S$ , atunci și  $St(\mathcal{U})$  și  $St^*(\mathcal{U})$  sunt din nou acoperiri ale lui  $S$ .

Lucrarea de față se ocupă cu proprietățile stelelor și stelelor mari ale familiilor de mulțimi.

La început vom enunța unele proprietăți simple care sunt folosite pe parcurs.

**TEOREMĂ 1.1.** Pentru orice familie de mulțimi  $\mathcal{U}$  au loc relațiile:

$$\mathcal{U} \overset{e}{\subset} St(\mathcal{U}) \overset{e}{\subset} St^*(\mathcal{U})$$

**TEOREMA 1.2.** Dacă  $M_1$  și  $M_2$  sunt două mulțimi din  $\mathcal{P}(S)$  și  $M_1 \subset M_2$ , atunci pentru orice familie de mulțimi din  $\mathcal{P}^2(S)$  are loc inclusiunea

$$St(M_1, \mathcal{U}) \subset St(M_2, \mathcal{U})$$

**TEOREMA 1.3.** Dacă  $\mathcal{U}$  și  $\mathcal{V}$  sunt două familii de mulțimi astfel încât  $\mathcal{U} \subset \mathcal{V}$ , atunci pentru orice mulțime  $M$  din  $\mathcal{P}(S)$  are loc inclusiunea

$$St(M, \mathcal{U}) \subset St(M, \mathcal{V})$$

Din ultima teoremă rezultă că dacă  $\mathcal{U}$  și  $\mathcal{V}$  sunt două familii de mulțimi echivalente, atunci pentru orice mulțime  $M$  are loc egalitatea  $St(M, \mathcal{U}) = St(M, \mathcal{V})$ . Reciproca ultimei afirmații nu este adevărată.

**TEOREMA 1.4.** Dacă  $\mathcal{U}$  și  $\mathcal{V}$  sunt două familii de mulțimi echivalente, atunci au loc relațiile:

$$St(\mathcal{U}) = St(\mathcal{V})$$

$$St^*(\mathcal{U}) = St^*(\mathcal{V})$$

Reciproca teoremei 1.4 nu este adevărată.

§ 2. Steaua, respectiv steaua mare a unei familii de mulțimi este din nou o familie de mulțimi. Se pot deci defini doi operatori  $St$  și  $St^*$  în mulțimea  $\mathcal{P}^2(S)$ , care atașează fiecărei familii de mulțimi  $\mathcal{U}$  steaua  $St(\mathcal{U})$ , respectiv steaua mare  $St^*(\mathcal{U})$ . Putem să ne întrebăm atunci care sunt elementele fixe ale acestor operatori. Vom numi o familie  $\mathcal{U}$  pentru care  $St(\mathcal{U}) = \mathcal{U}$  un invariant stelar, iar o familie  $\mathcal{U}$  pentru care  $St^*(\mathcal{U}) = \mathcal{U}$  un invariant tare stelar. În acest paragraf ne vom ocupa cu familii invariante față de operatorii  $St$  și  $St^*$ .

La început vom da două condiții simple care caracterizează invariantele stelare, respectiv invariantele tare stelare și vom căuta să găsim acele familii de mulțimi care sunt în același timp invariante stelare și invariante tare stelare.

**TEOREMA 2.1.** Familia de mulțimi  $\mathcal{U}$  este un invariant stelar atunci și numai atunci cînd pentru orice  $U \in \mathcal{U}$  și orice  $q \in U$  are loc egalitatea

$$St(q, \mathcal{U}) = U$$

**D e m o n s t r a ᄀ i e.** Fie  $\mathcal{U}$  un invariant stelar și să presupunem că există un  $U \in \mathcal{U}$  și un  $q \in U$  astfel încât  $St(q, \mathcal{U}) \neq U$ . Dar deoarece  $q \in U$ , rezultă că  $U \subset St(q, \mathcal{U})$ . De aici ar rezulta însă că  $U \not\in St(\mathcal{U})$ , contrar ipotezei că  $\mathcal{U}$  este un invariant stelar.

**I**nvers, să presupunem că  $\mathcal{U}$  este o familie de mulțimi care verifică proprietatea că pentru orice  $U \in \mathcal{U}$  și orice  $q \in U$  are loc  $St(q, \mathcal{U}) = U$ . Atunci rezultă ușor că  $St(\mathcal{U}) = \mathcal{U}$ , deci este vorba de un invariant stelar.

O proprietate analogă se demonstrează pentru steaua mare a unei familii de mulțimi.

**TEOREMA 2.2.** Familia de mulțimi  $\mathcal{U}$  este un invariant tare stelar atunci și numai atunci cînd pentru orice  $U \in \mathcal{U}$  are loc egalitatea

$$St(U, \mathcal{U}) = U$$

**D e m o n s t r a ᄀ i e.** Fie  $\mathcal{U}$  un invariant tare stelar. Presupunem că există un  $U \in \mathcal{U}$  astfel încât  $St(U, \mathcal{U}) \neq U$ . Atunci rezultă  $U \subset St(U, \mathcal{U})$  și  $U \not\in St^*(\mathcal{U})$ , contrar ipotezei.

Invers, fie  $U \in \mathcal{U}$ , atunci  $St(U, \mathcal{U}) = U$  și deci  $U \in St^*(\mathcal{U})$ . Dacă  $U^* \in St^*(\mathcal{U})$ , atunci există  $U \in \mathcal{U}$ , astfel încât  $U^* = St(U, \mathcal{U}) = U \in \mathcal{U}$  și deci  $U^* \in \mathcal{U}$ . Cu aceasta am demonstrat că  $\mathcal{U}$  este un invariant tare stelar.

Orice familie de mulțimi două cîte două disjuncte este atît un invariant stelar cît și un invariant tare stelar. Următoarea teoremă arată că are loc și proprietatea inversă.

**TEOREMA 2.3. a)** *Dacă  $\mathcal{U}$  este un invariant stelar, atunci este formată din mulțimi două cîte două disjuncte.*

*b) Dacă  $\mathcal{U}$  este un invariant tare stelar atunci este formată din mulțimi două cîte două disjuncte.*

De monstrează a). Fie deci  $\mathcal{U}$  un invariant stelar și să presupunem că există două mulțimi  $U_1$  și  $U_2$  din  $\mathcal{U}$  astfel încât  $U_1 \neq U_2$  și  $U_1 \cap U_2 \neq \emptyset$ . Fie atunci  $p \in U_1 \cap U_2$ . Din teorema 2.1 rezultă că  $St(p, \mathcal{U}) = U_1$ , deoarece  $p \in U_1$ , și  $St(p, \mathcal{U}) = U_2$ , deoarece  $p \in U_2$  și deci  $U_1 = U_2$ , contrar ipotezei.

Afirmația b) se demonstrează analog.

Din ultima teoremă rezultă următorul corolar :

**COROLAR 2.4.** *Familia de mulțimi  $\mathcal{U}$  este un invariant stelar atunci și numai atunci cînd este un invariant tare stelar.*

Acoperirile invariante față de operatorii  $St$  și  $St^*$  sunt exact partițiile.

§ 3. Steaua respectiv steaua mare a unei familii fiind din nou familii de mulțimi, putem aplica și lor operatorii  $St$  și  $St^*$ . Se definesc astfel iterațele stelare și tare stelare ale unei familii de mulțimi.

Pentru orice ordinal nelimită  $\alpha + 1$  se definește steaua de ordinul  $\alpha + 1$  a unei familii de mulțimi  $\mathcal{U}$  cu ajutorul următoarei formule de recurență :

$$St^{\alpha+1}(\mathcal{U}) = St(St^\alpha(\mathcal{U}))$$

respectiv steaua mare de ordinul  $\alpha + 1$  ca fiind

$$St^{*\alpha+1}(\mathcal{U}) = St^*(St^{*\alpha}(\mathcal{U}))$$

Pentru un ordinal limită  $\gamma$  se definește steaua de ordinul  $\gamma$  a unei familii de mulțimi  $\mathcal{U}$  cu ajutorul formulei :

$$St^\gamma(\mathcal{U}) = \bigcup_{\alpha < \gamma} St^\alpha(\mathcal{U})$$

respectiv steaua mare de ordinul  $\gamma$  ca fiind

$$St^{*\gamma}(\mathcal{U}) = \bigcup_{\alpha < \gamma} St^{*\alpha}(\mathcal{U})$$

Familiile de forma  $St^\alpha(St^{*\beta})(\mathcal{U})$  și  $St^{*\alpha}(St^\beta(\mathcal{U}))$  unde  $\alpha$  și  $\beta$  sunt ordonale, le vom numi stele mixte de ordinul  $\alpha + \beta$  ale familiei de mulțimi  $\mathcal{U}$ .

În acest § ne vom ocupa cu proprietățile acestor iterații stelare.

**TEOREMA 3.1.** *Pentru orice număr natural  $n$  și orice familie de mulțimi  $\mathcal{U}$  are loc relația :*

$$St^{*n}(\mathcal{U}) \subset St^{n-1}(\mathcal{U})$$

De monstrează. Vom proceda prin inducție în raport cu  $n$ . Fie deci  $\mathcal{U}$  o familie de mulțimi oarecare și  $n = 1$ . Dacă  $M \in St^*(\mathcal{U})$ , atunci există un

$U_2 \in \mathcal{U}$ , astfel încât  $St(U_1, \mathcal{U}) = M$ . Fie  $p \in U_1$  arbitrar. Vom arăta că  $St(U_1, \mathcal{U}) \subset St(p, St(\mathcal{U}))$ . Pentru orice  $q \in U_1$ ,  $St(q, \mathcal{U})$  conține  $U_1$ , și deoarece  $St(U_1, \mathcal{U}) = \bigcup_{q \in U_1} St(q, \mathcal{U})$  orice  $U$  care intersecează  $U_1$  este conținut într-un  $St(q, \mathcal{U})$  unde  $q \in U_1$ . Din aceste observații rezultă că  $St(U, \mathcal{U}) \subset St(p, St(\mathcal{U})) \in St^2(\mathcal{U})$ . Prin urmare  $St^*(\mathcal{U}) \subset St^2(\mathcal{U})$ .

Presupunem că proprietatea este demonstrată pentru  $k \leq N$ , deci  $St^{*k}(\mathcal{U}) \subset St^{k+1}(\mathcal{U})$  și să arătăm că are loc și pentru  $k = n + 1$ . Fie  $M \in St^{*n+1}(\mathcal{U})$ , atunci există un  $U^{**} \in St^{**}(\mathcal{U})$ , astfel încât  $M = St(U^{**}, St^{**}(\mathcal{U}))$ . Fie  $p \in U^{**}$ . Se arată, la fel ca și în cazul  $n = 1$ , că  $St(U^{**}, St^{**}(\mathcal{U})) \subset St(p, St^{n+1}(\mathcal{U})) \in St^{n+2}(\mathcal{U})$ , și cu aceasta teorema este demonstrată.

Despre stelele de ordinul  $\omega + 1$  se demonstrează următoarea proprietate:

**TEOREMA 3.2.** *Pentru orice familie de multimi  $\mathcal{U}$ ,  $St^{\omega+1}(\mathcal{U})$  și  $St^{*\omega+1}(\mathcal{U})$  sunt invariante stelare și are loc egalitatea*

$$St^{\omega+1}(\mathcal{U}) = St^{*\omega+1}(\mathcal{U})$$

**Demonstratie:** Arătăm mai întâi că  $St^{\omega+1}(\mathcal{U})$  este un invariant stelar. Fie  $U' \text{ și } U'' \in St^{\omega+1}(\mathcal{U})$  și  $U' \cap U'' \neq \emptyset$ . Vom arăta că atunci cele două multimi coincid, deci  $U' = U''$ .

Există două puncte  $p$  și  $q$ , astfel încât  $U' = St(p, St^\omega(\mathcal{U}))$  și  $U'' = St(q, St^\omega(\mathcal{U}))$ , dar  $St(p, St^\omega(\mathcal{U})) = St(p, \bigcup_{k=1}^{\omega} St^k(\mathcal{U})) = \bigcup_{k=1}^{\omega} St(p, St^k(\mathcal{U}))$ . La fel  $St(q, St^\omega(\mathcal{U})) = \bigcup_{k=1}^{\omega} St(q, St^k(\mathcal{U}))$ . Fie  $p_1 \in S$ , astfel încât  $p_1 \in U' \cap U''$ . Fie  $r \in U'$ , există atunci un număr natural  $k$ , astfel încât  $r \in St(p, St^k(\mathcal{U}))$ . Deoarece  $p_1 \in U'$ , există un număr natural  $h$ , astfel încât  $p_1 \in (p, St^h(\mathcal{U}))$ . Fie  $m = \max(k, h)$ , atunci evident  $r, p_1 \in St(p, St^m(\mathcal{U}))$ . Deoarece  $p_1 \in U''$ , există un număr natural  $n$ , astfel încât  $p_1 \in St(q, St^n(\mathcal{U}))$ . Fie  $j = \max(m, n)$ . Au loc atunci următoarele incluziuni:  $St(p_1, St^j(\mathcal{U})) \supseteq St(p, St^m(\mathcal{U}))$  și  $St(p_1, St^j(\mathcal{U})) \supseteq St(p, St_n(\mathcal{U}))$ , dar atunci  $St(q, St^{j+1}(\mathcal{U})) \supseteq St(p_1, St^j(\mathcal{U})) \supseteq St(p, St^m(\mathcal{U}))$  și deci  $r \in St(q, St^{j+1}(\mathcal{U}))$  prin urmare  $r \in U''$ . De aici rezultă că  $U' \subset U''$ . La fel se constată că  $U'' \subset U'$  și deci  $U' = U''$ . Deci orice două elemente din  $St^{\omega+1}(\mathcal{U})$  cu intersecție nevidă coincid, este vorba, prin urmare, de un invariant stelar.

Pentru a demonstra complet teorema este suficient să dovedim egalitatea  $St^{\omega+1}(\mathcal{U}) = St^{*\omega+1}(\mathcal{U})$ . Pentru aceasta demonstrăm că oricare ar fi  $p \in S$  și oricare ar fi  $U^{*k} \in St^{*k}(\mathcal{U})$  pentru  $k$  arbitrar, astfel încât  $p \in U^{*k}$ , are loc egalitatea  $\bigcup_{j=1}^{\omega} St(p, St^j(\mathcal{U})) = \bigcup_{j=1}^{\omega} St(U^{*k}, St^{*j}(\mathcal{U}))$ . Într-adevăr, dacă  $q \in \bigcup_{j=1}^{\omega} St(p, St^j(\mathcal{U}))$ , atunci există un  $m$  natural, astfel încât  $q \in St(p, St^m(\mathcal{U}))$ , dar atunci, deoarece  $St(p, St^m(\mathcal{U})) \subset St(U^{*k}, St^m(\mathcal{U})) \subset St(U^{*k}, St^{*m}(\mathcal{U}))$  rezultă că  $q \in \bigcup_{j=1}^{\omega} St(U^{*k}, St^{*j}(\mathcal{U}))$ .

Invers, dacă  $q \in \bigcup_{j=1}^{\omega} St(U^{*k}, St^{*j}(\mathcal{U}))$ , atunci există un  $n$  natural, astfel încât  $q \in St(U^{*k}, St^{*n}(\mathcal{U}))$ , dar pe baza teoremei 3.1 avem  $St(U^{*k}, St^{*n}(\mathcal{U})) \subset St(p, St^{n+1}(\mathcal{U}))$  și deci  $q \in \bigcup_{j=1}^{\omega} St(p, St^j(\mathcal{U}))$ . Vom folosi acum această egalitate pentru demonstrarea

egalității  $St^{\omega+1}(\mathcal{U}) = St^{*\omega+1}(\mathcal{U})$ . Într-adevăr, fie  $M \in St^{\omega+1}(\mathcal{U})$ , atunci există un punct  $p \in S$ , astfel încât  $M = St(p, St^\omega(\mathcal{U})) = St(p, \bigcup_{k=1}^{\infty} St^k(\mathcal{U})) = \bigcup_{j=1}^{\infty} St(p, St^j(\mathcal{U})) = \bigcup_{j=1}^{\infty} St(U^{*k}, St^{*j}(\mathcal{U})) = St(U^{*k}, \bigcup_{j=1}^{\infty} St^{*j}(\mathcal{U})) = St(U^{*k}, St^{*\omega}(\mathcal{U})) = M^*$ . Ultimele egalități demonstrează complet egalitatea dorită. Cu aceasta teorema este demonstrată.

Ne vom ocupa în continuare de stelele mixte ale unei familii de multimi. Înainte de a demonstra teorema principală enunțăm următoarea proprietate:

**TEOREMA 3.3.** *Pentru orice familie de multimi  $\mathcal{U}$  și pentru orice pereche de numere naturale  $m$  și  $n$  au loc următoarele relații.*

$$\begin{aligned} St^m(St^n(\mathcal{U})) &= St^n(St^m(\mathcal{U})) = St^{m+n}(\mathcal{U}) \\ St^{*m}(St^{*n}(\mathcal{U})) &= St^{*n}(St^{*m}(\mathcal{U})) = St^{*n+m}(\mathcal{U}) \end{aligned}$$

Putem acum demonstra următoarea proprietate:

**TEOREMA 3.4.** *Pentru orice familie de multimi  $\mathcal{U}$  și orice pereche de numere naturale  $m$  și  $n$  are loc egalitatea*

$$St^n(St^{*m}(\mathcal{U})) = St^{*m}(St^n(\mathcal{U}))$$

**Demonstratie:** Vom proceda prin inducție în raport cu  $m$  și  $n$ . Fie  $m = n = 1$ . Atunci vom arăta că  $St(St^*(\mathcal{U})) = St^*(St(\mathcal{U}))$ . Mai precis, vom arăta că pentru orice  $p \in S$  are loc egalitatea  $St(p, St^*(\mathcal{U})) = St(St(p, \mathcal{U}), St(\mathcal{U}))$ .

Fie într-adevăr  $r \in St(p, St^*(\mathcal{U}))$ . Aceasta înseamnă că există o mulțime  $U^* \in St^*(\mathcal{U})$ , astfel încât  $p, r \in U^*$ . Dar deoarece  $U^* \in St^*(\mathcal{U})$ , există o mulțime  $U \in \mathcal{U}$ , astfel încât  $U^* = St(U, \mathcal{U})$ . Există atunci mulțimile  $U_1$  și  $U_2$ , astfel încât  $p \in U_1$  și  $r \in U_2$  și  $U_1 \cap U \neq \emptyset$ ,  $U_2 \cap U \neq \emptyset$ . Fie atunci  $q_1 \in U_1 \cap U$  și  $q_2 \in U_2 \cap U$ . Avem  $St(q_1, \mathcal{U}) \supseteq U_1 \cup U$  și  $St(q_2, \mathcal{U}) \supseteq U_2 \cup U$ , de unde rezultă că  $St(p, \mathcal{U}) \cap St(q_2, \mathcal{U}) \neq \emptyset$  și deci  $St(q_2, \mathcal{U}) \subset St(St(p, \mathcal{U}), St(\mathcal{U}))$ , și de unde rezultă că  $r \in St(St(p, \mathcal{U}), St(\mathcal{U}))$ . Avem deci  $St(p, St^*(\mathcal{U})) \subset St(St(p, \mathcal{U}), St(\mathcal{U}))$ . Invers fie  $r \in St(St(p, \mathcal{U}), St(\mathcal{U}))$ , atunci există un  $q \in S$ , astfel încât  $St(q, \mathcal{U}) \cap St(p, \mathcal{U}) \neq \emptyset$  și  $r \in St(q, \mathcal{U})$ . Există mulțimile  $U_1$  și  $U_2$  din  $\mathcal{U}$  în aşa fel încât  $p \in U_1$  și  $q \in U_2$  și  $U_1 \cap U_2 \neq \emptyset$ . Fie atunci mulțimea  $St(U_1, \mathcal{U})$ . Avem  $p, r \in St(U_1, \mathcal{U})$  și deci  $r \in St(p, St^*(\mathcal{U}))$ . Avem deci egalitatea dorită. Cu ajutorul ei se demonstrează imediat că are loc și egalitatea  $St(St^*(\mathcal{U})) = St^*(St(\mathcal{U}))$ .

Presupunem acum că pentru  $k \leq n$  și  $j \leq m - 1$  avem  $St^k(St^{*j}(\mathcal{U})) = St^{*j}(St^k(\mathcal{U}))$  și pentru  $k \leq n - 1$  și  $j \leq m$  are loc aceeași egalitate, atunci  $St^n(St^{*m}(\mathcal{U})) = St(St^{n-1}(St^{*m}(\mathcal{U}))) = St(St^{*m}(St^{n-1}(\mathcal{U}))) = St^{*m}(St(St^{n-1}(\mathcal{U}))) = St^{*m}(St(St^n(\mathcal{U})))$  și cu aceasta teorema este demonstrată.

O proprietate analogă poate fi demonstrată pentru steaua de ordinul  $\omega$ .

**TEOREMA 3.5.** *Pentru orice familie de multimi  $\mathcal{U}$  are loc egalitatea*

$$St(St^{*\omega}(\mathcal{U})) = St^*(St^\omega(\mathcal{U}))$$

**D e m o n s t r a ḥ i e:** Din teoremele 1.1 și 3.1 rezultă că  $St^{*\omega}(\mathcal{U}) \sim St^\omega(\mathcal{U})$ , dar atunci din teorema 1.4 avem

$$St(St^{*\omega}(\mathcal{U})) = St^{\omega+1}(\mathcal{U})$$

$$St^*(St^\omega(\mathcal{U})) = St^{*\omega+1}(\mathcal{U})$$

și aplicînd teorema 3.2 rezultă afirmația ultimei teoreme.

§ 4. Există o strînsă legătură între familii de mulțimi și relații binare. Oricărei familii de mulțimi  $\mathcal{U}$  îi putem atașa în mod univoc o relație binară în  $S$ ,  $R[\mathcal{U}] := \mathcal{U}\{U \times U : U \in \mathcal{U}\}$ . Relația  $R[\mathcal{U}]$  este simetrică; în cazul unei acopeririri ea este și reflexivă, iar dacă familia de mulțimi este un invariant stelar, atunci este și tranzitivă.

Ne vom ocupa în acest paragraf cu relațiile binare care se atașează stelelor unei familii de mulțimi.

**TEOREMA 4.1.** *Dacă familiei  $\mathcal{U}$  îi se atașează relația binară  $R[\mathcal{U}]$ , atunci stelelor  $St^n(\mathcal{U})$  și  $St^{*\omega}(\mathcal{U})$  îi se atașează relația  $R^{2^n}[\mathcal{U}]$  respectiv  $R^{3^\omega}[\mathcal{U}]$ .*

**D e m o n s t r a ḥ i e.** Vom proceda prin inducție în raport cu  $n$ . Pentru  $n = 1$  fie  $\rho R[St(\mathcal{U})]q$ ; aceasta înseană că există un  $U \in St(\mathcal{U})$ , astfel încît  $\rho, q \in U$ . Există un  $r \in S$ , astfel încît  $U = St(r, \mathcal{U})$ , dar atunci  $\rho R[\mathcal{U}]r$  și  $rR[\mathcal{U}]q$  și deci  $\rho(R[\mathcal{U}] \circ R[\mathcal{U}])q$ . Invers, dacă  $\rho(R[\mathcal{U}] \circ R[\mathcal{U}])q$ , atunci există un  $r \in S$ , astfel încît  $\rho R[\mathcal{U}]r$  și  $rR[\mathcal{U}]q$ , dar atunci  $\rho, q \in St(r, \mathcal{U})$  și deci  $\rho R[St(\mathcal{U})]q$ . Prin urmare  $R[St(\mathcal{U})] = R[\mathcal{U}] \circ R[\mathcal{U}] = R^{2^1}[\mathcal{U}]$ . Presupunem proprietatea adevărată pentru  $n$ , deci  $R[St^n(\mathcal{U})] = R^{2^n}[\mathcal{U}]$ . Atunci  $R[St^{n+1}(\mathcal{U})] = R[St(St^n(\mathcal{U}))] = R[St^n(\mathcal{U})] \circ R[St^n(\mathcal{U})] = R^{2^n}[\mathcal{U}] \circ R^{2^n}[\mathcal{U}] = R^{2^{n+1}}[\mathcal{U}]$ .

Pentru steaua mare se procedează la fel. Cu aceasta teorema este demonstrată.

Steelor  $St^\omega(\mathcal{U})$  și  $St^{*\omega}(\mathcal{U})$  îi se atașează relația  $R^\omega[\mathcal{U}] = R[St^\omega(\mathcal{U})] = \bigcup_{k=1}^{\infty} R^{2^k}[\mathcal{U}]$ , respectiv  $R^{*\omega}[\mathcal{U}] = R[St^{*\omega}(\mathcal{U})] = \bigcup_{k=1}^{\infty} R^{3^k}[\mathcal{U}]$ . Din teoremele 1.1 și 3.1 rezultă că  $R^\omega[\mathcal{U}] = R^{*\omega}[\mathcal{U}]$ . Fără nici o greutate se constată că  $R^\omega[\mathcal{U}]$  este o relație de echivalență în mulțimea  $S_1 = \bigcup\{U : U \in \mathcal{U}\}$ . Dacă  $\mathcal{U}$  este o acoperire a lui  $S$ , atunci  $R^\omega[\mathcal{U}]$  este o relație de echivalență în  $S$ . Acestei relații îi corespunde atunci o partiție a mulțimii  $S_1$  pe care o vom nota  $\mathcal{P}_{\mathcal{U}}$ . Are loc următoarea proprietate :

**TEOREMA 4.2.** *Pentru orice familie de mulțimi  $\mathcal{U}$  are loc egalitatea*

$$\mathcal{P}_{\mathcal{U}} = St^{\omega+1}(\mathcal{U})$$

**D e m o n s t r a ḥ i e.** Fie  $P \in \mathcal{P}_{\mathcal{U}}$  și  $U \in St^{\omega+1}(\mathcal{U})$  și presupunem că  $U \cap P \neq \emptyset$ . Vom arăta că atunci  $U = P$ . Fie  $\rho \cap U$ . Există atunci un  $r \in S$ , astfel încît  $U = St(r, St^\omega(\mathcal{U})) = \bigcup_{k=1}^{\infty} St(r, St^k(\mathcal{U}))$ . Fie acum  $q \in P$ , atunci  $\rho R^\omega[\mathcal{U}]q$ , deci există un  $k$ , astfel încît  $\rho R^{2^k}[\mathcal{U}]q$  deci  $\rho, q \in U^k \in St^k(\mathcal{U})$ . Dar  $\rho \in U$ , deci  $h$ , astfel încît  $\rho \in St(r, St^h(\mathcal{U}))$ . Fie  $m = \max(k, h)$ . Atunci  $q \in St(r, St^{m+1}(\mathcal{U}))$  și deci  $q \in U$ . Avem deci  $P \subset U$ . Dacă  $q \in U$ , atunci, deoarece  $\rho \in U$ , rezultă că  $\rho R[\mathcal{U}]q$ , și deci  $q \in P$ . Prin urmare  $U = P$ . Aceasta este suficient pentru a demonstra teorema.

## B I B L I O G R A F I E

1. H. J. Kowalsky, *Topologische Räume*, Birkhäuser-Verlag, p. 93.
2. M. F. Schechter, *Préordres et équivalences dans l'ensemble des familles d'un ensemble*, Arch. Math. (Brno) 1 (1965), p. 39–56.

## О НЕКОТОРЫХ СВОЙСТВАХ ЗВЁЗД СЕМЕЙСТВ МНОЖЕСТВ

(Резюме)

В произвольном множестве  $S$  через посредство понятия звезды одного множества  $M$  из  $P(S)$  по отношению к семейству множеств  $\mathcal{U}$  из  $P^2(S)$ , которая является объединением всех элементов из  $\mathcal{U}$ , пересекающих множество  $M$ , определяются операторы  $St$  и  $St^*$ , которые присоединяют к каждому семейству множеств  $\mathcal{U}$  два семейства множеств  $St(\mathcal{U}) = \{St(p, \mathcal{U}) : p \in S\}$ , соответственно  $St^*(\mathcal{U}) = \{St(u, \mathcal{U}) : u \in \mathcal{U}\}$ , названные звездой, соответственно большой звездой семейства.

Данная работа занимается свойствами этих операторов. Она состоит из четырёх частей.

В первой части работы, имеющей вводный характер, устанавливаются использованные понятия, а также некоторые простые свойства звёзд, необходимые для остальных четырёх параграфов.

Вторая часть работы занимается звёздными инвариантами и твёрдо звёздными инвариантами т. е. семействами множеств  $\mathcal{U}$ , выполняющими условие  $St(\mathcal{U}) = \mathcal{U}$ , соответственно  $St^*(\mathcal{U}) = \mathcal{U}$ . Показывается, что они являются как раз семействами множеств попарно непересекающимися.

Последовательным применением операторов  $St$  и  $St^*$  определяются звезды высшего порядка. Показывается, что звезда порядка  $\omega + 1$  (где  $\omega$ -первый бесконечный ordinal) равна большой звезде порядка  $\omega + 1$  и констатируется, что эти два семейства множеств являются звёздными инвариантами. Показывается также, что операторы  $St^n$  и  $St^{*m}$  являются коммутативными в том смысле, что не имеет значения порядок их применения к семейству множеств.

Последняя часть работы занимается бинарными отношениями, которые присоединяются к звёздам семейства множеств, исходя из бинарного отношения, присоединённого к семейству множеств, к которому применяются звёздные операторы. Если к семейству множеств  $\mathcal{U}$  присоединяется отношение  $R[\mathcal{U}]$ , то звезде  $St(\mathcal{U})$ , соответственно большой звезде  $St^*(\mathcal{U})$ , соответствуют бинарные отношения  $R[\mathcal{U}] \circ R[\mathcal{U}]$  соответственно  $R[\mathcal{U}] \circ R[\mathcal{U}] \circ R[\mathcal{U}]$ .

Звёздам порядка  $\omega$  соответствует отношение эквивалентности.

Показано, что деление, соответствующее этому отношению является как раз  $St^{\omega+1}(\mathcal{U})$ .

## SUR CERTAINES PROPRIÉTÉS DES ÉTOILES DES FAMILLES D'ENSEMBLES

(Résumé)

Dans un ensemble quelconque  $S$ , par l'intermédiaire de la notion d'étoile d'un ensemble  $M$  de  $P(S)$  en rapport avec une famille d'ensembles  $\mathcal{U}$  de  $P^2(S)$ , qui est la réunion de tous les éléments de  $\mathcal{U}$  intersectant l'ensemble  $M$ , on définit les opérateurs  $St$  et  $St^*$  qui attachent à chaque famille d'ensembles  $\mathcal{U}$  deux familles d'ensembles  $St(\mathcal{U}) = \{St(p, \mathcal{U}) : p \in S\}$ , et  $St^*(\mathcal{U}) = \{St(u, \mathcal{U}) : u \in \mathcal{U}\}$  respectivement nommées étoile de  $U$  et grande étoile de  $\mathcal{U}$ .

Le présent article s'occupe des propriétés de ces opérateurs. Il comprend quatre parties :

Dans la première, de caractère introductif, on définit les notions employées et l'on établit certaines propriétés simples des étoiles, nécessaires pour les trois autres paragraphes.

La seconde partie traite des invariants stellaires et stellaires forts, c'est à dire des familles d'ensembles  $\mathcal{U}$  qui remplissent respectivement la condition  $St(\mathcal{U}) = \mathcal{U}$  et la condition  $St^*(\mathcal{U}) = \mathcal{U}$ . Pour ces familles on démontre qu'elles sont exactement les familles d'ensembles disjointes deux à deux.

Dans la troisième partie, par application successive des opérateurs  $St$  et  $St^*$ , on définit les étoiles d'ordre supérieur. On montre que l'étoile d'ordre  $\omega + 1$  (où  $\omega$  est le premier ordinal infini) est égale à la grande étoile d'ordre  $\omega + 1$  et l'on constate que ces deux familles d'ensembles sont des invariants stellaires. On montre de même que les opérateurs  $St^n$  et  $St^{*m}$  sont inversables, au sens où l'ordre de leur application à une famille d'ensembles ne compte pas.

La dernière partie de l'article s'occupe des relations binaires qui s'attachent aux étoiles des familles d'ensembles, en partant de la relation binaire attachée à la famille d'ensembles à laquelle s'appliquent les opérateurs étoile. Si à la famille d'ensembles  $\mathcal{U}$  d'ensembles  $U$  on attache la relation  $R[\mathcal{U}]$ , alors à l'étoile  $St(\mathcal{U})$  d'une part et à la grande étoile  $St^*(\mathcal{U})$  d'autre part correspondent respectivement les relations binaires  $R[\mathcal{U}] \circ R[\mathcal{U}]$  et  $R[\mathcal{U}] \circ R[\mathcal{U}] \circ R[\mathcal{U}]$ .

Aux étoiles d'ordre  $\omega$  correspond une relation d'équivalence. On montre que la partition correspondant à celle-ci est précisément  $St^{\omega+1}(\mathcal{U})$ .

# DESPRE REZOLVABILITATEA PROBLEMEI LA LIMITĂ GENERALĂ ÎN SEMISPAȚII

de  
**CAROL KALIK**

În lucrarea de față extindem unele rezultate publicate în [1]. Autorul acestei lucrări, G. E. Silov, formulează o problemă de tip Dirichlet pentru semi-spătii și pentru o clasă largă de ecuații cu derivate parțiale fără să pretindă ca ecuația considerată să fie de un tip fixat. Noi studiem probleme la limită asemănătoare, înlocuind însă condițiile la limită de tip Dirichlet cu condiții la limită generale.

Pentru precizarea problemei și a rezultatelor obținute, în prealabil, introducem unele notații. Vom nota cu  $R_x^n$ ,  $R_{\xi}^n$  respectiv  $R_{x'}^{n-1}$  și cu  $R_{\xi'}^{n-1}$  spațiile euclidiene cu  $n$  respectiv cu  $n - 1$  dimensiuni, având ca elemente punctele cu coordonatele reale  $x = (x_1, \dots, x_n)$ ,  $\xi = (\xi_1, \dots, \xi_n)$  respectiv  $x' = (x_1, \dots, x_{n-1})$  și  $\xi' = (\xi_1, \dots, \xi_{n-1})$ . Notăm de asemenea:  $D_k = \frac{1}{i} \frac{\partial}{\partial x_k}$ ,  $D = D_1 \cdot D_2 \dots D_n$ ,  $D' = D_1 \cdot D_2 \dots D_{n-1}$  iar cu  $F'$  transformarea lui Fourier relativă la variabila  $x'$ :

$$F'u(x) = (2\pi)^{-\frac{n-1}{2}} \int_{R_{x'}^{n-1}} e^{-i \langle x', \xi' \rangle} u(x) dx'$$

unde  $\langle x', \xi' \rangle = \sum_{i=1}^{n-1} x_i \cdot \xi_i$ .

Vom considera, în semispațiul  $x_n > 0$ , o ecuație oarecare de forma

$$P(D)u(x) \equiv D_n^m u(x) - \sum_{k=0}^{m-1} p_k(D') D_n^k u(x) \quad (x_n > 0) \quad (1)$$

unde  $p_k(D')$  sunt operatori diferențiali liniari cu coeficienți constanți. Atașăm acestei ecuații cu derivate parțiale următoarea ecuație algebrică, numită ecuația caracteristică a lui (1):

$$\tau^m - \sum_{k=0}^{m-1} p_k(\xi') \tau^k = 0$$

Fie  $\tau_1(\xi'), \dots, \tau_m(\xi')$  rădăcinile acestei ecuații. Un rol însemnat în cele ce urmează, o să aibă un sir de mulțimi:

$$R_{\xi'}^{n-1} \supset \Omega_1 \supset \Omega_2 \supset \dots \supset \Omega_m.$$

Iată cum definim aceste mulțimi: pentru fiecare  $\xi' \in R_{\xi'}^{n-1}$  renumerotăm, la nevoie, rădăcinile ecuației caracteristice astfel încât să avem:

$$\operatorname{Im} \tau_1(\xi') \geq \operatorname{Im} \tau_2(\xi') \geq \dots \geq \operatorname{Im} \tau_m(\xi').$$

Atunci

$$\Omega_k = \{\xi' \in R_{\xi'}^{n-1} : \operatorname{Im} \tau_k(\xi') \geq 0\} \quad (k = 1, m)$$

Legate de ecuația (1) sunt și polinoamele în  $\tau$ :

$$P_+^l(\xi', \tau) = \prod_{k=1}^l (\tau - \tau_k(\xi'))$$

de care ne vom servi mai jos.

Vom considera următoarele condiții la limită:

$$F'\{B_j^l(D)u(x)|_{x_n=0}\} = g_j^l(\xi') \quad (\xi' \in \Omega_l; j = \overline{1, l}; l = \overline{1, m}) \quad (2)$$

unde  $B_j^l(D)$  sunt niște operatori diferențiali liniari cu coeficienți constanți, iar  $g_j^l(\xi')$  sunt funcții date pe mulțimea  $\Omega_l$ .

Observăm, că pentru  $\Omega_1 = \Omega_2 = \dots = \Omega_r = R_{\xi'}^{n-1}$  și  $\Omega_{r+1} = \dots = \Omega_m = \{0\}$ , ceea ce se realizează, dacă ecuația (1) este de tip eliptic sau parabolic, condițiile la limită (2) se pot exprima într-o formă mai obișnuită:

$$B_j^l(D)u(x)|_{x_n=0} = f_j(x') \quad (x' \in R_{\xi'}^{n-1}; j = \overline{1, r})$$

Pe lîngă condițiile la limită (2) precizăm și comportarea funcției  $u(x)$  pentru  $x_n \rightarrow +\infty$ . Vom cere ca funcția  $u(x)$  să nu crească mai rapid decît o putere a lui  $x_n$ :

$$|u(x)| = O(x_n^v) \text{ cînd } x_n \rightarrow +\infty \quad (3)$$

**P r o b l e m a 1 a l i m i tă s t u d i a tă î n l u c r a r e a d e f a tă:** Să se găsească funcția  $u(x)$  care să satisfacă la condițiile (1), (2) și (3).

Precizăm clasa de funcții în care se caută soluția problemei la limită formulate. Vom nota cu  $\mathcal{H}_{-k}$  mulțimea acelor distribuții  $f(x')$  care se pot reprezenta sub următoarea formă:  $f(x') = (I - \Delta)^k f(x')$  unde  $f(x') \in L_2(R_{\xi'}^{n-1})$ . Fie  $\mathcal{H} = \bigcup_{k=0}^{\infty} \mathcal{H}_{-k}$ . Notăm  $H_{-k} = F' \mathcal{H}_{-k}$ . Se vede fără greutate, că  $H_{-k}$  este un spațiu Hilbert format din acele funcții  $g(\xi')$  definite pe  $R_{\xi'}^{n-1}$ , pentru care

$$\|g\|_{-k}^2 = \int_{R_{\xi'}^{n-1}} \frac{|g(\xi')|^2}{(1 + |\xi'|^2)^k} d\xi' < \infty$$

Notăm  $H = \bigcup_{k=0}^{\infty} H_{-k}$ , și considerăm în acest spațiu  $H$  topologia indușă de spațiile  $H_{-k}$ . Relația  $H = F' \mathcal{H}$  ne permite să topologizăm și spațiul  $\mathcal{H}$ .

În sfîrșit, vom nota cu  $C_m\mathcal{H}$  spațiul acelor funcții  $u(x', x_n)$  care aparțin lui  $H$  pentru fiecare  $x_n \geq 0$  fixat, iar în raport cu  $x_n$  sunt continue și derivabile în mod continuu de  $m$  ori în topologia lui  $\mathcal{H}$ .

Soluția problemei la limită enunțată mai sus o căutăm în spațiul  $C_m\mathcal{H}$ .

Pentru a putea formula rezultatul nostru, încă o importantă noțiune: coercivitatea ecuației (1) cu condițiile la limită (2). Vom spune că ecuația (1) este coercivă cu condițiile la limită (2), dacă polinoamele în  $\tau$ :

$$B_1^l(\xi', \tau), \dots, B_l^l(\xi', \tau)$$

sunt liniar independente modulo  $P_{+}^l(\xi', \tau)$  pentru  $\xi' \in \Omega_l$  și diferit de zero ( $l = \overline{1, m}$ ).

Pentru a explicita condiția de coercivitate să notăm

$$B_j(\xi', \tau) := C_j^l(\xi', \tau) (\text{mod } P_{+}^l(\xi', \tau))$$

Atunci condiția de coercivitate înseamnă că polinoamele

$$C_1^l(\xi', \tau), \dots, C_l^l(\xi', \tau)$$

sunt liniar independente pentru orice  $\xi' \in \Omega$  și  $\xi \neq 0$  ( $l = \overline{1, m}$ ).

Menționăm că ecuația (1) este întotdeauna coercivă cu condițiile de tip Dirichlet. Într-adevăr, deoarece condițiile de tip Dirichlet sunt de următoarea formă:

$$F'\{u(x', 0)\} = g_1^l(\xi'), F'\left\{\frac{\partial u}{\partial x_n}\right|_{x_n=0}\} = g_2^l(\xi'), \dots, F'\left\{\frac{\partial^{l-1} u}{\partial x_n^{l-1}}\right|_{x_n=0}\} = g_l^l(\xi')$$

( $\xi' \in \Omega_l$ ;  $l = \overline{1, m}$ ), avem  $B_j^l(\xi', \tau) = \tau^{j-1}$  ( $j = \overline{1, l}$ ;  $l = \overline{1, m}$ ). Polinomul  $P_{+}^l(\xi', \tau)$  fiind de gradul  $l$ , rezultă că  $C_j^l(\xi', \tau) = B_j^l(\xi', \tau) = \tau^{j-1}$ , iar sirul  $1, \tau, \tau^2, \dots, \tau^{l-1}$  este liniar independent.

Rezultatul de bază al acestei luerări îl formulăm într-o teoremă:

**TEOREMA.** *Dacă ecuația (1) este coercivă cu condițiile la limită (2), atunci problema la limită (1) — (2) — (3) are soluție unică în spațiul  $C_m\mathcal{H}$  și această soluție depinde în mod continuu de funcțiile  $g_j^l(\xi')$ .*

Demonstrarea se face prin reducerea problemei la limită (1) — (2) — (3) la o problemă de tip Dirichlet studiată în [1].

Aplicând transformarea lui Fourier  $F'$  asupra ecuației și asupra condițiilor la limită (2), obținem următoarea problemă la limită echivalentă cu (1) — (2) — (3):

$$P(\xi', D_n)\hat{u}(\xi', x_n) \equiv D_n^m \hat{u}(\xi', x_n) - \sum_{k=0}^{m-1} \hat{p}_k(\xi') D_n^k \hat{u}(\xi', x_n) = 0 \quad (x_n > 0) \quad (4)$$

$$B_j^l(\xi', D_n)\hat{u}(\xi', x_n)|_{x_n=0} = g_j^l(\xi') \quad (\xi' \in \Omega_l; j = \overline{1, l}; l = \overline{1, m}) \quad (5)$$

$$|\hat{u}(\xi', x_n)| = O(x_n^\alpha) \text{ cind } x_n \rightarrow +\infty \quad (6)$$

Este ușor de constatat că problema (4) – (5) – (6) este echivalentă cu următoarea problemă la limită:

$$P'_+(\xi', D_n)\hat{u}(\xi', x_n) = 0 \quad (x_n > 0) \quad (7)$$

$$B_j^l(\xi', D_n)\hat{u}(\xi', x_n)|_{x_n=0} = g_j^l(\xi') \quad (\xi' \in \Omega_l; j = \overline{1, l}; l = \overline{1, m}) \quad (8)$$

Într-adevăr, deoarece pentru fiecare  $\xi' \in \Omega_l$  fixat (4) este o ecuație diferențială liniară cu coeficienți constanți, orice soluție a ei este o combinație liniară formată din funcții de forma:

$$R_k(x_n) e^{i\tau_k(\xi')x_n}$$

unde  $R_k(x_n)$  este un polinom, care depinde de multiplicitatea rădăcinii  $\tau_k(\xi')$ . Condiția (6) ne arată, că pentru  $\xi' \in \Omega_l$ , în expresia lui  $\hat{u}(\xi', x_n)$  pot figura numai rădăcinile  $\tau_1(\xi'), \dots, \tau_l(\xi')$ , ceea ce înseamnă că mulțimea soluțiilor ecuației (4), care satisfac condiția (6) coincide cu mulțimea soluțiilor ecuației (7).

Observăm de asemenea că problema (7) – (8) este echivalentă cu problema:

$$P'_+(\xi', D_n)\hat{u}(\xi', x_n) = 0 \quad (x_n > 0) \quad (9)$$

$$C_j^l(\xi', D_n)\hat{u}(\xi', x_n)|_{x_n=0} = g_j^l(\xi') \quad (\xi' \in \Omega; j = \overline{1, l}; l = \overline{1, m}) \quad (10)$$

deoarece  $B_j^l(\xi', \tau) = C_j^l(\xi', \tau) \pmod{P'_+(\xi', \tau)}$ .

Să notăm  $C_j^l(\xi', \tau) = \sum_{\lambda=0}^{l-1} c_j^{l,\lambda}(\xi')\tau^\lambda$ . Cu această notație condiția (10) se poate scrie sub forma

$$\sum_{\lambda=0}^{l-1} c_j^{l,\lambda}(\xi')D_n^\lambda \hat{u}(\xi', x_n)|_{x_n=0} = g_j^l(\xi') \quad (\xi' \in \Omega_l; j = \overline{1, l}; l = \overline{1, m}) \quad (10)$$

Fie  $l = 1$ . Avem  $c_1^l(\xi', \tau) = c_1^{1,0}(\xi')$ . Liniar-independența, la acest caz, se reduce la  $c_1^{1,0}(\xi') \neq 0$  pentru  $\xi' \neq 0$  și  $\xi' \in \Omega_1$ . Din  $c_1^{1,0}(\xi')\hat{u}(\xi', 0) = g_1^l(\xi')$  rezultă

$$\hat{u}(\xi', 0) = \frac{g_1^l(\xi')}{c_1^{1,0}(\xi')} = h_1^l(\xi') \quad (\xi' \in \Omega_1)$$

În general, pentru un  $1 < l \leq m$  oarecare fixat, liniar-independența polinoamelor în  $\tau$ :

$$\sum_{\lambda=0}^{l-1} c_1^{l,\lambda}(\xi')\tau^\lambda, \sum_{\lambda=0}^{l-1} c_2^{l,\lambda}(\xi')\tau^\lambda, \dots, \sum_{\lambda=0}^{l-1} c_l^{l,\lambda}(\xi')\tau^\lambda$$

înseamnă că

$$\det ||c_j^{l,\lambda}(\xi')||_{j=0,l}^{\lambda=0,l-1} \neq 0$$

pentru orice  $\xi' \in \Omega_l$  și diferit de zero. Prin urmare sistemul

$$\sum_{\lambda=0}^{l-1} c_j^{l,\lambda}(\xi') D_n^\lambda \hat{u}(\xi', x_n)|_{x_n=0} = g_j^l(\xi') \quad (j = 1, l)$$

are soluție unică pentru orice  $g_j^l(\xi')$ . Notăm soluția acestui sistem cu

$$D_n^l u(\xi', x_n) \Big|_{x_n=0} = h_j^l(\xi') \quad (j = \overline{1, l})$$

Acest raționament ne arată că condițiile (10) sunt echivalente cu condițiile de tip Dirichlet :

$$D_n^l u(\xi', x_n) \Big|_{x_n=0} = h_j^l(\xi') \quad (\xi' \in \Omega_l; j = \overline{1, l}; l = \overline{1, m}) \quad (11)$$

unde  $h_j^l(\xi')$  sunt combinații liniare de  $g_j^l(\xi')$  ( $j = \overline{1, m}$ ).

În concluzie putem afirma că problemele (9) — (10) și (9) — (11) sunt echivalente.

Pe de altă parte, în [1] se arată că (9) — (11) este echivalentă cu problema la limită de tip Dirichlet formată din ecuația (1), condiția (3) și condițiile la limită

$$F' \left\{ \frac{\partial^{j-1} u}{\partial x_n^{j-1}} \right\} \Big|_{x_n=0} = h_j^l(\xi') \quad (\xi' \in \Omega_l; j = \overline{1, l}; l = \overline{1, m}) \quad (12)$$

care, după cum se demonstrează în aceeași lucrare, are soluție unică în clasa  $C_m \mathcal{H}$  și aceasta depinde în mod continuu de condițiile la limită. Astfel am ajuns la concluzia, că problemele la limită (1) — (2) — (3) și (1) — (12) — (3) sunt echivalente din punctul de vedere al rezolvabilității lor, ceea ce demonstrează teorema.

(Intrat în redacție la 30 martie 1967)

#### B I B L I O G R A F I E

1. G. E. Silov, *O korrektnih krajevih zadaci v poluprostranstve dlia lineinih uravnenii v ciastnih proizvodnih s postoiannimi koeficientami*, „Uspehi matematicheskikh nauk”, **XIX**, 3 (117) 3—52.

#### О РАЗРЕШИМОСТИ ОБЩЕЙ ГРАНИЧНОЙ ЗАДАЧИ В ПОЛУПРОСТРАНСТВАХ

(Р е з ю м е)

В работе изучается граничная задача, данная следующими условиями:

$$P(D)u(x) \equiv D_n^m u(x) - \sum_{k=0}^{m-1} p_k(D') D_n^k u(x) = 0 \quad (x_n > 0) \quad (1)$$

$$F' \left\{ B_j^l(D) u(x) \right\} \Big|_{x_n=0} = g_j^l(\xi') \quad (\xi' \in \Omega; j = \overline{1, l}; l = \overline{1, m}) \quad (2)$$

$$|u(x)| = 0 \quad (x_n \rightarrow +\infty) \quad (3),$$

где все рассматриваемые дифференциальные операторы являются линейными с постоянными коэффициентами. Множества  $\Omega \subset R_{\xi'}^{n-1}$  определены корнями характеристического уравнения (1).

Доказывается следующая теорема:

**Теорема.** Если уравнение (1) является коэрцивным с граничными условиями (2), то граничная задача (1)-(2)-(3) имеет единственное решение в классе  $C_m\mathcal{K}$ , и решение непрерывно зависит от граничных условий (2).

Следует отметить, что уравнение (1) является коэрцивным с граничными условиями (2) если многочлены  $\{B_j(\xi', \tau)\}_{j=1,l}$  линейно независимы modulo  $P_+^l(\xi', \tau) = \prod_{k=1}^l (\tau - \tau_k(\xi'))$ , где  $\tau_k(\xi')$  определённые корни характеристического уравнения (1).

### SUR LA RESOLUBILITE DU PROBLEME GENERAL AUX LIMITES DANS LES DEMI-ESPACES

(R ésumé)

L'auteur étudie le problème aux limites données par les conditions suivantes:

$$P(D)u(x) \equiv D_n^m u(x) + \sum_{k=0}^{m-1} p_k(D) D_n^k u(x) = 0 \quad (x_n > 0) \quad (1)$$

$$F' \left\{ B_j(D)u(x) \Big|_{x_n=0} \right\} = g_j^l(\xi') \quad (\xi' \in \Omega_l; j = \overline{1,l}; l = \overline{1,m}) \quad (2)$$

$$|u(x)| = 0(x_n^y) \text{ quand } x_n \rightarrow +\infty$$

où tous les opérateurs différentiels considérés sont linéaires et à coefficients constants. Les ensembles  $\Omega_l \subset R_{\xi'}^{n-1}$  sont déterminés par les racines de l'équation caractéristique de l'équation (1).

On démontre le théorème suivant:

**Théorème.** Si l'équation (1) est coercive avec les conditions aux limites (2), alors le problème aux limites (1) – (2) – (3) a une solution unique dans la classe  $C_m\mathcal{K}$ , et la solution dépend de façon continue des conditions aux limites (2).

Nous mentionnons que l'équation (1) est coercive avec les conditions aux limites (2) si les polynômes  $\{B_j^l(\xi', \tau)\}_{j=1,l}$  sont linéairement indépendants modulo  $P_+^l(\xi', \tau) = \prod_{k=1}^l (\tau - \tau_k(\xi'))$ , où  $\tau_k(\xi')$  sont certaines racines de l'équation caractéristique de l'équation (1).

## OPERATORI ITERATIVI (IV)

de

**ȘTEFAN I. NICZKY**

Fie  $X$  și  $Y$  două spații Banach și fie  $T$  un operator care aplică sfera închisă  $S(x_0, r)$  din  $X$  în  $Y$ , de trei ori diferențiabil în sens Gâteaux pe  $S(x_0, r)$  cu derivata de ordinul întâi continuă inversabilă pe această sferă.

Fie ecuația operatorială

$$Tx = 0 \quad (1)$$

Se introduce operatorul

$$\Phi_R(x) = X - \left\{ I + \frac{1}{2} \Gamma(x) T''(x) \Gamma(x) T(x) + \frac{1}{2} [\Gamma(x) T''(x)]^2 [\Gamma(x) T(x)]^2 \right\} \Gamma(x) T(x) \quad (2)$$

unde  $\Gamma(x) = [T'(x)]^{-1}$ , care aplică sfera  $S(x_0, r)$  în ea însăși.

În particular dacă în (2) se neglijeează ultimul termen, se obține operatorul de tip Cebîșev

$$\Phi_C(x) = X - \left\{ I + \frac{1}{2} \Gamma(x) T''(x) \Gamma(x) T(x) \right\} \Gamma(x) T(x) \quad (3)$$

studiat atât pentru ecuații operatoriale generale [1 – 5], cât și pentru ecuații funcționale [6 – 10].

Dacă se neglijeează și termenul al treilea, se obține operatorul de tip Newton-Kantorovici [11 – 13]

$$\Phi_{NK}(x) = x - \Gamma(x) T(x) \quad (4)$$

**DEFINITIE.** Se spune că  $\Phi_R$  este un operator iterativ simplu [4] atât pentru ecuației (1), dacă soluția  $x^*$  a ecuației (1) este punct fix pentru operatorul  $\Phi_R$ , și iterarea

$$x_{n+1} = \Phi_R x_n \quad (n = 0, 1, 2, \dots) \quad (5)$$

converge către  $x^* \in S(x_0, r)$ .

Pe lîngă acești operatori se mai consideră și modificările lor, de exemplu  $\Phi_{RM}(x) = x - \left\{ I + \frac{1}{2} [\Gamma_0 T''(x)] [\Gamma_0 T(x)] + \frac{1}{2} [\Gamma_0 T''(x)]^2 [\Gamma_0 T(x)]^2 \right\} \Gamma_0 T(x)$  (6)

unde s-a notat cu  $\Gamma_0 = \Gamma(x_0)$ .

În cele ce urmează se vor da condiții suficiente pentru ca operatorii de mai sus să fie operatori iterativi simpli.

Fie funcția reală  $t(\eta)$  definită pe intervalul  $[\eta_0, \eta']$  unde  $\eta' = \eta_0 + r' < \eta_0 + r$ , de trei ori derivabilă pe acest interval și cu derivata întâi continuă inversabilă.

Fie ecuația

$$t(\eta) = 0. \quad (7)$$

Analog operatorilor de mai sus se pot introduce funcțiile

$$\varphi_R, \varphi_C, \varphi_{NK}, \varphi_{RM}.$$

Se poate enunța principiul general majorant:

(PM) Se spune că ecuația (7) majorează ecuația (1), dacă

$$1) ||Tx_0|| \leq t(\eta_0),$$

$$2) t'(\eta_0) \neq 0 \text{ și are loc relația } ||\Gamma_0|| \leq -\frac{1}{t'(\eta_0)},$$

$$3) ||T''x_0|| \leq t''(\eta_0) \text{ și } ||T'''x|| \leq t'''(\eta), \text{ pentru } ||x - x_0|| \leq |\eta - \eta_0| \leq |\eta' - \eta_0|,$$

În cele ce urmează se admite că (7) are rădăcină pe intervalul  $(\eta_0, \eta')$ . Se va nota cu  $\eta^*$  cea mai mică rădăcină al lui (7) din acest interval.

**TEOREMA 1.** Dacă are loc (PM), atunci  $\varphi_R$  este o funcție iterativă simplă atașată ecuației (7), iar  $\Phi_R$  este un operator iterativ simplu atașat ecuației (1) și

$$||x^* - x_n|| \leq |\eta^* - \eta_n| \quad (n = 0, 1, 2, \dots) \quad (8)$$

Demonstratie. Din (2) și (5) rezultă

$$\begin{aligned} ||x_1 - x_0|| &\leq \left[ 1 + \frac{1}{2} \cdot ||\Gamma_0 T''x_0|| + ||\Gamma_0 T x_0|| + \frac{1}{2} ||\Gamma_0 T''x_0||^2 \cdot ||\Gamma_0 T x_0||^2 \right] \cdot \\ &\cdot ||\Gamma_0 T x_0|| \leq \left[ 1 + \frac{1}{2} \cdot \frac{1}{t'(\eta_0)^2} t(\eta_0) t''(\eta_0) + \frac{1}{2} \cdot \frac{1}{t'(\eta_0)^4} \cdot \right. \\ &\left. \cdot t(\eta_0)^2 t''(\eta_0)^2 \right] \cdot \frac{t(\eta_0)}{t'(\eta_0)} = \eta_1 - \eta_0 \end{aligned} \quad (9)$$

Se va arăta în cele ce urmează că 1) – 3) din (PM) rămân valabile prin trecere de la  $x_0$  la  $x_1$ , respectiv de la  $\eta_0$  la  $\eta_1$ .

a) În baza formulei lui Taylor generalizate [12]

$$Tx = Ty + T'y(x - y) + \frac{1}{2} T''y(x - y)^2 + \frac{1}{2} \int_y^x T'''(\bar{y})(x - \bar{y})^2 d\bar{y} \quad (10)$$

unde  $x, y \in S(x_0, r)$ ,  $\bar{y} = y + \theta(x - y)$ ,  $0 < \theta < 1$  și (2) – (5) rezultă

$$\begin{aligned} Tx_1 &= \left\{ \frac{5}{8} + \frac{1}{4} [\Gamma_0 T x_0] \cdot [\Gamma_0 T'' x_0] + \right. \\ &\left. + \frac{1}{8} [\Gamma_0 T x_0]^2 [\Gamma_0 T'' x_0]^2 \right\} [\Gamma_0 T'' x_0]^2 [\Gamma_0 T x_0] T'' x_0 + \frac{1}{2} \int_{x_0}^{x_1} T'''(x)(x_1 - x)^2 dx \end{aligned}$$

de aici rezultă evident că

$$\|Tx_1\| \leq t(\eta_1) \quad (11)$$

adică 1) din (PM) rămîne valabil prin trecere de la  $x_0$  la  $x_1$  respectiv de la  $\eta_0$  la  $\eta_1$ .

b) Din inegalitatea

$$-\|T'x_1 - T'x_0\| \leq \|T'x_1\| - \|T'x_0\|$$

rezultă

$$\|T'x_1\| \geq \|T'x_0\| \left( 1 + \frac{\int_{x_0}^{x_1} T''(x) dx}{\|T'(x_0)\|} \right) \geq \|T'(x_0)\| \left( 1 + \frac{\int_{\eta_0}^{\eta_1} t''(\eta) d\eta}{t'(\eta_0)} \right)$$

și deci

$$\|\Gamma_1\| \leq -\frac{1}{t'(\eta_1)}$$

Deci 2) din (PM) rămîne valabilă pe  $x_1$  respectiv  $\eta_1$

c) Pentru a arăta că 3) din (PM) rămîne valabil prin trecere de la  $x_0$  la  $x_1$ , respectiv de la  $\eta_0$  la  $\eta_1$  trebuie arătat că

$$S(x_1, \eta' - \eta_1) \subset S(x_0, \eta' - \eta_0)$$

Într-adevăr

$$\|x - x_0\| \leq \|x - x_1\| + \|x_1 - x_0\| \leq \eta' - \eta_1 + \eta_1 - \eta_0 = \eta' - \eta_0$$

Prin inducție completă se arată că 1) – 3) rămîne valabil pentru orice iterată. În plus,

$$\eta_{n+1} \geq \eta_n, \quad t(\eta_n) \geq 0 \quad și \quad \|Tx_n\| \leq t(\eta_n) \quad (n = 0, 1, 2, \dots) \quad (12)$$

Întocmind tabelul de variație al funcției  $f$  pe  $[\eta_0, \eta']$ , rezultă în baza condițiilor 1) – 3) din (LP) că

$$\eta_n \leq \eta^* \quad (n = 0, 1, 2, \dots)$$

și din (12) rezultă că există  $\bar{\eta} = \lim_{n \rightarrow \infty} \eta_n$ . Din continuitatea lui  $\varphi_R$  rezultă că:  $\bar{\eta} \leq \eta^*$ .

Trebuie arătat că  $\bar{\eta} = \eta^*$ . Pentru aceasta se arată că  $\bar{\eta}$  este soluție a ecuației (7). Demonstrația se face prin reducere la absurd. Din (12) rezultă că  $t(\bar{\eta}) \geq 0$ . Admîșind că este exclus cazul de egalitate, aplicând  $\varphi_R$  lui  $\bar{\eta}$  se ajunge la concluzia că  $\varphi_R(\bar{\eta}) < \bar{\eta}$  ceea ce contrazice egalitatea  $\bar{\eta} = \varphi_R(\bar{\eta})$  care rezultă în baza continuării lui  $\varphi_R$  și din (2) – (5).

Cum  $\eta^*$  este cea mai mică rădăcină din  $[\eta_0, \eta']$  rezultă că  $\varphi_R$  este o funcție iterativă simplă cu centru de iterație  $\eta^*$ . Analog cu (9) se poate arăta că

$$\|x_{n+1} - x_n\| \leq |\eta_{n+1} - \eta_n| \quad (n = 0, 1, 2, \dots)$$

și deci

$$\|x_{n+p} - x_n\| \leq \|\eta_{n+p} - \eta_n\| \quad (n = 0, 1, 2, \dots; p = 1, 2, \dots) \quad (13)$$

de unde rezultă că sirul  $\{x_n\}$  este un sir Cauchy și deci există  $x^* = \lim_{n \rightarrow \infty} x_n$ .

Din (12) în baza continuității lui  $T$  și  $t$  rezultă  $\|Tx^*\| \leq t(\eta^*)$  și deci teorema este demonstrată.

Evaluarea (9) a erorii se obține din (13) făcând  $p \rightarrow \infty$ .

**TEOREMA 2** *Dacă are loc (PM), atunci  $\varphi_{RM}$  este o funcție iterativă simplă, iar  $\Phi_{RM}$  este un operator iterativ simplu și*

$$|\tilde{x}^* - \tilde{x}_n| \leq |\tilde{\eta}^* - \eta_n^*| \quad (n = 0, 1, 2, \dots) \quad (14)$$

unde  $\tilde{y} = \Phi_{RM}(x)$  pentru  $x \in S(x_0, r)$ .

Demonstrația se face analog cu demonstrația teoremei 1 cu observația că

$$T'x_n = T'x_0 + \int_{x_0}^{x_n} T''(x)dx \quad (n = 1, 2, \dots)$$

**C o n s e c i n ț a.** Dacă au loc următoarele condiții:

1.  $\|\Gamma_0\| \leq B_0$
2.  $\|Tx_0\| \leq \varphi_0$
3.  $\|T''x_0\| \leq M_0$  și  $\|T''x\| \leq N$  pentru  $x \in S(x_0, r)$ , unde  $B_0$ ,  $\varphi_0$  și  $M_0$  sunt constante, iar cea mai mică rădăcină pozitivă  $\eta^*$  a ecuației

$$t(\eta) = \frac{1}{6} N\eta^3 + \frac{1}{2} M_0\eta^2 - \frac{1}{B_0}\eta + \varphi_0 = 0 \quad (15)$$

nu depășește pe  $\eta'$ , atunci  $\varphi_R$  și  $\varphi_{RM}$  sunt două funcții iterative simple, iar  $\Phi_R$  și  $\Phi_{RM}$  sunt operatori iterativi simpli și

$$\|x^* - x_n\| \leq \eta^* - \eta_n \quad (n = 0, 1, 2, \dots)$$

*Observație.* Se poate remarcă ușor că teoremele 1 și 2 rămân valabile pentru operatorii de tip Cebîșev și Newton-Kantorovici. În acest ultim caz se pot modifica însă condițiile principiului (PM), în sensul simplificării lor. Astfel  $T$  și  $t$  este suficient să fie doar ori derivabile în sens Fréchet pe sfera  $S(x_0, \eta' - \eta_0)$ , iar condiția 3) din (PM) se poate înlocui cu

$$3. \|T''x\| \leq t''(\eta) \text{ pentru } |x - x_0| \leq |\eta - \eta_0| \leq |\eta' - \eta_0|$$

În acest caz și ecuația (15) se reduce la

$$t(\eta) = \frac{1}{2} M_0\eta^2 - \frac{1}{B_0}\eta + \varphi_0 = 0 \quad (16)$$

unde s-a schimbat doar semnificația lui  $M_0$ , adică  $M_0$  este o constantă astfel ca  $M_0 \geq \|T''x\|$  pentru  $x \in S(x_0, r)$ .

## B I B L I O G R A F I E

1. V. E. Mirakov, *O primenenii principa majorant dlia metoda Cebișeva*. Usp. mat. nauk, **11** (1956), 171–174.
2. R. A. Šafiev, *O vektornih iteratyonih protessah*. J. višš. mat. i mat. fiziki **4** (1964), 139–143.
3. M. I. Necepurenko, *O metode Cebișeva dlia funkționalnih urovnenni*. Usp. mat. nauk, **IX** (1954), 2, 163–170.
4. I. S. Niczky, *Metode iterative de rezolvare a ecuațiilor operatoriale și aplicații*. Lucrare de diplomă. Cluj, 1966.
5. Jankó B. și Gaidici A., *Despre rezolvarea ecuațiilor operatoriale prin metoda lui Cebișev*. „St. și cerc. mat.”, 1966, 8.
6. Jankó B. și Gaidici A., *Asupra metodei lui Cebișev*. „St. și cerc. mat.” (Cluj), **XIII**, 1.
7. Jankó B. și Gaidici A., *Asupra metodei generalizate a lui Cebișev*. „St. și cerc. mat.”, (Cluj), **XIV**, 1.
8. M. Altman, *Concerning Chebyshev Methods for Solving Non-Linear Functional Equations*. „Bull. Ac. Pol. Sci.”, **9** (1961), 261–265.
9. M. Altman, *An Iterative Method of Solving Functional Equations*. „Bull. Ac. Pol. Sci.”, **9** (1961), 57–62.
10. M. Altman, *A General Majorant Principle for Functional Equations*. „Bull. Ac. Pol. Sci.”, **9** (1961), 745–751.
11. L. V. Kantorovič, *Funkționalnii analiz i prikladnaia matematika*. „Usp. Mat. Nauk”, 1948, **6**, 89–186.
12. L. V. Kantorovič, *O metode Newtona*. „Trudi mat. inst. im. Steklova”, **28** (1948), 104–144.
13. L. V. Kantorovič, *Nekotoreye dal'eeisje primenenia metoda Newtona dlia funkționalnih urovnenni*. Vestn. Leningrad. Univ., 1957, 67–103.

## ИТЕРАТИВНЫЕ ОПЕРАТОРЫ (IV)

(Р е з ю м е)

Пусть  $X$  и  $Y$  два пространства Банаха и  $T$ —один оператор, применяющий закрытую сферу  $(x_0, r)$  из  $X$  в  $Y$  и являющийся трижды дифференцируемым в смысле Гâteaux, с непрерывной неопрокидывающейся производной первого порядка на  $S(x_0, r)$ .

Пусть операторное уравнение (1). Вводится оператор  $\Phi_R$  определяемый (2). Из этого можно получить оператор Чебышева (3) и оператор Ньютона-Канторовича (4).

*Определение.* Можно сказать, что  $\Phi_R$ —простой итеративный оператор (4), присоединённый к уравнению (1), если решение  $x^*$  уравнения (1) является неподвижной точкой для оператора  $\Phi_R$  и итерация (5) сходится к  $x^*$  с условием  $x_0, x_1, \dots, x_n \in S(x_0, r)$ .

Можно сказать, что уравнение (7) мажорирует уравнение (1), если имеют место 1<sup>o</sup>–3<sup>o</sup> из (PM).

*Теорема 1.* Если уравнение (7) мажорирует уравнение (1), то  $\varphi_R$  является итеративной функцией а  $\Phi_R$ —итеративным оператором и имеет место (9).

*Теорема 2.* Если уравнение (7) мажорирует уравнение (1), то  $\varphi_{RM}$  является итеративной функцией, а  $\Phi_{RM}$ —итеративным оператором и имеет место (14).

*Следствие.* Если имеют место 1)-3), то уравнение (16) мажорирует уравнение (1), а  $\varphi_R$  и  $\varphi_{RM}$  являются простыми итеративными функциями, а  $\Phi_R$  и  $\Phi_{RM}$ —простыми итеративными операторами.

*Замечание.* Теоремы, аналогичные 1 и 2, имеют место для оператора Чебышева и для оператора Ньютона-Канторовича.

## ITERATIVE OPERATORS (IV)

(Summary)

Let  $X$  and  $Y$  be two Banach spaces and  $T$  the operator which maps the closed sphere  $S(x_0, r)$  from  $X$  in  $Y$ , three times differentiable in the Gâteaux sense, possessing a continuous inversable 1<sup>st</sup> order derivative on  $S(x_0, r)$ .

Consider the operatorial equation (1). The operator is defined by (2). Hence the Tchebyshev's operator (3) and Newton-Kantorovich's one (4) can be obtained.

DEFINITION. The operator  $\Phi_R$  is said to be one-point iterative operator (4) attached to equation (1) if solution  $x^*$  of equation (1) is a fixed point for the operator  $\Phi_R$  and iteration (5) converges to  $x^*$  on condition that  $x_0, x_1, \dots, x_n \in S(x_0, r)$ .

We say that equation (7) majorizes equation (1) if the conditions 1)-3) from (PM) are satisfied.

THEOREM 1. If equation (7) majorizes equation (1) then  $\varphi_R$  is one-point iterative function and  $\Phi_R$  is one-point iterative operator and (9) is valid.

THEOREM 2. If equation (7) majorizes equation (1) then  $\varphi_{RM}$  is one-point iterative function and  $\Phi_{RM}$  is iterative operator and (14) takes place.

COROLLARY. If the conditions 1)-3) are satisfied then equation (15) majorizes equation (1);  $\varphi_R$  and  $\varphi_{RM}$  are one-point iterative functions;  $\Phi_R$  and  $\Phi_{RM}$  are one-point iterative operators.

*Remark.* Theorems analogous with 1 and 2 can be stated for Tchebyshev and Newton-Kantorovich operators.

# O PROBLEMĂ DE APROXIMARE PRIN POLINOAMELE LUI BERNSTEIN

de  
**GR. MOLDOVAN**

**1. Introducere.** Se știe în baza teoremei lui Weierstrass, că o funcție  $f(x)$  definită și continuă pe un interval finit și închis poate fi aproximată oricără de bine cu un polinom. Un polinom cu această proprietate este polinomul lui Bernstein [1], care pentru funcția  $f(x)$  și intervalul  $[0, 1]$  are expresia

$$B_n(f; x) = \sum_{i=0}^n f\left(\frac{i}{n}\right) p_{n,i}(x), \quad (1)$$

unde

$$p_{n,i}(x) = \binom{n}{i} x^i (1-x)^{n-i}. \quad (2)$$

Ordinul de aproximare al funcției  $f(x)$  prin polinomul  $B_n(f; x)$  se exprimă cu ajutorul modulului de continuitate al acestei funcții

$$\omega(\delta) = \max_{|x-y|<\delta} |f(x) - f(y)|, \quad (3)$$

conform inegalității

$$|f(x) - B_n(f; x)| \leq K \omega\left(\frac{1}{\sqrt{n}}\right), \quad (4)$$

unde  $K$  este o constantă independentă de  $f(x)$ . Pentru prima dată această inegalitate a fost dedusă în 1935 de acad. Popoviciu T. [6] care găsește pentru  $K$  valoarea  $\frac{3}{2}$ . Lorentz G. G. [3], în 1953, găsește pentru constanta  $K$  o valoare egală cu  $\frac{5}{4}$ , iar în 1958 Li Ven-tin [2] obține pentru această constantă valoarea  $\frac{19}{16}$ . Această constantă a fost încă îmbunătățită în 1959 de

Sikkema P. C. [7], care găsește pentru ea valoarea  $1 + (20983\sqrt{6} - 47022)/46656 = 1,093785\dots$ . Deoarece s-a demonstrat că această constantă este mai mare decât 1, rezultă din cele de mai sus că există o valoare optimă a acesteia, care este cea mai mică valoare a lui  $K$  pentru care inegalitatea (4) subzistă

pentru  $f(x)$ , funcție continuă oarecare. Această chestiune a fost elucidată de S i k k e m a P. C. într-o interesantă lucrare [8] publicată în 1961. El găsește că valoarea optimă a acestei constante este

$$\frac{4306 + 837\sqrt{6}}{5832} = 1,0898873\dots \quad (5)$$

În 1964, M i r a k i a n G. M. [4] găsește de asemenea o valoare pentru constanta  $K$  egală cu  $1,1761\dots$ , dar deja se cunoștea valoarea optimă a acestei constante.

În lucrarea [8] S i k k e m a P. C. menționează de asemenea că în inegalitatea

$$|f(x) - B_n(f; x)| \leq K_n \omega\left(\frac{1}{\sqrt{n}}\right) \quad (6)$$

constantă

$$K_n = 1 + \sup_{[0,1]} \sum_{i=0}^n \left| \sqrt{n} \left| x - \frac{i}{n} \right| \right| p_{n,i}(x) \quad (7)$$

pentru fiecare  $n$  dat este o constantă optimă, în același sens cu constanta  $K$ . Demonstrația este făcută pentru cazul  $n = 6$ , care de fapt furnizează constanta optimă  $K$  independentă de  $n$  și de  $f(x)$ . Pentru restul cazurilor metoda de demonstrație se poate repeta.

Presupunând că funcția  $f(x)$  satisface condiția lui Lipschitz

$$|f(x) - f(y)| \leq A|x - y|^z \quad (A > 0, 0 < z \leq 1) \quad (8)$$

unde  $A$  este constanta lui Lipschitz, și dacă ținem seama de proprietatea modulu de continuitate  $\omega(\delta) \leq A\delta^z$ , inegalitatea (5) devine

$$|f(x) - B_n(f; x)| \leq K_n A \left( \frac{1}{\sqrt{n}} \right)^z. \quad (9)$$

*Observație.* Constanta lui Lipschitz,  $A$ , în inegalitatea (8) este o constantă optimă, adică este cea mai mică constantă care încă menține sensul inegalității scrise. Dacă  $f(x)$  este derivabilă și derivata sa este mărginită atunci  $z = 1$  și  $A = \sup_{[0,1]} |f'(x)|$ .

Este clar, din cele precizate pînă aici, că membrul drept al inegalității (9) reprezintă o valoare minimă (pentru fiecare  $n$  dat) care menține această inegalitate adevărată pentru orice  $x$ .

În cele ce urmează vom indica un algoritm pentru determinarea gradului minim al polinomului lui Bernstein ce aproximează o funcție lipschitziană de ordinul  $z$ , deci și continuă, pe intervalul  $[0, 1]$  (pe scurt scriem aceasta astfel  $f(x) \in C_{[0,1]} \wedge \text{Lip}_A(z)$ ), cu o eroare dată  $\varepsilon$ . Această problemă a fost de fapt menționată în [5].

**2. Un algoritm pentru determinarea gradului minim.** 2.1. Relația  $1 \leq K_n \leq I$  este adevărată pentru orice  $n$ , după cum s-a precizat în paragraful precedent iar egalitatea  $K_n = K$  are loc numai cînd  $n = 6$ . Cele două valori 1 și  $K$  reprezintă cea mai mică și respectiv cea mai mare valoare a constantelor  $K_n$ .

Înlocuim în membrul drept al inegalității (9) pe  $K_n$  cu  $K$  și determinăm din relația următoare  $K \cdot A \left( \frac{1}{\sqrt{n}} \right)^{\alpha} \leq \varepsilon$  cea mai mică valoare a lui  $n$  care mai menține sensul acestei inegalități. Notând această valoare cu  $n_1$  avem

$$n_1 = \lceil \left( \frac{KA}{\varepsilon} \right)^{\frac{2}{\alpha}} \rceil + 1. \quad (10)$$

Este evident că pentru orice  $n > n_1$  avem

$$|f(x) - B_n(f; x)| < \varepsilon, \quad (11)$$

dar această inegalitate este adevărată și pentru valori  $n < n_1$ .

Pe de altă parte, dacă înlocuim în membrul drept al inegalității (9) pe  $K_n$  cu 1 din inegalitatea  $A \left( \frac{1}{\sqrt{n}} \right)^{\alpha} \geq \varepsilon$  rezultă o valoare a lui  $n$

$$n_0 = \left[ \left( \frac{A}{\varepsilon} \right)^{\frac{2}{\alpha}} \right] \quad (12)$$

astfel încât pentru orice  $n \leq n_0$  să avem

$$|f(x) - B_n(f; x)| > \varepsilon. \quad (13)$$

Rezultă prin urmare, că inegalitatea (11) începe să fie adevărată pentru o valoare a lui  $n$  cuprinsă între  $n_0$  și  $n_1$ ,  $n_0 < n \leq n_1$ .

Notăm

$$H_n = K_n A \left( \frac{1}{\sqrt{n}} \right)^{\alpha} \quad (14)$$

adică membrul drept din inegalitatea (9) și formăm sirul

$$H_{n_0}, H_{n_0+i}, \dots, H_{n_1}. \quad (15)$$

**2.2.** Valoarea minimă a lui  $n$ ,  $\bar{n}$ , pentru care are loc inegalitatea (11) se obține calculând termenii sirului (15) și primul termen al sirului,  $H_{n_0+i}$  ( $i$  poate lua una din valorile  $0, 1, \dots, n_1 - n_0$ ) cu proprietatea  $H_{n_0+i} \leq \varepsilon$  ne furnizează valoarea lui  $\bar{n} = n_0 + i$ . În acest caz, evident, s-ar putea să existe valori  $n > \bar{n}$  astfel ca inegalitatea (11) să nu fie adevărată.

**2.3.** Pentru calculul celei mai mici valori  $\tilde{n}$  a lui  $n$  pentru care  $H_n \leq \varepsilon$ oricare ar fi  $n > \bar{n}$ , se începe cu calculul ultimului termen din sirul (15), adică se determină termenii sirului  $H_{n_1}, H_{n_1-1}, \dots, H_{n_0}$ . Comparând aceste mărimi cu valoarea lui  $\varepsilon$ , vom ajunge la un moment dat la inegalitatea  $H_{n_1-j} > \varepsilon$ . Dacă acesta a fost primul termen al sirului care satisfacă această inegalitate, atunci  $\tilde{n} = n_1 - j + 1$  ( $j$  poate lua una din valorile  $0, 1, \dots, n_1 - n_0 + 1$ ).

**3. Calculul constantelor  $K_n$ .** În paragraful precedent s-a pus în evidență sirul  $\{H_n\}_{n_0}^{n_1}$  (termenii căruia trebuie calculați) pentru stabilirea lui  $\bar{n}$  și  $\tilde{n}$ . Calculul termenilor acestui sir implică calculul constantelor  $K_n$  definite de relația (7). Vom stabili în acest paragraf algoritmul de calcul al acestor constante.

Evident, e suficient să stabilim acest algoritm pentru

$$\bar{K}_n = \sup_{[0, 1]} \sum_{i=0}^n \left\lceil \sqrt{n} \left| x - \frac{i}{n} \right| \right\rceil p_{n,i}(x) \text{ deoarece} \\ K_n = 1 + \bar{K}_n. \quad (16)$$

Întîi să observăm că putem restrînge intervalul de variație a lui  $x$ ,  $[0, 1]$  la subintervalul  $\left[0, \frac{1}{2}\right]$ , aceasta pentru că funcția a cărui supremum se calculează, este simetrică față de  $\frac{1}{2}$ . Acest lucru rezultă imediat, înlocuind pe  $x$  cu  $1 - x$ . Deci ne ocupăm de algoritmul de calcul pentru

$$\bar{K}_n = \sup_{\left[0, \frac{1}{2}\right]} \sum_{i=0}^n \left\lceil \sqrt{n} \left| x - \frac{i}{n} \right| \right\rceil p_{n,i}(x). \quad (17)$$

Mărimea  $\left\lceil \sqrt{n} \left| x - \frac{i}{n} \right| \right\rceil$  e constantă, pentru fiecare  $i$  dat, cînd  $x$  variază într-un anumit interval. Deci există o diviziune a intervalului  $\left[0, \frac{1}{2}\right]$  astfel ca pe fiecare subinterval al diviziunii mărimea  $\left\lceil \sqrt{n} \left| x - \frac{i}{n} \right| \right\rceil$  să ia valori constante pentru un  $i$  dat. Fie această diviziune următoarea:

$$0 = x_1 < x_2 < \dots < x_{s+1} = \frac{1}{2}. \quad (18)$$

Nodurile acestei diviziuni se obțin calculînd expresia

$$\frac{k}{\sqrt{n}} + \frac{i}{n} \quad (19)$$

pentru  $k = 0, \pm 1, \dots, \pm \lceil \sqrt{n} \rceil$ ;  $i = 0, 1, \dots, n$  și alegînd acele valori care sînt cuprinse între 0 și  $\frac{1}{2}$ . Le ordonăm și primim sirul (18).

Funcția  $p_{n,i}(x)$  pe fiecare subinterval al diviziunii (18) este monotonă. Valoările maxime ale acestei funcții se obțin pentru  $x = \frac{i}{n}$  ( $i=0, \lceil \frac{n}{2} \rceil$ ) care sînt, de fapt, noduri ale diviziunii (18).

Pentru calculul mărimi  $K_n$  vom proceda în felul următor: vom determina valoarea funcției

$$\sum_{i=0}^n \left\lceil \sqrt{n} \left| x - \frac{i}{n} \right| \right\rceil p_{n,i}(x) \quad (20)$$

în fiecare nod al diviziunii (18), iar pe urmă supremumul acestei funcții pe subintervalele diviziunii (18). Obținem un sir de valori, și cea mai mare dintr-o acestea va reprezenta pe  $K_n$ . Calculînd valorile funcției (20) pe nodurile diviziuni

(18) și supremumul aceleiași funcții pe subintervalele determinate de diviziunea (18), se vor obține unele rezultate egale, dar acest lucru nu influențează rezultatul final.

Pentru a calcula supremumul funcției (20) pe subintervalele diviziunii (18), se calculează valoarea lui  $\phi_{n,i}(x)$  în cele două extremități ale subintervalului, se alege valoarea mai mare dintre acestea, iar apoi aceasta se înmulțește cu mărimea  $\left\lceil \sqrt{n} |x - \frac{i}{n}| \right\rceil$  calculată pentru  $x$  situat la mijlocul acelui subinterval.

**4. Descrierea algoritmilor de determinare a lui  $\bar{n}$  și  $\tilde{n}$  în limbajul algoritmic internațional ALGOL-60.** Limbajul algoritmic internațional ALGOL-60 de programare automată la mașinile electronice de calcul se folosește tot mai mult în lucrările de analiză numerică pentru descrierea algoritmilor de calcul ai diferențierelor procedee numerice [9]. În ceea ce urmează vom descrie în limbajul ALGOL-60 algoritmii de calcul stabiliți în paragrafele precedente pentru determinarea lui  $\bar{n}$  și  $\tilde{n}$ . Pentru aceasta vom da întâi un procedeu pentru calculul constantelor  $K_n$  iar apoi procedeele corespunzătoare pentru determinarea lui  $\bar{n}$  și  $\tilde{n}$ .

4.1 Denumim procedeul de calcul al constantelor  $K$  prin identificatorul  $K$  iar valoarea sa o notăm cu  $K_n$ .

```

procedure K(n, Kn); integer n; real Kn;
begin integer l, s; array x[1:2 × n];
  entier(sqrt(n)), Tn[1:2 × s + l];
comment: Se calculează termenii șirului { $x_i$ }s+1
  cu ajutorul cărora se formează o diviziune a
  intervalului  $\left[0, \frac{l}{2}\right]$  ce se folosește la determinarea
  constantei  $K_n$ ;
begin real xik, temp; integer h, i, j, k; s := 0;
  for i := 0 step 1 until n do
    for k := 0, k + 1 while k/sqrt(n) + i/n <= l/2,
      if i ≠ 0 then entier(sqrt(n)) else, k + 1 while
        (0 < k/sqrt(n) + i/n) ∧ (k/sqrt(n) + i/n < l/2) do
          begin xik := k/sqrt(n) + i/n;
            if (0 < xik) ∧ (xik < l/2) then
              begin s := s + 1; x[s] := xik end
            end; x[s + l] := l/2;
comment: Ordonăm șirul { $x_i$ }s+1, pentru a putea
  stabili subintervalele ce ne interesează;
  for h := 1 step 1 until s do
    for j := h + 1 step 1 until s + l do
      if x[h] > x[j] then
        begin temp := x[h]; x[h] := x[j];
          x[j] := temp
        end
    end;
  for l := 1 step 1 until s + 1 do
begin integer i, real y; array
  Cn[0:n], pn, pfn, qn, qqn, rn, rrn,
  tn, ttn[0:n, -l: s];
  tn[-l, 0] := ttn[-l, 0] := 0;
```

```

for i := 0 step 1 until n do
  begin Cn[0] := 1; pn[i, x[l]] := Cn[i] × (x[l]
    ↑ i) × (l - x[l])↑(n - i);
    Cn[i + l] := (n - i) × Cn[i](i + l);
    if (pn[i, x[l]] < pn[i, x[l + 1]]) ∧ (l < s)
      then pn[i, l] := pn[i, x[l + 1]] else
        if l = s + 1 then go to R else pn[i, l] := pn[i, x[l]] + 1/2;
    rn[i, l] := sqrt(n) × abs(x[l] - i/n);
    if rn[i, l]-entier(rn[i, l]) ≠ 0
      then qn[i, l] := entier(rn[i, l])
      else qn[i, l] := rn[i, l] - 1;
    tn[i, l] := pn[i, l] × qn[i, l];
    tn[i, l] := tn[i - 1, l] + tn[i, l];
R: pfn[i, l] := pn[i, x[l]];
  rrn[i, l] := sqrt(n) × abs(x[l] - i/n);
  if rrn[i, l]-entier(rrn[i, l]) ≠ 0
    then qqn[i, l] := entier(rrn[i, l])
    else qqn[i, l] := rrn[i, l] - 1;
    ttn[i, l] := pfn[i, l] × qqn[i, l];
  end i;
  Tn[l] := tn[n, l];
  Tn[l + s] := ttn[n, l];
end l;
begin integer j, real temp;
  for j := 1 step 1 until 2 × s do
    if Tn[j] > Tn[j + 1] then
      begin temp := Tn[j]; Tn[j] := Tn[j + 1];
        Tn[j + 1] := temp
      end
  end;
  Kn := 1 + Tn[2 × s + 1];
end procedure
```

4.2. Acum vom descrie în limbajul ALGOL-60 procedeul de calcul al mărimii  $\bar{n}$  în care vom folosi procedeul descris mai sus, de calcul al constantei  $K_n$ .

**procedure** *nbara* (*A*, *alfa*, *epsilon*, *K*, *Hn*);  
**value** *A*, *alfa*, *epsilon*;  
**real** *A*, *alfa*, *epsilon*, *Hn*;  
**real procedure** *K*;  
**comment:** *nbara* reprezintă gradul minim al polinomului lui Bernstein atașat funcției  $f(x) \in \{C_{[0,1]} \wedge Lip_A\alpha\}$ , care aproximează această funcție cu o eroare dată *epsilon*. Pot fi valori  $n > nbara$  pentru care inegalitatea  $|f(x) - B_n(f; x)| < \epsilon$  să nu fie adevărată;

4.3. În fine, în cele ce urmează vom descrie în limbajul ALGOL-60 procedeul de calcul al mărimii  $\tilde{n}$ . Vom folosi de asemenea procedeul *K* descris la 4.1.

**procedure** *nondulat* (*A*, *alfa*, *epsilon*, *K*, *Hn*);  
**value** *A*, *alfa*, *epsilon*;  
**real** *A*, *alfa*, *epsilon*, *Hn*;  
**real procedure** *K*;  
**comment:** *nondulat* reprezintă gradul minim al polinomului lui Bernstein  $B_n(f; x)$  atașat funcției  $f(x) \in \{C_{[0,1]} \wedge Lip_A\alpha\}$  care aproximează această funcție cu o eroare dată *epsilon*. Inegalitatea  $|f(x) - B_n(f; x)| < \epsilon$  este satisfăcătoare pentru orice  $n > nondulat$ ;  
**begin integer** *n*, *nunu*, *nondulat*;  
*nunu* := **if**  $(1.0898873 \times A/\epsilon)^{\frac{1}{2}}$

```

begin integer n, nzero, nbara;  

nzero := entier  $((A/\epsilon)^{\frac{1}{2}}) \uparrow (2\alpha)$ ;  

n := nzero;  

R: K(n, Kn):  

Kn := Kn  $\times$  A  $\times$   $(1/\sqrt{n})^{\frac{1}{2}} \uparrow \alpha$ ;  

if Kn  $> \epsilon then  

    begin n := n + 1; go to R end  

else nbara := n  

end$ 
```

```

(2\alpha)-entier  $((1.0898873 \times A/\epsilon)^{\frac{1}{2}} \uparrow$   

 $(2\alpha)) \neq 0$  then entier  $((1.0898873 \times A/\epsilon)^{\frac{1}{2}} \uparrow (2\alpha)) + 1$  else  $(1.0898873 \times A/\epsilon)^{\frac{1}{2}} \uparrow$   

n := nunu;  

R: K(n, Kn):  

Kn := Kn  $\times$  A  $\times$   $(1/\sqrt{n})^{\frac{1}{2}} \uparrow \alpha$ ;  

if Kn  $< \epsilon then  

    begin n := n - 1; go to R end  

else nondulat := n + 1  

end$ 
```

(Intrat în redacție la 27 martie 1967)

## B I B L I O G R A F I E

1. Bernstein S. N. *Démonstration du théorème de Weierstrass sur le calcul des probabilités*. Commun. Soc. Math. Kharkov, **13(2)**, 1–2. (1912).
2. Li Ven-ting, *Shuxue jinzhuan*, **4**, 567 (1958).
3. Lorentz G. G., *Bernstein Polynomials*, Toronto, 1953.
4. Mirakian G. M., *Pribiljenie polinomami S. N. Bernšteina neprerivnih funkcij*. DAN SSSR, **159**, 982–984 (1964).
5. Moldovan Gr., *Asupra aproximării funcțiilor continue prin polinoame Bernstein*. Studia Univ. Babeș-Bolyai, Series Math. Physica, fasc. 1, 63–71 (1966).
6. Popoviciu T., *Sur l'approximation des fonctions convexes d'ordre supérieur*. Mathematica, **10**, 49–54 (1935).
7. Sikkema P. C., *Über den Grad der Approximation mit Bernstein-Polynomen*. Numerische Math. **1**, 221–239 (1959).
8. Sikkema P. C., *Der Wert einiger Konstanten in der Theorie der Approximation mit Bernstein-Polynomen*. Numerische Math. **3**, 107–116 (1961).
9. Stancu D. D., *Despre programarea automată la calculatoarele electronice cifrice*. Gazeta mat. **70**, 170–173 (1965).

ОДНА ЗАДАЧА АППРОКСИМАЦИИ ПОСРЕДСТВОМ МНОГОЧЛЕНОВ  
БЕРНШТЕЙНА  
(Р е з ю м е)

В работе указывается алгоритм для определения минимальной степени многочлена Бернштейна, аппроксимирующего функцию  $f(x)$  типа Липшица порядка  $\alpha$  и постоянной  $A$ , с данной погрешностью  $\varepsilon$ . Алгоритм состоит в вычислении терминов последовательности  $\{H_n\}_{n_0}^{n_1}$ , где  $H_n =$

$$= K_n A \left( \frac{1}{\sqrt{n}} \right)^\alpha, \text{ и } n_0 = \left[ \left( \frac{A}{\varepsilon} \right)^{\frac{2}{\alpha}} \right] \text{ и } n_1 = \left[ \left( \frac{KA}{\varepsilon} \right)^{\frac{2}{\alpha}} \right] + 1.$$

Данный алгоритм описан в международном алгоритмическом языке ALGOL-60.

UN PROBLÈME D'APPROXIMATION PAR LES POLYNÔMES DE BERNSTEIN  
(R é s u m é)

L'auteur indique un algorithme pour la détermination du degré minimum du polynôme de Bernstein approximant une fonction lipschitzienne d'ordre  $\alpha$  et de constante  $A$ ,  $f(x)$ , avec une erreur donnée  $\varepsilon$ . L'algorithme consiste dans le calcul des termes de la série  $\{H_n\}_{n_0}^{n_1}$ , où  $H_n = K_n A \left( \frac{1}{\sqrt{n}} \right)^\alpha$ ,  $n_0 = \left[ \left( \frac{A}{\varepsilon} \right)^{\frac{2}{\alpha}} \right]$  et  $n_1 = \left[ \left( \frac{KA}{\varepsilon} \right)^{\frac{2}{\alpha}} \right] + 1$ .

L'algorithme respectif est décrit dans le langage algorithmique international ALGOL-60.



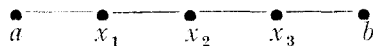
# O FORMULĂ DE CUADRATURĂ CU 5 NODURI CU GRADUL DE EXACTITATE 5

de  
**GH. MICULA**

Se caută o formulă de cuadratură de următoarea formă

$$\int_a^b f(x) dx = A_0 f(x_0) + A_1 f(x_1) + A_2 f(x_2) + A_3 f(x_3) + A_4 f(x_4) + R \quad (1)$$

care să aibă gradul de exactitate 5, iar nodurile să fie situate astfel



$$x_0 = a, \quad x_1 = x_2 - kh, \quad x_2 = \frac{a+b}{2}, \quad x_3 = x_2 + kh, \quad x_4 = b, \quad k \in (0, 1), \quad h = \frac{b-a}{2},$$

iar  $f(x) \in C^6[a, b]$ .

Prof. D. V. Ionescu [1] a făcut un studiu amănunțit al formulelor de cuadratură cu nodurile  $a, b$  și încă două noduri simetrice față de mijlocul intervalului  $(a, b)$ . De asemenea A. Cotruț ([3]) a studiat cîteva cazuri de astfel de formule de cuadratură.

Aplicînd metoda întrebuiñătă de prof. D. V. Ionescu se atașează intervalelor  $[a, x_1]$ ,  $[x_1, x_2]$ ,  $[x_2, x_3]$ ,  $[x_3, b]$  funcțiile  $\varphi_1(x)$ ,  $\varphi_2(x)$ ,  $\varphi_3(x)$ ,  $\varphi_4(x)$ , care satisfac următoarele ecuații diferențiale

$$\varphi_1^{(6)}(x) = 1, \quad \varphi_2^{(6)}(x) = 1, \quad \varphi_3^{(6)}(x) = 1, \quad \varphi_4^{(6)}(x) = 1 \quad (2)$$

și condițiile la limită

$$\varphi_1^{(i)}(a) = 0, \quad \varphi_{k+1}^{(i)}(x_k) = \varphi_k^{(i)}(x_k), \quad \varphi_4^{(i)}(b) = 0 \quad (3)$$

unde  $i = 0, 1, 2, 3, 4$ ,  $k = 1, 2, 3$ .

Integrala (1) se poate scrie astfel

$$\int_a^b f(x) dx = \int_a^{x_1} \varphi_1^{(6)}(x) f(x) dx + \int_{x_1}^{x_2} \varphi_2^{(6)}(x) f(x) dx + \int_{x_2}^{x_3} \varphi_3^{(6)}(x) f(x) dx + \int_{x_3}^b \varphi_4^{(6)}(x) f(x) dx$$

Aplicând fiecărui termen din membrul doi, formula generalizată de integrare prin părți, și ținând seama de condițiile la limită (3), se obține

$$\int_a^b f(x)dx = -\varphi_1^{(5)}(a)f(a) + [\varphi_1^{(5)}(x_1) - \varphi_2^{(5)}(x_1)]f(x_1) + [\varphi_2^{(5)}(x_2) - \varphi_3^{(5)}(x_2)]f(x_2) + \\ + [\varphi_3^{(5)}(x_3) - \varphi_4^{(5)}(x_3)]f(x_3) + \varphi_4^{(5)}(b)f(b) + \int_a^b \varphi(x)f^{(6)}(x)dx \quad (4)$$

unde funcția  $\varphi(x)$  coincide pe rînd cu  $\varphi_1(x)$ ,  $\varphi_2(x)$ ,  $\varphi_3(x)$ ,  $\varphi_4(x)$  pe intervalele  $[a, x_1]$ ,  $[x_1, x_2]$ ,  $[x_2, x_3]$ ,  $[x_3, b]$ .

Soluția sistemului de ecuații diferențiale (2) cu condițiile (3) este următoarea :

$$\begin{aligned} \varphi_1(x) &= \frac{(x-a)^6}{6!} + \frac{h}{15} \frac{5k^2-3}{1-k^2} \frac{(x-a)^5}{5!} \\ \varphi_2(x) &= \frac{(x-a)^6}{6!} + \frac{h}{15} \frac{5k^2-3}{1-k^2} \frac{(x-a)^5}{5!} - \frac{2h}{15} \frac{1}{k^2(1-k^2)} \frac{(x-x_1)^5}{5!} \\ \varphi_3(x) &= \frac{(h-x)^6}{6!} + \frac{h}{15} \frac{5k^2-3}{1-k^2} \frac{(h-x)^5}{5!} - \frac{2h}{15} \frac{1}{k^2(1-k^2)} \frac{(x_3-x)^5}{5!} \\ \varphi_4(x) &= \frac{(b-x)^6}{6!} + \frac{h}{15} \frac{5k^2-3}{1-k^2} \frac{(b-x)^5}{5!} \end{aligned}$$

Formula (1) devine

$$\begin{aligned} \int_a^b f(x)dx &= \frac{h}{15} \left\{ -\frac{5k^2-3}{1-k^2} [f(a) + f(b)] + \frac{2}{k^2(1-k^2)} [f(x_1) + f(x_3)] + \right. \\ &\quad \left. + \frac{4(5k^2-1)}{k^2} f(x_2) \right\} + \int_a^b \varphi(x)f^{(6)}(x)dx \end{aligned}$$

unde funcția  $\varphi(x)$  coincide, pe intervalele considerate, cu funcțiile  $\varphi_1(x)$ ,  $\varphi_2(x)$ ,  $\varphi_3(x)$ ,  $\varphi_4(x)$ .

**Studiul restului.** Restul formulei de cuadratură (5) este dat de expresia

$$R = \int_a^b \varphi(x)f^{(6)}(x)dx \quad (6)$$

Din expresiile funcțiilor  $\varphi_i(x)$ ,  $i = 1, 2, 3, 4$  se observă că funcția  $\varphi(x)$  este simetrică față de dreapta  $x = \frac{a+b}{2}$ . Graficul funcției  $\varphi(x)$  este dat în fig. 1.

Discuția restului (6) se face în funcție de parametrul  $k$ .

1. Se observă din grafic, că funcția  $\varphi(x)$  este de semn constant pentru  $0 < k < 0,6404$  și  $\sqrt{\frac{3}{5}} < k < 1$ . Pentru aceste valori ale parametrului  $k$ , se aplică formula mediei, integralei (6) :

$$R = f^{(6)}(\tilde{x}) \int_a^b \varphi(x) dx, \quad \tilde{x} \in (a, b) \text{ sau } |R| \leq M \int_a^b |\varphi(x)| dx, \quad M = \sup_{x \in (a, b)} |f^{(6)}(x)|.$$

Înlocuind în formula de cuadratură (5)

$$f(x) = \frac{1}{6!} (x-a)(x-x_1)(x-x_2)^2(x-x_3)(x-b)$$

$$\text{se obține } \int_a^b \varphi(x) dx = \frac{h^7}{18,900} [7k^2 - 3]$$

Deci restul are evaluarea

$$|R| \leq M \frac{h^7}{18,900} [7k^2 - 3]$$

2. Pentru  $0,74487 < k < \sqrt{\frac{3}{5}}$  funcția  $\varphi_1(x)$  intersectează axa  $Ox$  în punctul  $x_1 = a + \frac{2h}{5} \frac{5k^2 - 3}{1 - k^2}$ .

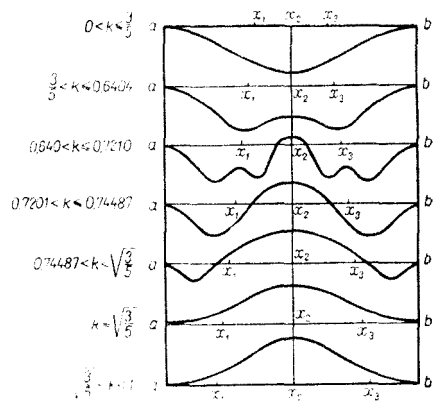


Fig. 1.

În acest caz restul va avea următoarea evaluare  $|R| \leq M \int_a^b |\varphi(x)| dx$ , iar

$$\int_a^b |\varphi(x)| dx = \frac{h^7}{8!} \left[ \frac{2^8}{21 \cdot 5^7} \left( \frac{5k^2 - 3}{1 - k^2} \right)^7 - \frac{4}{15} \cdot \frac{3 - 5k^2}{1 - k^2} - \frac{2}{7} \right]$$

sau

$$|R| \leq M \frac{h^7}{6!} E$$

unde cu  $E$  s-a notat expresia din paranteză.

**Cazuri particolare.** a) Pentru  $k = \sqrt{\frac{3}{5}}$  se obține o formulă de cuadratură de tip Gauss ([1] pag. 284)

$$\int_a^b f(x) dx = \frac{h}{9} [5f(x_1) + 8f(x_2) + 5f(x_3)] + \int_a^b \varphi(x) f^{(6)}(x) dx$$

b) Pentru  $k = \frac{1}{2}$  se obține formula de cuadratură a lui Cotes ([1] pag. 239)

$$\int_a^b f(x) dx = \frac{h}{45} \{ 7[f(a) + f(b)] + 32[f(x_1) + f(x_3)] + 12f(x_2) \} + \int_a^b \varphi(x) f^{(6)}(x) dx$$

c) Pentru  $k = \frac{1}{\sqrt{5}}$  se obține o formulă de tip Gauss ([1] pag. 314)

$$\int_a^b f(x) dx = \frac{h}{6} [f(a) + 5f(x_1) + 5f(x_3) + f(b)] + \int_a^b \varphi(x)f^{(6)}(x) dx$$

**Cazuri speciale.** a)  $k = \sqrt{\frac{3}{7}}$ . În acest caz rezultă  $\int_a^b \varphi(x)dx = 0$  deci  $R = 0$ .

Prin urmare formula de cuadratură (5) este exactă pentru orice polinom de gradul 6. Se poate verifica, că formula (5) este adevărată și pentru orice polinom de grad 7.

Formula de cuadratură, în acest caz, are gradul de exactitate 7 și devine

$$\int_a^b f(x) dx = \frac{h}{90} [9f(a) + 49f(x_1) + 64f(x_2) + 49f(x_3) + 9f(b)] + \int_a^b \varphi(x)f^{(8)}(x) dx$$

b)  $k = 0$ . În acest caz nodurile  $x_1, x_2, x_3$  sunt confundate în mijlocul intervalului  $(a, b)$ , deci avem nodurile  $a, \frac{a+b}{2}$  (triplu),  $b$ . Intervalor  $[a, \frac{a+b}{2}], [\frac{a+b}{2}, b]$  li se atașează funcțiile  $\varphi_1(x), \varphi_2(x)$  soluțiile ale ecuațiilor diferențiale

$$\varphi_1^{(6)}(x) = 1, \quad \varphi_2^{(6)}(x) = 1$$

care satisfac următoarele condiții:

$$\varphi_1^{(k)}(a) = 0, \quad \varphi_2^{(k)}\left(\frac{a+b}{2}\right) = \varphi_1^{(k)}\left(\frac{a+b}{2}\right), \quad \varphi_2^{(k)}(b) = 0$$

unde  $k = 0, 1, 2, 3, 4$  și  $h = 0, 1, 2$ . Atunci

$$\begin{aligned} \int_a^b f(x) dx &= -\varphi_1^{(5)}(a)f(a) + \left[ \varphi_2^{(5)}\left(\frac{a+b}{2}\right) - \varphi_2^{(5)}\left(\frac{a+b}{2}\right) \right] \left( f\left(\frac{a+b}{2}\right) \right. \\ &\quad \left. + \left[ \varphi_2^{(4)}\left(\frac{a+b}{2}\right) - \varphi_1^{(4)}\left(\frac{a+b}{2}\right) \right] f'\left(\frac{a+b}{2}\right) + \left[ \varphi_1'''\left(\frac{a+b}{2}\right) - \varphi_2'''\left(\frac{a+b}{2}\right) \right] f''\left(\frac{a+b}{2}\right) \right. \\ &\quad \left. + \varphi_2^{(5)}(b)f(b) \right) + \int_a^b \varphi(x)f^{(6)}(x) dx \end{aligned}$$

Se găsește că

$$\varphi_1(x) = \frac{(x-a)^6}{6!} - \frac{h}{5} \frac{(x-a)^5}{5!}, \quad \varphi_2(x) = \frac{(b-x)^6}{6!} - \frac{h}{5} \frac{(b-x)^5}{5!}$$

Se obține următoarea formulă de cuadratură :

$$\int_a^b f(x) dx = \frac{h}{5} \left[ f(a) + 8f\left(\frac{a+b}{2}\right) + \frac{2h^2}{3} f''\left(\frac{a+b}{2}\right) + f(b) \right] + R$$

unde

$$R := \int_a^b \varphi(x) f^{(6)}(x) dx$$

c)  $k = 1$ . Nodul  $x_1$  coincide cu  $a$ , iar nodul  $x_3$  cu  $b$ . Prin urmare avem nodurile  $a$  (dublu),  $\frac{a+b}{2}$ ,  $b$  (dublu).

Se consideră funcțiile  $\varphi_1(x)$ ,  $\varphi_2(x)$  soluții ale ecuațiilor diferențiale

$$\varphi_1^{(6)}(x) = 1, \quad \varphi_2^{(2)}(x) = 1$$

și care satisfac condițiile la limită :

$$\varphi_1^{(k)}(a) = 0, \quad \varphi_2^{(k)}\left(\frac{a+b}{2}\right) = \varphi_1^{(k)}\left(\frac{a+b}{2}\right), \quad \varphi_2^{(k)}(b) = 0, \quad k = 0, 1, 2, 3.$$

Se obține următoarea formulă de cuadratură :

$$\int_a^b f(x) dx = \frac{7h}{15}[f(a) + f(b)] + \frac{h^2}{15}[f'(a) - f'(b)] + \frac{16h}{15}f\left(\frac{a+b}{2}\right) + R$$

unde

$$R = \int_a^b \varphi(x) f^{(6)}(x) dx$$

Funcția  $\varphi(x)$  fiind pozitivă se obține următoarea evaluare a restului  $R = -f^{(6)}(\xi) \int_a^b \varphi(x) dx$ ,  $\xi \in (a, b)$ , unde  $\int_a^b \varphi(x) dx = \frac{h^7}{4725}$ , și deci

$$|R| < M \frac{h^7}{4725}$$

Aceasta este o formulă de cuadratură de tip Gauss ([2] pag. 112)

(Intrat în redacție la 23 ianuarie 1967)

#### B I B L I O G R A F I E

1. D. V. Ionescu, *Cuadraturi numerice*, Ed. Tehnică, București 1957.
2. D. V. Ionescu, *Formule de cuadratură cu noduri exterioare*, Studii și cercetări matematice (Cluj) IX, 1958, fasc. 1–4.
3. A. Coțiu, *O observare asupra formulelor de cuadratură cu patru noduri*, G.M.F. 1965, VII.

## ОДНА КВАДРАТУРНАЯ ФОРМУЛА С 5 УЗЛАМИ 5-ОЙ СТЕПЕНИ ТОЧНОСТИ

(Р е зю м е)

В работе изучается одна квадратурная формула с узлами  $a, b, \frac{a+b}{2}, x_1, x_3$ , где  $x_1$  и  $x_3$  являются симметричными по отношению к узлу  $\frac{a+b}{2}$ , но переменными, следовательно  $x_1 = \frac{a+b}{2} - kh$ ,  $x_3 = \frac{a+b}{2} + kh$ , где  $h = \frac{b-a}{2}$ , а параметр  $k$  колеблется между 0 и 1. Рассматривается остаток этой формулы 5-ой степени точности по значениям  $k$ . Изучаются и специальные случаи когда  $k = 0$  и  $k = 1$ . Для определенных значений  $k$  степень точности квадратурной формулы увеличивается.

## A QUADRATURE FORMULA WITH 5 NODES HAVING THE DEGREE OF EXACTNESS 5

(S u m m a r y )

The author discusses a quadrature formula with the nodes  $a, b, \frac{a+b}{2}, x_1$  and  $x_3$ , the last two being variable but symmetrical with regard to  $\frac{a+b}{2}$ . Hence  $x_1 = \frac{a+b}{2} - kh$ ,  $x_3 = \frac{a+b}{2} + kh$  where  $h = \frac{b-a}{2}$ , the parameter  $k$  varying between 0 and 1. The remainder of this formula with the degree of exactness 5 is discussed according with the different values of  $k$ . The special cases  $k = 0$  and  $k = 1$  are studied as well.

For certain values of  $k$  the degree of exactness of the quadrature formula increases.

## ON THE REMAINDER OF SOME GAUSSIAN FORMULAE

by

**PARASCHIVA PAVEL**

**1.** In his work [5] P. Turrán proved the following theorem: If  $k$  is a non-negative integer and  $f(x)$  is a polynomial of degree  $\leq (2k+2)n-1$ , then there exist some coefficients  $A_i^{(j)}$  independent of  $f(x)$ , such that the following formula is valid

$$\int_{-1}^1 \frac{f(x)}{\sqrt{1-x^2}} dx = \sum_{i=1}^n \sum_{j=0}^{2k} A_i^{(j)} f^{(j)}(x_i). \quad (1)$$

O. Kiss [4] found a simple expression for the coefficients  $A_i^{(j)}$  which occur in (1). His result is stated in the following theorem: If  $g(t)$  is an even trigonometrical polynomial of degree  $\leq 2(k+1)n-1$ , then

$$\int_0^\pi g(t) dt = \frac{\pi}{n \cdot k!^2} \sum_{\rho=0}^k \frac{S_\rho}{4^\rho n^{2\rho}} \sum_{v=i}^k f^{(2\rho)} \left( \frac{2v-1}{2n} \pi \right), \quad (2)$$

where  $s_{k-v}$  ( $v=0, 1, \dots, k$ ) denotes the symmetrical elementary polynomials with respect to the numbers  $1, 4, \dots, k^2$ , i.e.  $s_k = 1, s_{k-1} = 1 + 4 + \dots + k^2, \dots, s_0 = 1 + 4 + \dots + k^2$ .

Because  $f(x)$  is a polynomial of degree  $\leq 2(k+1)n-1$ ,  $f(\cos t)$  is a trigonometrical polynomial of degree  $\leq 2(k+1)n-1$  and

$$\int_{-1}^1 \frac{f(x)}{\sqrt{1-x^2}} dx = \int_0^\pi f(\cos t) dt.$$

Consequently

$$\int_{-1}^1 \frac{f(x)}{\sqrt{1-x^2}} dx = \frac{\pi}{n \cdot k!^2} \sum_{\rho=0}^k \frac{S_\rho}{4^\rho n^{2\rho}} \sum_{v=1}^n \left[ \frac{d^{2\rho}}{dt^{2\rho}} f(\cos t) \right]_{t=\frac{2v-1}{2n}\pi}. \quad (3)$$

Our purpose is to find the remainder of the quadrature formula (4) in the form of an integral by making use of general method given by D. V. Ionescu [1].

**2.** Supposing that  $f(x) \in C^{(2k+2)n}$ , we want to find a quadrature formula of degree of exactness  $(2k+2) n - 1$  of the form :

$$\int_{-1}^1 \frac{f(x)}{\sqrt{1-x^2}} dx = \sum_{i=1}^n \sum_{j=0}^{2k} A_i^{(j)} f_{(x_i)}^{(j)} + R. \quad (4)$$

To this end we shall divide the interval  $(-1,1)$  in  $n$  subintervals through the points  $x_1, \dots, x_n$  and attach to each interval  $(x_i, x_{i+1})$ , a function  $\varphi_{i+1}$  such that

$$\frac{d^{(2k+2)n} \varphi_{i+1}(x)}{dx^{(2k+2)n}} = \frac{1}{\sqrt{1-x^2}}; \quad i = \overline{0, n} \quad (5)$$

The integral of the left-hand side of (4) may be written :

$$\int_{-1}^1 \frac{f(x)}{\sqrt{1-x^2}} dx = \sum_{i=0}^n \int_{x_i}^{x_{i+1}} \varphi_{i+1}^{(2k+2)n}(x) f(x) dx; \quad i_0 = -1, \quad i_{n+1} = 1.$$

Apply to each integral of the right-hand side the generalized formula of integration by parts [9] :

$$\begin{aligned} \int_{x_i}^{x_{i+1}} \varphi_{i+1}^{(2k+2)n}(x) f(x) dx &= [\varphi_{i+1}^{(2k+2)n-1}(x) f(x) - \varphi_{i+1}^{(2k+2)n-2}(x) f'(x)] \Big|_{x_i}^{x_{i+1}} \\ &\quad \dots + \varphi_{i+1}(x) f^{(2k+2)n-1}(x) \Big|_{x_i}^{x_{i+1}} + \int_{x_i}^{x_{i+1}} \varphi_{i+1}(x) f^{(2k+2)n}(x) dx. \end{aligned}$$

Adding all these equalities and imposing the conditions

$$\begin{aligned} \varphi_1(-1) &= 0 & \varphi'_1(-1) &= 0 & \dots & \varphi_1^{[2(k+1)n]}(-1) &= 0 \\ \varphi_1(x_1) &= \varphi_2(x_1) & \varphi'_1(x_1) &= \varphi'_2(x_1) & \dots & \varphi_1^{[2(n-1)(k+1)]}(x_1) &= \varphi_2^{[2(n-1)(k+1)]}(x_1) \\ &\vdots & & \vdots & & & \vdots \\ \varphi_n(x_n) &= \varphi_{n+1}(x_n), & \varphi'_n(x_n) &= \varphi'_{n+1}(x_n) & \dots & \varphi_n^{[2(n-1)(k+1)]}(x_n) &= \varphi_{n+1}^{[2(n-1)(k+1)]}(x_n) \\ \varphi_{n+1}(1) &= 0 & \varphi'_{n+1}(1) &= 0 & \dots & \varphi_{n+1}^{[2(k+1)n-1]}(1) &= 0. \end{aligned} \quad (6)$$

we get the quadrature formula (4) where

$$\begin{aligned} A_i^{(0)} &= \varphi_i^{[2(k+1)n-1]}(x_i) - \varphi_{i+1}^{[2(k+1)n-1]}(x_i) \\ A_i^{(1)} &= \varphi_i^{[2(k+1)n-2]}(x_i) - \varphi_{i+1}^{[2(k+1)n-2]}(x_i) \\ &\vdots & & \vdots & & & \vdots \\ A_i^{(2k)} &= \varphi_i^{[2(k-1)n-2k+1]}(x_i) - \varphi_{i+1}^{[2(k-1)n-2k+1]}(x_i). \end{aligned} \quad (7)$$

The remainder is :

$$R = \int_{-1}^1 \varphi(x) \frac{d^{2(k+1)n} f(x)}{dx^{2(k+1)n}} dx. \quad (8)$$

The solutions of the differential equations (3) with the conditions (6) are :

$$\begin{aligned} \varphi_1(x) &= \int_{-1}^x \frac{(x-s)^{(2k+2)n-1}}{[(2k+2)n-1]!} \frac{1}{\sqrt{1-s^2}} ds \\ \varphi_2(x) &= \int_{-1}^x \frac{(x-s)^{(2k+2)n-1}}{[(2k+2)n-1]!} \frac{1}{\sqrt{1-s^2}} ds + \sum_{i=1}^{2k+1} \frac{\lambda_i^{(1)} (x-x_i)^{(2k+2)n-i}}{[(2k+2)n-i]!} \\ \vdots &\vdots \\ \varphi_{n+1}(x) &= \int_{-1}^x \frac{(x-s)^{(2k+2)n-1}}{[(2k+2)n-1]!} \frac{1}{\sqrt{1-s^2}} ds + \sum_{i=1}^{2k+1} \lambda_i^{(1)} \frac{(x-x_i)^{(2k+2)n-i}}{[(2k+2)n-i]!} + \\ &\quad + \dots + \sum_{i=1}^{2k+1} \lambda_i^{(n)} \frac{(x-x_n)^{(2k+2)n-i}}{[(2k+2)n-i]!} \end{aligned} \quad (9)$$

Taking into account the remaining conditions from the point  $x = 1$  we are lead to the system of equations

$$\begin{aligned} \lambda_1^{(1)} + &\quad \lambda_1^{(2)} + \dots + \lambda_1^{(n)} = \\ &= - \int_{-1}^1 \frac{ds}{\sqrt{1-s^2}} \\ \lambda_1^{(1)}(1-x_1) + \lambda_2^{(1)} + &\quad \lambda_1^{(2)}(1-x_2) + \lambda_2^{(2)} + \dots + \lambda_1^{(n)}(1-x_n) + \lambda_2^{(n)} = \\ &= - \int_{-1}^1 \frac{1-s}{1!} \frac{ds}{\sqrt{1-s^2}} \\ \lambda_1^{(1)} \frac{(1-x_1)^2}{2!} + \lambda_2^{(1)} \frac{1-x_1}{1!} + \lambda_3^{(1)} + \lambda_1^{(2)} \frac{(1-x_2)^2}{2!} + \lambda_2^{(2)} \frac{1-x_2}{1!} + \lambda_3^{(2)} + & \\ &+ \dots + \lambda_1^{(n)} \frac{(1-x_n)^2}{2!} + \lambda_2^{(n)} \frac{(1-x_n)}{1!} + \lambda_3^{(n)} = - \int_{-1}^1 \frac{(1-s)^2}{2!} \frac{ds}{\sqrt{1-s^2}} \\ \vdots &\vdots \\ \sum_{i=1}^{2k+1} \lambda_i^{(1)} \frac{(1-x_1)^{(2k+2)n-i}}{[(2k+2)n-i]!} + \sum_{i=1}^{2k+1} \lambda_i^{(2)} \frac{(1-x_2)^{(2k+2)n-i}}{[(2k+2)n-i]!} + \dots + \sum_{i=1}^{2k+1} \lambda_i^{(n)} \frac{(x-x_n)^{(2k+2)n-i}}{[(2k+2)n-i]!} = & \\ &= - \int_{-1}^1 \frac{(x-s)^{(2k+2)n-i}}{[(2k+2)n-1]!} \frac{1}{\sqrt{1-s^2}} ds. \end{aligned} \quad (10)$$

The solution of this system fully determines the formula (4) with its remainder (5). It is readily seen that this system is equivalent to the system which one might obtain by writing down that (4) is exact for  $1, x, \dots, x^{(2k+2)n-1}$ .

**3.** In general, the algebraic system (10) is difficult to be solved, so the following remark may be useful.

Let

$$\omega(x) = (x - x_1) \dots (x - x_n) \quad (11)$$

be where  $x_1, \dots, x_n$  are the nodes of formula (4), for the indetermined moment and write that this formula is true for:

$$x^h \omega^i(x), \quad h = 0, 1, \dots, n-1; \quad i = 0, 1, \dots, 2k+1$$

We obtain:

$$\int_{-1}^1 \frac{1}{\sqrt{1-x^2}} \omega^{2k+1}(x) x^h dx = 0 \quad h = 0, 1, \dots, n-1 \quad (12)$$

This is an algebraic system having  $x_1, x_2, \dots, x_n$  as unknowns.

Recall the following result due to D. Jackson [3]:  
Consider the functional

$$\int_{-1}^1 \frac{1}{\sqrt{1-x^2}} \omega^{2k-2}(x) dx, \quad k \geq 0, \quad (13)$$

where  $\omega(x) = x^n + c_1 x^{n-1} + \dots + c_n$ , then the conditions of the form (12) are necessary and sufficient for the existence of the minimum of functional (13).

S. N. Bernstein [a] has proved that the minimizing polynomial for (13) on the class of polynomials of degree  $n$  is Chebycheff's polynomial:

$$T_n(x) = \cos n \arccos x. \quad (14)$$

Thus the roots of the Chebycheff polynomial,  $x_i = \cos \frac{2i-1}{2n}$ , are the solutions of the system (12), that is the nodes of the quadrature formula (4).

The coefficients  $A_i^{(k)}$  may be determined by substituting in (4)  $f(x)$ , successively by  $x^h \omega^i(x)$ ,  $h=0, 1, \dots, n-1$ ;  $i=0, \dots, 2k$ . We notice that the coefficient may be found as in [4].

**4.** In the sequel we shall discuss the function  $\varphi(x)$ . It is easy to see that the function

$$\varphi_1(x) := \int_{-1}^x \frac{x-s}{[(2k+2)n-1]!} \frac{1}{\sqrt{1-s^2}} ds; \quad x \in (-1, x_1]$$

is positive together with its derivative, in the interval  $(-1, 1)$ . On the other hand the function

$$\varphi_{n+1}(x) := \int_{-1}^x \frac{(x-s)^{(2k+2)n-1}}{[(2k+2)n-1]!} \frac{1}{\sqrt{1-s^2}} ds; \quad x \in [x_n, 1)$$

is decreasing and positive on  $(x_n, 1)$ .

*Lemma* In the interval  $(x_1, x_n)$  the function  $\varphi(x)$  has a single extremum.

Indeed, by the previous result, one can see that the number of the extrema of  $\varphi(x)$  must be odd. Assume it has 3 extrema, e. g. the derivative  $\varphi'(x)$  vanishes in 3 points. Let us show that this is impossible. Applying Rolle's theorem and by conditions (3) in  $x = -1, x = 1$ , this would mean that  $\varphi^{[(2k+2)n-i(2k+2)]}(x)$  vanishes in the  $(2k+2)n-2k$  points  $\xi_1, \xi_2, \dots, \xi_{(2k+2)n-2k}$  ( $x_1, x_n$ ). In an interval  $(x_k, x_{k+1})$  there can not exist  $2k+3$  points, since  $\varphi_k^{[(2k+2)n]}(x)$  would vanish in a point from  $(x_k, x_{k+1})$ . This is impossible because of (2).

Therefore, in each interval  $(x_k, x_{k+1})$  there exist at most  $2k+2$  points in which  $\varphi^{[(2k+2)n-(2k+2)]}(x)$  is zero. But there are  $n-1$  intervals so, 2 points  $\xi_i$  do not belong to any interval. This is a contradiction, consequently our assumption is false. This completes the proof.

From the above it immediately follows that  $\varphi(x)$  is positive.

5. The positivness of function  $\varphi(x)$  on  $(-1,1)$  makes it possible to estimate the remainder given by (8). We have

$$R = f^{[(2k+2)n]}(\xi) \int_{-1}^1 \varphi(x) dx; \quad \xi \in (-1,1)$$

To calculate the integral in the right-hand side we replace in (1)

$$f(x) = \frac{1}{[(2k+2)n]!} \cdot \frac{1}{2^{(n-1)(2k+2)}} T_n^{2k+2}(x)$$

and obtain

$$\int_{-1}^1 \varphi(x) dx = \frac{1}{[2(k+1)n]!} \cdot \frac{(2k+1)!!}{(2k+2)!!} \frac{\pi}{2^{(n-1)(2k+2)}}$$

that is

$$|R| \leq M_{(2k+2)n} \cdot \frac{1}{[(2k+2)n]!} \frac{(2k+1)!!}{(2k+2)!!} \frac{\pi}{2^{(n-1)(2k+2)}} \quad (15)$$

where

$$M_{(2k+2)n} = \sup_{(-1,1)} |f^{[(2k+2)n]}(x)|.$$

Thus we have determined the remainder of (4) by (8) and we estimated it by formula (15).

(Received November 24th, 1966)

#### B I B L I O G R A F I E

1. D. V. Ionescu, *Cuadraturi numerice*, Editura Tehnică, 1957.
2. D. V. Ionescu, *Restul în formula de cuadratură a lui Gauss și P. Turán* (sub tipar).
3. D. Jackson, *On Functions of Closest Approximation* Transactions of the American Mathematical Society, 1921, 22, pp. 117–128.

4. O. Kiss, *Zamecianie o mehaniceskoi kvadrature.*, „Acta Math. Acad. Sci. Hungaricae”, 1957, pp 473–476.
5. P. Turan, *On the Theory of the Mathematical Quadrature.*, „Acta Scient. Mathem.”, **12**, 30–37 (1950).
6. T. Popoviciu, *Asupra unei generalizări a formulei de integrare numerică a lui Gauss.*, „Studi și cercet. științifice, Iași,” 1–2, 29–57 (1955).
7. D. Stancu, *O metodă pentru construirea de formule de cuadratură de grad înalt de exactitate*, „Comunicările Acad. R.P.R.”, **8**, nr. 4, 1958.
8. S. Bernstein, *Asupra polinoamelor ortogonale relativ la un interval finit.*, „Journal de Math.” **(9)**, 1930, pp. 127–177, 1931, pp. 219–286.
9. M. Niculescu, *Manual de analiză matematică*, vol. II, p. 60. Editura Didactică și Pedagogică București, 1964.

**ASUPRA RESTULUI UNOR FORMULE DE CUADRATURA DE  
TIP GAUSS**  
(Rezumat)

Autorul studiază restul formulei de evadratură (4) servindu-se de metoda prof. D. V. Ionescu [1] și demonstrează că acest rest poate fi pus sub formă de integrală definită (8).

Arătindu-se că funcțiunea  $\varphi(x)$  determinată de ecuațiile diferențiale (5) și condițiile la limită (6) este pozitivă în intervalul  $(-1, 1)$  se obține evaluarea (15) a restului formulei de cuadratură (4).

**ОБ ОСТАТКЕ НЕКОТОРЫХ ФОРМУЛ КВАДРАТУРЫ ТИПА ГАУССА**  
(Резюме)

Автор изучает остаток формулы квадратуры (4), используя метод проф. Д. В. Ионеску [1]. и показывает, что этот остаток можно поставить в виде определенного интеграла (8).

Доказывая, что функция  $\varphi(x)$ , определяемая дифференциальными уравнениями (5) и граничными условиями (6), является положительной в интервале  $(-1, 1)$ , автор получает исчисление (15) остатка формулы квадратуры (4).

ASUPRA PERIOADELOR BINARELOR FOTOMETRICE  
*AB CASSIOPEIAE, CC HERCULIS ȘI ET ORIONIS*

de

IOAN TODORAN

Binarele fotometrice *AB Cas*, *CC Her* și *ET Ori* fac parte din programul de observații al Observatorului din Cluj pentru determinarea momentelor minimelor și urmărirea modului de variație al perioadelor lor. Din prelucrarea datelor observaționale ale acestor stele se constată că pentru *AB Cas* există o creștere uniformă a perioadei, la *CC Her* se pune în evidență o descreștere considerabilă a perioadei iar la *ET Ori* dispersia observațiilor este mai mare decât anumite presupuse oscilații ale perioadei sale.

**AB Cassiopeiae.** Variația perioadei stelei *AB Cas* a fost examinată de subsemnatul [17] în anul 1959, cînd, avînd la bază elementele liniare din *Catalogul general de stele variabile* [4],

$$\text{Min. hel.} = \text{J. D. } 2425486,4256 + 1^d 366863.E \quad (1)$$

am determinat elementele parabolice

$$\text{Min. hel.} = \text{J. D. } 2425486,4254 + 1^d 3668562.E + 1^d 262.10^{-9}.E^2 \quad (2)$$

Aceste elemente erau obținute pe baza a 26 minime proprii și 15 minime observate de alți autori, iar în prezent dispunem de 110 minime observate dintre care 60 sunt proprii și 50 au fost publicate de alți observatori.

Minimile individuale sunt date în tabelul 1 iar gruparea lor în minime normale se găsește în tabelul 2. Diferențele  $O-C_1$  sunt raportate la elementele lineare (1) iar diferențele  $O-C_2$  sunt calculate cu elementele parabolice (2).

Reprezentarea grafică a diferențelor  $O-C_1$  în funcție de numărul de perioade ( $E$ ) se găsește în fig. 1, de unde se constată că prin punctele obținute se poate duce un arc de parabolă, fapt care este justificat și de diferențele  $O-C_2$  din coloanele respective ale tabelelor 1 și 2. De asemenea, se poate constata că deoarece nu dispunem de minime observate în jurul vîrfului „parabolei” respective, punctele graficului ar putea fi împărțite în două categorii, fiecare dintre acestea putînd fi reprezentate prin elemente liniare corespunzătoare.

Dacă admitem elemente lineare pentru cele două categorii de observații, atunci în jurul anului 1940 ( $E \approx 3000$ ) perioada trebuie să fi suferit o variație bruscă — un salt, — iar dacă se admit elementele parabolice, atunci înseamnă că perioada este

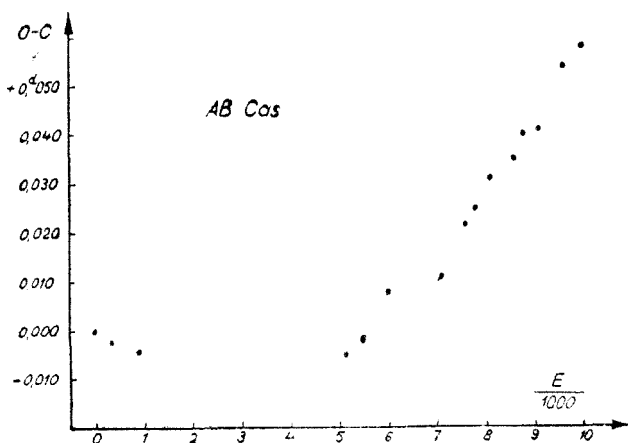


Fig. 1.

marea noilor observații, am luat în considerare minimele situate pe ramura ascendentă a diagramei din fig. 1 ( $+5000 < E < +10000$ ) și am determinat elementele lineare

$$\text{Min hel.} = \text{J. D. } 2425486,350 + 1,3668761 \cdot E \quad (3)$$

cu ajutorul cărora sînt calculate diferențele  $O - C_3$  din tabelele 1 și 2.

Tabel 1

Min. hel. 24 . . .	n	E	$O - C_1$	$O - C_2$	$O - C_3$	Observatori și surse
25486,425	17	0	-0 <sup>d</sup> 0006	-0 <sup>d</sup> 0004		Wachmann [23]
25497,361	19	8	+.0005	+.0008		"
25501,461	10	11	-.0001	0000		"
25966,192	7	351	-.0025	-.0001		"
26693,361	23	883	-.0046	+.0006	d	"
32472,4575		5111	-.0049	-.0029	+0,0038	Pagaczewski [7]
32673,392		5258	+.0007	+.0018	+.007	Szczepanowska [13]
33001,422		5498	-.0164	-.0169	-.013	
33053,382		5536	+.003	+.002	+.006	" [14]
33068,417		5547	+.002	+.002	+.005	"
33187,334		5634	+.002	+.001	+.004	"
33437,474		5817	+.006	+.003	+.006	"
33515,385		5874	+.006	+.003	+.005	"
33686,244		5999	+.007	+.003	+.004	
33858,470		6125	+.009	+.003	+.004	Pohl [2]
33858,469		6125	+.008	+.002	+.003	Domke "
33888,538		6147	+.006	.000	+.001	
33888,540		6147	+.008	+.002	+.003	Jahn [2]
33899,479		6155	+.012	+.006	+.007	Domke [2]
33899,480		6155	+.013	+.007	+.008	Pohl [2]
34603,417		6670	+.015	+.005	+.003	Szczepanowska [15]
34726,4265	9	6760	+.0070	+.0045	-.0059	Todoran [17]
34733,2565	4	6765	+.0027	-.0089	-.0103	"

Tabel 1 (continuare)

Min. hel. 24 . . .	n	E	0 - C <sub>1</sub>	0 - C <sub>2</sub>	0 - C <sub>3</sub>	Observatorii și surse
34998,4350	8	6959	+ ,0098	- ,0038	- ,0058	Todoran [17]
35032,614		6984	+ ,017	+ ,003	- ,001	Whitney [24]
35356,5600	4	7221	+ ,0167	+ ,0002	- ,0023	Todoran [17]
35423,5469	2	7270	+ ,0264	+ ,0093	+ ,0068	
35535,628		7352	+ ,026	+ ,008	+ ,005	Whitney [24]
35553,393		7365	+ ,021	+ ,003	+ ,001	Szczepanowska [16]
35732,4500	6	7496	+ ,0194	+ ,0004	+ ,0032	Todoran [17]
35743,3825	6	7504	+ ,0169	- ,0028	+ ,0058	"
35743,389		7504	+ ,023	+ ,004	+ ,001	Szczepanowska [16]
35747,4833	10	7507	+ ,0172	- ,0027	+ ,0056	Todoran [17]
35799,4307	14	7545	+ ,0238	+ ,0035	+ ,0005	"
35825,3915	8	7564	+ ,0142	+ ,0064	+ ,0093	
35859,576		7589	+ ,027	+ ,006	+ ,0033	Whitney [24]
35881,4345	9	7605	+ ,0158	+ ,0052	+ ,0082	Todoran [17]
35974,388		7673	+ ,023	+ ,001	+ ,002	Szczepanowska [16]
36064,5965	4	7739	+ ,0181	+ ,0045	+ ,0076	Todoran [17]
36079,6395	6	7750	+ ,0256	+ ,0028	+ ,0003	"
36086,4810	10	7755	+ ,0328	+ ,0099	+ ,0065	Neckel [5]
36123,3910	10	7782	+ ,0375	+ ,0013	+ ,0112	Todoran [17]
36127,4800	8	7785	+ ,0259	+ ,0027	+ ,0004	"
36131,5785	4	7788	+ ,0239	+ ,0005	+ ,0026	"
36138,4120	13	7793	+ ,0230	- ,0004	+ ,0034	"
36149,3430	10	7801	+ ,0191	- ,0044	+ ,0075	"
36164,3807	14	7812	+ ,0213	- ,0027	+ ,0054	"
36220,4155	4	7853	+ ,0148	- ,0094	+ ,0125	"
36231,3635	6	7861	+ ,0279	+ ,0036	+ ,0005	
36410,426		7992	+ ,021	+ ,005	+ ,002	Rudolph [1]
36410,431		7992	+ ,036	+ ,010	+ ,007	Dörr [1]
36451,431		8022	+ ,030	+ ,004	+ ,001	Ganser [1]
36477,4005	11	8041	+ ,0295	+ ,0028	+ ,0002	Todoran [17]
36488,3300	13	8049	+ ,0241	- ,0028	+ ,0057	"
36507,470	10	8063	+ ,0280	+ ,0011	+ ,0020	"
36540,2675	7	8087	+ ,0208	- ,0065	+ ,0095	
36540,2740	8	8087	+ ,0273	,0000	+ ,0030	Todoran [17]
36712,503		8213	+ ,032	+ ,002	,0000	Rudolph [1]
36712,512		8213	+ ,041	+ ,011	+ ,009	Grauenhorst [1]
36868,332	11	8327	+ ,033	+ ,007	+ ,005	Todoran [18]
37133,502	10	8521	+ ,037	+ ,003	+ ,001	Todoran [19]
37148,536	11	8532	+ ,035	+ ,002	+ ,001	"
37163,572	4	8543	+ ,036	+ ,002	+ ,001	"
37174,508	16	8551	+ ,037	+ ,003	+ ,000	"
37185,440	10	8559	+ ,034	,000	+ ,003	"
37196,375	15	8567	+ ,034	,000	+ ,003	"
37211,413	4	8578	+ ,037	+ ,002	+ ,000	"
37226,448	9	8589	+ ,036	+ ,002	+ ,001	"
37319,393		8657	+ ,037	- ,003	+ ,003	Pohl [8]
37319,393		8657	+ ,037	- ,001	+ ,003	Gerhart [8]
37509,396	11	8796	+ ,043	+ ,006	+ ,004	Todoran [19]
37524,427	9	8807	+ ,039	+ ,001	+ ,001	"
37528,526	4	8810	+ ,037	- ,001	+ ,002	"
37539,457	11	8818	+ ,033	- ,005	+ ,006	"
37565,435	10	8837	+ ,041	+ ,003	+ ,001	"
37565,434	8	8837	+ ,040	+ ,002	+ ,000	"
37576,368	4	8845	+ ,039	+ ,001	+ ,001	"
37580,477	25	8848	+ ,048	+ ,008	+ ,007	Popa [21]
37893,481	6	9077	+ ,040	- ,002	+ ,003	Todoran [19]

Tabelul 1 (continuare)

Min. hel. 24 ...	n	E	O - C <sub>1</sub>	O - C <sub>2</sub>	O - C <sub>3</sub>	Observatori și surse
37900,316		9082	+ ,041	- ,003	- ,003	Kizibirmak [8]
37900,313		9082	+ ,038	- ,006	- ,006	Aslan [8]
37900,306		9082	+ ,031	- ,015	- ,013	Bozkurt [8]
37908,518	6	9088	+ ,041	- ,001	- ,002	Todoran [19]
37915,354	11	9093	+ ,043	+ ,001	- ,000	"
37930,394	6	9104	+ ,048	- ,005	- ,004	"
37941,322	7	9112	+ ,041	- ,002	- ,003	"
37949,526	16	9118	+ ,044	+ ,001	,000	Todoran "
38045,2031	6	9188	+ ,040	- ,0036	- ,0045	Todoran
38247,5008	13	9336	+ ,042	- ,0041	- ,0045	"
38269,390	25	9352	+ ,062	+ ,012	+ ,015	Popa [21]
38288,51		9366	+ ,046	- ,001	- ,000	Kordylewski [3]
38310,395	12	9382	+ ,061	+ ,014	- ,013	Popa [21]
38753,2468	24	9706	+ ,049	+ ,0036	- ,0026	Todoran
38776,4840	8	9723	+ ,049	- ,0036	- ,0023	"
38981,5164	13	9873	+ ,052	- ,0033	- ,0013	"
38981,527	30	9873	+ ,063	+ ,007	+ ,009	Popa [21]
38988,3552	11	9878	+ ,057	+ ,0012	+ ,0031	Todoran
39014,3260	9	9897	+ ,057	+ ,0044	+ ,0032	"
39092,5330	10	9903	+ ,063	+ ,0069	+ ,0090	"
39022,534	24	9903	+ ,064	+ ,008	+ ,010	Popa [21]
39022,5225	8	9903	+ ,053	+ ,0036	- ,0015	Todoran
39033,4555	4	9911	+ ,051	- ,0057	- ,0035	"
39067,633		9936	+ ,057	+ ,001	+ ,0021	Baldwin [9]
39074,4600	7	9941	+ ,049	- ,0076	- ,0053	Todoran
39086,773		9950	+ ,061	+ ,003	+ ,0058	Baldwin [9a]
39093,608		9955	+ ,061	+ ,004	+ ,0064	"
39148,2850	6	9995	+ ,064	+ ,006	+ ,0084	Todoran
39183,819		10021	+ ,049	+ ,001	+ ,004	Monske [10]
39186,550		10023	+ ,057	- ,002	+ ,001	"
39201,593		10034	+ 0,064	+ 0,005	+ 0,008	"

Tabel 2

Min. hel. 24	e.m. ± 0 <sup>d</sup> 0001	n	E	O - C <sub>1</sub>	O - C <sub>2</sub>	O - C <sub>3</sub>
25497,3602	7	3	+ 8	- 0 <sup>d</sup> 0003	0 <sup>d</sup> 0000	
25966,1920	-	1	+ 351	- ,0025	- ,0001	
26693,3610	-	1	+ 883	- ,0046	- ,0006	
32472,4575		7	+ 5111	- ,0049	- ,0029	+ 0 <sup>d</sup> 0038
32997,3361	37	5	+ 5495	- ,0017	- ,0022	+ ,0019
33768,2567	8	9	+ 6059	+ ,0082	- ,0033	- ,0044
35169,2945	29	10	+ 7084	+ ,0114	- ,0035	- ,0058
35885,5408	18	11	+ 7608	+ ,0215	- ,0004	- ,0026
36187,6210	22	9	+ 7829	- ,0250	+ ,0010	- ,0020
36570,3484	22	10	+ 8109	+ ,0307	+ ,0031	- ,0001
37207,3112	4	10	+ 8575	+ ,0354	+ ,0011	- ,0014
37547,6650	18	8	+ 8824	+ ,0403	- ,0022	+ ,0003
37927,6532	14	10	+ 9102	+ ,0406	- ,0019	- ,0031
38660,3050	23	10	+ 9638	+ ,0536	+ ,0023	+ ,0031
39096,3384	14	12	+ 9957	+ 0,0579	+ ,0007	+ 0,0031

**CC Herculis.** Variația perioadei stelei *CC Her* a fost pusă în evidență de către V. P. Tse sevich [22] care a arătat că pentru reprezentarea observațiilor sunt necesare două perechi de elemente liniare, iar subsemnatul a arătat [20] că pentru observațiile cuprinse între anii 1954–1959 erau necesare alte elemente liniare.

Fluctuațiile rapide observate ale perioadei stelei *CC Her* au pus în evidență necesitatea examinării stadiului actual al variației perioadei. În acest scop am plecat de la tabelul de minime publicat anterior [20] pe care l-am completat cu încă 21 minime observate dintre care 19 sunt proprii iar 2 au fost observate de către alți observatori. În tabelul 3 sunt date minimele observate între anii 1954–1966, iar gruparea lor în minime normale este dată în tabelul 4.

Diferențele  $O - C_1$  sunt raportate la elementele liniare date de V. P. Tse sevich [22]

$$\text{Min. hel} = \text{J. D. } 2426120,415 + 1^d 7340314.E \quad (4)$$

iar reprezentare grafică a acestora, cît și a celor din tabelele publicate anterior [20], este dată în fig. 2.



Fig. 2.

Aspectul actual al diagramei  $O - C$  din fig. 2 arată că în ultimii ani perioada stelei *CC Her* suferă o descreștere considerabilă. De aceea, pentru programarea noilor observații este nevoie de o nouă serie de elemente liniare. În acest scop, din tabelul 4 am obținut

$$\text{Min. hel} = \text{J. D. } 2426120,718 + 1^d 733986.E \quad (5)$$

cu ajutorul cărora am calculat diferențele  $O - C_2$  din tabelele 3 și 4.

Tabel 3

Min. hel. 243. . .	n	E	O-C <sub>1</sub>	O-C <sub>2</sub>	Observatori și surse
6023,511	5	5711	+ 0 <sup>d</sup> 043	- 0 <sup>d</sup> 001	Szczepanowska [16]
6056,4475	4	5730	+ ,0326	- ,0103	Todoran [20]
6335,6275	9	5891	+ ,0335	- ,0020	"
6337,3530	14	5892	+ ,0250	- ,0105	"
6349,5035	10	5899	+ ,0378	- ,0021	"
6349,501	10	5899	+ ,0348	,000	Szczepanowska [16]
6375,5065	7	5914	+ ,0298	- ,0047	Todoran [20]
6389,3845	8	5922	+ ,0355	+ ,0014	"
6401,5170	17	5929	+ ,0298	- ,0040	
6727,523	12	6117	+ ,038	+ ,013	Szafraniec [12]
6753,5260	10	6132	+ ,0305	+ ,0058	Todoran [20]
6760,4617	15	6136	+ ,0300	+ ,0056	"
6807,2810	8	6163	+ ,0305	+ ,0073	"
6819,4140	11	6170	+ ,0253	+ ,0024	"
6833,2917	20	6178	+ ,0307	+ ,0082	
7464,449	5	6542	+ ,001	- ,005	Todoran [19]
7483,524	6	6553	+ ,001	- ,004	"
7523,410	8	6576	+ ,005	,000	"
7556,353	7	6595	+ ,001	- ,003	"
7790,445	8	6730	- ,001	+ ,001	"
7835,526	9	6756	- ,005	- ,001	"
7882,349	5	6783	- ,001	+ ,004	
8135,505	6	6929	- ,014	- ,002	Todoran
8194,464	5	6963	- ,012	+ ,001	"
8267,294	9	7005	- ,011	+ ,004	"
8506,577	6	7143	- ,024	- ,003	
8546,461	32	7166	- ,023	- ,001	Oburka [6]
8586,343	11	7189	- ,024	,000	Todoran
8638,365	8	7219	- ,023	+ ,002	"
8938,353	8	7392	- ,022	+ ,010	"
9030,250	9	7445	- ,029	+ ,006	
9316,351	4	7610	- ,043	,000	"
9382,235	6	7648	- ,052	- ,008	"
9401,310	6	7659	- ,051	- ,007	"
9408,248	14	7663	- 0,050	- 0,005	"

Tabel 4

Min. hel. 243. . .	e.m 0 <sup>d</sup> 0001	n	E	O-C <sub>1</sub>	O-C <sub>2</sub>
6040,8462	1	2	5721	+ 0 <sup>d</sup> 0376	- 0 <sup>d</sup> 0057
6363,3708	16	7	5907	+ ,0323	- ,0025
6781,2708	16	6	6148	+ ,0308	+ ,0069
7504,3330	9	4	6565	+ ,0019	- ,0031
7835,5286	13	3	6756	- ,0025	+ ,0012
8199,6657	8	3	6966	- ,0120	+ ,0012
8567,2690	4	4	7178	- ,0234	- ,0005
8983,4345	47	2	7418	- ,0254	+ ,0084
9375,3019	21	4	7644	- 0,0491	- 0,0051

**ET Orionis.** În anul 1958, V. P. Tsesevich [22] publică tabelul minimelor observate ale stelei *ET Ori* și ajunge la concluzia că perioada acestei stele are variații neregulate. El consideră că observațiile respective sunt reprezentate prin elementele lineare

$$\text{Min. hel} = \text{J. D. } 2426684,283 + 0^{\circ}9509356.E \quad (6)$$

Pentru examinarea stadiului actual al variației perioadei acestei stele, am pornit de la tabelul minimelor publicat de V. P. Tsesevitch [22] pe care l-am completat cu 15 minime proprii care sunt date în tabelul 5 și încă două minime observate de Szafraniec [11]. În tabelul 6 sunt date minimele normale

Tabel 5

Min. hel. 243...	n	O - C <sub>1</sub>	E
5424,3249	3	- 0 <sup>d</sup> ,0072	9191
5730,5426	3	+ ,0092	9513
6119,4759	7	+ ,0099	9922
6120,4268	10	+ ,0098	9923
6139,4306	4	- ,0051	9943
6549,2800	7	- ,0089	10374
6587,3258	10	- ,0005	10414
6588,2871	6	+ ,0098	10415
6603,4957	3	+ ,0035	10431
6604,4455	8	+ ,0023	10432
7940,5083	13	+ ,0006	11837
7961,4377	12	+ ,0094	11859
8100,2733	5	+ ,0084	12005
8777,3389	17	+ ,0079	12717
8816,3291	10	+ 0,0097	12758

Tabel 6

Min. hel. 24...	n	E	O - C <sub>1</sub>	O - C <sub>2</sub>
26656,708	10	- 29	+ 0,002	- ,002
27477,358	5	+ 834	- ,005	- ,006
28213,390	6	+ 1608	+ ,003	+ ,002
28523,396	7	+ 1934	+ ,004	+ ,002
29501,903		+ 2963	- ,002	- ,004
30397,686	1	+ 3905	- ,001	- ,003
30725,760	1	+ 4250	+ ,001	- ,002
31453,266	2	+ 5015	+ ,001	- ,002
31830,748	1	+ 5412	- ,002	- ,002
32473,588	1	+ 6088	- ,009	+ ,005
32614,323	1	+ 6236	- ,006	+ ,002
32862,522	1	+ 6497	+ ,010	+ ,007
33682,233	1	+ 7359	+ ,015	+ ,011
34500,028	3	+ 8219	+ ,005	,000
35054,424	2	+ 8802	- ,006	+ ,001
35416,7186	3	+ 9183	- ,0060	- ,0115
35795,2065	3	+ 9581	+ ,0095	+ ,0038
36126,1274	3	+ 9929	+ ,0048	- ,0011
36586,3766	5	+ 10413	+ ,0012	- ,0051
38000,4228	3	+ 11900	+ ,0062	- ,0010
38791,6039	2	+ 12732	+ 0,0088	+ 0,0012

care completează tabloul primelor 15 minime normale din lucrarea lui V. P. Tsevitch [22]

Reprezentarea grafică a diferențelor  $O-C_1$  în funcție de numărul de perioade  $E$  este dată în fig. 3, de unde se vede că elementele (6) pot fi corectate. În acest scop, din tabelul 6 am obținut corecțiile

$$T = +0^d0002 \pm 0^d0020, \quad P = +0^d00000057 \pm 0^d00000028$$

pe care aplicîndu-le la elementele (6), rezultă noile elemente

$$\text{Min. hel.} = J. D. 2426684,283 + \frac{0,9509362 E}{1000} \quad (7)$$

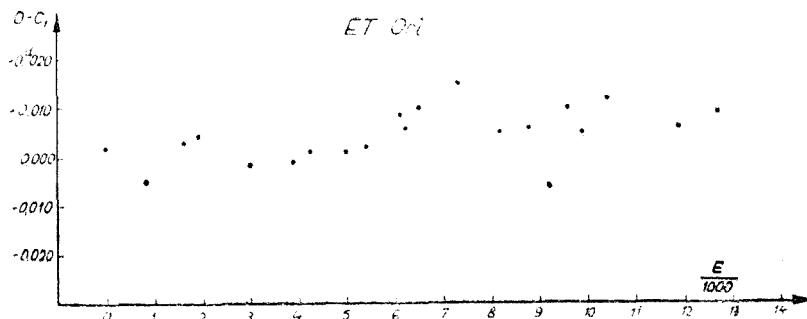


Fig. 3

Cu ajutorul acestor ultime elemente au fost calculate diferențele  $O-C_2$  din tabelul 6.

Din analiza diagramei  $O-C$  rezultă concluzia că, în prezent, eventualele oscilații ale perioadei stelei *ET Ori* sunt mai mici decît dispersia punctelor din graficul respectiv.

(Intrat în redacție la 5 aprilie 1967)

#### B I B L I O G R A F I E

1. Braune W., Quester W., A. N. **286**, 209, 1962.
2. Domke K., Pohl E., A. N. **281**, 113, 1963.
3. Kordylewski K., B. V. S., **35**, 1963.
4. Kukarkin B. V., Parenago P., P., Efremov I. I., Holopov P. N., *Obščii katalog peremîh zvezd*,
5. Neckel Th., Nachrichtenblatt der Astr. Zentralstelle, **XI**, 9, 30, 1957.
6. Oburka O., B. A. C., **16**, 213, 1964.
7. Pagaczewski J., A.A. c.l., 150, 1930.
8. Pohl E., Kizilirmak A., A.N., **288**, 70, 1964.
9. Robinson L., B.V.S., 119, 1966.
- 9a. Robinson L., B.V.S., 129, 1966.
10. Robinson L., B.V.S., 154, 1966.
11. Szafraniec R., A.A., **8**, 190, 1958.
12. Szafraniec R., A.A., **10**, 69, 1960
13. Szczepanowska A., A.A., **4**, 113, 1954.
14. Szczepanowska A., A.A., **5**, 74, 1955.
15. Szczepanowska A., A.A., **6**, 144, 1965.
16. Szczepanowska A., A.A., **9**, 47, 1959.

17. Todoran I., Studii și cercet. de astr. și seism., **IV**, 369, 1959.
18. Todoran I., Studii și cercet. de astr. și seism., **V**, 329, 1960.
19. Todoran I., Studii și cercet. de astr., **VII**, 243, 1963.
20. Todoran I., Studia Univ. Babes-Bolyai. Series Math.-Phys., Fascic. 2, 63, 1962.
21. Todoran I., Popa L., B.V.S., 187, 1967.
22. Tsesevich P. V., Peremennye zvezdi, **II**, 411, 1958.
23. Wachmann A., A. N. **246**, 295, 1932.
24. Whitney B. S., A.J. **62**, 371, 1957.

О ПЕРИОДАХ ФОТОМЕТРИЧЕСКИХ ДВОЙНЫХ ЗВЁЗД *AB Cassiopeiae*  
*CC Herculis* и *ET Orionis*

(Резюме)

Даны новые минимумы и рассматривается современное состояние вариации периодов звёзд *AB Cas*, *CC Her* и *ET Ori*.

Для *AB Cas* даны 12 новых минимумов. Из анализа диаграммы О-С полученной из 10 минимумов, наблюденных различными авторами в 1928-1966 гг., автор статьи приходит к выводу, что соответствующие наблюдения можно представить как параболическими элементами, так и двумя сериями линейных элементов. Для наблюдений, произведённых в 1940-1966 гг., даны элементы

$$\text{Min. hel.} = J. D. 2425486,350 + 1,3668761 \cdot E$$

Для звезды *CC Her* даны 12 новых минимумов и выявлено быстрое убывание периода. Для наблюдений, произведённых в 1954-1966 гг., были установлены элементы

$$\text{Min. hel} = J. D. 2426120,718 + 1,733986 \cdot E$$

В случае звезды *ET Ori* даны 15 новых минимумов и устанавливается, что возможные колебания вариации периода меньше, чем дисперсия точек диаграммы О-С. Из всех имеющихся наблюдений были установлены элементы

$$\text{Min. Hel.} = J. D. 2426684,283 - 0,9509362 \cdot E$$

SUR LES PÉRIODES DES BINAIRES PHOTOMÉTRIQUES *AB CASSIOPEIAE*, *CC HERCULIS*  
*ET ET ORIONIS*

(Résumé)

L'auteur donne de nouveaux minima observés et examine le stade actuel de la variation des périodes pour les étoiles *AB Cas*, *CC Her* et *ET Ori*.

On donne pour *AB Cas* 12 nouveaux minima et, par l'analyse du diagramme O-C de 110 minima observés par différents auteurs entre les années 1928 et 1966, on arrive à la conclusion que les observations respectives peuvent être représentées non seulement par de éléments paraboliques mais aussi par deux séries d'éléments linéaires. Pour les observations d'entre les années 1940 et 1966 on donne les éléments

$$\text{Min. hel.} = J.D.2425486,350 + 1,3668761 \cdot E$$

Pour l'étoile *CC Her* on donne 12 nouveaux minima et l'on met en évidence une décroissance rapide de la période. Pour les observations d'entre les années 1954 et 1966, on a établi les éléments

$$\text{Min.hel} = J.D.2426120,718 + 1,733986 \cdot E$$

Pour le cas de l'étoile *ET Ori* on donne 15 nouveaux minima et l'on constate que les oscillations éventuelles de la variation de la période sont plus faibles que la dispersion des points du diagramme O-C. Toutes les observations existantes ont permis d'établir les éléments

$$\text{Min.hel.} = J.D.2426684,283 + 0,9509362 \cdot E$$



# APLICAREA PROBLEMEI LUI MAYER-BOLZA LA OPTIMIZAREA MIȘCĂRII RACHETEI

de

**PETRE BRĂDEANU**

**I.** Fie  $Ox_1x_2$  planul vertical al Pământului în care se mișcă o rachetă, asimilabilă din punctul de vedere al comportării mecanice, cu un punct de masă variabilă. Vitezele, masa și poziția rachetei la momentul  $t$  se notează astfel:

$$\dot{x}_1 = q_1, \quad \dot{x}_2 = q_2, \quad m = q_3, \quad x_1 = q_4, \quad x_2 = q_5$$

Pentru tracțiune considerăm următoarea formulă și condiție

$$\vec{P} = -u_3 w_e (\vec{u}_1 \hat{i} + \vec{u}_2 \hat{j}) \quad (1)$$

$$0 \leq -\dot{m} = u_3 \leq U_3 \equiv u_{3 \max}$$

unde  $\dot{m} < 0$  este debitul gazelor expulzate,  $u_1$  și  $u_2$  sunt cosinușii directori ai tracțiunii relativ la axele  $Ox_1$  și  $Ox_2$  iar  $w_e = \text{const.} > 0$  este viteza de expulzare a gazelor.

Ecuatiile mișcării rachetei vor fi de forma

$$g_i \equiv \dot{q}_i + F(q_1, q_2, q_3, q_4, q_5, t) - \frac{u_3}{q_3} w_e u_i = 0, \quad i = 1, 2 \quad (2)$$

$$g_3 \equiv \dot{q}_3 + u_3 = 0, \quad g_4 \equiv \dot{q}_4 - q_1 = 0, \quad g_5 \equiv \dot{q}_5 - q_2 = 0, \quad t_0 \leq t \leq T$$

la care adăugăm condițiile

$$h_1 \equiv u_1^2 + u_2^2 - 1 = 0, \quad h_2 \equiv (U_3 - u_3)u_3 - u_4^2 = 0 \quad (3)$$

și de asemenea condiții la momentele arbitrale  $t_0$  și  $T$

$$F_k^* = F_k^*[q_1(t_0), \dots, q_5(t_0), t_0, q_1(T), \dots, q_5(T), T] = 0, \quad k = 1, 2, \dots, r < 12 \quad (4)$$

A doua formulă (3) rezultă din (1) și conține un nou parametru necunoscut  $u_4$ . În ecuațiile (2)–(3) se găsesc nouă funcții necunoscute. Dintre acestea  $u_1$  și  $u_2$  vor juca rolul variabilelor independente de reglare care reprezintă, din punct de vedere mecanic, regimul de dirijare a direcției tracțiunii rachetei și respectiv regimul de funcționare a motorului rachetă. Determinarea variabilelor de reglare  $u_1$  și  $u_2$ , ca parte esențială a problemei, se face cu condiții suplimentare impuse de optimizarea mișcării rachetei. Variabila  $u_3$ , după (1), ca și variabila  $u_1$  (și  $u_2$ )

au valori mărginite. Se mai admite, în plus, că variabilele  $u_1$ ,  $u_2$ , și  $u_3$  pot poseda un număr finit de discontinuități de speță I-a și că aparțin unui domeniu  $U$  deschis.

Problema fundamentală, pe care o formulăm, constă în rezolvarea ecuațiilor  $2() - (3) - (4)$  cu condiția ca funcționala ( $t_0$  și  $T$  fiind variabile)

$$G = G[q_1(t_0), \dots, q_5(t_0), t_0, q_1(T), \dots, q_5(T), T] \quad (5)$$

să admiță un extrem (maxim sau minim). Această problemă variațională este identică cu aceea relativă la funcționala

$$J = G + \sum_i^r \alpha_k F_k^* + \int_{t_0}^T \left( \sum_i^5 \lambda_i g_i - \sum_j^2 \mu_j h_j \right) dt,$$

unde  $\lambda_i(t)$ ,  $\mu_j(t)$  și  $\alpha_k$  sunt multiplicatorii nedeterminați ai lui Lagrange, și se încadrează în probleme variaționale de tip Mayer-Bolza [1].

**2.** Ecuațiile lui Euler-Lagrange vor fi

$$\dot{\lambda}_i - \left( \frac{\partial F_i}{\partial q_i} \lambda_1 + \frac{\partial F_2}{\partial q_i} \lambda_2 \right) + M_i = 0, \quad i = 1, 2, 3 \quad (6)$$

$$\lambda_1 \frac{u_3}{q_3} w_e + 2\mu_1 u_i = 0, \quad \lambda_3 - \frac{q_3}{u_3} M_3 - \mu_2 (U_3 - 2u_3) = 0, \quad 2\mu_2 u_4 = 0, \quad i = 1, 2 \quad (7)$$

unde

$$M_1 = \lambda_4, \quad M_2 = \lambda_5, \quad M_3 = -\frac{u_3}{q_3} w_e (\lambda_1 u_1 + \lambda_2 u_2), \quad M_4 = 0, \quad M_5 = 0$$

Din ultima ecuație (7) și din (3) rezultă că sînt posibile soluțiile

- a)  $\mu_2 = 0$ ,  $u_4 \neq 0$ ,  $0 < u_3 < U_3$  (tracțiune variabilă)
- b)  $\mu_2 \neq 0$ ,  $u_4 = 0$      $\left. \begin{array}{l} u_3 = U_3 \\ \text{sau} \end{array} \right\}$  (tracțiune maximă)
- c)  $\mu_2 = 0$ ,  $u_4 = 0$      $\left. \begin{array}{l} u_3 = 0 \\ m = \text{const.} \end{array} \right\}$  (tracțiune nulă,  $m = \text{const.}$ )

iar din primele două ecuații (7) avem

$$u_1 = \pm \frac{\lambda_1}{\lambda}, \quad u_2 = \pm \frac{\lambda_2}{\lambda} \quad \text{sau} \quad u_3 = 0 \quad (9)$$

$$\lambda \equiv \sqrt{\lambda_1^2 + \lambda_2^2}$$

Formulele (8) și (9) determină valorile posibile ale parametrilor  $u_1$ ,  $u_2$ , și  $u_3$  și arată că traectoria optimală este formată, în general, din arce de curbă pe care sunt realizate soluțiile de mai sus a), b) și c).

Pentru a determina riguros funcțiile  $u_1$  și  $u_3$ , care extemează funcționala  $G$ , și a vedea care din cazurile de mai sus se realizează, vor trebui încercate condiții mai puternice de extrem, ca de exemplu, condiția lui Weierstrass și condiția întărită a lui Legendre-Clebsch. În acest scop se introduce funcția

$$H_\lambda = u_3 \left[ \frac{w_e}{q_3} (\lambda_1 u_1 + \lambda_2 u_2) - \lambda_3 \right] - \lambda_1 F_1 - \lambda_2 F_2 + \lambda_4 q_1 + \lambda_5 q_2$$

Condițiile lui Weierstrass și Legendre-Clebsch trebuie, după expresia funcției  $H_\lambda^*$ , să fie verificate numai de funcție

$$H_\lambda^* = -L^* = u_3 \left[ \frac{\omega}{q_3} (\lambda_1 u_1 + \lambda_2 u_2) - \lambda_3 \right] \quad (10)$$

Se verifică ușor că aceste condiții nu pot fi folosite pentru determinarea exactă a variabilelor  $u_1$  și  $u_2$ , deoarece ele sunt verificate, cu sensul egalității, pentru ambele semne ale variabilelor  $u_1$  și  $u_2$  din (9). Condițiile lui Weierstrass și Legendre nu pot fi folosite nici pentru precizarea parametrului  $u_3$ . Se observă că funcția  $H_\lambda^*$  depinde linear de  $u_3$ , așa că ținând seamă de a treia ecuație (7), în presupunerea că  $\mu_2 \neq 0$ , la orice moment  $t$  și oricare ar fi  $u_3$ , avem

$$\delta H_\lambda^*/\delta u_3 \neq 0, \quad \partial^2 H_\lambda^*/\partial u_3^2 = 0$$

Funcția  $H_\lambda^*$  nu are extrem în intervalul deschis  $(0, U_3)$ . Această concluzie se menține și în cazul  $\mu_2 = 0$ , deoarece în acest caz  $H_\lambda^* \equiv 0$ .

Din punctul de vedere al îndeplinirii condițiilor de extrem (maximum) trebuie ca funcția  $L^*$  să aibă un maxim absolut în raport cu  $u_3$  pe intervalul închis  $[0, U_3]$  pentru orice  $t \in [t_0, T]$  (principiul maximului al lui Pontryagin). Această condiție este posibil de realizat dacă  $\mu_2 \neq 0$ , căci în caz contrar funcțiile  $L^*$  și  $H_\lambda^*$  sunt identic nule în  $[t_0, T]$ .

Se vede că funcția  $L^*$  admite un maxim, pentru orice  $t \in [t_0, T]$ , pe intervalul  $[0, U_3]$  pentru

$$u_3 = \begin{cases} U_3 & \text{dacă } \omega \equiv \lambda_3 - \frac{\omega}{q_3} (\lambda_1 u_1 + \lambda_2 u_2) > 0 \\ 0 & \text{dacă } \omega < 0 \end{cases} \quad (11)$$

Pentru a merge mai departe în studiul problemei, pentru a determina semnul funcției  $\omega$  și a calcula parametrii  $u_i$  se fac ipoteze asupra funcțiilor  $F_1$  și  $F_2$ , se precizează funcționala  $G$  și condițiile la limită. Aceasta înseamnă a restrînge clasa de probleme considerate, eventual, pînă la cazul unei probleme concrete.

3. Mișcarea rachetei în cîmp gravitațional plan constant. Avînd deci  $F_1 = 0$ ,  $F_2 = g$ , presupunem că la momentul fixat  $t = T$  combustibilul rachetei a fost complet consumat și că de la acest moment racheta se mișcă ca un corp cu masa constantă. Se cere determinarea parametrilor  $u_1$ ,  $u_2$  și  $u_3$  pe intervalul  $[0, T]$  în așa fel ca bătălia rachetei să fie maximă.

Formula bătăii se deduce din integrarea ecuațiilor mișcării pe partea pasivă și are forma

$$G[q(T)] = q_4(T) + \frac{q_1(T)}{g} \left[ q_2(T) + \sqrt{q_2^2(T) + 2gq_5(T)} \right] \quad (12)$$

Considerăm condițiile la momentul  $t = t_0 = 0$ , unde  $q_k^0$  sunt mărimi date

$$F_k^* = q_k(0) - q_k^0 = 0, \quad k = 1, 2, 3, 4, 5$$

Pentru  $t = T$  mărimele  $q_i$  pot fi date sau să se calculeze din condițiile de optimizare.

Condițiile de transversalitate și condițiile lui Weierstrass-Erdmann, în cazul acestei probleme, sunt

$$\lambda_i(T) = -\frac{\partial G}{\partial q_i(T)}, \quad i = 1, 5 \quad (13)$$

$$\lambda_i(t^* - 0) = \lambda_i(t^* + 0) \quad (13)$$

$$\sum_1^5 (\lambda_i \dot{q}_i)_{t^*-0} = \sum_1^5 (\lambda_i \dot{q}_i)_{t^*+0} \quad (13)$$

unde se presupune că variațiile  $\Delta q_i(T)$  sunt arbitrară și unde  $t = t^*$  este momentul de discontinuitate pentru parametrii  $u_i$ . Evident, se poate admite că nu există un astfel de moment sau că există mai multe. Momentul  $t = t^* = T$  este un moment de discontinuitate pentru debitul  $u_3$  și accelerarea rachetei.

În cazul acestei probleme  $\lambda_4$  și  $\lambda_5$  sunt constante și după (13) de forma

$$\lambda_4 = -\frac{\partial G}{\partial q_4(T)}, \quad \lambda_5 = -\frac{\partial G}{\partial q_5(T)}$$

asta că

$$\lambda_1 = \frac{\partial G}{\partial q_4(T)}(t - T) - \frac{\partial G}{\partial q_1(T)}, \quad \lambda_2 = \frac{\partial G}{\partial q_5(T)}(t - T) - \frac{\partial G}{\partial q_2(T)} \quad (14)$$

Deoarece derivatele parțiale ale funcției  $G$ , din (14) sunt pozitive în  $[0, T]$  înseamnă că  $\lambda_1$  și  $\lambda_2$  sunt negative în  $[0, T]$ . De aceea, în expresiile (9) vom lua semnul minus. În consecință,

$$\omega(q, \dot{q}) = \lambda_3 + \frac{\omega_e}{q_3} \sqrt{\lambda_1^2 + \lambda_2^2} \quad (15)$$

Din (6<sub>3</sub>) rezultă că  $\dot{\lambda}_3 < 0$  pe partea activă a traectoriei și  $\dot{\lambda}_3 = 0$  pe cea pasivă. Funcția  $\lambda_3(t)$  este monotonă necrescătoare în  $[0, T]$  iar după condiția (13) continuă, și în consecință s-ar putea anula cel mult odată în  $[0, T]$ . Presupunând că masa  $q_3(T)$  nu este dată, avem condiția  $\lambda_3(T) = 0$ . Din ecuația diferențială (6<sub>3</sub>) rezultă că  $\lambda_3(t)$  este o funcție pozitivă în  $[0, T]$  care se anulează pentru  $t = T$ .

Funcția  $\omega$  este continuă în  $[0, T]$ , multiplicatorii  $\lambda_1$  și  $\lambda_2$  fiind liniari, are derivata

$$\frac{d\omega}{dt} = \frac{\omega_e}{q_3} \frac{d}{dt} \sqrt{\lambda_1^2 + \lambda_2^2}$$

Ne convingem ușor că  $\dot{\omega}(t) = 0$  pentru  $t = T + a$  unde  $a > 0$ . Deci  $\omega$  nu anulează și nu-și poate schimba semnul în  $[0, T]$ . Funcția  $\omega(t)$ , după (15) deoarece  $\dot{\omega} < 0$ , este continuă, descrescătoare, pozitivă și nenulă în intervalul mișcării active.

În concluzie, regimul optim de funcționare a motorului se reduce la

$$u_3 = U_3 \quad (16)$$

Aceasta înseamnă că pentru obținerea unei bătăi maxime motorul rachetă trebuie în condițiile admise, să funcționeze continuu în intervalul  $[0, T]$  cu debit maxim

După calculele relativ simple, folosind (9) și (14), regimul de dirijare optimă ia forma

$$u_1 q_1(T) = u_2 \sqrt{q_2^2(T) + 2gq_5(T)}, \quad u_1^2 + u_2^2 = 1 \quad (18)$$

Formulele (18) au fost găsite printr-un alt procedeu în lucrarea [3] în cazul  $u_3 = \text{const.}$ ,  $W_c = \text{const.}$  În lucrarea de față se arată că  $u_3 = \text{const.} = U_3$  corespunde unei funcționări optime.

În formula (18) mărimele  $q_1$ ,  $q_2$ ,  $q_5$  se determină în urma integrării ecuațiilor mișcării pe partea activă  $[0, T]$ , unde sunt valabile formulele (17) și (18) și a aplicării integralei găsite, în acest mod, la momentul  $t = T$ . Astfel de calcule se găsesc în lucrările [3], [4], [5].

(Intrat în redacție la 31 martie 1967)

#### B I B L I O G R A F I E

1. V. A. Troitkii, PMM, 4, 1961.
2. G. Leitmann, PMM, 6, 1961.
3. D. Lawden, Ob. iskust. sputnik. zeml. (sbr.st.) Moscova, 1959.
4. P. Brădeanu, Stud. cerc. mec. apl., Acad. RPR, 3, 1963.
5. P. Brădeanu, I. Păvăloiu, Stud. cerc. mec. apl. Acad., RPR., 4, 1963.

#### ПРИМЕНЕНИЕ ПРОБЛЕМЫ МАЙЕРА-БОЛЗА К ОПТИМИЗАЦИИ ДВИЖЕНИЯ РАКЕТЫ

(Р е з ю м е)

Автор формулирует проблему оптимизации плоского движения ракеты в рамках вариационной проблемы Майера-Болза и выводит условия оптимизации функционирования ракеты и управления тягой. Результаты применяются к вычислению максимальной дальности действия ракеты в плоском гравитационном плане Земли.

#### APPLICATION DU PROBLÈME DE MAYER-BOLZA À L'OPTIMISATION DU MOUVEMENT D'UNE FUSÉE

(R é s u m é)

L'auteur formule le problème de l'optimisation du mouvement plan de la fusée dans le cadre du problème variationnel de Mayer-Bolza et déduit les conditions d'optimisation du fonctionnement de la fusée et de la direction de la traction. On applique les résultats au calcul de la distance maxima de la fusée dans le champ gravitationnel plan de la Terre.



# DESPRE POLARIZAREA PARTICULELOR CU SPINUL UNU

de  
Z. GĂBOS

Sînt cunoscute diferite încercări de a construi evadrivectorul potențial  $A_\mu$  al cîmpului vectorial din funcții de undă ale cîmpurilor spinoriale [4]. În lucrare se studiază unele consecințe ale acestui punct de vedere, referitoare la polarizarea bozonilor cu spinul unu și cu masă de repaus diferită de zero.

1°. Fie  $m_0$  masa de repaus și  $\vec{p} \left( \vec{p}, i \frac{\epsilon}{c} \right)$  evadriimpulsul cuantei cîmpului vectorial. Presupunem că pentru acest cîmp soluția de undă plană corespunzătoare impulsului  $\vec{p}$  poate fi obținută din funcția de undă a particulei (cu impulsul  $\vec{p}_1$  și cu masa de repaus  $m_{01}$ ) și a antiparticulei Dirac (cu impulsul  $\vec{p}_2$  și cu masa de repaus  $m_{02}$ ). Particula și antiparticula au viteza comună

$$\vec{v} = \frac{c^2 \vec{p}}{\epsilon},$$

unde

$$\vec{p} = \vec{p}_1 + \vec{p}_2, \quad \epsilon = \epsilon_1 + \epsilon_2.$$

În reprezentarea de elicitate pentru particula respectiv antiparticula Dirac avem

$$\psi_p = U_\lambda e^{i p_1 x}, \quad \psi_a = v_\lambda e^{-i p_2 x},$$

unde

$$U_\lambda = |\lambda> = \sum_\rho |\lambda, \rho> = \frac{N}{\sqrt{2}} \sum_{\rho, m} [1 + (-1)^{\lambda+\rho} B] D_{m\lambda}^{1/2}(\varphi, \theta, -\varphi) |m, \rho>, \quad (1)$$

$$V_{\bar{\lambda}} = |\bar{\lambda}> = \sum_\rho |\bar{\lambda}, \rho> = \frac{N}{\sqrt{2}} \sum_{\rho, m} [B + (-1)^{\bar{\lambda}-\rho}] D_{m-\bar{\lambda}}^{1/2}(\varphi, \theta, -\varphi) |m, \rho>. \quad (2)$$

Numerele  $\lambda, \rho, m$  sînt consecutiv valorile proprii ale operatorilor

$$\frac{1}{2|\vec{p}|} \left( \sum \vec{p} \right), \quad \frac{1}{2} \gamma_5, \quad \frac{1}{2} \sum_3$$

și

$$N = \sqrt{\frac{\varepsilon + m_0 c^2}{2m_0 c^2}}, \quad B = \frac{e|\vec{p}|}{\varepsilon + m_0 c^2}, \quad D_{m\lambda}^{1/2}(x, \beta, \gamma) = e^{-imx} d_{m\lambda}^{1/2}(\beta) e^{-i\lambda y}.$$

(Folosim condițiile de normare  $\bar{u}_\lambda u_\lambda = -\bar{v}_\lambda v_\lambda = 1$ .)

Pe baza ipotezei făcute, în cazul cel mai general avem

$$A_\mu(x) = A_\mu(p)e^{ipx},$$

unde

$$A_\mu(p) = if_1 \bar{v} \gamma_\mu u + \frac{i}{2} f_2 \bar{v} (\gamma_\mu \gamma_\nu - \gamma_\nu \gamma_\mu) u p_\nu. \quad (3)$$

Este evident că funcțiile astfel definite sunt soluții de undă plană ale ecuației

$$\square A_\mu - m_0^2 A_\mu = 0$$

și totodată satisfac condiția

$$\frac{\partial A_\mu}{\partial x_\mu} = 0.$$

Să notăm cu  $\lambda$  elicitarea particulei și cu  $\bar{\lambda}$  elicitarea antiparticulei. Pentru fiecare pereche de numere  $(\lambda, \bar{\lambda})$  expresia (3) ne furnizează un cvadrivector potențial. Utilizând (1), (2), (3), în urma unor calcule simple obținem următoarele rezultate.

Considerind cazul  $\lambda = \bar{\lambda} = \frac{1}{2}$  ajungem la cvadrivectorul corespunzător elicității rezultante  $\lambda = 1$ :

$$A_\mu^{(1)} = \sqrt{2} (f_1 + im_0 c f_2) e_\mu^{(1)}$$

Vectorul  $e_\mu^{(1)}$  are componentele

$$\frac{1}{\sqrt{2}} e^{i\varphi} (-\cos \Theta \cos \varphi + i \sin \varphi, -\cos \Theta \sin \varphi - i \cos \varphi, \sin \Theta, 0). \quad (4)$$

Cvadrivectorul corespunzător elicității rezultante  $\lambda = -1$  se obține punind  $\lambda = \bar{\lambda} = -\frac{1}{2}$ . Găsim

$$A_\mu^{(-1)} = \sqrt{2} (f_1 + im_0 c f_2) e_\mu^{(-1)}.$$

Vectorul  $e_\mu^{(-1)}$  are componentele

$$\frac{1}{\sqrt{2}} e^{-i\varphi} (\cos \Theta \cos \varphi + i \sin \varphi, \cos \Theta \sin \varphi - i \cos \varphi, -\sin \Theta, 0). \quad (5)$$

Cele două combinații posibile care rămân  $\lambda = -\bar{\lambda} = \frac{1}{2}$ ,  $\lambda = -\bar{\lambda} = -\frac{1}{2}$  ne conduc la un singur cvadrivector potențial, la cel corespunzător elicității rezultante zero:

$$A_\mu^{(0)} = (f_1 + im_0 c f_2) e_\mu^{(0)}.$$

Vectorul  $e_{\mu}^{(0)}$  are componentele

$$\frac{e}{m_0 c^2} \sin \Theta \cos \varphi, \frac{e}{m_0 c^2} \sin \Theta \sin \varphi, \frac{e}{m_0 c^2} \cos \Theta, i \frac{\vec{p}}{m_0 c}.$$
 (6)

Expresiile (4), (5), (6) coincid cu cele stabilite pe alte căi, ceea ce este un argument în favoarea ipotezei de bază pe care am adoptat-o [7].

Vectorii de bază  $e_{\mu}^{(i)}$  satisfac condițiile

$$e_{\mu}^{(i)} p_{\mu} = 0, \quad i = 1, 0, -1.$$

Prin transformarea

$$\vec{e}^{(i)} = U \vec{e}^{(i)}, \quad U = \begin{pmatrix} -\frac{1}{\sqrt{2}} & \frac{i}{\sqrt{2}} & 0 \\ 0 & 0 & 1 \\ \frac{1}{\sqrt{2}} & \frac{i}{\sqrt{2}} & 0 \end{pmatrix} \quad (7)$$

vectorii  $e_{\mu}^{(i)}$  pot fi înlocuiți cu alți trei vectori de bază

$$e^{(i)} (D_{li}^l, e_4^{(i)}), \quad l, i = 1, 0, -1.$$

În cazul special  $|\vec{p}| = 0, \Theta = 0, \varphi = 0$  avem

$$e_0^{(1)}(1, 0, 0, 0), \quad e_0^{(0)}(0, 1, 0, 0), \quad e_0^{(-1)}(0, 0, 1, 0). \quad (8)$$

2°. Definim matricea covariantă de polarizare a particulelor cu spinul unu în felul următor

$$D_{\mu\nu} = A_{\mu} A_{\nu}^*.$$

Cvadrivectorul  $A_{\mu}$  poate fi exprimat cu ajutorul vectorilor de bază

$$A_{\mu} = C_i e_{\mu}^{(i)}$$

prin urmare

$$D_{\mu\nu} = c_i c_k^* e_{\mu}^{(i)} e_{\nu}^{(k)*}.$$

Mărimile  $c_i, c_k^*$  sunt elementele matricii de densitate  $\rho$  care are trei linii și trei coloane. Putem ajunge la expresia matricii  $\rho$  în felul următor. Considerăm sistemul de referință legat de particulă. Dacă alegem baza (8) matricea  $D$  are următoarea structură

$$D^{\circ} = \left( \begin{array}{c|c} \rho & 0 \\ \hline 0 & 0 \end{array} \right)$$

(elementele din rîndul patru și coloana patra sunt nule, iar elementele din primele rînduri și primele trei coloane ne furnizează tocmai matricea  $\rho$ ).

Pentru a nu complica calculele vom utiliza pentru  $A_{\mu}$  expresia  $i\bar{\gamma}_{\mu} u$ . Rezultatele obținute mai sus arată că neglijarea termenului al doilea din (3) nu restrînge generalitatea rezultatului obținut. În urma unor calcule simple obținem

$$D_{\mu\nu} = S \bar{p} (P_a \gamma_{\mu} P_f \bar{\gamma}_{\nu}), \quad \bar{\gamma}_{\nu} = \gamma_4 \gamma_{\nu}^+ \gamma_4, \quad (9)$$

unde

$$(P_f)_{z\beta} = u(z)\bar{u}(\beta), \quad (P_a)_{z\beta} = v(z)\bar{v}(\beta) = (\gamma_2 \tilde{P}_f \bar{\gamma}_2)_{z\beta}. \quad (10)$$

În sistemul legat de particulă, pentru particula respectiv antiparticula Dirac avem

$$P_p^0 = \frac{1}{4}(1 + \gamma_4)(1 - i\vec{\xi}^p \vec{\gamma}\gamma_5), \quad (11)$$

$$P_a^0 = \frac{1}{4}(1 - \gamma_4)(1 - i\vec{\xi}^a \vec{\gamma}\gamma_5), \quad (12)$$

unde  $\vec{\xi}^p$  respectiv  $\vec{\xi}^a$  este vectorul Stokes al particulei respectiv al antiparticulei Utilizând (9), (10), (11), (12) găsim

$$2\rho = 1 + S_i \xi_i + \frac{1}{2} S_{ij} \xi_{ij} + \frac{1}{3} \xi_j^p \xi_j^a,$$

unde

$$(S_i)_{km} = -i\varepsilon_{ikm}, \quad i, k, m = 1, 2, 3, \quad S_{ij} = S_i S_j + S_j S_i - \frac{2}{3} S_k S_k \delta_{ij},$$

$$\xi_i = \xi_i^p + \xi_i^a, \quad \xi_{ij} = \xi_i^a \xi_j^p + \xi_j^a \xi_i^p - \frac{2}{3} \xi_k^a \xi_k^p \delta_{ij}.$$

Dacă impunem condiția că  $S\rho = 1$ , obținem pentru matricea de densitate expresia

$$\bar{\rho} = \frac{1}{3} \left( 2\rho - \frac{1}{3} \xi_k^p \xi_k^p \right) = \frac{1}{3} \left( 1 + S_i \xi_i + \frac{1}{2} S_{ij} \xi_{ij} \right), \quad (13)$$

care are forma indicată de A. Sankaranarayanan [6]. Ceea ce am obținut în plus este că vectorul de polarizare  $\vec{\xi}$  și tensorul de polarizare cvadripolară  $\xi_i$  se poate exprima cu ajutorul vectorilor Stokes  $\vec{\xi}^a, \vec{\xi}^p$ .

În continuare vom face o comparație a rezultatelor obținute ca cele găsite prin utilizarea tensorilor sferici [2], [5]. Matricea de densitate  $\rho$  a particulei cu spinul  $S$  se definește prin

$$\rho_{ik} = \sum_{l=0}^{2s} \varphi(S, l) C_{Sklm}^{Si} P^{(l)m}, \quad i, k = -S, \dots, 0, \dots, S, \quad (14)$$

unde  $\varphi(S, l)$  este un scalar care depinde de  $S$  și  $l$ .  $C_{Sklm}^{Si}$  sunt coeficienții Clebsch-Gordan, iar  $P^{(l)m}$  este tensorul sferic de polarizare de rangul  $l$ .

Dacă avem o particulă cu spinul unu expresia lui  $\rho$  poate fi descompusă în trei termeni

$$\rho = \sum_{l=0}^2 \rho^{(l)}.$$

Făcind înlocuirile [1]:

$$P^{(0)0} = 1, \quad P^{(1)0} = \xi_3, \quad P^{(1)1} = -\frac{1}{\sqrt{2}} \xi_-, \quad P^{(1)-1} = \frac{1}{\sqrt{2}} \xi_+, \quad \text{unde } \xi_{\pm} = \xi_1 \pm i\xi_2,$$

$$P^{(2)0} = \frac{3\xi_3 \xi_3 - \vec{\xi} \vec{\xi}}{\sqrt{10}}, \quad P^{(2)\pm 1} = \mp \frac{\sqrt{3}(\xi_{\mp} \xi_3 + \xi_3 \xi_{\mp})}{\sqrt{20}}, \quad P^{(2)\pm 2} = \sqrt{\frac{3}{20}} \xi_{\mp} \xi_{\mp},$$

și avînd în vedere valoarea coeficienților Clebsch-Gordan găsim

$$\begin{aligned}\varphi^{(0)} &\propto 1, \quad \varphi^{(1)} \propto S'_i \xi_j, \\ \varphi^{(2)} &\propto \left( S'_i S'_j + S'_j S'_i - \frac{2}{3} S'_k S'_k \delta_{ij} \right) \left( \xi_i \xi_j + \xi_j \xi_i - \frac{2}{3} \xi_k \xi_k \delta_{ij} \right),\end{aligned}$$

unde

$$S'_i = U S_i U^{-1}$$

( $\propto$  este semnul de proporționalitate,  $U$  este matricea dată sub (7)).

Structura expresiilor (13) și (14) este deci identică.

Avînd expresia lui  $\varphi$  și expresiile (4), (5), (6) ale vectorilor de bază, se poate calcula matricea  $D$  în sistemul de laborator.

(Intrat în redacție la 7 martie 1967)

#### B I B L I O G R A F I E

1. W. Lakin, Phys. Rev., **98**, 139, 1955.
2. A. I. Ahiezer, V. Berestet'ki, *Kvantovaia elektrodinamika*, izd. vtoroe, Moskva, 1959, p. 283–284.
3. D. L. Weaver – C. L. Kammeyer – R. H. Good, Jr., Phys. Rev., **135**, 241 B, 1964.
4. W. A. Perkins, Phys. Rev., **137**, 1291 B, 1965.
5. W. Konar, Bull. de l'Acad. Polonaise des Sciences (Série math.-astr.-phys.), **13**, 495, 1965.
6. A. Sankaranarayanan, Il Nuovo Cimento, **41**, 532, 1956.
7. P. R. Avvilli – J. J. Brehm, Phys. Rev., **145**, 1152, 1966.

#### О ПОЛЯРИЗАЦИИ ЧАСТИЦ С ЕДИНИЧНЫМ СПИНОМ

(Р е зю м е)

Автор получает ковариантную матрицу поляризации частиц с единичным спином, предполагая, что волновую функцию для таких частиц можно построить из спинориальных волновых функций.

#### ON THE POLARIZATION OF THE SPINE ONE PARTICLES

(S u m m a r y)

The author comes to the covariant matrix of polarization of the spine one particles assuming that for these particles the wave function can be made of spinorial wave functions.



# PROBLEMA RELATIVISTĂ A MOMENTELOR MULTIPOLARE

de

**O. GHIERMAN, GH. STEINBRECHER**

Într-o serie de lucrări [1]—[6] s-a pus problema calculului cîmpului electromagnetic generat de un mediu material aflat în mișcare relativistă. Problema fundamentală este să se extindă forma ecuațiilor lui Maxwell, bine cunoscute în cazul nerelativist și pentru acest caz.

În lucrarea de față se va demonstra că ecuațiile Maxwell se pot scrie sub forma :

$$\partial_\nu F_{\mu\nu} = j_\nu^{(M)} + \sum_k^{\infty} \partial_\nu \partial_{\rho_1} \dots \partial_{\rho_k} M_{\mu\nu}^{\rho_1 \dots \rho_k} \quad (1)$$

unde  $j_\mu^M$  este curentul „macroscopic” iar mărimele  $M_{\mu\nu}^{\rho_1 \dots \rho_k}$  depind de proprietățile mediului respectiv. Ele sunt simetrice în indicei superiori și asimetrice în indicei inferiori.

Demonstrația o facem utilizînd formalismul lagrangian. Presupunem, că mediu este format din sarcini punctiforme, ele fiind grupate în formații stabile, astfel că distanța între sarcinile din cadrul aceleiași formații este mult mai mică decît distanța dintre formații („atomi”).

„Atomi” îi vom indexa cu litera  $k$ , iar particulele componente ale atomului „ $k$ ” cu indicei „ $k$ ” și „ $i$ ”. Așadar  $e_{ki}$  este sarcina particulei „ $i$ ” din atomul „ $k$ ” iar  $x_\mu^{(ki)}$  sunt coordonatele spațio-temporale ale ei; prin  $x_\mu^{(k)}$  notăm evadrivectorul :  $(x^{(k)}, ix_0)$ ,  $x_0$  fiind timpul în sistemul laboratorului.

Mărimea  $x_\mu^{(ki)} - x_\mu^{(k)}$  care în sistemul de referință al particulei „ $k$ ” are forma  $(y^{(ki)}, 0)$  este mică în comparație cu  $x_\mu^{(k)}$ .  $y_\mu^{(ki)}$  este mărginit și mic în raport cu  $x_\mu^{(k)}$  în orice sistem de referință.

Cu acestea notății, expresia acțiunii este :

$$S = S_1 + S_2 = \sum_{ki} \int e_{ki} a_\mu(x_\nu^{(ki)}) dx_\mu^{(ki)} + \frac{i}{4} \int f_{\mu\nu}^2 d^4 x \quad (2)$$

Prin  $a_\mu(x)$  s-a notat potențialul vector al cîmpului „atomic”. Ne vom ocupa cu primul termen.

Avem :  $x_\mu^{(ki)} = y_\mu^{(ki)} + x_\mu^{(k)}$ ,  $dx^{(ki)} = dy_\mu^{(ki)} + dx_\mu^{(k)}$  iar pe  $a_\mu(x_\nu^{(ki)})$  îl putem dezvolta în serie :

$$a_\mu(x_\nu^{(ki)}) = a_\mu(x_\nu^k) + \sum_m^{\infty} \frac{1}{m!} (y_\lambda^{(ki)} \partial_\lambda)^m a_\mu(x_\nu^k) \quad (3)$$

Prin expresia:  $(y_\lambda^{(ki)} \partial_\lambda)^m$  s-a notat operatorul diferențial în care nici un  $\partial_{\lambda k}$  nu este urmat de vreun  $y_\lambda^{(ki)}$ ; analog prin  $(\partial_\lambda y_\lambda^{(ki)})^m$  se va nota operatorul ordonat astfel încât nici un  $\partial_\lambda$  nu este precedat de vreun  $y_\lambda^{(ki)}$ . Adăugînd la  $S$  expresia:

$$-\sum_{ki} e_{ki} \sum_m^{\infty} \frac{1}{(m+1)!} \int d[y_\mu^{(ki)} (y_\lambda^{(ki)} \partial_\lambda)^m a_\mu(x^k)] \quad (4)$$

care nu schimbă ecuația cîmpului, găsim, din (2) și (3)

$$\begin{aligned} S = & \frac{i}{4} \int f_{\mu\nu}^2 d^4x + \sum_{ki} e_{ki} \int a_\mu(x^{(k)}) d x_\mu^{(ki)} - \\ & + \sum_{ki} e_{ki} \left[ \sum_m^{\infty} \frac{1}{(m+1)!} (d x_\mu^{(ki)} y_\mu^{(ki)} - d x_\mu^{(ki)} y_\mu^{(ki)}) (y_\lambda^{(ki)} \partial_\lambda)^m \times \right. \\ & \times \partial_\mu a_\mu(x^{(k)}) + \left. \sum_m^{\infty} \frac{1}{(m+1)!} (d y_\mu^{(ki)} y_\mu^{(ki)} - d y_\mu^{(ki)} y_\mu^{(ki)}) (y_\lambda^{(ki)} \partial_\lambda)^{m-1} \partial_\mu a_\mu(x^{(k)}) \right] \end{aligned} \quad (5)$$

Evident, toți  $x_\mu^{(k)}$  și  $y_\mu^{(ki)}$  depind de un parametru. Drept parametru se va lua timpul în „sistemul laboratorului”,  $x_0$ .

În formula (5) vom trece de la integralele simple la integralele extinse pe întreg spațiul coadridimensional:

$$e_{ki} \int \varphi(x_0) d y_\mu^{(ki)} = \frac{1}{i} \int \varphi(x_0) i_\mu^{(ki)}(x) d\Omega \quad (6)$$

$$e_{ki} \int \varphi(x_0) d x_\mu^{(ki)} = \frac{1}{i} \int \varphi(x_0) j_\mu^{(ki)}(x) d\Omega \quad (6')$$

$$\text{unde: } i_\mu^{(ki)}(x) = \delta_3(\vec{x} - \vec{x}^k) \frac{d y_\mu^{(ki)}}{d x_0} e_{ki} \quad (7)$$

$$j_\mu^{(ki)}(x) = \delta_3(\vec{x} - \vec{x}^k) \frac{d x_\mu^{(ki)}}{d x_0} e_{ki} \quad (7')$$

Din (5), (6) și (6'), mărginindu-ne la aproximarea de ordin  $N$ , avem:

$$\begin{aligned} S \approx S_N = & \frac{i}{4} \int f_{\mu\nu}^2 d\Omega + \int a_\mu(x) \left[ \sum_{ki} j_\mu^{(ki)}(x) \right] d\Omega + \\ & + \int \sum_{ki} \left[ \sum_m^{O,N} (j_\mu^{(ki)} y_\mu^{(ki)} - j_\mu^{(ki)} y_\mu^{(ki)}) (y_\lambda^{(ki)} \partial_\lambda)^m \partial_\mu a_\mu \frac{1}{(m+1)!} + \right. \\ & \left. + \sum_m^{1,N} \frac{m}{(m+1)!} (i_\mu^{(ki)} y_\mu^{(ki)} - i_\mu^{(ki)} y_\mu^{(ki)}) (y_\lambda^{(ki)} \partial_\lambda)^{m-1} \partial_\mu a_\mu \right] \end{aligned} \quad (8)$$

Presupunînd că  $a_\mu(x)$  se anulează la infinit cu toate derivatele de ordin  $N$ , prin integrări prin părți se găsește:

$$S_N = \frac{i}{4} \int f_{\mu\nu}^2 d\Omega + \frac{1}{i} \int a_\mu(x) [j_\mu^M + \partial_\nu m_{\mu\nu}] d\Omega \quad (9)$$

unde am notat :

$$m_{\mu\nu} = p_{\mu\nu} + n_{\mu\nu} \quad (10)$$

$$p_{\mu\nu} = \sum_{ki} \sum_m^{0, N} \frac{(-1)^{m+1}}{(m+1)!} (\partial_\lambda V_\lambda^{ki})^m (j_\mu^{(ki)} y_\nu^{(ki)} - j_\nu^{(ki)} y_\mu^{(ki)}) \quad (11)$$

$$n_{\mu\nu} = \sum_{ki} \sum_m^{1, N} \frac{(-1)^m m}{(m+1)!} (\partial_\lambda V_\lambda^{ki})^{m-1} (i_\mu^{(ki)} y_\nu^{(ki)} - i_\nu^{(ki)} y_\mu^{(ki)}) \quad (12)$$

$$j_\mu^M(x) = \sum_{i,k} j_\mu^{(ki)} \quad (13)$$

Din expresia lui  $S_N$  se poate deduce ecuația cîmpului :

$$\partial_\nu f_{\mu\nu} = \partial_\nu m_{\mu\nu} + j_\mu^M \quad (14)$$

Se observă că  $j_\mu$  are semnificația unui curent macroscopic, iar  $m_{\mu\nu}$  caracterizează contribuția sarcinilor și curentilor „subatomici”.

Se observă că  $m_{\mu\nu}$  poate fi pus sub forma :

$$m_{\mu\nu} = M_{\mu\nu} + \partial_{\rho_1} M_{\mu\nu}^{\rho_1} + \dots + \partial_{\rho_k} \dots \partial_{\rho_N} M_{\mu\nu}^{\rho_1 \dots \rho_N} \quad (15)$$

unde toți  $M_{\mu\nu}^{\rho_1 \dots \rho_N}$  satisfac condițiile enunțate.

Mai mult decât atât, avînd un număr finit de termeni, se poate da o altă dezvoltare a lui  $m_{\mu\nu}$ , analogă cu (15), dar în care toți tensorii care intră sub derivate, sunt tensori ireductibili, care se exprimă prin combinațiile liniare ale derivatelor lui :  $M_{\mu\nu}^{\rho_1 \dots \rho_k}$

$$m_{\mu\nu} = \mathcal{M}_{\mu\nu} + \partial_{\rho_1} \mathcal{M}_{\mu\nu}^{\rho_1} + \dots + \partial_{\rho_k} \dots \partial_{\rho_N} \mathcal{M}_{\mu\nu}^{\rho_1 \dots \rho_N} \quad (16)$$

unde :  $\mathcal{M}_{\mu\nu}^{\rho_1 \dots \rho_k}$  au proprietățile de simetrie ca și  $M_{\mu\nu}^{\rho_1 \dots \rho_k}$ , dar sunt ireductibile față de grupul Lorentz general. Față de grupul propriu, ele se descompun în două componente ireductibile :  $\mathcal{M}_{\mu\nu}^{(\pm)\rho_1 \dots \rho_k}$ , care satisfac relațiile :

$$\mathcal{M}_{\mu\nu}^{(\pm)\rho_1 \dots \rho_k} = \pm \frac{1}{2} \varepsilon_{\mu\nu\lambda\sigma} \mathcal{M}_{\lambda\sigma}^{(\pm)\rho_1 \dots \rho_k} \quad (17)$$

Vom numi mărimile  $\mathcal{M}_{\mu\nu}^{(\pm)\rho_1 \dots \rho_k}$  densitate de multipol de ordin  $(k+1)$ . În cadrul lor se înglobează atît multipoli electrici cît și magnetici, utilizați în calcule nerelativiste.

Pe de altă parte, este clară semnificația lui  $p_{\mu\nu}$  și  $n_{\mu\nu}$ , introduși ; cînd atomii sănătății în repaus, ei modifică numai cîmpul electric, respectiv magnetic.

Să studiem acum proprietățile analitice ale transformatorilor Laplace ale lui  $\mathcal{M}_{\mu\nu}^{(\pm)\rho_1 \dots \rho_k}(x)$  (pentru prescurtare, vom omite indicii, fiind neesențiali). Raționamentul de mai jos este valabil doar pentru a descrie fenomenele de polarizare induse, care începează după un interval finit de timp (la un moment dat  $\vec{y}^{ki}(x_0)$  devine zero, sau  $\mathcal{M}(x)$  mediat tînde la zero repede). Se obștează că în acest caz  $M(x)e^{k''x} \in S'_x$  dacă și numai dacă  $k'' \in \Gamma_+$ , unde prin  $S'_x$  s-a notat spațiul distribuțiilor temperate, iar prin  $\Gamma_+$  conul luminos superior. Această proprietate

este o consecință a faptului că  $y_\mu^{ki}$  sănt mărginite, împreună cu derivata lor, și  $|\Delta \vec{x}_\mu^k| \leq x_0$ .

De aici rezultă imediat că transformata Laplace a lui  $\mathcal{M}(x)$ ,  $L_k(\mathcal{M}(x)) \equiv F_{k'}(e^{-k'x}\mathcal{M}(x))$  este o funcție olomorfă de  $k' + k''$  în tubul de olomorf  $T\Gamma^+ = \{k = k' + ik''/k' \in R^4, k'' \in \Gamma^+\}$ .

Se mai observă, că funcțiile  $L_k(M(x))$  se mai pot prelungi în afara tubului de olomorfie inițial, (vezi [7]), utilizând proprietățile tensoriale ale lui:  $L_k(M(x)) = M(k)$ , extinsă și pentru grupul Lorentz complex. Noul domeniu va fi tubul extins  $T'_1[7]$ .

Utilizând faptul că se poate demonstra că  $\mathcal{M}(k)$  nu crește mai repede decă o anumită putere a lui  $k$ , pentru  $k \rightarrow \infty$ , putem să-i dăm o reprezentare integrală utilizând teorema lui Bargman [8]. Aceasta afirmă că, dacă  $|\mathcal{M}(k)| < C_\varepsilon e^{|\xi'| Im k}$ , cînd  $Im k \rightarrow \infty$ , are loc relația următoare în condițiile proprietăților analitice amintite

$$\mathcal{M}(k) = \int_{\Gamma^+} K(k - k') \mathcal{M}(k' + i0) d^4 k' \quad (18)$$

În cazul domeniului nostru  $K(z)$  este dat de relația:

$$K(z) := \int_{\Gamma^+} e^{i\xi z} d\xi = \frac{8\pi}{(\vec{z}^2 - z_0^2)^2} \cdot \frac{1}{(2\pi)^4}, \quad (19)$$

Putem găsi o serie de relații de dispersie pentru  $\mathcal{M}(k)$ , considerind diferite subdomenii ale domeniului inițial.

Astfel, luînd  $Im \vec{k} = 0$  găsim o reprezentare de tip Cauchy pentru:  $\mathcal{M}(\vec{k}, z)$

$$\mathcal{M}(\vec{k}, z) = \int \frac{\mathcal{M}(\vec{k}, z' + i0)}{z' - z} dz' \quad (20)$$

care ne dă relațiile de dispersie:

$$Re \mathcal{M}(\vec{k}, z) = \frac{1}{\pi} \int_{-\infty}^{+\infty} \frac{Im \mathcal{M}(\vec{k}, z') dz'}{z' - z} \quad (21)$$

$$Im \mathcal{M}(\vec{k}, z) = - \frac{1}{\pi} \int_{-\infty}^{+\infty} \frac{Re \mathcal{M}(\vec{k}, z') dz'}{z' - z} \quad (21)$$

Acestea trebuie utilizate combinînd cu relația:

$$\overline{\mathcal{M}(\vec{k}, z)} = \mathcal{M}(-\vec{k}, -z) \quad (\text{pentru } \vec{k} \text{ și } z \text{ reali})$$

Analog, menținînd  $k_2$  și  $k_3$  reale, găsim următoarea reprezentare (formula Bargman pentru  $n = 2$ )

$$\mathcal{M}(z_0, z_1) = \frac{1}{(2\pi)^2} \int \frac{dk_0 dk_1}{(z_1 - k_1)^2 - (z_0 - k_0)^2} \mathcal{M}(k_0 + i0, k_1 + i0) \quad (22)$$

Este foarte plauzibil ca proprietățile analitice de mai sus să fie valabile și pentru o distribuție arbitrară, dar localizată, de sarcini. Aceasta ar putea conduce la rezultate interesante în cadrul electrodinamicii cuantice. Pe de altă parte, relațiile de mai sus sunt valabile și pentru medii la care dependența polarizării de cimpul exterior este neliniară.

(Intrat în redacție la 4 aprilie 1967)

### B I B L I O G R A F I E

1. A. W. Kaufmann, Ann. Physics, **18** (1962) p. 264.
2. J. Baer, Ann. Physique, **8** (1963) p. 197.
3. S. R. de Groot, J. Vlieger, Physica, **31** (1965) p. 125.
4. S. R. de Groot, J. Vlieger, Physica, **31**, (1965) p. 254.
5. S. R. de Groot, L. G. Suttorp, Physica **31** (1965) p. 1713.
6. R. F. Streater, A. S. Wightman, P.C.T. *Spin and Statistics and All That*. New York - Amsterdam, 1964, Cap. 2.
7. V. S. Vladimirov, *Metodi teorii funkций mnogikh kompleksnykh peremennnykh*, Moscova, 1964.

### РЕЛЯТИВИСТСКАЯ ПРОБЛЕМА МУЛЬТИПОЛЯРНЫХ МОМЕНТОВ

(Р е зю м е)

Используя формализм Лагранжа, авторы показывают, что уравнения Максвелла для поля, генерированного движущейся материальной средой, можно написать в виде (1), в котором  $M_{\mu\nu}^{\rho_1 \dots \rho_k}$  зависят от свойств среды. Авторы изучают затем свойства аналитичности преобразований Тангенса этих величин, приводящих к дисперсионным отношениям (21), (21').

### RELATIVIST PROBLEM OF THE MULTI-POLAR MOMENTS

(S u m m a r y)

Using the Lagrange's formalism, the authors show that Maxwell's equations for a field generated by a material medium in movement may be written as (1) in which  $M_{\mu\nu}^{\rho_1 \dots \rho_k}$  depend on the properties of the medium. The analyticity properties of Laplace transforms of these magnitudes, are also studied reaching to the dispersion relations (21), (21').



## DEPLASAREA DE FRECVENTĂ DATORITĂ INTERACȚIUNILOR INTRAMOLECULARE ȘI INTERMOLECULARE DIPOL–DIPOL.

de  
**D. DEMCO**

**Introducere.** Analiza deplasării liniilor de rezonanță datorită mișcării termice a ambianței moleculare, învelișului electronic al atomilor etc., permit relevarea mecanismului de interacțiune și a comportării dinamice a gradelor de libertate relativ la sistemul de spin și baie. Vom studia deplasarea de frecvență ce apare din cauza mișcării browniene de difuzie a moleculelor prin intermediul interacțiunii spin–baie.

Kubo-Tomi [1], utilizând o teorie liniară a proceselor ireversibile, obține expresia părții neseculare a deplasării de frecvență Larmor. În cazul unui lichid izotropic, în care relaxarea magnetică nucleară apare ca urmare a interacțiunilor intramoleculare dipol-dipol, se calculează expresia concretă a deplasării de frecvență, în ipoteza că linia principală este departe de sateliți. Folosind metoda din [1], Sročki și Kokin [2], calculează deplasarea de frecvență în cazul unui lichid izotrop și omogen ce are moleculele compuse din doi nuclei identici cu momentele magnetice diferite de zero ( $I = 1/2$ ). Expressia obținută este analizată în cazul interacțiunii de translație dipol-dipol intermoleculară în ipoteza cîmpurilor statice puternice și slabe. Corecția ce apare la factorul giromagnetic nu este determinată de interacțiunea spin-orbită, ci depinde de caracterul mișcării termice a momentelor magnetice ce modulează interacțiunea dipol-dipol. Ambele metode sunt aplicabile departe de saturăție și nu iau în considerare descentralizarea nucleilor în molecule poliatomice, sensul deplasării de frecvență Larmor fiind diferit.

**Deplasarea de frecvență în aproximarea Born cea mai joasă.** Utilizând metoda lui Hubbard [3], privind forma semiclasică și quanto-mecanică relativ la teoria operatorului de densitate a relaxării, se efectuează în [4] o nouă renormalizare a „self-energiei” sistemului de spin, ceea ce permite obținerea deplasărilor de frecvență markoviene în aproximarea Born cea mai joasă. Se consideră că relaxarea apare ca urmare a interacțiunilor dipol-dipol ce au loc într-un sistem de  $N$  spini nucleari identici  $1/2$ , cu factorul giromagnetic  $\gamma$ . Nucleii se găsesc în poziții echivalente în moleculele sferice ale unui lichid izotrop. Dacă nu luăm în considerare corelațiile încrucișate în condițiile unui cîmp transversal foarte slab în jurul rezonanței pentru deplasarea de frecvență Larmor obținem:

$$\delta = 4j''_{2,-2}(-2\omega_0) - 2j''_{1,-1}(-\omega_0) \quad (1)$$

unde  $j''_{ik}$  reprezintă partea imaginară a densităților spectrale,  $j_{ik}(\omega) \equiv j'_{ik}(\omega) + ij''_{ik}(\omega)$ , definite astfel:

$$j_{ik} \equiv \sum_i (1 - \delta_{ij}) j_{(ij)(ij)^{lk}}(\omega) \quad (2)$$

unde :

$$j_{(ij)(ij)^{lk}}(\omega) = \int_0^\infty C_{(ij)(ij)^{lk}}(\tau) e^{i\omega\tau} d\tau \quad (3)$$

Funcțiile de corelare în (3) sunt date prin :

$$C_{(ij)(ij)^{lk}}(\tau) = \langle U_{ij}^l(t + \tau) U_{ij}^k(t) \rangle \quad (4)$$

unde :

$$U_{ij}^k = (3\pi/l_0)^{1/2} \gamma^2 (r'_{ij})^{-3} (-1)^k Y_2^{-k}(\theta'_{ij}, \varphi'_{ij}) \quad (5)$$

$Y_2^k$  sunt funcțiile sférici normalizate, iar mărimea vectorului de poziție  $\vec{r}'_{ij}$  a nucleu lui  $i$  relativ la nucleul  $j$ , este dată prin  $r'_{ij}$  și unghiurile lui polare  $(\theta'_{ij}, \varphi'_{ij})$ .

Metoda lui Hubbard nu consideră cîmpul rotitor ca o perturbație astfel că 1 saturație apare o dependență a deplasării de frecvență Larmor de către cîmpul transversal și o deplasare de frecvență suplimentară  $\delta_1$ , relativ la  $\omega_1$ , ce ar forma :

$$\delta_1 = 3s [s^2 j''_{00}(-2\omega') + 2c^2 j''_{00}(-\omega')] \quad (6)$$

în care  $s \equiv \omega_0/\omega'$ ;  $c \equiv \Delta_0/\omega_0$  unde  $\Delta_0 \equiv \omega_0^2 - \omega^2$  iar  $\omega' \equiv (\Delta_0^2 + \omega_1^2)^{1/2}$ .

Soluțiile staționare ale ecuațiilor de evoluție ale magnetizărilor depind de mărimea și frecvența cîmpului rotitor, într-un mod mult mai complicat ca ecuații Bloch. Modul de absorbție poate fi însă adus la forma ecuațiilor fenomenologice dacă definim pe lîngă timpii de relaxare și o deplasare de frecvență Larmor efectiv  $\delta'$ , independentă de frecvență, dar depinzînd de mărimea cîmpului rotitor. În condițiile rezonanței ( $\Delta_0 = 0$ ) din [4] avem :

$$(\delta)^2 = \delta^2 \frac{3j'_{00}(0) - 10j'_{1,-1}(-\omega_0) + 4j'_{2,-2}(-2\omega_0) + 3j'_{0,0}(-2\omega_1)}{6j'_{00}(-2\omega_1) - 10j'_{1,-1}(-\omega_0) - 4j'_{2,-2}(-2\omega_0)} \quad (7)$$

iar

$$\delta_1 = 3j''_{00}(-2\omega_1) \quad (8)$$

Cantitățile  $\delta$ ,  $\delta_1$  și  $\delta'$  date de (1), (7) și (8) pot fi scrise ca sumă a doi termeni care conțin, respectiv, efectele interacțiunilor intramoleculare dipol-dipol, și intermolecular dipol-dipol.

$$\delta = (\delta)_{\text{intra.}} + (\delta)_{\text{inter.}} \quad (9)$$

$$\delta_1 = (\delta_1)_{\text{intra.}} + (\delta_1)_{\text{inter.}} \quad (10)$$

$$\delta' = (\delta')_{\text{inter.}} + (\delta')_{\text{intra.}} \quad (11)$$

unde :

$$(\delta)_{\text{intra.}} = \sum_i [4j''_{(ij)(ij)}^{2,-2}(-2\omega_0) - 2j''_{(ij)(ij)}^{1,-1}(-\omega_0)] \quad (12)$$

$$(\delta_1)_{\text{intra.}} = 3 \sum_i j''_{(ij)(ij)}^{0,0}(-2\omega_1). \quad (13)$$

$$(\delta')_{\text{intra.}} = (\delta)_{\text{intra.}} + \sum_i \left[ \frac{3j'_{(ij)(ij)}^{0,0}(0) - 10j'_{(ij)(ij)}^{1,-1}(-\omega_0) + 4j'_{(ij)(ij)}^{2,-2}(-2\omega_0) + 3j'_{(ij)(ij)}^{0,0}(-2\omega_1)}{6j'_{(ij)(ij)}^{0,0}(-2\omega_1) - 10j'_{(ij)(ij)}^{1,-1}(-\omega_0) - 4j'_{(ij)(ij)}^{2,-2}(-2\omega_0)} \right] \quad (14)$$

Suma  $\sum_j''$  este luată după toți nucleii din aceeași molecule exceptând nucleul  $j$ . În mod absolut analog putem defini contribuțiile intermolecularare ale deplasărilor de frecvență, în care apare însă suma  $\sum_i''$  după toți nucleii din moleculele diferite în afară de nucleul  $j$ .

În vederea calculării densităților spectrale să considerăm că mișcarea rotațională a moleculelor și cea de translație sunt independente. Mișcarea moleculelor sfereice se presupune a fi o difuzie izotropică cu coeficientul de difuzie  $D = kT/(6\pi\eta a)$  pentru mișcarea de translație și  $D' = kT/(6\pi\eta a^3)$  pentru cea de rotație, unde  $k$  este constanta Boltzmann,  $T$  este temperatura,  $\eta$  este coeficientul de viscozitate al fluidului, iar  $a$  este distanța minimă dintre două molecule independente.

După cum se arată în [5], în cazul considerării descentralizării nucleilor, spre deosebire de [1] și [2], pentru contribuția intermoleculară, obținem

$$\sum_i'' j_{ij} (ij)^{l_1 - l} (-l\omega_0) = n\pi(\gamma^2 h)^2 (-1)^l \sum_{p=0}^{\infty} \int_0^{\infty} C_{l_1 - l}(p)(\tau) \times e^{-il\omega_0\tau} d\tau \quad (15)$$

unde  $n$  reprezintă numărul spinilor pe unitatea de volum. Ne mărginim numai la primii doi termeni în suma după  $p$ , primul ce nu depinde de mișcarea de rotație a moleculelor fiind

$$C_{l,k}^{(0)}(\tau) = \delta_{-l,k} \left(\frac{3}{10}\right) G_2(\tau) \quad (16)$$

iar al doilea ce ia în considerare această mișcare:

$$C_{l,k}^{(1)}(\tau) = \delta_{-l,k} 3b^2 e^{-2D'|\tau|} G_3(\tau) \quad (17)$$

În formulele (16), (17) apare funcția  $G_L(\tau)$ , ce depinde de funcțiile Bessel de speță întâia  $I_{L+1/2}$ ,

$$G_L(\tau) = (2a)^{-2L+1} \int_0^{\infty} \exp\left(-\frac{D'\tau|u|^2}{2a^2}\right) [I_{L+1/2}(u)]^2 u^{-1} du \quad (18)$$

în care  $b$  este distanța fiecărui spin de la centrul moleculei în care este conținut, iar timpul de corelare  $\tau_0$  este definit

$$\tau_0 \equiv 2a^2/D$$

Dacă moleculele lichidului efectuează o mișcare rotațională, funcțiile de corelare relativ la contribuția intramoleculară în cazul moleculei ce conține doi nuclei, după [5], este :

$$C_{(ij)(ij)l,k}(\tau) = \delta_{-l,k} (3/40) (\gamma^2 h)^2 (r'_{ij})^{-6} (-1)^l \exp(-|\tau|/\tau_2) \quad (19)$$

unde  $\tau_2 \equiv (6D')^{-1}$  este timpul de corelare corespunzător acestei mișcări.

**Contribuția intramoleculară.** Utilizând (3) și (19) obținem pentru partea imaginată a densităților spectrale

$$\begin{aligned} j''_{(ij)(ij)l_1 - l} (-l\omega_0) &= (3/40) (\gamma^2 h)^2 (r'_{ij})^{-6} (-1)^{l+1} \times \\ &\times \frac{l\omega_0 \tau_2^2}{1 + (l\omega_0 \tau_2)^2} \end{aligned} \quad (20)$$

Deplasarea de frecvență Larmor (12) devine :

$$-(\delta)_{\text{intra.}} = \left(\frac{3}{4}\right)(\gamma^2 h)^2 \sum_j' (r'_{ij})^{-6} \left\{ \frac{1}{5} + \frac{\omega_0 \tau_2^2}{1 + (\omega_0 \tau_2)^2} + \frac{4}{5} \frac{\omega_0 \tau_2^2}{1 + 4(\omega_0 \tau_2)^2} \right\} \quad (21)$$

și coincide cu rezultatul din [1] obținut printr-o altă metodă. Deplasarea de frecvență efectivă, (14), din (20) și (21) în ipoteza cîmpurilor slabe ( $\omega_0 \tau \ll 1$ ), devine

$$-(\delta')_{\text{intra.}} = -(\delta)_{\text{intra.}} = \frac{3}{4} (\gamma^2 h)^2 \sum_i' (r'_{ij})^{-6} \omega_0 \tau_2^2 \quad (22)$$

iar pentru cîmpuri puternice ( $\omega_0 \tau_2 \gg 1$ ,  $\omega_1 \ll \omega_0$ ) :

$$-(\delta')_{\text{intra.}} = \left(\frac{3}{10}\right) (\gamma^2 h)^2 \sum_j' (r'_{ij})^{-6} \left[ \frac{4 \omega_0^2 \tau_2^2 + 11(1 + 4 \omega_1^2 \tau_2^2) + 4 \omega_0^2 \omega_1^2 \tau_2^4}{6 \omega_0^2 \tau_2^2 + 11(1 + 4 \omega_1^2 \tau_2^2)} \right]^{1/2} \omega_0 \quad (23)$$

Pentru a putea analiza în diverse cazuri concrete valoarea deplasării de frecvență relativ la  $\omega_1$ , din (13) obținem :

$$-(\delta_1)_{\text{intra.}} = \frac{9}{20} (\gamma^2 h)^2 \sum_i' (r'_{ij})^{-6} \left( \frac{\omega_1 \tau_2^2}{1 + 4(\omega_1 \tau_1)^2} \right) \quad (24)$$

Dacă reprezentăm grafic mărimea  $|(\delta)|_{\text{intra.}}$   $\omega_0$  funcție de  $\omega_0 \tau_2$  obținem o curbă similară cu cea din [2] de unde observăm că începînd din domeniul  $\omega_0 \tau_2 \sim 1$  avem  $|(\delta)|_{\text{intra.}} \sim \omega_0 \sim \left(\frac{3}{10}\right) (\gamma^2 h)^2 \sum_j' (r'_{ij})^{-6}$

Timpul de relaxare efectiv introdus în [3]

$$1/T'_2 = 1/T_2 - 3[j''_{0,0}(0) - j''_{0,0}(-2\omega_1)] \quad (25)$$

cu ajutorul lui (2), (3) și (19) devine :

$$(1/T'_2)_{\text{intra.}} = \left(\frac{3}{20}\right) (\gamma^2 h)^2 \tau_2 \sum_i' (r'_{ij})^{-6} \left\{ \frac{3}{2} + \frac{5}{1 + (\omega_0 \tau_2)^2} + \frac{2}{1 + (2\omega_0 \tau_2)^2} + \frac{3}{2} \frac{1}{1 + (2\omega_1 \tau_2)^2} \right\} \quad (26)$$

În condițiile  $\omega_1 \tau_2 \ll 1$  din (26) obținem  $(1/T'_2) = (1/T_2)_{\text{intra.}}$  unde  $(T_2)_{\text{intra.}}$  coincid cu cel dat în [5].

**Contribuția intermoleculară.** Pentru calcularea densităților spectrale în acest caz vom utiliza (15), (16) și (17). Aplicînd teorema reziduurilor [6], putem evalua integralele ce permit calcularea contribuției intermoleculare de translație ( $I_0$ ) : de prim ordin în rotație ( $I_1$ ) la densitățile spectrale. Ele au forma :

$$I_0 \equiv \int_0^\infty C_{I_0 - I_1(0)}(\tau) e^{-i\omega_0 \tau} d\tau = \left(\frac{3}{40 Da}\right) \left\{ \frac{(x^2 - 2) + e^{-x^2} [(x^2 + 4x + 2) \cos x - \sin x(x^2 + 2)]}{x^5} \pm \right. \\ \left. \pm i \frac{(-2x^3 + 3x^2 + 6) + 3e^{-x^2} [(x^2 - 2) \cos x - (x^2 + 4x + 2) \sin x]}{x^5} \right\} \quad (27)$$

$$I_1 \equiv \int_0^\infty C_{l_1-l}^{(1)}(\tau) e^{-il\omega_0\tau_0} d\tau = \left( \frac{3b^2}{32a^3D} \right) \times \\ \times \left\{ \frac{\alpha(\varphi, r) + \beta(\varphi, r) + \gamma(\varphi, r)}{r^{7/2}} \pm i \frac{x^2}{2} \frac{\delta(\varphi, r) + \varepsilon(\varphi, r)}{r^{7/2}} \right\} \quad (28)$$

unde:

$$\alpha(\varphi, r) \equiv -9 \cos \frac{7\varphi}{2} + 3r \cos \frac{5\varphi}{2} - r^2 \cos \frac{3\varphi}{2} + \frac{2}{5} r^{5/2} \cos \varphi \quad (29a)$$

$$\beta(\varphi, r) \equiv \left( 9 \cos \frac{7\varphi}{2} + 15r \cos \frac{5\varphi}{2} + r^2 \cos \frac{3\varphi}{2} + 18r^{1/2} \cos 3\varphi + \right. \\ \left. + 6r^{3/2} \cos 2\varphi \right) e^{-2r^{1/2} \cos \frac{\varphi}{2}} \cos \left( 2r^{1/2} \sin \frac{\varphi}{2} \right) \quad (29b)$$

$$\gamma(\varphi, r) \equiv - \left( 9 \sin \frac{7\varphi}{2} + 15r \sin \frac{5\varphi}{2} + r^2 \sin \frac{3\varphi}{2} + 18r^{1/2} \sin 3\varphi + \right. \\ \left. + 6r^{3/2} \sin 2\varphi \right) e^{-2r^{1/2} \cos \frac{\varphi}{2}} \sin \left( 2r^{1/2} \sin \frac{\varphi}{2} \right) \quad (29c)$$

$$\delta(\varphi, r) \equiv \frac{A^2 - r \cos \varphi}{A^4 - 2rA^2 \cos \varphi + r^2} \left[ \left( \frac{2}{5} r^{5/2} \cos \varphi + 3r \cos \frac{\varphi}{2} - r^2 \cos \frac{3\varphi}{2} - 9 \cos \frac{7\varphi}{2} \right) \right. \\ \left. + e^{-2r^{1/2} \cos \frac{\varphi}{2}} \left( 18r^{1/2} \cos 3\varphi + 6r^{3/2} \cos 2\varphi + 9 \cos \frac{7\varphi}{2} + 15r \cos \frac{5\varphi}{2} + \right. \right. \\ \left. \left. + r^2 \cos \frac{3\varphi}{2} \right) \cos \left( 2r^{1/2} \sin \frac{\varphi}{2} \right) - e^{-2r^{1/2} \cos \frac{\varphi}{2}} \left( 18r^{1/2} \sin 3\varphi + 6r^{3/2} \sin 2\varphi + \right. \right. \\ \left. \left. + 9 \sin \frac{7\varphi}{2} + 15r \sin \frac{5\varphi}{2} + r^2 \sin \frac{3\varphi}{2} \right) \sin \left( 2r^{1/2} \sin \frac{\varphi}{2} \right) \right] \quad (29d)$$

$$\varepsilon(\varphi, r) \equiv \frac{r \sin \varphi}{A^4 - 2rA^2 \cos \varphi + r^2} \left\{ \left( \frac{2}{5} r^{5/2} \sin \varphi + 3r \sin \frac{5\varphi}{2} - r^2 \sin \frac{3\varphi}{2} - 9 \sin \frac{7\varphi}{2} \right) + \right. \\ \left. + \left( 18r^{1/2} \sin 3\varphi + 6r^{3/2} \sin 2\varphi + 15r \sin \frac{5\varphi}{2} + r^2 \sin \frac{3\varphi}{2} + 9 \sin \frac{7\varphi}{2} \right) \times \right. \\ \left. \times e^{-2r^{1/2} \cos \frac{\varphi}{2}} \cos \left( 2r^{1/2} \sin \frac{\varphi}{2} \right) + \left( 18r^{1/2} \cos 3\varphi + 6r^{3/2} \cos 2\varphi + 15r \cos \frac{5\varphi}{2} + \right. \right. \\ \left. \left. + r^2 \cos \frac{3\varphi}{2} + 9 \cos \frac{7\varphi}{2} \right) e^{-2r^{1/2} \cos \frac{\varphi}{2}} \sin \left( 2r^{1/2} \sin \frac{\varphi}{2} \right) \right\} \quad (29e)$$

În formulele de mai sus, semnul plus și minus corespunde la  $l < 0$  respectiv la  $l > 0$ , iar  $x \equiv \sqrt{2|l|\omega_0\tau_0}$ ,  $r \equiv \sqrt{A^4 + (|l|)\omega_0\tau_0)^2}$ ,  $\operatorname{tg} \varphi \equiv \frac{|l|\omega_0\tau_0}{3}$  și  $A^2 \equiv \frac{4a^2D'}{D} = 3$ .

Dacă ne mărginim numai la termenul corespunzător interacțiunii de translație intermoleculară din (27), (15) și (1), obținem pentru deplasarea de frecvență  $\delta$  în cazul  $(\omega_0 \tau_0) \ll 1$ :

$$-(\delta)_{\text{inter}} = \frac{2\sqrt{2}-1}{120V^2} n\pi (\gamma^2 h)^2 a^{-3} \tau_0 \sqrt{(\omega_0 \tau_0)} \quad (30)$$

iar pentru  $\omega_0 \tau_0 > 1$ :

$$-(\delta) = \frac{1}{160} n\pi (\gamma^2 h)^2 a^{-3} [16(\omega_0 \tau_0)^{-1} - 3(1 + \sqrt{2})(\omega_0 \tau_0)^{-3/2}] \quad (31)$$

Rezultatul obținut diferă de cel al lui Skortki și Kokin, [2], atât prin coeficientul numeric ce corespunde cazului a doi nuclei identici 1/2 din moleculel în stări de triplet și simplet, cît și prin semnul deplasării de frecvență. Dacă reprezentăm grafic dependența deplasării de frecvență Larmor funcție de  $\omega_0 \tau_0$ , se ved că valoarea maximă este atinsă în domeniul  $\omega_0 \tau_0 \sim 1$ .

Considerarea în deplasarea de frecvență și a termenului (28) corespunzăto rotației intermoleculare conduce la o valoare mai mare a deplasării de frecvență decât cea obținută în tratamentele anterioare, în care nucleii au fost considerați în centrul moleculelor sferice.

Termenii de ordinul doi ce descriu rotația intermoleculară și care sunt mult mai mici în comparație cu primii ( $b < a$ ), pot fi calculați într-o manieră similară cu (28) obținându-se o expresie foarte complicată. Analog timpilor de relaxare, [5], contribuția determinantă la deplasarea de frecvență Larmor datorită interacțiunii intermoleculare o are mișcarea de translație. Utilizând (27), (28) și (15), putem obține imediat și expresiile pentru  $\delta_1$ ,  $\delta'$  și  $T_2$ .

În condițiile câmpului transversal lent rotitor [4], timpul de relaxare longitudinal și transversal devin egali și se exprimă prin relația:

$$1/T_0 = 20 j'_{0,0}(0) \quad (32)$$

Utilizând (20), (27), (28), (15) și [5] obținem pentru  $T_0^{-1}$  expresia dată prin parametrii moleculari ai lichidului sub formă:

$$T_0^{-1} \equiv \frac{3}{2} (\gamma^2 h)^2 \sum_i (r'_{ij})^{-6} + \frac{n\pi(\gamma^2 h)}{5 Da} \left\{ 1 + \left( \frac{b}{a} \right) 0,23 + \left( \frac{b}{a} \right)^4 0,15 \right\} \quad (33)$$

**Concluzii.** Rezultatele obținute în cazul contribuției intermoleculare permit să se exprime timpul de relaxare transversal și longitudinal [3] în tot domeniul de variație a lui  $\omega_0 \tau_0$ . Faptul acesta generalizează rezultatele din [2] și [5]. Expresiile obținute pentru deplasările de frecvență sunt valabile numai în ipoteza „băi rapi fluctuente” și corespund la o micșorare a frecvenței de rezonanță.

În cazul lichidelor, deplasarea de frecvență Larmor în aproximarea Born este mai joasă, poate fi principal detectată experimental, fiind facilitată de îngustirea liniilor de rezonanță. Pentru apă pură, cunoștință că  $\gamma = 2,67 \cdot 10^4$  gauss<sup>-1</sup> sec,  $a = 1,38 \text{ \AA}$ ,  $b = 0,95 \text{ \AA}$ , [7] iar la  $20^\circ\text{C}$  avem  $\tau_2 = 3,2 \cdot 10^{-10}$  sec,  $n = 0,3 \cdot 10^{23} \text{ cm}^{-3}$  [2], pentru  $\omega_0 \tau_2 \sim 1$  obținem că  $|\delta|/\omega_0$  este de ordinul de mărime  $10^{-10}$  ceea ce se plasează sub limita de măsurare a spectrometrelor. Apa zeolitică are timpul de corelare în condiții obișnuite, în jur de  $10^{-7} - 10^{-8}$  sec., [8]. Zeoliții au un volum liber accesibil apei în jur de  $0,2 - 0,5 \text{ cm}^3$  per  $\text{cm}^3$ , de cristal, [9]. Utilizând datele de mai sus pentru  $|\delta|/\omega_0$  în domeniul  $\omega_0 \tau_0 \sim 1$  obținem valori în jur de  $10^{-3} - 10^{-4}$

ce pot fi puse în evidență experimental. Deci, în lipsa unui „spectru alb” relativ la interacțiunea dipol-dipol, deplasarea de frecvență Larmor este măsurabilă. Formula (24) ne permite să arătăm că în ambele cazuri de mai sus deplasarea de frecvență relativ la  $\omega_1$  este foarte mică.

(Intrat în redacție la 11 ianuarie 1967)

#### B I B L I O G R A F I E

1. R. Kubo, K. Tomita, J. Phys. Soc. Japan, **9**, 888 (1954).
2. G. V. Seroseci, A. A. Cochlin, JETP, **36**, 481 (1959).
3. P. S. Hubbard, Rev. Mol. Phys., **33**, 249 (1961).
4. D. Demeo, Comunicare științifică în cadrul Facultății de fizică Cluj (1966).
5. P. S. Hubbard, Phys. Rev., **B1**, 275 (1963).
6. P. S. Hubbard, Proc. Royal Soc., **291** A, 537, (1966).
7. K. Krywicki, Physica, **32**, 167 (1966).
8. P. Ducros, X. Pare, Compte Rendu du 9<sup>e</sup> Colloque Pisc., **383** (1960).
9. R. M. Baner, Endeavour, **XXIII**, 122 (1964).

#### СМЕЩЕНИЕ ЧАСТОТЫ БЛАГОДАРЯ ВНУТРИМОЛЕКУЛЯРНЫМ И МЕЖМОЛЕКУЛЯРНЫМ ВЗАИМОДЕЙСТВИЯМ ДИПОЛЬ-ДИПОЛЬ

(Резюме)

В случае ядерной релаксации посредством внутримолекулярных и межмолекулярных взаимодействий диполь-диполь вычисляются выражения смещений частоты, применимые и к полигатомным молекулам, причем даются и условия их экспериментального наблюдения.

#### FREQUENCY SHIFT BY THE INTRAMOLECULAR AND INTERMOLECULAR DIPOL-DIPOL INTERACTIONS

(Summary)

In the occurrence of nuclear magnetic relaxation through the intermedium of the intramolecular and intermolecular dipol-dipol interactions there are calculated the expressions of the frequency shifts also applicable to the polyatomic molecules, showing their conditions of experimental observation.



## O METODĂ DE IMPULS DE CĂLDURĂ PENTRU MĂSURAREA PROPRIETĂȚILOR TERMICE ALE PROBELOR SCURTE

de

E. KELEMEN și A. NEDA

**Introducere.** În unele corpuri solide, mai ales la temperaturi ridicate, prin încălzire sau prin menținerea îndelungată a unui gradient de temperatură, se produc anumite schimbări structurale sau variații fizico-chimice. În asemenea cazuri este mai avantajoasă aplicarea metodelor nestaționare, de încălzire de seurtă durată – în locul metodelor staționare – la studiul conductibilității termice și al altor mărimi termice [1].

Pentru măsurarea difuzivității termice, în ultimii ani au fost elaborate mai multe metode de impuls de căldură sau de unde termice (vezi [2]). La corpuri de probă cu dimensiuni mari, prin metode de încălzire de seurtă durată, în afara difuzivității termice, se pot determina în același timp și alte mărimi termice, cum săn coeficientul de conductibilitate termică și căldura specifică [3, 4]. Însă la corpuri de probă cu dimensiuni reduse, determinarea simultană a mărimilor menționate este mai dificilă și în această privință nu s-au făcut decât puține încercări. Pentru probele metalice cu dimensiuni mici o metodă de impuls de căldură a fost descrisă și aplicată în jurul temperaturii camerei de [5]. Metoda aceasta însă necesită o instalație experimentală modernă, cu care se pot înregistra variații mici de temperatură și de durată seurtă.

În lucrarea de față vom arăta că prin metoda impulsului de căldură dezvoltată de noi pentru măsurarea difuzivității termice se mai pot determina simultan (deci prinț-o singură experiență) și alte mărimi termice, căldura specifică, coeficientul de conductibilitate termică, precum și coeficientul de transmisie de căldură în cazul convecției naturale. Dispozitivul experimental și procedeul de măsurare este relativ simplu. În forma actuală metoda se poate aplica la studiul proprietăților termice ale izolatorilor și ale semiconducțorilor care n-au o conductibilitate termică ridicată.

**Formulele de bază ale metodei.** După cum am arătat în [6], dacă pe suprafața frontală a unui corp de probă de lungime  $L$  și cu secțiunea transversală  $S$ , se încălzește brusc un strat subțire de grosimea  $\xi \ll L$ , atunci la suprafața posterioară, unde el este în contact cu un mediu infinit, variația temperaturii în funcție de timp este descrisă de ecuația :

$$T(L, t) = \frac{q}{\epsilon \cdot \rho \cdot \sqrt{\pi \cdot a \cdot t}} (1 - H) \exp \left\{ - \left( \frac{L^2}{4 \cdot a \cdot t} + b \cdot t \right) \right\} \quad (1)$$

Aici  $q$  este cantitatea de căldură transmisă corpului (prin impuls de căldură) pe unitate de suprafață,  $c$  căldura specifică,  $a$  difuzivitatea termică și  $\rho$  densitatea corpului; coeficientul  $b$  caracterizează transmisia de căldură prin suprafață laterală a corpului și este dat de relația :

$$b = h \cdot \frac{P}{\rho \cdot c \cdot S} \quad (2)$$

unde  $h$  este coeficientul de transmisie de căldură,  $P$  perimetrul,  $S$  secțiunea transversală a corpului. Mărimea  $H$  depinde de trecerea căldurii de la corpul de probă în mediul cu care el este în contact la suprafață posterioară, fiind dată de [3] prin relația :

$$H = \frac{\delta - 1}{\delta + 1} \quad (3)$$

unde

$$\delta = \frac{K_0}{K} \sqrt{\frac{a}{a_0}} \quad (4)$$

Aici prin  $a$  și  $K$  sunt notate difuzivitatea și conductibilitatea termică a corpului de probă, iar prin  $a_0$  și  $K_0$  aceleasi mărimi pentru mediul menționat.

Variata temperaturii în funcție de timp (înregistrată la un corp de probă (HgTe) este redată în fig. 1. Din ecuația (1) pentru timpul  $t_m$  în care  $T(L, t)$  atinge valoarea maximă, se obține

$$\frac{a \cdot t_m}{L^2} = \frac{t}{2(1 + 2 \cdot b \cdot t_m)} = M(bt_m) \quad (5)$$

Dacă corpul de probă este mărginit în fiecare parte a suprafeței lui de același mediu atunci coeficientul  $b$  se poate determina pe baza ramurii  $AB$  a curbei  $T(L, t)$  din fig. 1 [7].

$$b = \frac{P \cdot L}{S_0} \cdot \frac{\log T_2/T_1}{t_2 - t_1} \quad (6)$$

unde  $S_0$  este aria suprafeței întregi a corpului și  $(t_2 - t_1)$  intervalul de timp în care temperatura scade de la  $T_1$  la  $T_2$ . Variata expresiei  $\log_n T_2/T_1$  în funcție de timp reprezintă dreaptă (fig. 1).

Dacă corpul studiat este un solid și se găsește într-un mediu gazos, atunci în formula (4)  $K_0$  este cu 2–4 ordini de mărime mai mic decât  $K$ , iar  $a_0$  mai mare sau de aceeași ordine de mărime ca  $a$  (deci  $K_0 \ll K$  și  $a_0 \gg a$ ). În acest caz, practic,  $\delta = 0$ , iar  $H = -1$ . (De exemplu pentru cazul sticlă-aer la  $20^\circ\text{C}$ , avem:  $K = 7,5 \times 10^{-3} \text{ W/cm} \cdot ^\circ\text{K}$ ,  $K_0 = 2,5 \times 10^{-4} \text{ W/cm} \cdot ^\circ\text{K}$ ,  $a = 4,4 \times 10^{-3} \text{ cm}^2/\text{s}$  și  $a_0 = 2,13 \times 10^{-1} \text{ cm}^2/\text{s}$ , astfel  $\delta = 4,8 \times 10^{-3} \approx 0$ ).

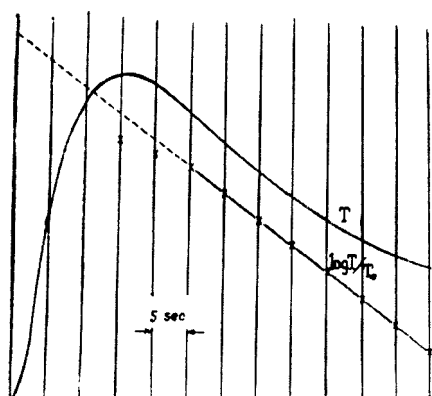


Fig. 1.

mai mic decât  $K$ , iar  $a_0$  mai mare sau de aceeași ordine de mărime ca  $a$  (deci  $K_0 \ll K$  și  $a_0 \gg a$ ). În acest caz, practic,  $\delta = 0$ , iar  $H = -1$ . (De exemplu pentru cazul sticlă-aer la  $20^\circ\text{C}$ , avem:  $K = 7,5 \times 10^{-3} \text{ W/cm} \cdot ^\circ\text{K}$ ,  $K_0 = 2,5 \times 10^{-4} \text{ W/cm} \cdot ^\circ\text{K}$ ,  $a = 4,4 \times 10^{-3} \text{ cm}^2/\text{s}$  și  $a_0 = 2,13 \times 10^{-1} \text{ cm}^2/\text{s}$ , astfel  $\delta = 4,8 \times 10^{-3} \approx 0$ ).

și  $H = -0.991 \approx -1$ .) Luând în considerație acest fapt, din ecuația (1), pentru  $T(L, t_m) = T_m$  rezultă

$$\frac{c \cdot \varphi \cdot L}{2 \cdot q} \cdot T_m = \left[ \frac{2(2bt_m + 1)}{\pi} \right]^{1/2} \cdot \exp [-(2 \cdot b \cdot t_m + 1/2)] = N(bt_m) \quad (7)$$

Variatia mărimilor adimensionale  $M$  și  $N$  din (5) și (7), în funcție de mărimea  $2 \cdot b \cdot t_m$ , de asemenea adimensională, este reprezentată în fig. 2.

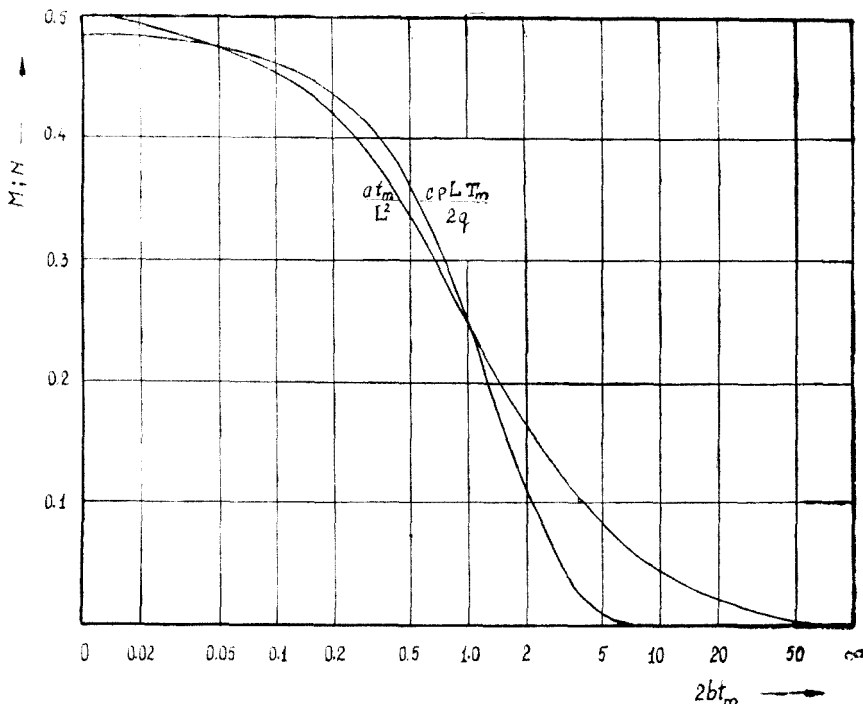


Fig. 2.

Prin înregistrarea unei curbe  $T(L, t)$ , timpul  $t_m$  și temperatura  $T_m$  se pot măsura în mod simplu. Astfel dacă se cunoaște cantitatea de căldură  $q$  transmisă corpului de probă pe unitatea de suprafață, atunci pe lângă difuzivitatea termică se poate determina și căldura specifică din expresia

$$c = \frac{2 \cdot q \cdot N}{\varphi \cdot L \cdot T_m} \quad (7a)$$

iar conductibilitatea termică din relația

$$K = c \cdot \varphi \cdot a = \frac{q \cdot N}{T_m} \cdot \frac{l}{t_m \cdot (1 - 2 \cdot b \cdot t_m)} \quad (8)$$

În mod asemănător, folosind relațiile (2) și (6) se poate calcula și coeficientul de transmitie de căldură,  $h$ .

**Dispozitivul experimental.** Partea principală a dispozitivului experimenta este schițată în fig. 3. Nodul  $S_1$  al cuplului termoelectric  $T_{e_1}$  este sudat pe o plăcuță de argint de 0,3 mm grosime. Corpul de probă  $P$  cu suprafață lui posterioară este lipit cu pastă de argint de această plăcuță și este ținut de firele cuplului termoelectric, în centrul tubului de sticlă  $C$  în care se găsește aer sau un gaz inert. Poziția

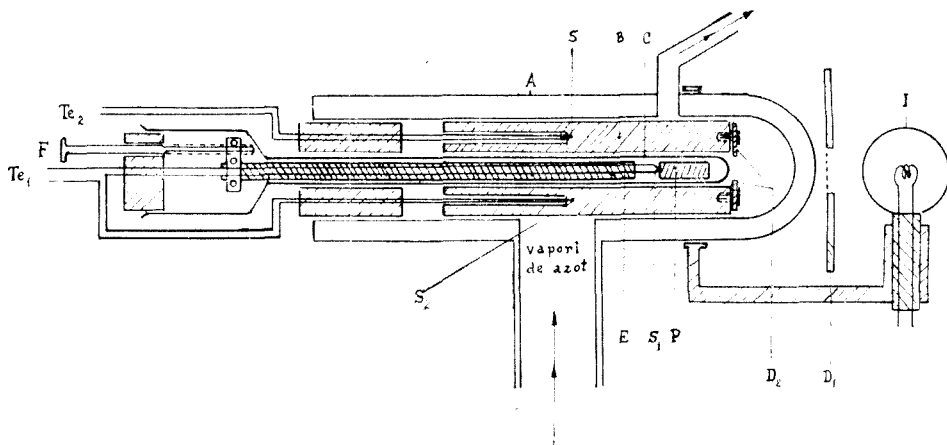


Fig. 3.

probei în interiorul tubului  $C$  se poate regla cu ajutorul unui șurub  $F$ , legat de tubu de porțelan  $E$ . Sudura  $S_2$  a cuplului termoelectric  $T_{e_1}$ , este introdusă în blocu de cupru sub formă cilindrică  $B$ , care asigură stabilitatea temperaturii punctului de referință, precum și în interiorul tubului  $C$ . La măsurători sub temperatură camerei, blocul  $B$  împreună cu  $C$  este așezat în vasul de sticlă  $A$  care are pereți dubli, și este vidat între pereți, pentru ca să asigure o izolare termică bună. Prin reglarea curentului de vaporii de azot, se poate stabiliza temperatura blocului  $B$  la o valoare dorită. Pentru măsurarea temperaturii blocului  $B$  servește cuplul termoelectric  $T_{e_2}$ , având sudura  $S$  introdusă în blocul  $B$ . În experiențele noastre producerea impulsului de căldură s-a realizat prin iradierea suprafeței frontale a probei, cu ajutorul lămpii  $I$  de mare putere, care este fixat solid de vasul  $A$ . Durata  $\tau$  a impulsului de căldură se poate regla cu ajutorul declanșatorului  $D_1$  sau prin licărirea lămpii  $I$ . Diafragma  $D_2$  se regleză în așa fel, încât proba să fie iluminată numai pe suprafața ei frontală.

Aparatul folosit pentru înregistrarea curbei  $T = f(t)$  și celelalte părți ale dispozitivului experimental, nemenționate aici, sunt descrise în [2].

**Măsurători și rezultate.** Am arătat deja în [7], că pe baza formulelor (5) și (6) se obțin rezultate corecte pentru difuzivitatea termică, la temperaturi mai mari decât  $20^{\circ}\text{C}$ . Cu ajutorul dispozitivului experimental, schițat în fig. 3, am făcut mai întâi măsurători cu o serie de corpuri de probă confectionate din Al, Cu, Fe grafit, etc. pentru verificarea experimentală a formulei (7a). Suprafața frontală a corpuriilor de probă a fost acoperită cu un strat subțire de negru de fum, prin care s-a asigurat aceeași putere de absorbție la fiecare corp. Cantitatea de căldură s-a determinat luând ca etalon un corp de probă confectionat din cupru. La temperatură camerei diferența între valoarea măsurată și cea luată din literatură la corpurile studiate, nu a fost mai mare de 3–4%.

Pentru a studia posibilitatea determinării simultane a celor patru mărimi menționate ( $a$ ,  $c$ ,  $K$ , și  $h$ ), cu dispozitivul experimental descris, am ales un corp de probă de  $HgTe$  având lungimea de  $L = 9$  mm și secțiunea transversală  $S = 4,7 \times 5,8$  mm<sup>2</sup>.

În fig. 4, sănt reprezentate valorile căldurii specifice și ale coeficientului de transmisie în funcție de temperatura absolută, măsurate pentru proba menționată. Linia continuă pentru căldura specifică ( $c$ ) corespunde valorilor calculate pe baza legii Neumann-Kopp din căldurile specifice a elementelor Hg și Te, luate din [8]. Diferența între valorile calculate și măsurate, la o temperatură dată, nu întrece 5%, diferență care se poate considera că se datoră erorilor experimentale.

Valoarea obținută pentru coeficientul de transmisie  $h$ , la 20°C este aproximativ de două ori mai mare decât valoarea măsurată prin alte metode, la un corp cu secțiunea transversală circulară [2], însă trebuie să se observe că coeficientul  $h$  depinde

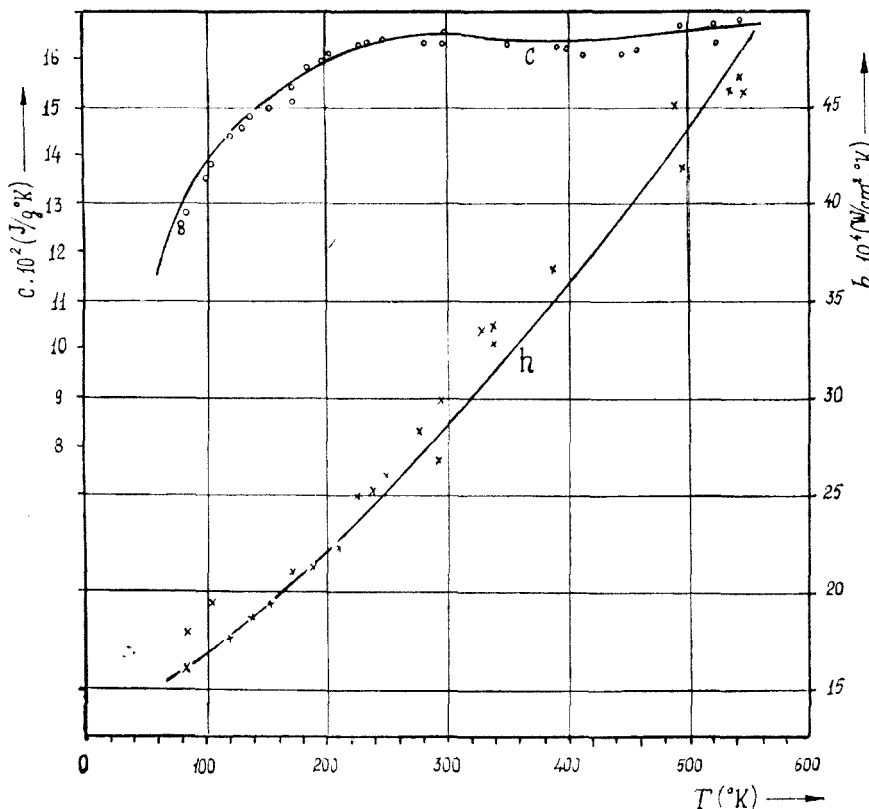


Fig. 4.

în mare măsură de forma corpului, (respectiv de forma secțiunii transversale), precum și de culoarea și structura suprafeței lui. Forma corpului de probă fiind paralelipipedică, astfel datorită muchiilor, coeficientul de transmisie este mai mare decât la un corp cu suprafață circulară. În mod asemănător și culoarea neagră a probei contribuie la mărirea coeficientului de transmisie.

Valorile obținute pentru difuzivitatea termică ( $a$ ) și conductibilitatea termică ( $K$ ) sunt reprezentate în fig. 5 în funcție de  $1/T$ .

Curba  $K(C)$  reprezintă variația conductibilității termice a HgTe după datele obținute de [9], iar  $K_2(W, R)$  și  $K_2(W - R)$  de [10], la două probe diferite.

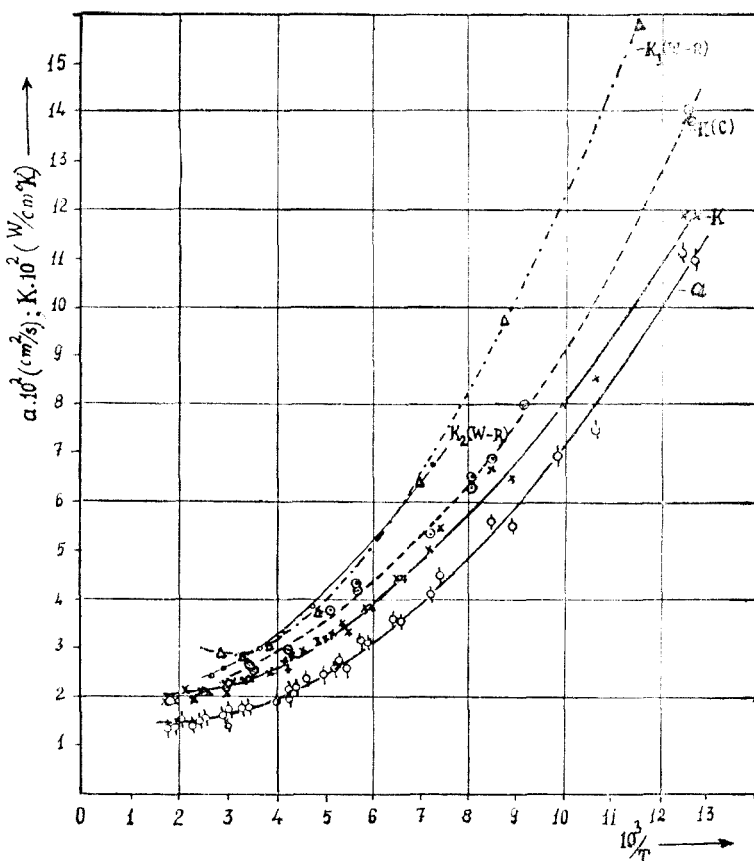


Fig. 5.

Diferența între valorile măsurate de [9] și de noi este aproximativ 16% la  $80^\circ\text{K}$  și 13% la  $300^\circ\text{K}$ . Pentru temperaturi mai mari de  $20^\circ\text{C}$ , conductibilitatea termică am determinat-o și cu o metodă staționară, dar nu am observat o diferență mai mare de 5% între valorile obținute prin această metodă și prin metoda impulsului de căldură. De aceea trebuie să presupunem că diferența între valorile lui  $K$ , măsurate de noi și de [9], respectiv [10], provine din deosebirea structurală a probelor studiate.

**Surse de erori.** Conform ipotezei, pentru difuzivitatea termică se obțin rezultate corecte din formula (5), dacă  $\xi \ll L$ , respectiv  $\tau \ll t_m$ . Dacă se consideră că  $b = 0$ , deci nu se ține seamă de transmisia de căldură, eroarea sistematică provenită din durata finită a impulsului de căldură se poate aprecia pe baza ecuației

$$\frac{a \cdot t_m}{L^2} = \frac{1}{2} \cdot \frac{\tau/t_m}{(1 - \tau/t_m) \log_n(1 - \tau/t_m)^{-1}} \quad (9)$$

dată de [1]. Dacă  $\tau/t_m \rightarrow 0$ , din această ecuație rezultă o formulă echivalentă cu (5) pentru cazul  $b = 0$ . În schimb, în cazul cînd  $\tau/t_m > 0$ , membrul drept în (9) devine mai mare decît 1/2. (De exemplu, la  $\tau/t_m = 0,1$ , valoarea acestui membru este 0,53.) Prin urmare, în cazul acesta se obține o valoare mai mică pentru  $a$  din formula (5), decât în cazul cînd  $\tau/t_m \rightarrow 0$ . Experiențele arată însă că în realitate cînd  $b > 0$ , valoarea lui  $a$  calculată din (5) nu variază esențial cu raportul  $\tau/t_m$ , aproximativ pînă la  $\tau/t_m = 0,25 - 0,30$ , dacă timpul  $t_m$  se înlocuiește cu  $t'_m = t_m - \tau/2$  în această formulă (v. fig. 6). Aceasta înseamnă de fapt că  $t_m$  trebuie să fie măsurat nu de la începutul impulsului de căldură, ci de la  $\tau/2$ .

Dacă maximul curbei  $T(L, t)$  este pronunțat, determinarea timpului  $t_m$  se poate face cu o precizie de cca. 3–4 %. În schimb, cînd maximul lui  $T(L, t)$  este atenuat, precizia este mai mică. În cazul acesta, pentru a obține o precizie mai mare în determinarea lui  $t_m$ , se aplică formula (3) dată în [7].

Durata finită (mai lungă) a impulsului de căldură nu produce eroare sistematică observabilă la determinarea căldurii specifice, și a coeficientului de transmisie. În schimb, la măsurarea temperaturii maxime  $T_m$ , deci și la determinarea lui  $C$ , o eroare considerabilă poate rezulta din cauza oscilației tensiunii electrice aplicată asupra lămpii  $I$ , cu care se produce impulsul de căldură. O altă abatere poate proveni de la reglarea diafragmei  $D_2$ . În mod asemănător, dacă contactul între plăcuța de argint și suprafața posterioară a probei nu este bun, precum și dacă stratul de negru de fum pe suprafața ei frontală nu este compact, din cauza reflexiei luminii pe această suprafață, se obține o valoare mai mică pentru  $T_m$ . Toate acestea influențează precizia la determinarea căldurii specifice. Însă primele două dintre aceste surse de erori se pot elimina dacă se aplică o sursă de lumină punctiformă și o tensiune electrică bine stabilizată asupra ei, la producerea impulsului de căldură. Trebuie remarcat că sursele de erori menționate mai înainte, cu excepția contactului între probă și plăcuța de argint, nu influențează de loc precizia la determinarea difuzivității termice.

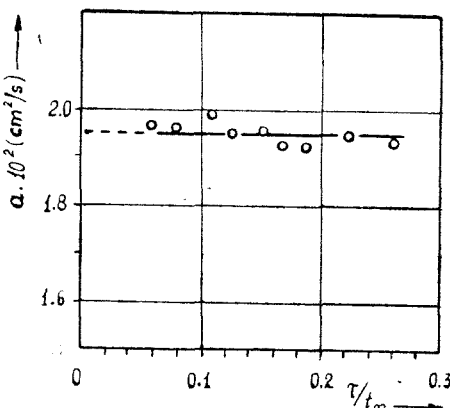


Fig. 6.

(Intrat în redacție la 5 aprilie 1967)

#### B I B L I O G R A F I E

1. T. Z. H ar m a t h y , J. Appl. Physics, **35**, 1190 (1964).
2. F. Kelemen, Z. angew. Physik, **17**, 562 (1964).
3. M. Kulakov, J. tehn. fiz., **22**, 67 (1952).
4. K. R. Kanter, J. tehn. fiz., **25**, 472 (1955).
5. W. J. Parker, R. J. Jenkins, C. P. Butler and G. L. Abbott, J. Appl. Physics, **32**, 1679 (1961).
6. F. Kelemen, F. Bota, A. Néda, St. cerc. fiz., **16**, 809 (1964).
7. F. Kelemen, Acta Physica Hungarica, **23**, 111(1967).

8. Landolt-Bornstein, *Zahlenwerte und Funktionen*, II. Band, 4. Teil, Springer Verlag, Berlin-Göttingen-Heidelberg, 1961, p. 483.
9. R. O. Carlson, Phys. Rev., **111**, 476 (1958).
10. H. Wagni und B. Reiss, Phys. Stat. Sol., **15**, 457 (1966).

МЕТОД ТЕПЛОВОГО ИМПУЛЬСА ДЛЯ ИЗМЕРЕНИЯ ТЕРМИЧЕСКИХ СВОЙСТВ КОРОТКИХ ОБРАЗЦОВ

(Резюме)

В работе описан простой метод теплового импульса, которым можно одновременно определить температуропроводность, удельную теплоёмкость, теплопроводность и коэффициент теплопередач в случае естественной конвекции на изоляторных и полупроводниковых образцах небольшого размера. В рамках измерений, при постоянной температуре, лобовая поверхность пробного тела подвергается кратковременному облучению пучком света и прослеживается изменение температуры в зависимости от времени на задней поверхности пробного тела. Измеряя максимальное значение температуры и время, при котором достигают этого максимума после передачи теплового импульса и зная количество теплоты, переданное телу импульсом, термические величины можно определить на основе установленных в работе формул.

A HEAT PULSE METHOD OF MEASURING THE THERMAL PROPERTIES  
OF THE SMALL SAMPLES

(Summary)

The authors describe a simple heat pulse method which gives the possibility to determine simultaneously the thermal diffusivity, the specific heat, the thermal conductivity and the heat transmission coefficient in the case of natural convection, at insulator samples and semiconductors having reduced sizes.

During measurements, at a constant temperature, the front surface of the sample is irradiated for a short time with a beam of light. The temperature variation depending on time at the rear surface of the sample is observed. Measuring the maximum value of the temperature and the time in which this maximum is reached after the transmission of the heat pulse and knowing the quantity of heat transmitted to the body by the pulse, the authors determine the thermal quantities based on the formulae suggested in the present paper.

# DAS STUDIUM EINIGER ELEKTRISCHEN UND MAGNETISCHEN EIGENSCHAFTEN DES SYSTEMS $\text{Cr}_2\text{O}_3$ — $\text{Li}_2\text{O}$

OLIVIA POP, L. STĂNESCU und IULIU POP

**Einleitung.** Zum Studium des elektrischen Leitungsmechanismus der Oxyde von Übergangsmetallen wird die Methode des „Doping“ des Grundoxydes mit Kationen von verschiedener Wertigkeit verwendet [1–6]. Solche Studien wurden auch mit  $\text{Cr}_2\text{O}_3$  durchgeführt. Hauffe und Block [6] hoben ein Anwachsen der elektrischen Leitfähigkeit des  $\text{Cr}_2\text{O}_3$  bei einem Zusatz von  $\text{NiO}$  hervor, ein Anwachsen das durch die Annahme der Bildung von  $\text{Cr}^{4+}$  Ionen erklärt werden kann [7]. Dasselbe Oxyd wurde auch durch „Doping“ mit  $\text{TiO}_2$  [7],  $\text{Li}_2\text{O}$  [8, 9] und mit  $\text{BeO}$  [10] studiert. Beziiglich des Einflusses des  $\text{Li}_2\text{O}$  stimmen die Angaben in der Literatur nicht überein. So fanden Fischer und Lerentz [8] bei einem Zusatz von 1,5 Mol-%  $\text{Li}_2\text{O}$ , dass kein Anwachsen der Leitfähigkeit des  $\text{Cr}_2\text{O}_3$  stattfindet, hingegen stellt Hage [9] ein merkliches Anwachsen der Leitfähigkeit (ungefähr eine Zehnerpotenz) bei einem Zusatz von 2,5 Mol-%  $\text{Li}_2\text{O}$  fest. Bei 10 Mol-%  $\text{Li}_2\text{O}$  ist das Anwachsen der Leitfähigkeit unbedeutend und die roentgenographische Analyse zeigte das Entstehen einer neuen Phase an ( $\text{LiCrO}_2$ ).

In dieser Arbeit wollen wir ein detaillierteres Studium dieses Systems, in einem grösseren Konzentrationsbereich, durch Bestimmung der elektrischen Resistivität, der magnetischen Suszeptibilität und mit elektronischer Spinspektroskopie, durchführen.

**Versuchsergebnisse. Zubereitung der Proben.** Die polykristallinischen Proben wurden aus  $\text{Cr}_2\text{O}_3$  p.a. und  $\text{Li}_2\text{CO}_3$  p.a. zubereitet. Die Substanzmischung wurde mit doppeldestilliertem Wasser behandelt, um ein Zersetzen des Karbonates herbeizuführen. Nach dem Trocknen in einer Etuve und ihrer Homogenisierung wurden die Proben in Luft, bei einer Temperatur von 1100°C, 4 Stunden lang kalziniert. Um die parasitäre RES-Absorption unter  $T_N$  auszuscheiden, wurden die Proben einer supplimentären Kalzination bei einer Temperatur von ungefähr 1000°C [11], die 14 Tage lang anhielt, unterzogen.

Es wurden folgende Mischungen zubereitet, die in Molprozenten ausgedrückt in Tabelle 1 angegeben sind.

Tabelle 1

Probenzahl	1	2	3	4	5	6	7	8	9
$\text{Li}_2\text{O}$ $\text{Cr}_2\text{O}_3$	0,5 99,5	1 99	2 98	2,5 97,5	3 97	4 96	6 94	30 70	50 50

Die Proben mit einem kleinen Lithiumgehalt, hatten eine grüne Farbe, die für das  $\text{Cr}_2\text{O}_3$  charakteristisch ist; jene mit einem  $\text{Li}_2\text{O}$ -Gehalt von 30 und 50 Mol-% hatten eine dunklere Farbe. Die letztgenannte Probe zeigte ein rein kristallisches Aussehen.

Die Proben wurden bei  $p = 7 \text{ t/cm}^2$  zu Pastillen gepresst. Hernach wurde die Pastillen bei einer Temperatur von  $1300^\circ\text{C}$ , 5 Stunden lang gesintert, abgeschliffen und durch Verdampfen im Vakuum versilbert. Der Versilberungsprozess wurde so lange wiederholt, bis der Widerstand der Silberschichte 0,2 Ohm nicht überschritt.

*Elektrische Widerstandsmessungen.* Die Widerstände wurden mit einer Präzisionsbrücke ORION TR 2102 und einem Megohmmeter TESLA B.M.-283 gemessen, hingegen wurde für die Temperatur der Proben in der Anlage ein Thermo element Pt-PtRh und ein Potentiometer PPTN-1 verwendet.

Es wurde die Abhängigkeit des Widerstandes von der Temperatur festgestellt und die Abhängigkeit der  $\log \rho$ -Funktion von  $10^3/T$  graphisch dargestellt (Abb 1, 2).

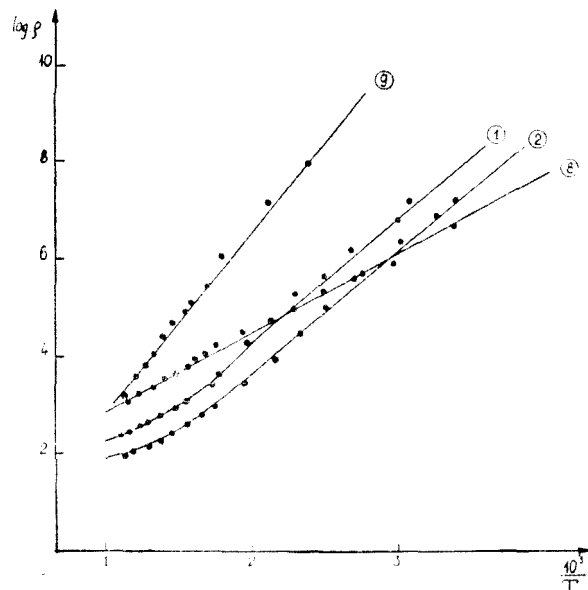


Abb. 1.

Aus den Abbildungen ist ersichtlich, dass bis zu einer gewissen Temperatur (ungefähr  $700^\circ\text{K}$ ) eine lineare Abhängigkeit vorliegt. Bei höheren Temperaturen ist bei dem grössten Teil der Proben ein langsamerer Abfall der Resistivität mit dem Anwachsen der Temperatur feststellbar, der mit einer entsprechenden Änderung der Neigung veranschaulicht ist. Diese Neigungsänderung ist für das  $\text{Cr}_2\text{O}_3$  charakteristisch [12, 13]. Probe Nr. 7 (mit 6 Mol-%  $\text{Li}_2\text{O}$ ) ist die letzte, wo diese Neigungsänderung noch feststellbar ist, hingegen verschwindet diese Änderung im Falle grösserer Konzentrationen (Proben 8 und 9). Aus den semik

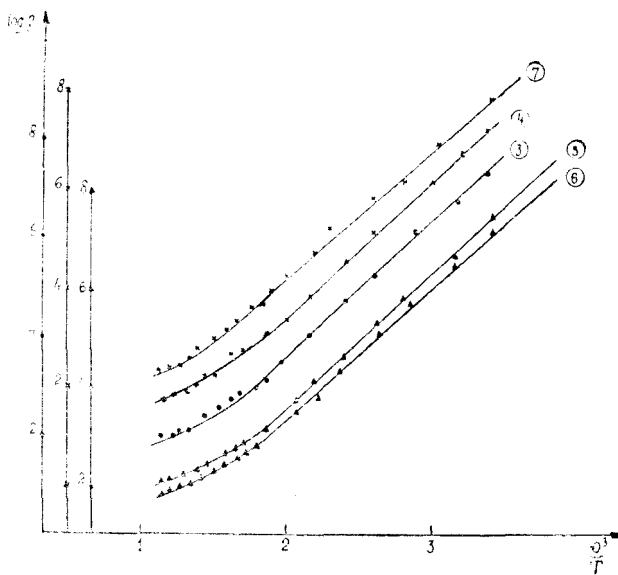


Abb. 2.

garithmischen Geraden (Abbildung 1, 2) wurden die Aktivierungsenergien mit der nachfolgenden Gleichung berechnet:

$$\Delta E = 0,198 \frac{\Delta \log \phi}{\Delta \left( \frac{10^3}{T} \right)} \text{ eV} \quad (1)$$

wo

$$\phi = \phi_0 \exp \left( -\frac{\Delta E}{T K} \right) \quad (2)$$

In Abbildung 3 sind die Isothermen (20, 100, 250, 500°C) wiedergegeben, die die Abhängigkeit des  $\log \phi$  von der Komponentenkonzentration darstellen. Es wird eine leichte Neigung zum Abfall des  $\log \phi$  bei einem Zusatz von Li<sub>2</sub>O bis zu einer 4 molprozentigen Li<sub>2</sub>O-Konzentration festgestellt. Wie es zu erwarten war [14], zeigt  $\log \phi$  bei einer entsprechenden LiCrO<sub>2</sub>-Zusammensetzung einen Höchstwert. Zum Unterschied von Fischer und Lorentz [8], die keine Resistivitätsänderung bei Li<sub>2</sub>O-Zusatz feststellten, fanden wir einen Abfall von einer halben Zehnerpotenz bei einem 4 molprozentigen Li<sub>2</sub>O-Zusatz. Dieser Abfall ist aber kleiner als der von Hage1 bei einem 2,5 molprozentigen Li<sub>2</sub>O-Zusatz festgestellte.

Aus den semilogarithmischen Geraden (Abb. 1, 2) wurden mit Hilfe der Gleichung (1) die Werte der Aktivierungsenergien für die beiden Neigungen der Geraden berechnet. Die Ergebnisse sind in Abbildung 4 dargestellt, wo die mit  $\Delta E_1$  bezeichnete Kurve den tiefen Temperaturbereich und jene mit  $\Delta E_2$  bezeichnete den hohen Temperaturen entspricht.

So wie es zu erwarten war, geht aus der Abbildung hervor, dass die Aktivierungsenergien, die dem tiefen Temperaturbereich entsprechen ( $\Delta E_1$ ), eine

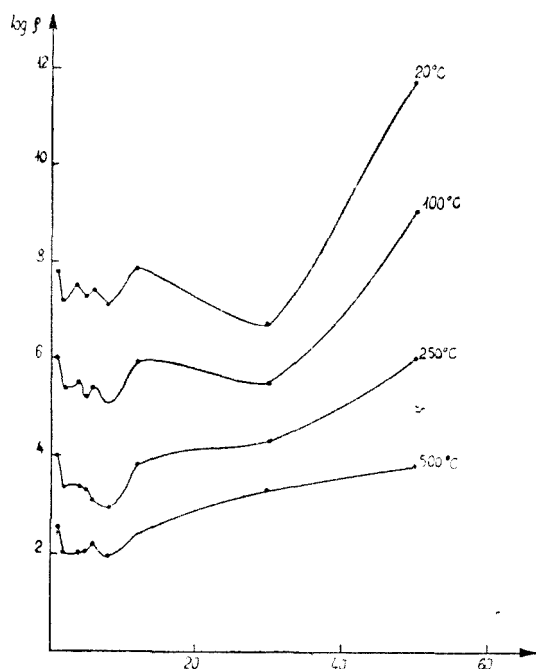


Abb. 3.

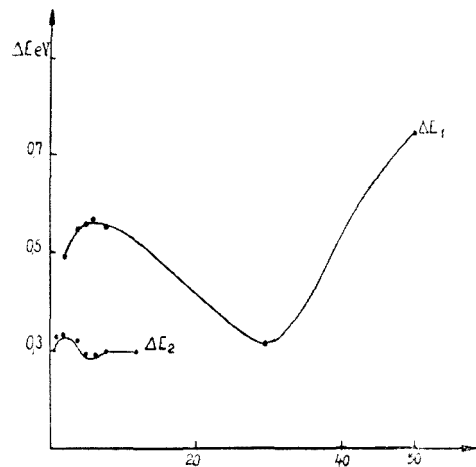


Abb. 4.

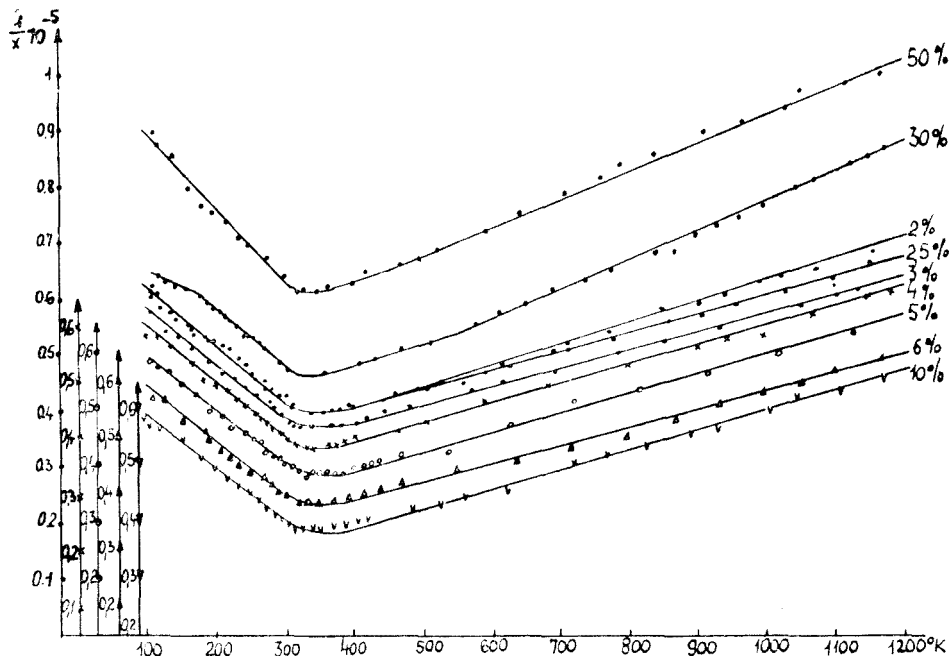
viel grössere Abhängigkeit von der Konzentration aufweisen, als jene die dem hohei Temperaturbereich ( $\Delta E_2$ ) angehören. Umso mehr können wir in Anbetracht der für  $\Delta E_2$  bei reinem  $\text{Cr}_2\text{O}_3$  gefundenen Werte, die zwischen 0,29–0,32 eV [13] variieren, behaupten, dass die Werte für  $\Delta E_2$  aus Abbildung 4 der Eigenleitfähigkeit des  $\text{Cr}_2\text{O}_3$  entsprechen (unsere Werte des  $\Delta E_2$  sind zwischen 0,29–0,33 eV enthalten).

Wir nehmen an, dass sowohl aus den Ergebnissen unserer Bestimmungen wie auch bei H a g e l [9] die Erklärung des Resistivitätsabfalles bei einem  $\text{Li}_2\text{O}$ -Zusatz nicht im Erscheinen von  $\text{Cr}^{4+}$  Ionen zu suchen ist, da in diesem Falle die Änderung viel grösser wäre, so wie es der Fall bei einem  $\text{NiO}$ -Zusatz [6, 7] ist, wo die Änderung von der Grösse einer 3–4-maligen Zehnerpotenz bei einer 2 molprezigen  $\text{NiO}$ -Konzentration festgestellt wurde. Wenn die Substitution des  $\text{Cr}^{+3}$  mit  $\text{Li}$  zur Induktion von  $\text{Cr}^{5+}$ -Ionen führen würde, müsste kein merklicher Resistivitätsabfall auftreten, da der Elektronenaustausch zwischen Ionen desselben Elementes, die sich untereinander mit mehr als einer Ladung unterscheiden, energetisch nicht günstig ist [15]. Wenn aber anderseits keine Bildung einer Substitutionslösung, sondern nur eine mechanische Mischung zwischen zwei verschiedenen Phasen stattfindet, müsste die Beweglichkeit der Träger beeinflusst sein, was zu einen leichten Anwachsen der Resistivität führen würde. Folglich ist die Art, wie das  $\text{Li}_2\text{C}$  die elektrische Leitfähigkeit des  $\text{Cr}_2\text{O}_3$  beeinflusst, noch ein offenes Problem.

*Magnetische Messungen.* Die magnetische Suszeptibilität wurde in einem Temperaturintervall zwischen 100–1200 °K mit Hilfe einer Suszeptibilitätswaage mit mechanischer Kompensation, wie sie in [16] beschrieben ist, gemessen.

Alle Proben weisen in dem studierten Temperaturintervall ein antiferromagnetisches Betragen auf, mit einer stark ausgesprägten Anomalie in der Nähe de-

Néelschen Temperatur, die für das Cr<sub>2</sub>O<sub>3</sub> charakteristisch ist. In Abbildung 5, wo die Abhängigkeit der reziproken Suszeptibilität  $1/\chi$  (T) von der Temperatur dargestellt ist, sieht man, dass in der Nähe der Néelschen Temperatur ein Bereich von ungefähr 100° auftritt, in welchem die Suszeptibilität sehr wenig von der Temperatur abhängig ist.



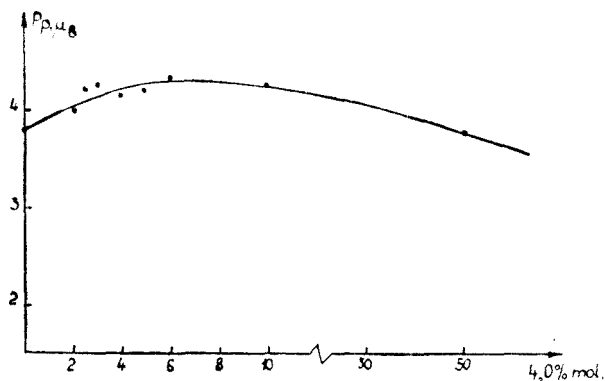
A b b. 5.

Im Falle des Cr<sub>2</sub>O<sub>3</sub> ist die Suszeptibilität in diesem ganzen Bereich vom magnetischen Feld abhängig, eine Tatsache, die eine besondere Struktur über die Néelsche Temperatur voraussetzt. Im paramagnetischen Bereich weist die reziproke Suszeptibilität eine lineare Abhängigkeit von der Temperatur auf und folgt somit dem Curie-Weiss'schen Gesetz.

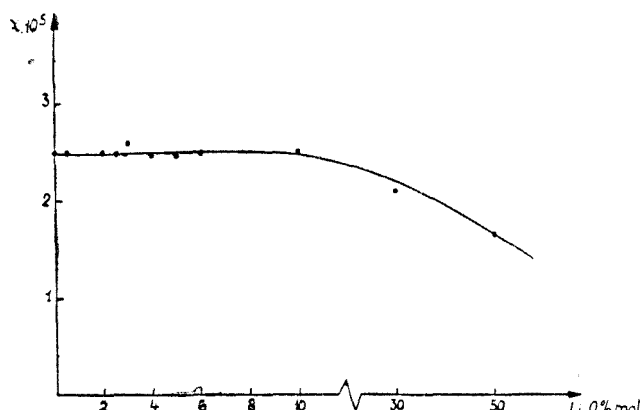
$$\chi = \frac{C}{T + \theta_p}$$

wo C die Curie'sche Konstante, T die absolute Temperatur, und  $\theta_p < 0$  den paramagnetischen Curie'schen Punkt darstellt. Alle untersuchten Proben wurden einer ionischen Diamagnetismuskorrektur unterworfen, die einen Wert von ungefähr  $0,038 \cdot 10^{-6} \text{ cm}^3/\text{g}$  hat.

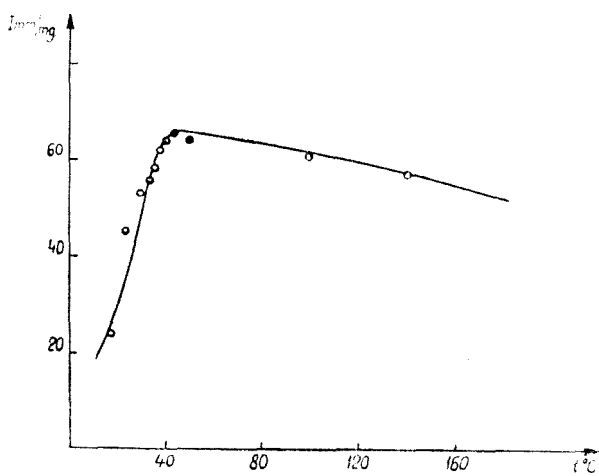
Aus den Curie'schen Konstanten wurde der Wert des effektiven magnetischen Momentes pro Cr<sup>3+</sup> Ion berechnet, der mit dem bis über 10 Mol-% Li<sub>2</sub>O-Zusatz ein beträchtliches Anwachsen aufweist, wie aus Abbildung 6 ersichtlich ist, wo die Abhängigkeit des effektiven magnetischen Momentes von der Konzentration dargestellt ist. Die Kurve weist ein Maximum zwischen 6–10 Mol-% Li<sub>2</sub>O auf. Bei grösseren Verdünnungen als 30 Mol-% Li<sub>2</sub>O und für die chemische Verbindung



A b b . 6.



A b b . 7.



A b b . 8.

$\text{LiCrO}_2$  (50 Mol-%) kehrt das magnetische Moment zu dem Wert von  $3,7\mu_B$  zurück, das dem  $\text{Cr}^{3+}$ -Ion eigen ist. Diese Anomalie des magnetischen Momentes deutet eine zusätzliche Interaktion zwischen den Komponenten deren Beschaffenheit noch nicht völlig geklärt werden konnte, an, umso mehr da der  $\text{Li}_2\text{O}$ -Zusatz bis zu 10 Mol-% die magnetische Suszeptibilität nicht verändert. Der Abfall der magnetischen Suszeptibilität macht sich erst bei 30 Mol-% bemerkbar, als Folge einer starken diamagnetischen Verdünnung, wie es aus Abbildung 7 ersichtlich ist, wo die Abhängigkeit der magnetischen Suszeptibilität bei Zimmertemperatur ( $293^\circ\text{K}$ ) von der Konzentration, dargestellt ist.

Die paramagnetische Resonanzabsorption wurde mit einem JES-3B Spektrometer (X - Band) im Temperaturbereich  $77^\circ$  –  $423^\circ\text{K}$  studiert. Als Folge der thermischen Behandlung ist das „parasitäre“ Signal im antiferromagnetischen Bereich ganz verschwunden, die Absorption beginnt erst in der Nähe der Néelschen Temperatur. Aus der Abhängigkeit der Amplituden der RES-Spektren von der Temperatur konnte der Wert der Néelschen Temperatur, der ungefähr bei  $313^\circ\text{K}$  liegt, für alle Proben genauer begrenzt werden, so wie es aus Abbildung 8 ersichtlich ist, wo diese Abhängigkeit für die Probe mit 50%  $\text{Li}_2\text{O}$  dargestellt wurde.

Diese Tatsache wird auch durch die Abhängigkeit der Linienbreite  $\Delta H$ , die einen starken Abfall bei dem Néelschen Punkt zeigt, von der Temperatur bekräftigt, wobei auch das Verschwinden der Austauschinteraktionen, das hauptsächlich zur Verbreitung der Linie beiträgt, angezeigt wird (Abbildung 9).

### Zusammenfassung.

— Die Resistivitätsbestimmungen hoben den Einfluss des Li<sub>2</sub>O-Zusatzes hervor, der einen Höchstwert bei 4 Mol-% Li<sub>2</sub>O erreicht.

— Es wurde festgestellt, dass die Änderung der Neigung bei hohen Temperaturen, die auch beim Cr<sub>2</sub>O<sub>3</sub> gefunden wurde, der Eigenleitfähigkeit zugeschrieben werden kann.

— Die Abhängigkeit der magnetischen Suszeptibilität von der Temperatur zeigt, dass der Li<sub>2</sub>O-Zusatz bei den untersuchten Proben keinen merklichen Einfluss auf die antiferromagnetische Interaktion hat.

— Die Probe, die der Verbindung LiCrO<sub>2</sub> entspricht, und in der Form von dunkelfarbigen Kristalliten, völlig verschiedenen von den übrigen Proben erhalten wurde, zeigte antiferromagnetische Eigenschaften mit einer Néelschen Temperatur die sich jener des Cr<sub>2</sub>O<sub>3</sub> nähert.

— Ein ausführlicheres Studium dieser Verbindung soll in der Zukunft erfolgen.

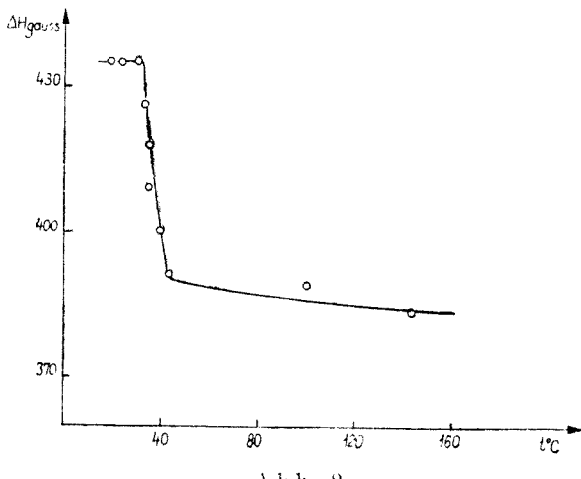


Abb. 9.

(Eingegangen am 7. April 1967)

### LITERATUR

1. E. J. Verwey, P. W. Haaijman, F. C. Romeijn, F. C. Chem. Weekbl., **44**, 705 (1948).
2. E. J. Verwey, Bull. Soc. Chim., D **94**, Paris, 1949.
3. E. J. Verwey, P. W. Haaijman, F. C. Romeijn and G. W. van Oosterhout, Philips Res. Rept., **5**, 173 (1950).
4. E. J. Verwey, *Poluprovodnikovye materialy* (1954) Moskva p. 201.
5. R. R. Heikes and W. P. Johnston, J. Chem. Phys., **26**, 582 (1957).
6. K. Hauffe and J. Block, Z. Physik Chem., **193**, 232 (1951).
7. K. Hauffe, *Raktionen in und an festen Stoffen*, Berlin—Göttingen—Heidelberg (1955).
8. W. A. Fischer and G. Lorenz, Archiv. Eisenhüttenw., **28**, 497 (1957).
9. W. C. Hagel, J. Appl. Phys., **36**, 2586 (1965).
10. I. Ursu, O. Pop, L. Stănescu și Iuliu Pop, Rev. Roum. Phys., **11**, 751 (1966).
11. Y. W. Kim, D. D. Hearn, Appl. Physics Letters **2**, 36 (1963).
12. D. M. Bevan, I. P. Shelton și J. S. Anderson, J. Chem. Soc., 1729 (1948).
13. N. Nachman și L. Cojocaru, IFA IS 21 (1962) (préprint).
14. V. I. Ereminco, V. E. Listovnicu, Ž. neorg. chim., **4**, 2544 (1959).
15. J. P. Suchet, *Chimie physique des semiconducteurs*, Paris, 1962.
16. Iuliu Pop, V. I. Čečernikov, Pribyrny i tekhnika experimenta, **5**, 180, (1964).

STUDIUL UNOR PROPRIETĂȚI ELECTRICE ȘI MAGNETICE A SISTEMULUI  
 $\text{Cr}_2\text{O}_3-\text{Li}_2\text{O}$   
(R e z u m a t)

S-a studiat sistemul  $\text{Cr}_2\text{O}_3-\text{Li}_2\text{O}$  în intervalul de concentrații 0,5—50%, mol  $\text{Li}_2\text{O}$  prin determinări de rezistivitate electrică, în intervalul de temperaturi 293—900°K. S-a discutat influența adăugării de  $\text{Li}_2\text{O}$  și mecanismul conductibilității la temperaturi ridicate.

Studiul magnetic efectuat de la temperatura 77°—1200°K a pus în evidență caracterul antiferomagnetic al sistemului.

• Cu ajutorul determinărilor RES s-au stabilit unele caracteristici antiferromagnetice mai ales pentru proba corespunzătoare compusului  $\text{LiCrO}_2$ .

ИССЛЕДОВАНИЕ НЕКОТОРЫХ ЭЛЕКТРИЧЕСКИХ И МАГНИТНЫХ СВОЙСТВ  
СИСТЕМЫ  $\text{Cr}_2\text{O}_3-\text{Li}_2\text{O}$   
(Р е з ю м е)

Авторы изучили систему  $\text{Cr}_2\text{O}_3-\text{Li}_2\text{O}$  в интервале концентраций 0,5-50% моль  $\text{Li}_2\text{O}$  посредством определений удельного сопротивления в температурном интервале 293-900°K. Исследовало влияние прибавки  $\text{Li}_2\text{O}$  и механизм электропроводности при высоких температурах.

Магнитное исследование, проведенное в интервале температур от 77°-1200°K, выявило антиферомагнитный характер системы.

При помощи определений ЭПР были установлены некоторые антиферромагнитные характеристики, главным образом для пробы, соответствующей соединению  $\text{LiCrO}_2$ .

DINTR-UN CAIET DE ȘCOALĂ AL LUI PÁPAI PÁRIZ FERENC  
de  
**VICTOR MARIAN**

Biblioteca Academiei Republicii Socialiste România, Filiala Cluj, posedă dife-  
rite caiete de școală din secolul al XVII-lea, ale lui Pápai Páriz Ferenc din timpul  
cînd era elev al Colegiului reformat din Aiud sau student la universitățile din Apus.  
Unul din ele cuprinde lecțiile de fizică, dictate de profesorul său Enyedi Sámuel  
în anul 1665.

E n y e d i S á m u e l (1627—1671) s-a născut probabil la Aiud, unde și-a  
făcut și primele studii. Plecînd în străinătate a studiat la Utrecht și Franeker,  
trecîndu-și doctoratul în medicină cu Regius<sup>1</sup> la Utrecht, cu o teză tipărită acolo  
în 1651. După ce s-a întors în patrie a funcționat ca profesor apoi ca medic la Oradea  
pînă ce acest oraș a fost ocupat de turci. Cîrva timp a trăit la curtea lui Rhédey  
din Hust, de unde în 1664 a fost chemat ca profesor de filozofie la Colegiul refor-  
mat din Aiud, unde a funcționat pînă în 1669, cînd a trecut ca paroh la Vințul  
de jos. Enyedi a tipărit lucrări de medicină, teologie și pedagogie.

P á p a i P á r i z F e r e n c (1649—1716)<sup>2</sup>, născut la Dej, și-a început studiile  
la Tîrgul-Mureș și le-a continuat la Aiud. Fiind trimis pentru completarea studiilor  
în Germania, a audiat cursuri la universitățile din Leipzig, Frankfurt, Marburg,  
Heidelberg și Basel, unde și-a luat doctoratul în medicină. Întorcîndu-se în țară, în 1680  
a fost numit profesor la Colegiul din Aiud, devenind apoi și directorul acestuia. În  
același timp a funcționat ca medic.

Pápai a fost un erudit, ocupîndu-se cu probleme de teologie, istorie, lingvis-  
tică, etc. Deși a predat fizica la Colegiu, probabil în sens cartezian, totuși nu a  
rămas de la el nici o lucrare tipărită sau manuscris care să se ocupe cu această  
disciplină.

După distrugerea Colegiului lui Bethlen, din Alba-Iulia în 1658, profesorii  
și elevii acestuia s-au refugiat la Cluj, unde au fost găzduiți pînă în 1662, cînd prin-  
cipalele Apaffi Mihály a dispus transferarea lui la Aiud. Reorganizarea școlii a început  
în același an sub conducerea directorului Vásárhelyi Péter. Sub noua sa formă Cole-  
giul cuprindea o școală primară, un gimnaziu cu 6 clase, un curs de filozofie de  
3 ani și unul de teologie de doi ani.

<sup>1</sup> M. Zemplén Jolán, *A fizika története Magyarországon*, Budapest, vol. I, 1961, p. 294.

<sup>2</sup> P. Szathmáry Károly, *A gyulafehérvári-nagyenyedi Bethlen-Főtanoda története*, Nagy-  
Enyed, 1868, p. 152.

Enyedi a funcționat la Aiud ca profesor de filozofie, care cuprindea însă sin atât fizica cît și matematicile, după cum se vede dintr-un alt caiet de școală al lui Pápai Páriz, din 1666/7.

Caietul de școală care conține lecțiile de fizică ale lui Enyedi face parte dintr-un coligat manuscris, legat în piele, de format  $100 \times 160$  mm, scris în latinește cu cerneală neagră, cu litere mărunte, greu de citit, și are 397 de pagini numerotate. El poartă titlul *Physica seu Philosophia Naturalis quam ex Professione Clarissimi ac Doctissimi Dni Samueli Enyedi Md. Doctoris in hanc seriem delineavit A 1665. In Coll. N. Enyedicensi Franciscus Pápai*. Manuscrisul are cîteva note marginale (de asemenea latinești) scrise cu altă cerneală, care abia se mai pot descifra.

Materia fizicii lui Enyedi este împărțită în 27 de capitole, având următoarele titluri :

Cap.	I nu are titlu.	Cap.	XIV De Stirpibus.
„	II De motu.	„	XV „ Animalibus.
„	III „ aspectabilis Mundi Fabrica.	„	XVI „ Actionibus Animalium.
„	IV „ Coelo primo nostro ejusque Planetis, Cometis et Solis maculatis.	„	XVII „ Respiratione
„	V „ Tellure.	„	XVIII „ Distributione Animalium.
„	VI „ Luna	„	XIX „ Nutritione Animalium.
„	VII „ Ecclipsibus Solis et Lunae.	„	XX „ Generatione Animalium.
„	VIII „ Aqua et Terra.	„	XXI „ Actionibus Animalium sensitivi et motivis.
„	IX „ Aestu Maris.	„	XXII „ Bestiis.
„	X „ Generatione et Corruptione, Temperamentis et Qualitatibus.	„	XXIII „ Homine.
„	XI „ Meteoribus.	„	XXIV „ Judicio.
„	XII „ Fossilibus.	„	XXV „ Affectionibus Animaliae.
„	XIII „ Corporibus Vivis.	„	XXVI „ Voluntate.
		„	XXVII „ Sexu et Aetatibus

Aceste titluri ne revelă conținutul lecțiilor : ele cuprind nu numai fizica însă și astronomia, meteorologia, științele naturale și psihologia, care aparțineau pe atunci fizicii. În acest studiu ne vom mărgini numai la primele două capitole, care tratează chestiuni de fizică.

Fizica adoptată de Enyedi este cea carteziană, ca și a lui Apáczai Cseri János Dar spre deosebire de acesta din urmă, care s-a ghidat și după *Principia Philosophiae* a lui Descartes, din 1644, Enyedi îl urmărează numai pe Regius.

*Henri Le Roy* (1598–1679), cunoscut mai ales sub numele latinizat de *Henri cus Regius*, medic olandez, se număra printre primii adepta ai filozofiei lui Descartes. În curînd însă, influențat de Gisbertus Voetius, și-a schimbat atitudinea, publicînd în 1646 *Elementa physices*, în care interpretază filozofia lui Descartes introducînd elemente materialiste cum este explicarea psihicului ca o particularitate specială a materiei. Marx îl caracterizează drept inițiateoral filozofiei care avea să ducă la materialismul francez al secolului al XVIII-lea.

Regius nici în fizică nu l-a urmat în mod riguros pe Descartes. Nu numai felul său de expunere este diferit de al maestrului său, carteza sa având mai mult caracterul de manual didactic care rezumă fizica lui Descartes, ci se deosebește de *Principia philosophiae* și prin anumite concepții diferite de ale maestrului. Astfel în statică Regius reintroduce vitezele, pe care Descartes le înlătuise cu deplasări. Apoi Regius susține deschis mișcarea diurnă a Pământului, pe care Descartes o camuflasează prin mijlocirea vîrtejurilor sale.

O simplă confruntare a textelor ne lămurește în ce măsură a folosit Enyedi carteza lui Regius. Fie de ajuns să comparăm primele propoziții ale cărții lui Regius cu cele din caietul lui Pápai.

### Regius

*Physica est doctrina rerum, quae natura sunt praedita atque propterea naturales dicuntur.*

*Generalis omnium rerum naturalium est affectio; quae pro communissima rerum lege haberi potest; quod per divinam concurrentem potentiam unum quodque cum suis ad se pertinentibus manet in illo statu in quo est donec ab alio inde disturbetur. Nihil enim sibi ipsi adversatur: nec quicquam nisi ab adversario suo destituitur.*

Așadar legea generală a naturii este principiul inerției, exprimat de Descartes sub forma de conservare a stării de repaus și a celei de mișcare rectilinic și uniformă, din care însă astă Regius cit și Enyedi mențin numai pe cea dintâi.

Natura este definită ca un „principiu intern și corporal de a acționa, lucra și gîndi”. Mintea, deși nu este propriu-zis corporală, totuși e un principiu intern, corporal, „fiind strîns unită cu corpul, și își îndeplinește operațiile prin organele corpului”. Natura este dublă: materia lucrurilor naturale și forma lor. „Materia este corpul considerat simplu sau universal; din ea sunt alcătuite toate lucrurile naturale prin singura dispoziție a diverselor părți, cum sint: apa, rădăcinile, animalele, etc.”

Esența materiei constă numai în lungime, lățime și adunzime, nu în celealte calități. „La extensiune trebuie să distingem modurile extinderii, care nu sunt alteva decât anumite mărimini ale corpului extins”. După ce se resping obiectările împotriva acestei definiții carteziene a materiei și se neagă existența vidului, se adaugă: „Aceaștă materie este substanță, fiindcă există priu sine, și tot ce este substanțial în lucrurile naturale, provine din această materie”.

Materia este substanță perfectă și se împarte în părți sensibile și insensibile. Insensibile sunt acelea pe care din cauza micimii lor nu le putem percepe cu simțurile, ci numai cu intelectul, cum sunt creșterea ierburiilor și animalelor. „Acesta particule nu sunt atomi în sensul lui Democrit, fiindcă nu au aceeași mărime și formă, prin urmare sunt divizibile”. Părțile sensibile sunt alcătuite din multe particule insensibile, cum este o picătură de apă, un deget, etc.

„Forma lucrurilor naturale este aceea prin care se constituie cu materia lucrurilor naturale și prin care se deosebesc de altele”. Ea este generală sau specială. Cea generală, numită și materială, cuprinde mișcarea sau repausul, poziția figurii și mărimea părților lucrurilor naturale care conving constituției lor. Această formă pretinde și existența accidentelor, fiindcă cuprinderea numai a uneia sau alteia nu e suficientă, de exemplu micimea particulelor de apă nu este suficientă să formeze apă, ci se cere ca ele să fie alungite, subțiri, sensibile și să se agite în mod diferit. Aceste principii ale formei materiale nu sunt numai suficiente, ci și necesare „fiindcă

### Pápai

1. *Physica est sciencia rerum Naturalium; haec definitio sumitur ex objecto.*

2. *Lex communissima rerum Naturalium est quod per divinam concurrentem potentiam unum quodque cum suis ad se pertinentibus manet in illo statu in quo est donec ab alio inde disturbetur. Ratio quia nihil sibi adversus, sive quisquam nisi ab adversario suo distruiatur.*

prin ele se explică cu claritate nu numai calitățile oculte, ci și cele evidente. Această formă a materiei este accidentală, însă esențială lăcerurilor naturale, deoarece constituie și le distinge de celelalte. De exemplu forma orologiului este accidentală pentru fier fiindcă fierul poate să nu aibă acea formă, dar pentru orologiu este esențială, pentru că fără ea nu se poate numi orologiu. „*Aceste principii sunt moduri sigure ale substanței corpului, căci prin ele nu se adaugă sau se scade din corp, acela, adică corpul numai cîștigă moduri diferite de constituție*”. Capitolul se încheie respingerea obiecției că modurile nu sunt entități.

Capitolul II începe cu definiția carteziană a mișcării. „Prin mișcare, potrivit definiției formei, înțelegem numai mișcarea locală, fiindcă alta nu există în corpuri.

În consecință toate celelalte mișcări ca: generarea și distrugerea, creșterea, scăderea etc. nu sunt decât mișcări locale. Astfel încălzirea se naște prin aceea că particulele în repaus care se mișcă încez se pun în mișcare rapidă. Enyedi adaugă de la sir următoarele: „Astfel în generarea de ex. a cășului în putrefacție [părțile] se orînduiesc prin mișcare locală în vierni”.

„Mișcarea corpului este translația din loc în loc adică din vecinătatea unor corpi în vecinătatea altora”. Aici Enyedi se simte iarăși obligat să adauge: „pri impulsul (impetus) imprimat și inherent!” ceea ce nu se află la Regius; Mai mult Enyedi definește impulsul astfel: „Prin impulsul imprimat și inherent se înțeleg acea forță care există în corpul mișcat, și după cum acea forță devine mai mare sau mai mică, la fel corpul se mișcă mai mult sau mai puțin”, reintroducând astfel *impetus*-ul medieval.

În ce privește natura mișcării, se spune: „[Fiindcă] materia universului a fost creată de Dumnezeu și orînduită [în starea] în care se găsește, din legea imuabilității naturii [urmează că] ea rămîne perpetuu în aceeași cantitate; căci nu există nici un motiv pentru care Dzeu să anihileze vreo parte a naturii, căci altfel nu poate părea, fiind substanță”. Intercalarea în această propoziție a principiului rațiunii suficiente este iarăși a lui Enyedi. Tot el formulează apoi, independent de Regius principiul conservării cantității de mișcare scriind: „Astfel mișcarea în crearea diverselor părți ale materiei universale (Universae) a fost introdusă într-o anumită cantitate și se conservă în ele datorită aceleiași legi a naturii și în aceeași cantitate“.

După cum nici un corp nu se poate mări sau micsora decât prin adăugă sau pierdere a materiei ce există înainte, la fel nici un mobil nu începe sau încrețează să se miște fără a primi sau ceda mișcare ce există mai înainte. Prin urmare, după cum părțile materiei se pot transfera, iar dacă nu se transferă rămân pe loc potrivit legii naturii, la fel și mișcarea poate trece de la un mobil la altul sau rămîne în el. De aici se trage concluzia că mișcarea nici nu se naște nici nu se distrugă, ci numai trece de la un corp la altul. Așadar nu numai materia universului se conservă, ci și mișcarea ei. Pentru ilustrarea acestui principiu Enyedi aduce următorul exemplu că nu se găsește la Regius: „Tăietorul de lemn de aceea obosește, fiindcă mișcarea sa se comunică securii, lemnului”.

În ce privește comunicarea mișcării se expun legile mișcării după Descartes „Mișcarea se transmite printr-un impuls efectuat destul de intens, asupra altuui corp ce-i stă în cale sau care-l oprește. Impulsul este destul de intens dacă poate învinge repausul sau mișcarea înceată a altui corp.”

Se deosebesc următoarele cazuri:

1. Corpul mișcător își transmite întreaga mișcare, astfel că el rămîne în repaus iar cel mișcat primește o viteză egală.

2. Corpul mișcător comunică jumătate din mișcarea sa altuia care se află în repaus, astfel că ambele se mișcă cu jumătatea vitezei ce a avut-o primul corp.

3. Corpul mișcător nu comunică nici o mișcare obstacolului, cum e cazul mingii care lovește un perete, sau al razelor solare care cad pe suprafața apei sub un unghi gal cu cel de întoarcere.

Corpurile mai mari își imprimă mai ușor mișcarea celor mai mici decât invers. O mișcare transferată de unul sau mai multe coruri altui corp este proprie aceluia care o primește, chiar dacă vine de la mai multe coruri.

Enyedi clasifică mișcările după cum urmează :

1. Mișcarea este simplă ca : o ascensiune, coborâre sau progresiune simplă.
2. Compusă, fie din coborâre și progresiune, fie din ascensiune și progresiune.”

Ca exemple se dau pentru cazul întâi: căderea unei sfere pe un plan înclinat, și a unei sfere lăsată să cadă din vîrful catargului unei corăbii. Iar pentru cel de al doilea: urcarea pe un plan înclinat, sau pe coasta unui munte.

Mișcarea unui corp mic poate fi rapidă dar nu intensă, după cum mișcarea unui corp mare poate fi intensă chiar dacă e înceată. Prin urmare un corp mare ce se mișcă încet lovind un corp mic poate să-i dea o viteză mare, cum face apa care, curgând încet pe un spațiu larg, ajungând la o strîmtoare, poate produce o mișcare rapidă a vîrtejurilor. Invers, viteză mare a unui corp mic ce se mișcă pe un spațiu mare poate produce asupra unui corp mare pe un drum scurt o mișcare mare dar înceată, cum se întâmplă la pîrghie, scripeți și roata cu sul. Urmează legea generală potrivită areia „cu cît crește încrezărea corpului mișcat și viteză celui mișcător, cu atât se imprimă corpului mișcat o mișcare mai intensă prin viteză celui ce mișcă.” În consecință, fiindcă în mașini raportul vitezei corpului mic față de încrezărea celui mare poate varia la infinit, cu o mașină orice viteză a corpurilor poate fi mărită. De aici trage concluzia : „Corpurile mai mari se pot potrivi în aşa fel cu cele mai mici ca și corpul mai mic nu poate primi o viteză mai mare de nimicire de la corpul mai mare, nici corpul mai mare nu poate primi o mișcare mai mare de nimicire de la corpul mai mic, de unde rezultă că potrivit legii naturii rămîn în repaus, căci nu există o cauză suficientă pentru mișcare.”

Pentru exemplificarea celor de mai sus se arată condițiile de echilibru ale cîtorva nașini simple. Remarcăm că aici întîlnim pentru întîia dată în Transilvania tratate cîștiuni de fizică experimentală. Enyedi le-a luat de la Regius, care le-a imprumutat din manuscrisele lui Descartes. Dar în timp ce Regius tratează pe larg pîrghia, planul înclinat, scripeții, roate cu sul, șurubul și pana de crăpat, Enyedi se ocupă cu ele numai succint și fără a se folosi de figuri. Cel puțin aşa rezultă din aiciul lui Pápai.

Pîrghiiile sănt de două genuri : întîiul și al doilea. O pîrghie poate ridica o greutate cu atât mai mare cu cît viteză brațului mai lung este mai mare decât a celui mai scurt, de care atîrnă greutatea. Această regulă nu e de loc în spiritul lui Descartes.

La planul înclinat se consideră cazul simplu cînd lungimea planului este de două ori mai mare decât înălțimea lui. Spre deosebire de Regius, care dă o demonstrație bazată tot pe viteză, Enyedi afirmă, fără a demonstra, că o greutate de două livre poate fi ridicată pe planul înclinat de la baza acestuia pînă la jumătatea înălțimii lui, cu ajutorul unei greutăți cu ceva mai mare de o livră, ce cade vertical din vîrf pînă la baza planului înclinat, cele două greutăți fiind legate cu o funie care trece peste un scripete situat în vîrful acestuia.

La scripetele mobil, unde un capăt al funiei ce-l susține este fixat de tavan, iar celălalt e susținut de mînă, raportul dintre viteză mînii și a greutății este de 2

la 1, deci mîna poate ridica o greutate de două ori mai mare. Dacă folosind un sistem de mai mulți scripeți facem ca acest raport să fie de 3 la 1 sau 4 la 1, etc. raportul dintre forță aplicată a mâinii și a greutății va deveni de asemenea de 3 la 1, sau 4 la 1, etc.

De aici se trage concluzia că cu ajutorul celor trei mașini menționate mai sus se poate explica funcționarea roții cu sul, penei de crăpat, șurubului și a altor mașini asemănătoare. Astfel roata cu sul conține la intervale egale o seamă de prăjhi fixate perpendicular pe circumferința unui cilindru (roții), iar pana de crăpat este un plan înclinat, cu două laturi, care fiind lovit cu un ciocan cu mâner lung nu nu mai crăpă lemnul, ci și înaintează în el. Viteza înaintării este cu atât mai mare, cu cât pana e mai lungă. Apoi cu cât mișcarea adunată la mișcare este mai mare și mai frecventă, cu atât crește viteza. Aceasta este cauza pentru care o piatră ce cade de la o înălțime, mai întâi se mișcă încet, apoi din ce în ce mai repede, și o sabie lungă lovește mai bine decât una scurtă.

Trecându-se la mișcare se afirmă că „orice mișcare tinde spre o linie dreaptă niciodată spre una curbă”, ceea ce conține partea întâia a legii a doua a lui Descartes. Ca exemplu se dă un corp ce rotește cu prăstia fiindcă scăpând din ea își urmează drumul tangențial la cerc, adică în linie dreaptă. Mișcarea curbilinie e cauzată de corpurile înconjurate care se opun mișcării rectiliniei. Aceasta se observă la vîrtejurile apei care iau naștere prin aceea că apa lovindu-se oblice de un obstacol nu poate curge în linie dreaptă, ci pe orbită; de aceea nici riurile nu curg în linie dreaptă.

„Mișcarea nu este niciodată contrară mișcării, ci numai determinarea ei este contrară determinării, fiindcă acestea se distrug reciproc, ele însăci niciodată nu se nimicesc sau diminuează.” Ca exemplu se dă mingea care lovind peretele nu-și pierde mișcarea fiindcă se întoarce cu aceeași viteză, ci își schimbă numai determinarea din progresivă în regresivă. „Determinarea este direcția corporului mobil ce tinde spre un anumit termen (terminus). Si după cum mișcarea se naște din corpul mișcător, la fel determinarea își are originea în situația suprafeței corpurii mișcător”. Ca exemplu se dă o minge ce cade pe o plasă sau pe un perete.

Determinarea este simplă sau compusă. Determinarea simplă este aceea prin care mobilul mergând pe o linie spre obstacol, se întoarce pe aceeași linie. Ca exemplu se dă o minge ce cade la pămînt și sare în sus. Determinarea compusă este aceea cînd incidentă este oblică și o parte a mișcării, anume cea descendantă trece în ascendentă, pe cînd determinarea celei progresive rămîne întreagă. Acesta este cazul ciocnirii oblice de un perete fix, cînd mobilul se întoarce sub un unghi de reflexie egal cu cel de incidentă. „Iar dacă mobilul lovește obstacolul cu o viteză mai mare astfel că pierde jumătate din mișcarea sa, atunci reflectîndu-se spre cealaltă parte are o mișcare ascendentă cu jumătate de viteză, astfel că descrie o linie asemănătoare în două momente, pe care la coborîre o parcurgea într-un moment, și mergând mai departe unghiul de reflexie va fi mai mic decât cel de incidentă.”

De la ciocnire se trece la refracția luminii în sens cartezian: „Refracția este deviația într-o parte a razei de lumină ce trece printr-un obstacol, din cauza vitezei mărite sau mășorate în acesta”. De ex. lumina ce vine din aer în sticlă se refractă în sticlă spre perpendiculară, fiindcă viteză luminii devine mai mare în sticlă. Cauza este că sticla este mai solidă (dură) și are pori mai mici decât aerul, din care cauză prin porii sticlei razele se mișcă mai repede. Fenomenul este invers cînd lumină trece din sticlă în aer. Enyedi tratează aceste fenomene foarte pe scurt, spre deosebire de Regius care folosește figurile și demonstrațiile lui Descartes.

Revenindu-se la mișcări se afirmă că orice mișcare a corpuriilor este în ceea ce spatiul fiind plin, iar corpurile impenetrabile, nici un corp nu se poate

mișca decât dacă este deplasat un alt corp din locul său și el ocupă locul celui deplasat, astfel că un vas nu se poate umple cu vin decât aerul ieșe din vas, iar locul lui îl ocupă vinul. Prin urmare cînd schimbarea circulară a locului nu se poate face corpul nu se poate mișca. La fel e mișcarea unei pietre legate de o sfoară. Aceasta este de acord cu teoria vîrtejurilor lui Descartes.

Se combate apoi diviziunea mișcării în naturală și violentă, fiindcă orice mișcare este naturală, avînd loc după legile naturii, și în același timp violentă pentru că provine de la forța imprimată. De exemplu o piatră lăsată din mînă cade în mod violent, iar aruncată în sus se mișcă tot violent. Mișcarea unui mobil de aceeași mărime sau este mare, și după ce se separă de cel mișcător cîtva timp își păstrează mișcarea, sau este mică și atunci mobilul încetează de a se mișca deodată cu impulsul, cum e cazul boilor care trag carul. Întîia se numește mișcare proprie, a doua străină. Aceasta din urmă este de trei feluri : transportare, împingere, tracțiune. La tracțiune și împingere aparține învîrtirea, cum se vede la un cilindru, care fiind tras și împins se învîrtește. Presiunea este o împingere frecventă invizibilă a unui corp, care prin aceasta nu se mișcă vizibil din locul său, ci numai se elatină încoace și încolo în mod sensibil, cum e cazul unei pietre mari așezată pe umăr. Tracțiunea nu poate avea loc decât dacă cel care trage este legat de corpul tras. Așadar este greșit spus că magnetul trage fierul.

*Repausul* este rămînerea corpului în același loc : acest repaus este unica legătură prin care părțile corpului dur sunt unite între ele (*cohaerens*) și rezistă separării lor. În adevăr, deoarece părțile corpului dur sunt în repaus unite între ele, datorită legii imuabilității naturii fiind să rămînă în starea de unire și de repaus și nu pot fi seoase de acolo decât prinț-om mișcare suficient de mare".

Potrivit teoriei lui Descartes *mărimea* propriu-zisă este însăși extensiunea corpului. Cît de eficace este această mărime ne arată fie fierul brut, fie cel prelucrat în sabie sau în cujît, cu ajutorul căror se crapă corporile cele mai dure.

„*Situația* este însăși poziția corpului între corpuri ; eficacitatea acesteia apare în balanța greutăților, în care din cauza variației poziției greutățile se ridică sau se coboară, sau rămîn în echilibru."

După tratarea acestor forme generale se trece la cele speciale. „Forma specială este mintea omenească, care este o substanță spirituală, fiindcă nu-și poate trage originea din mișcare, repaus, mărime, poziție și altă dispoziție a părților". Aceste adevăruri sunt exprimate prin următoarele două versuri, care cuprind principiile lucrurilor naturale :

„*Mens, Mensura, Quies, Motus, Positura, Figura  
Sunt cum Materia cunctarum exordia rerum*”.

Versurile, care nu se întîlnesc la Descartes, le-a introdus Regius urmînd metoda scolastică, fiind ușor de memorizat.

Aici prin măsură se înțelege numărul și mărimea, prin poziție situația corpului. În consecință se respinge existența materiei, care este o pură putință, nefiind inteligeabilă, și nefiind corp nu poate constitui un corp, căci ceea ce nu este nimic nu poate da nimic. De asemenea se resping formele substanțiale, care derivă din putința materiei și pot reveni în aceeași materie în mod indirect. Deci ambele principii fiind necunoscute și inexplicabile trebuie respinse, deoarece avem principii mai clare.

În favoarea existenței formelor substanțiale s-ar putea aduce următoarele argumente.

1. „Dacă formele lucrurilor nu sunt substanțiale, nu există nici o cauză pentru care apa caldă să revină la starea rece de mai înainte ; dar forma substanțială a

apei alungă căldura ca pe un inamic, în timp ce frigul revine la ea ca o calitate legată de ea".

Față de aceasta, poziția cartesiană expusă de Regius și Eneydi este următoarea : „Nu aceasta este cauza pentru care apa mai întâi trece în vaporii și apoi revine la frig, ci deoarece căldura care este un accident al apei agită particulele aceleia mai vehement la foc de unde se detașează comunicind mișcarea particulelor aerului înconjurator și altor corpuși, particulele apei se mișcă mai încet, și astfel ea devine lichidă”. În urma acestei comunicări a mișcării, neprimind o mișcare nouă își pierde totă mișcarea și astfel se răcește.

2. „Dacă nu există forme substanțiale în lucruri, nu va fi nici un motiv pentru care părțile corpului să rămână unite, și să fie confinute multe calități într-un subiect”.

La acest argument se răspunde că este suficient ca subiectul să fie în stare să primească calități diferite și să le mențină datorită legii imuabilității naturii, pînă ce nu vor fi deranjate de altul.

3. „Tot ceea ce unește între ele în același subiect calități contrare care se resping, este substanță ; aceasta însă o fac formele substanțiale. Așadar formele sunt substanțe”.

Răspunsul cartesianilor este că în același subiect, datorită legilor opozitiei nu există calități contrare. Ca exemplu se dă un amestec de apă fierbinți și rece, care ne dă apă caldă. Aceasta nu înseamnă că în acest caz în apă se găsesc două calități contrare, ci deoarece părțile apei fierbinți își comunică mișcarea părților apei reci, și astfel își pierd din mișcările lor, care fiind primite de părțile apei reci, acele mișcindu-se mai încet produc vaporii.

„Din numărul principiilor fizice se elimină și privația. Aceasta se definește ca fiind absența formei din materia care are aptitudinea de a o primi în ea”. Cauzele acestei eliminări sunt două, și anume :

1. Ea nu constituie esența lucrurilor naturale.

2. Fiindcă materia tuturor corpușilor naturale este aceeași, ele pot primi în urma unei cauze eficiente orice formă cu condiția ca această cauză să aibă forțe suficiente, deși nu este la fel de ușor ca din orice să se poată face orice. De exemplu dintr-o vergă subțire de fier cu mult mai ușor se poate face o coardă de liră (Cithera), decât o ancoră de corabie.

În sfîrșit se respinge definiția vulgară (aristotelică) a mișcării : „motus est actus entis in potentia quatenus in potentia”, considerînd-o obscură și contradicțorie. În adevară „actul presupune o entitate care să fie în act. Dar într-o entitate care este în puțință nu poate fi nici un act”.

Trecîndu-se la noțiunea de *loc*, acesta se definește astfel : „Lucrurilor naturale li se atribuie pentru designarea distanței diferite de la celelalte corpuși, un loc”. Locul este fie intern, fie extern. „Locul intern este mărimea oricărui corp, sau împrejmuirea de care este înconjurat, și prin care într-un anumit mod este distanțat de alte corpuși, din care cauză se unește îndepărtat sau apropiat. Așadar locul intern nu este ceva extins în lățime, lungime și adîncime”, fiindcă în acest fel ar fi corp și nu ar putea conține alt corp, din cauza impenetrabilității dimensiunilor. „Locul extern este suprafața oricărui corp, înconjurînd un alt corp oarecare, după cum într-un anumit fel e depărtat de alte corpuși, din care cauză se zice îndepărtat sau apropiat”. Ca exemplu se dă o corabie ancorată la o anumită distanță între două fjârmuri opuse, care păstrează același loc extern, deși aerul și apa ce o înconjoară se schimbă într-un fiind aduse de vînt și de riu. „De aici rezultă că localitatea sau esența locului constă numai în relația sa privitoare la suprafața corpului, pe care o are față de vecinătatea sau distanța altor corpuși”.

La întrebarea dacă locul este imobil se răspunde că nu este, fiindcă un om ce săde într-o corabie în timp ce aceasta se mișcă, nu rămîne imobil față de țărm. La o altă întrebare, dacă există spațiu vid în natură, răspunsul e negativ, deoarece existența lui implică contradicția că spațiul este și nu este extins în lățime, lungime și afunzime. A treia întrebare este că dacă Dumnezeu ar anihila aerul dintr-o cameră, acolo ar rămâne un spațiu vid, fiindcă pereții camerii rămân imobili? Răspunsul este iarăși negativ, fiindcă neexistând între pereții camerii nici o extensiune nu poate să existe nici distanță și în consecință pereții ei trebuie să se atingă. Aici Enyedi face observația: „În fizică nu se cercetează ce ar putea face Dumnezeu în mod extraordinar, ci ceea ce face în mod obișnuit prin legile naturii”. Se menționează apoi că de obicei se cheamă vid aceea căreia îl lipsește corpul, primirii căruia îl este destinat; de ex. o pungă goală.

Din cele de mai sus se trage concluzia că nici o mișcare nu poate avea loc din cauza groazei de vid, și nici natura nu-l poate evita sau fugi de el, fiindcă vid nu poate exista. Toate mișările ce se atribuie groazei de vid își găsesc explicarea în aceea că un corp este alungat de altul care îl ocupă locul. Ca exemplu se dau funcționarea sifonului, cucurbetei, foaleltui etc.

Termometrul este prezentat ca un exemplu de dilatare și condensare a aerului. Enyedi descrie, după Regius confectionarea și funcționarea unui termometru cu apă, fără însă a da schița aparatului, cum face acesta.

*Timpul* este de asemenea definit în sens cartezian ca durată, sau permanență în existență a lucurilor naturale. Această durată este prezentă, trecută sau viitoare și se măsoară prin mișcarea cerului și rotația Pământului în jurul axei sale. „Prin urmare se poate admite sentința lui Aristotel care spune: Timpul este măsura mișcării și a repausului potrivit antecedentului și conseqwentului”. Timpul tuturor lucurilor este unul și același, dar durata depinde de rotația cerului și Pământului, astfel că la mai multe rotații corespunde o durată mai lungă, la mai puține una mai scurtă. „Timpul prezent nu este un moment indivizibil, ci are părți indefinite (indefinita), fiindcă nu există nici o particulă reală a ei care să nu aibă cantitatea să de durată, astfel că în continuu se poate divide într-o mai mică”.

În continuare se afirmă finalismul în natură spunându-se că „lucrurile naturale, chiar cele lipsite de minte, acționează în scopul universal al autorului naturii, pe care oamenii nu-l pot întrezări exact,” și după legi stabilite de Dumnezeu, care sunt sigure și infailibile. Înțîmplarea sau norocul nu sunt altceva decât necunoașterea conexiunii cauzelor necesare producerii unui efect oarecare.

Lucrurile naturale sunt fie spontane fie arbitrar. Spontane sunt acelea care acționează, suferă sau incetează peste voința omului. Acestea se numesc naturale prin excelență, cum sunt plantele și animalele. Arbitrar sunt acelea care operează prin intervenția omului, și de aceea se numesc artificiale. Dar și acestea sunt naturale fiindcă: 1. sunt înzestrate cu natură, având principiul intern de a acționa, suferi și inceta; 2. oamenii cind le produc nu fac altceva decât aplică naturalele active la cele pasive, cum fac la semănarea grâului, cultivarea viei, etc. 3. artificiul omenesc urmează și imită mersul naturii.

Între lucrurile naturale și cele artificiale există însă diferență de mai mare și mai mic, precum și cea de perfecțiune. Cele artificiale sunt și ele făcute după legile naturii, dar cu oricâtă artă ar fi confectionate, cum sunt automatele, nu pot atinge perfecțiunea celor naturale. Aceasta apare la oroloage, ale căror roți foarte puține și artificiale nu se pot compara cu nenumăratele oase, vene, nervi, artere, ect. ale celor mai nemernici purici.

Capitolul se încheie cu respingerea următoarelor obiecții.

1. Lucrurile artificiale se mișă din cauze externe, deci nu au principiu intern. Răspunsul cartesian este că și lucrurile naturale își primesc mișcările din cauze externe, de ex. de la soare, aer, foc, etc.; aceasta însă nu înseamnă că nu posedă principiu intern.

2. Lucrurile artificiale sunt entități accidentale (*per accidens*), prin urmare pot acționa de sine, de aceea nu au principiu intern de acțiune.

Răspunsul este că lucrurile artificiale fiind entități prin sine (*per se*), deoarece orice entitate simplă sau compusă este prin propria esență ceea ce este, urmează că și lucrurile artificiale sunt prin esența lor ceea ce sunt, căci un lucru poate proveni din altul dar nu poate fi constituit în esență sa de altul. Rezultă deci că „distincția entității în *per se* și *per accidens* este sterilă”.

Ca o concluzie a celor de mai sus se poate spune, că după cum Regius a expus în cartea sa *Fundamenta Physices* fizica lui Descartes sub forma unui „Descartes de buzunar”, la fel Enyedi a scos din Regius părțile esențiale, pe care le-a dictat elevilor săi, după cum i s-a părut mai convenabil. În tot cazul Enyedi are meritul de a fi predat și cîteva chestiuni practice de statică și căldură, deși probabil fără a face experiențe, ba poate chiar nici desene pe tablă: cel puțin aşa rezultă din caietul lui Păpăi Páriz Ferenc.

(Intrat în redacție la 6 ianuarie 1967)

### О ШКОЛЬНОЙ ТЕТРАДИ НАПАИ ПАРИЗА ФЕРЕНЦА

(Резюме)

Следуя примеру Апачай Чере Яноша, который ввёл изучение физики Декарта в реформатских коллежах в Алба-Юлия и Клуже, профессор Энъеди Шамуэл сделал то же самое в Аюде. Доказательством является школьная тетрадь его ученика Напаи Париза Ференца, относящаяся к 1965 г. и озаглавленная *Physica seu philosophia naturalis* с форматом 100×160 мм и с 397 страницами. Названная тетрадь хранится в Библиотеке Клужского филиала Академии Социалистической Республики Румыния. Уроки Энъеди являются свободным переводом книги Лé Руя (Региуса): *Fundamenta Physices* (1646 г.), в которой последний резюмирует физику Декарта.

В настоящей статье подробно анализируются главы I и II школьной тетради Напаи Париза Ференца, отражающие содержание соответствующих глав книги Региуса и занимающиеся вопросами, принадлежащими в большей или в меньшей степени нынешней физике. Эти главы занимаются в особенности матерней, движением, покое, вакуумом, пространством, временем и т.п. Энъеди впервые преподавал в Трансильвании понятия статики; он описал водяной термометр, что является первым началом экспериментальной физики.

### ON AN EXERCISE-BOOK BELONGING TO PÁPAI PÁRIZ FERENC

(Summary)

Following the example of Apáczai Csere János who introduced Descartes' Physics to the Reformed Colleges in Alba-Iulia and Cluj, prof. Enyedi Sámuel made the same thing in Aiud. An exercise-book, belonging to Pápai Páriz Ferenc – prof. Enyedi Samuel's school-boy – proves that. Dating from 1665 and being entitled: *Physica seu philosophia naturalis* the above exercise-book has the size 100 × 160 mm and 397 pages. This is preserved in the Library of the Academy of the Socialist Republic of Romania, Cluj Branch. Enyedi's lessons are free translations from Le Roy's (Regius) *Fundamenta Physices*, 1646 in which Descartes' book is summarized.

The present paper analyses in details Chapter I and II of this exercise-book in which the corresponding chapters from Regius are to be observed. Among the problems treated in these chapters belonging more or less to our present day Physics – we mention: matter, movement, rest, vacuum, space, time etc.

It was Enyedi who taught for the first time in Transylvania notions of statics and described a water thermometer taking by this a first step in experimental Physics.

# ÎNCEPUTURILE FIZICII LA UNIVERSITATEA DIN CLUJ

Activitatea științifică a profesorului Antoniu Abt

de

**MARIA POPESCU și EVA GALIGER**

Începuturile cercetărilor de fizică la Cluj coincid în timp cu data înființării Universității în anul 1872 și sunt legate de numele lui Antoniu Abt, primul profesor al acestei Universități.

Antoniu Abt și-a desfășurat activitatea la Universitatea clujeană timp de 30 ani, adică pînă în 1902, anul morții sale, activitate pe care o putem urmări prin articolele publicate în această perioadă. Activitatea lui A. Abt a fost de pionierat, el punînd bazele învățămîntului universitar al fizicii la universitatea nou înființată și totodată lui i se datorează înființarea și înzestrarea primelor laboratoare atît didactice cît și de cercetare. Ca o anexă a acestor laboratoare în anul 1878 a fost înființat atelierul mecanic condus de mecanicul Süss, atelier în care s-au construit și aparate de fizică necesare laboratoarelor. Ca profesor al acestei Universități Abt a elaborat un manual de fizică cu titlul *Fizică experimentală* care în intervalul 1863–1887 a apărut în șapte ediții, manual mult apreciat la timpul său și care a fost tradus și în limbă română de profesorii I. Hossu și E. Viciu în 1891. Întrucît activitatea didactică a lui Abt a constituit obiectul unui alt articol, în lucrarea de față vom prezenta numai de cercetare a profesorului Antoniu Abt.

Activitatea sa științifică s-a axat în special pe studiul magnetismului pe lîngă care a mai studiat și alte probleme cum sunt : „Determinarea constantelor elementelor galvanice”, „Efectele și teoria radiometrului”, „Compoziția cromatică și efectul termic al luminii”, „Coeficienții de dilatare lineară a diferitelor tipuri de fier și oțel”, „Întrebunțarea aneroidului înregistrator..” și „Forța electromotoare a unor combinații a oxizilor metalici cu sulfiți metalici și cu metale simple la o diferență de temperatură de  $100^{\circ}$  la suprafața de contact”.

În lucrarea cu titlul „Constantele elementelor galvanice” Abt determină rezistența internă a elementelor galvanice printr-o metodă de comparație folosindu-se de o busolă de tangentă. Determinările le face legînd elementul de studiat în circuite a căror mărimi sunt cunoscute. Observînd unghurile de deviație determină rezistența internă a elementului precum și forța electromotoare a sa.

În lucrarea „Descrierea aneroidului înregistrator Richard—Frères” arată importanța pentru cunoașterea fenomenelor meteorologice a variației în timp a mărimilor ce le determină, în special a presiunii atmosferice. În consecință dă descrierea aneroidului înregistrator și modul de funcționare a lui, precum și observațiile făcute

de el în perioada 9. II—4. III. 1886, în care perioadă constată o diferență de presiune între 750—704 mm Hg, variație de presiune ce nu a mai fost observată din 1865 și care a fost determinată din înregistrarea aneroidului folosit.

Lucrarea „Compoziția cromatică, lumenozitatea și efectul termic al luminii becului Auer și compararea ei cu lumina becului Argand și cu a becului electric” constă din cinci capitoare: 1. Proprietățile și avantajele luminii Auer, 2. Observații proprii, 3. Observații spectroscopice, 4. Măsurări fotometrice, 5. Radiația termică. În primul capitol menționează următoarele avantaje ale becului Auer față de becul Argand: consum de gaz mai mic de două ori la presiune de 26 mmHg a gazului, intensitate de patru ori mai mare, ridicarea temperaturii mediului înconjurător și producerea de  $\text{CO}_2$  de două ori mai mică, durată de funcționare de la 500—1000 ore fără întrerupere și culoarea alb-verzuie fără ca flacăra să palpitez. Făcând observații spectroscopice, având ca reper culoarea portocalie, dă următoarele date pentru domeniile ocupate în spectru de diferitele culori:

Becul	Violet	Albastru	Verde	Galben	Portocaliu	Roșu
Auer	4,08	2,08	2,08	1,01	1	1,38
Argand	2,45	1,54	1,41	0,75	1	2
Electric	4,78	3,46	2,41	0,85	1	1,38

De aici se vede că lumina becului Auer este mai bogată în culori cu lungime de undă scurtă, ceea ce explică culoarea alb-verzuie a sa. Din măsurările fotometrice ale sale a rezultat că intensitatea luminii becului Auer este de 2,82 ori mai mare decât a becului Argand.

În lucrarea „Despre coeficientul de dilatare lineară termică a diferitelor tipuri de fier și oțel fabricate la Reșița“ determină la cererea fabricii din Reșița coeficienții de dilatare lineară la 22 de probe, arătând că în intervalul între 20—50°C variația coeficientului este foarte mică, astfel că în întrebunțări tehnice ea poate fi neglijată.

Articolul cu titlul „Scurtă prezentare a efectelor și teoriei radiometrelor și a celor mai noi experiențe ale lui Crookes” prezintă o lucrare de sinteză în care Abt expune cele trei teorii care caută să explice fenomenul radiometric și anume: 1. teoria cinetică, care explică fenomenul prin diferența de viteza a moleculelor gazului rarefiat din balonul radiometrului, teorie susținută de Tait, Dewar, Thomson, Maxwell, Clausius și Finkener; 2. teoria de evaporare a lui Osborne, Reynolds și Govi, în baza căreia rotația paletelor se datorează evaporării la suprafața caldă și condensării la cea rece a umidității din balon și 3. teoria emisiei electrice, susținută de Zöllner, confirmată și de experiențele lui Crookes, conform căreia în urma iradierii termice ia naștere un fenomen secundar: emisia electrică, ce provoacă mișcarea paletelor. În articol sînt prezentate argumentele lui Zöllner în favoarea teoriei sale, argumente bazate pe experiențe, după care autorul prezintă și experiențele lui Crookes, care de asemenea confirmă teoria lui Zöllner.

În articolul „Forța termoelectromotoare a unor combinații a oxizilor metalici cu sulfiți metalici și cu metale la o diferență de temperatură de 100° pe suprafață de contact”, după ce face un istoric al efectului termoelectric, dă rezultatele obținute din măsurări proprii făcute asupra 55 de termoelemente, rezultate din combinarea unor oxizi metalici cu sulfiți metalici sau metale între ele. Din rezultatele obținute deduce că cuplurile studiate dau forțe electromotoare apreciabile chiar

și pentru diferențe mici de temperatură. Astfel, de exemplu, din tabelul dat în articol desprindem unul din rezultate: dacă forța electromotoare a cuplului bizmut-antimon la intervalul de temperatură 98—99°C este considerată ca unitate, atunci pentru cuprul pirită-calcopirită obținem valoarea de 7,62 iar pentru cuprul pirită-piroluzită valoarea de 4,67. Lucrarea se remarcă prin numărul mare de cupluri studiate și prin faptul că din valorile date se poate alege cuprul cu f.e.m. ce corespunde nevoilor practice.

Lucrările elaborate de Abt în domeniul magnetismului pot fi grupate în jurul a două probleme: cele ce se ocupă de magnetismul terestru și cele în care studiază proprietăți magnetice ale unor minereuri și probe de fier și oțel. Din prima grupă fac parte următoarele lucrări: „Determinarea constantei busolei de tangentă”, „Determinarea inclinației magnetice la Cluj” și „Determinarea aproximativă a componentelor cîmpului magnetic terestru”.

În lucrarea „Determinarea constantei busolei de tangentă” determină constantele busolelor de tangentă marca Siemens-Halske și Meyerstein, aflate în colecția Catedrei de fizică. În determinarea constantei busolei Siemens-Halske folosește o metodă chimică, prin măsurarea masei de gaz ce se dezvoltă într-un voltametru cu care este legată în serie busola studiată. Constanta e dată astfel de relația  $C = \frac{m}{t \cdot \operatorname{tg} \alpha}$ , unde  $m$  — masa gazului,  $t$  — timpul de trecere a curentului,  $\alpha$  — unghiul de deviație a busolei. Cu această metodă obține în urma a 12 determinări valoarea medie  $C = 1,58183$  în unități chimice, sau  $C = 1,51524$  în unități magnetice. Constanta celei de-a doua busole o determină printr-o metodă de comparație, legând în paralel busola studiată cu cea a cărei constantă a determinat-o anterior. În acest caz  $C' = \frac{C \cdot \operatorname{tg} \alpha'}{\operatorname{tg} \alpha} = 77,5955$ .

„Determinarea inclinației magnetice la Cluj” o face studiind separat componenta verticală și orizontală a inclinației prin curentul induș de către cîmpul magnetic terestru la rotirea unei bobine în jurul unei axe verticale, respectiv orizontale. Ca rezultat obține pentru componenta verticală  $2^{\circ}11'41''$ , iar pentru cea orizontală  $1^{\circ}9'6''$  de unde pentru inclinație din raportul tangentelor acestor unghiuri stabileste valoarea de  $62^{\circ}30'23''$  în anul 1874.

Lucrarea „Determinarea aproximativă a componentelor cîmpului magnetic terestru”, după aprecierea autorului e importantă nu pentru precizia măsurătorilor, ci mai ales pentru că demonstrează că determinarea acestor mărimi se poate realiza cu o aparatură destul de simplă și anume o busolă Weber și un magnet, a căror mărimi caracteristice au fost în prealabil determinate. Prin această metodă autorul a determinat componentele magnetismului în două localități din țară, la Țușnad și Vîlcele.

Celealte lucrări ale lui Abt sunt grupate în jurul problemei determinării proprietăților magnetice a unor minereuri, magneti naturali, probe de fier, nichel și oțel de la Reșița.

În lucrarea „Asupra magnetilor naturali ce se găsesc în zăcăminte de fier de la Moravița” Abt studiază trei minereuri: magnetita ( $\text{Fe}_3\text{O}_4$ ), pirotina ( $\text{Fe S}$ ), hematita ( $\text{Fe}_2\text{O}_3$ ). El determină în cazul acestor minereuri magnetizarea specifică, magnetismul remanent și momentul magnetic în funcție de conținutul de fier. El face observația că raportul dintre cantitatea absolută de fier și momentul magnetic este aproape constant pentru diferite minereuri. Totodată arată că dacă se consideră magnetizarea specifică a oțelului egală cu unitatea, atunci a magnetitei este de 2,3, a pirotinei de 0,66 și a hematitei de 0,21.

Lucrarea „Despre magnetismul oțelurilor Bessemer, Puddling și Martin fabricate la Reșița” are ca obiect studiul proprietăților magnetice ale acestor oțeluri. După prezentarea sumară a metodelor de elaborare a acestor tipuri de oțel, autorul urmărește cu un magnetometru cu oglindă procesul de magnetizare a probelor din aceste trei tipuri. Din datele experimentale deducem că raportul momentelor magnetice relative pentru oțelul Bessemer, Puddling și Martin la saturatie, adică la 36, A, este 7,5 : 21,5 : 38, iar dacă valoarea pentru oțelul Bessemer o luăm ca unitate obținem 1 : 2,866 : 5,06. Pentru determinarea valorilor absolute a momentelor magnetice, compară influența oțelului Puddling cu a unei bare de oțel a cărui moment magnetic e cunoscut și apoi influența magnetică a celorlalte două este comparată cu a oțelului Puddling, momentele magnetice fiind date de relația  $M = M_p \frac{\operatorname{tg} \varphi}{\operatorname{tg} \varphi_p}$ , unde  $M_p$  și  $\varphi_p$  reprezintă momentul magnetic și unghiul de deviație a magnetometrului pentru oțelul Puddling, iar  $M$  și  $\varphi$  valoarile corespunzătoare pentru oțelul studiat.

Lucrarea „Asupra comportării magnetice a oțelurilor noi în curenț stăționar în comparație cu fierul moale” reprezintă una din cele mai importante lucrări ale lui Abt. Ocupîndu-se de o problemă practică și anume înlocuirea miezului de fier moale al electromagnetelor fabricați la Reșița prin oțel moale, Abt rezolvă cu mult succes această problemă, arătînd că prin înlocuirea menționată electromagnetii astfel fabricați au avantaj față de cei cu fier moale, în special în ceea ce privește duritatea mai mare a oțelului față de fier. Pentru a demonstra că nu se alterează calitățile electromagnetelor construîti cu miez de oțel moale, el determină intensitatea cîmpului magnetic creat de cele două tipuri de electromagneti și obține ca rezultat valori foarte puțin diferite între ele.

În cadrul lucrării „Confirmarea și determinarea stărilor magnetice a unor minereuri” Abt cu ajutorul unui magnetometru cu oglindă confirmă magnetizarea a șapte minereuri în cîmpul unui electromagnet. Minereurile studiate sunt: calcopirita, minereu de nichel, siderit, pirită, hematită, pirolusită și limonit. El arată că după însetarea cîmpului magnetic, toate minereurile studiate, în afară de pirolusită, își pierd proprietățile magnetice. În a doua parte a lucrării reia studiul minereului de nichel, piritei, pirolusitei, calcopiritei și sideritului, pentru care calculează momentele magnetice. Din măsurările efectuate rezultă că pentru curenți relativ mici (0,5 A) se observă o magnetizare pronunțată.

În lucrarea „Comportarea magnetica a magnetitei de la Moravița și a oțelului de aceeași duritate cu sticla în cazul forțelor mari de magnetizare și valoarea absolută a momentelor magnetice a lor” autorul compară rezultatele a două serii de măsurători făcute cu magnetită și oțel pentru compozиii diferite (conținut de fier diferit) la un curenț între 8—40 A. Calculează momentele magnetice și magnetizarea specifică a probelor și constată că pentru magnetită magnetizarea specifică este de 2,3 ori mai mare decît pentru oțel, că această mărime depinde de lungimea probelor și că aceste două valori sunt proporționale. În încheiere arată că rezultatele sale sunt în contradicție cu ale lui Holtz, care susține că la forțe mari de magnetizare magnetita ar atinge mai repede valoarea maximă a magnetismului remanent decît oțelul.

În articolul „Compararea unor oțeluri între ele, cu nichel și cu magnetita de la Moravița...” se determină momentul magnetic, magnetizarea specifică a șase tipuri de oțel și anume: oțel elaborat în creuzet, oțel de diamant, oțel de wolfram, oțel Bessemer, Puddling și Martin. Din rezultatele obținute se constată că oțelul de wolfram are proprietăți net superioare față de celelalte toate.

În lucrarea „Proprietățile magnetice ale hematitei” Abt arată că curba de magnetizare a hematitei nu are punct de inflexiune ca în cazul oțelului, nichelului și magnetitei. Studiind magnetizarea specifică constată că și la hematită ca și la magnetită această mărime depinde de lungimea probelor. Comparând magnetizarea specifică a hematitei cu cea a pirotinei și a magnetitei ajunge la următorul raport: 1 : 1,423 : 5,294. Din măsurările făcute, Abt deduce că comportarea hematitei depinde de conținutul de fier și de structura cristalină a diverselor substanțe.

În lucrarea „Proprietățile magnetice ale magnetitei de la Moravița și a oțelului” Abt compară două tipuri de magnetită ce diferă prin compoziția lor chimică cu două tipuri de oțel ce diferă între ele prin călire. Din rezultatele măsurătorilor efectuate, el trage concluzia că magnetizarea specifică a magnetitei este de 3,5 ori mai mare decât a oțelului și depinde de compoziția chimică, diferență de structură și conținut de fier. Studiind demagnetizarea probelor, el constată că magnetismul obținut la un curent de 95,5 A se pierde la aplicarea unui curent de sens opus de 36 A, și că demagnetizarea magnetitei se produce mai repede decât a oțelului.

Tema lucrării „Proprietățile magnetice ale pirotinei” constituie reluarea experiențelor anterioare efectuate asupra magnetitei. Determină momentul magnetic, magnetizarea specifică și studiază demagnetizarea. Comparând rezultatele obținute pentru pirotină cu cele pentru magnetită constată că magnetizarea specifică pentru cel de-al doilea este de 3,7 ori mai mare ceea ce reiese și din graficele trasate la magnetizarea și demagnetizarea probelor.

Analizînd articolele publicate de profesorul Abt, se constată că activitatea sa a fost îndreptată spre probleme strîns legate de necesitățile practice, el abordînd probleme cu caracter mai mult aplicativ. Meritul său științific constă îndeosebi în faptul că a pus bazele cercetării de fizică la Universitatea din Cluj.

*(Intrat în redacție la 5 aprilie 1967)*

## НАЧАЛО ПРЕПОДАВАНИЯ ФИЗИКИ В КЛУЖСКОМ УНИВЕРСИТЕТЕ. НАУЧНАЯ ДЕЯТЕЛЬНОСТЬ ПРОФЕССОРА АНТОНИУ АБТА

(Резюме)

В работе представлена научная деятельность Антониу Абта в период 1874–1900 гг., когда он функционировал в качестве профессора в Клужском университете. Авторы анализируют наиболее важные труды Абта, которые большей частью рассматривают вопросы магнетизма, а именно исследование земного магнетизма и магнитных свойств руд из залежей страны, а также некоторых статей, сделанных в Ренице.

## THE BEGINNING OF TEACHING PHYSICS AT CLUJ UNIVERSITY PROF. ANTHONY ABT'S SCIENTIFIC ACTIVITY

(Summary)

The authors deal with Anthony Abt's scientific activity between 1874–1900 the period when he worked as professor in Cluj University. It is the purpose of this paper to discuss the most important works belonging to him, in majority treating problems of magnetism. Among them we mention those regarding the terrestrial magnetism, the magnetic properties of minerals from our country's deposits as well as the steel made in Reșița.



# ELEKTRONENSPINRESONANZ EINIGER CU(II)-CHELATVERBINDUNGEN DER $\beta$ -DIKETONE

(Kurzer Bericht)

NICOLAE VEZENTAN

Elektronenspinresonanzuntersuchungen an Cu(II)-Chelatverbindungen werfen zahlreiche Fragen auf, deren Lösung noch viele experimentelle Versuche und theoretische Erforschungen benötigt, um die experimentellen Tatsachen zu systematisieren und zu erklären.

Bisher wurden im allgemeinen Probleme behandelt, die bei den mit entsprechenden diamagnetischen isomorphen Substanzen magnetisch verdünnten Einkristallen, sowie beim verdünnten oder nichtverdünnten pulverförmigen Zustand oder in flüssigen bzw. eingefrorenen Lösungen vorkommen.

Es wurde durch jede dieser Methoden bestrebt, die magnetischen Parameter möglichst genau zu bestimmen, indem man Temperatur, Lösungsmittel, Zähigkeits- und Substituenteneffekte untersuchte, um eine Auflösung des Spektrums bis zu den theoretisch vorgesehenen Komponenten nachzuweisen, welche die Genauigkeit und Fülle der Auskunft, die durch Bestimmungen dieser Art erzielbar ist, grösstenteils bedingen [1, 2, 3, 4, 6, 7].

Anderseits sind verhältnismässig wenige Veröffentlichungen erschienen, die eine Übertragung der durch EPR gewonnenen Resultate auf die chemische Struktur behandeln. Ihre Zahl hat allerdings in letzter Zeit merklich zugenommen.

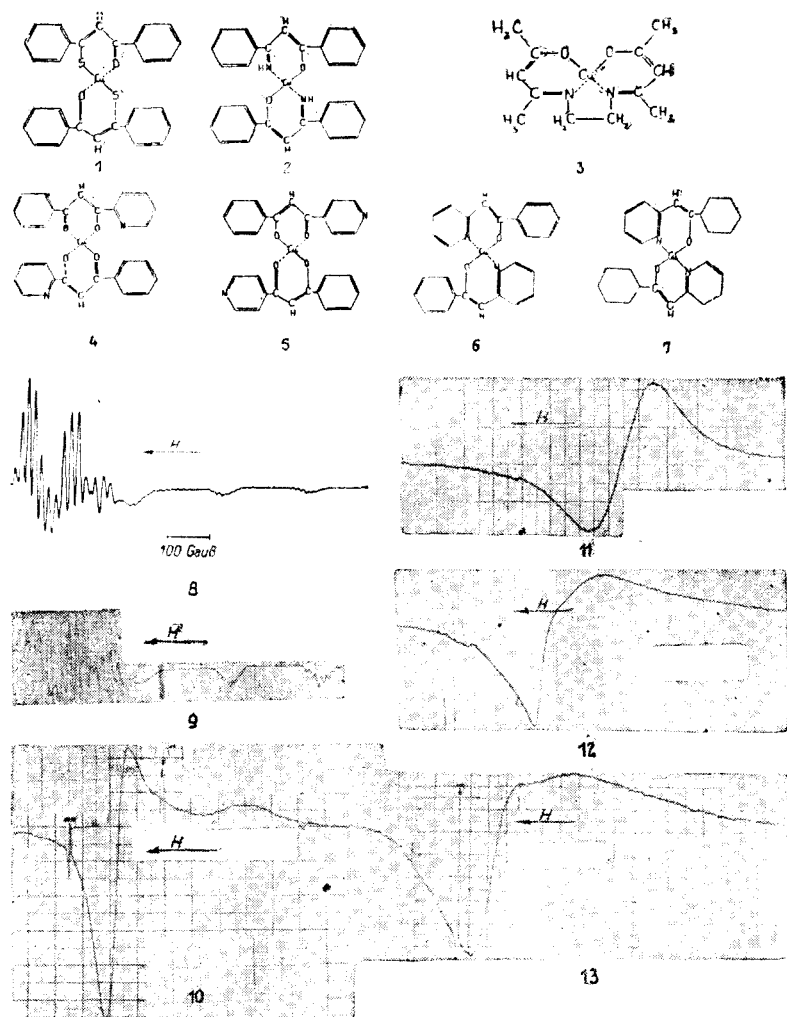
Im Rahmen der vorliegenden Arbeit wurde eine Gruppe von Cu(II)-Chelatverbindungen mit ähnlicher chemischer Struktur untersucht, um mit grösster Wahrscheinlichkeit die Unterschiede die in den EPR-Spektren oder in optischen Eigenschaften entstehen, den Unterschieden in der Struktur und Zusammensetzung dieser Substanzen zuschreiben zu können [9, 10, 12].

Die chemische Strukturformeln dieser Substanzen sind in Abb. 1—7 angegeben.

Die Untersuchung ergab die Bedingungen für die optimale Auflösung in Abhängigkeit von der Temperatur, dem Lösungsmittel und der Konzentration der entsprechenden Substanzen.

Es konnte ebenfalls ein bestimmter „Parallelismus“ zwischen dem Verfahren an den diamagnetisch verdünnten eingefrorenen Lösungen und demjenigen mit diamagnetisch verdünnten Einkristallen in Pulverzustand beobachtet werden.

Abb. 8, 9. stellen das Spektrum der Substanz III (siehe Abb. 3) dar. Abb. 8 ist das Spektrum in diamagnetisch verdünnten Einkristallen (in Pulverzustand) nach H. P. Fritz und B. Golla [8].



A b b. **1.** Bis-(Monothiodibenzoylmethanato)-Cu(II). (Fp. 154–155 °C). **2.** Bis-(Iminodibenzoyl-methanato)-Cu (II). (Fp. 221–223 °C). **3.** Bis-(Acetylacetone-äthylendiiminato)-Cu (II). (Fp. 143 °C). **4.** Bis-(Benzoylpikolinoylmethanato)-Cu (II). (Fp. 229–231 °C). **5.** Bis-(Isonicotinoylbenzoylmethanato)-Cu (II). (Fp. 242–244 °C). **6.** Bis-( $\alpha$ -pikolylphenylketonato)-Cu (II). (Fp. 164 °C). **7.** Bis-( $\alpha$ -pikolylcyclohexylketonato)-Cu (II). (Fp. 166–166,5 °C). **8.** Spektrum der Subst. Nr. 3 in magnetisch verdünnitem Pulver-Zustand nach H. P. Fritz, B. Golla [8]. **9.** Substanz Nr. 3 in Chloroform 80% + Toluol 20%, Konz. 7,  $83 \cdot 10^{-3}$  g/cm<sup>3</sup>, Mod. 3 Gauss,  $t = 77^\circ\text{K}$ . **10.** Spektrum der Subst. Nr. 7 in Pulver-Zustand bei 77 °K. **11.** Spektrum der Subst. Nr. 1 in Benzol, Konz.  $3,10 \cdot 10^{-3}$  g/cm<sup>3</sup>,  $t = -79^\circ\text{C}$ . **12.** Spektrum der Subst. Nr. 1 in Benzol, Konz.  $3,10 \cdot 10^{-3}$  g/cm<sup>3</sup>, bei  $t = -50^\circ\text{C}$ . **13.** Spektrum der Subst. Nr. 4 in Pulver-Zustand bei 77 °K.

Dieser „Parallelismus“ hängt sowohl von der Substanz, wie auch vom Lösungsmittel ab.

Es scheint gleichzeitig möglich Temperaturbedingungen festzustellen, in Abhängigkeit von der Substanz und vom Lösungsmittel, die zu einem „Parallelismus“

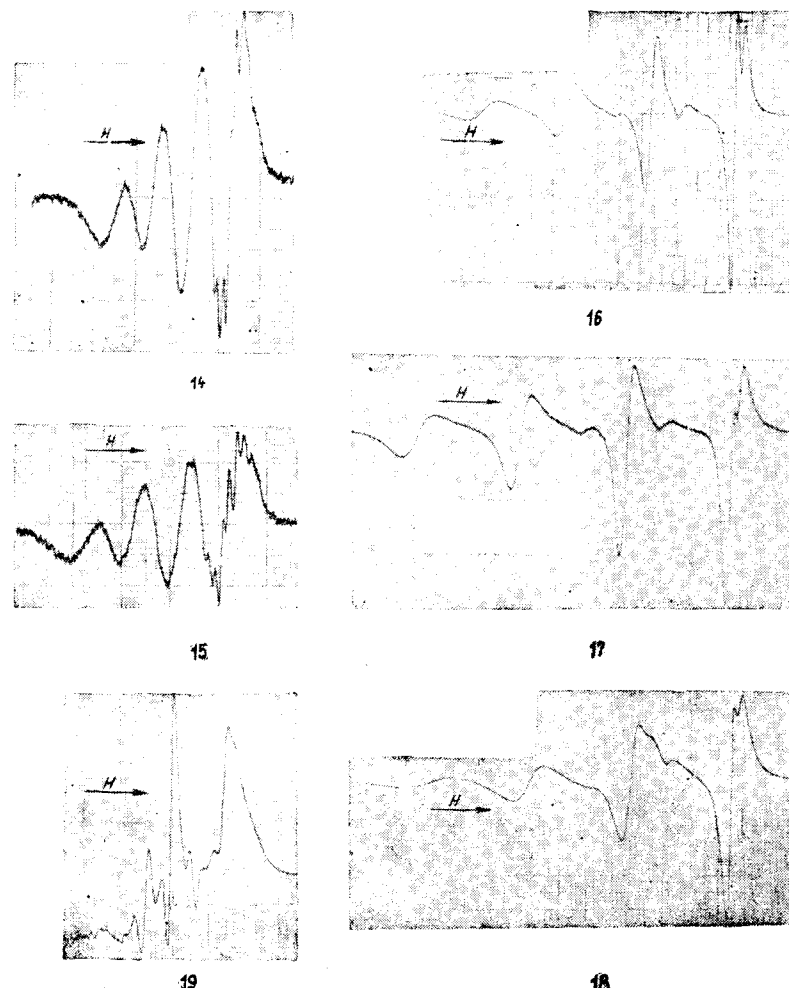


Abb. 14. Spektrum der Subst. Nr. 6 in Xylol, Konz.  $1.10^{-3}$  g/cm $^3$ , bei  $+25^\circ\text{C}$ . Mod. 3 Gauss. 15. Spektrum der Subst. Nr. 7 in Xylol, Konz.  $3.10^{-3}$  g/cm $^3$ , bei  $t = +25^\circ\text{C}$ , Mod. 5 Gauss. 16–18. Spektrum der Subst. Nr. 1 in Benzol, Konz.  $3.10^{-3}$  g/cm $^3$ ,  $t = +19^\circ\text{C}$ ,  $+84^\circ\text{C}$ , u.  $-16^\circ\text{C}$ . 19. Spektrum der Subst. Nr. 4 in Xylol bei  $77^\circ\text{K}$ , Konz.  $10^{-3}$ /cm $^3$  Mod. 2 Gauss.

zwischen den Spektren des unverdünnten Pulvers und der eingefrorenen Lösung führen (Abb. 10, 11, 12, 13).

Man kann einen Vergleich zwischen Abb. 12 und 13 machen.

Die Substitution des Phenyl-Radikals in Substanz Nr. 6 durch Cyclohexyl (Substanz Nr. 7), hat als Folge eine Verschmälerung der Hyperfeinstrukturlinien, die zu einer besseren Auflösung der Ligandenhyperfeinstruktur führen (Abb. 14, 15).

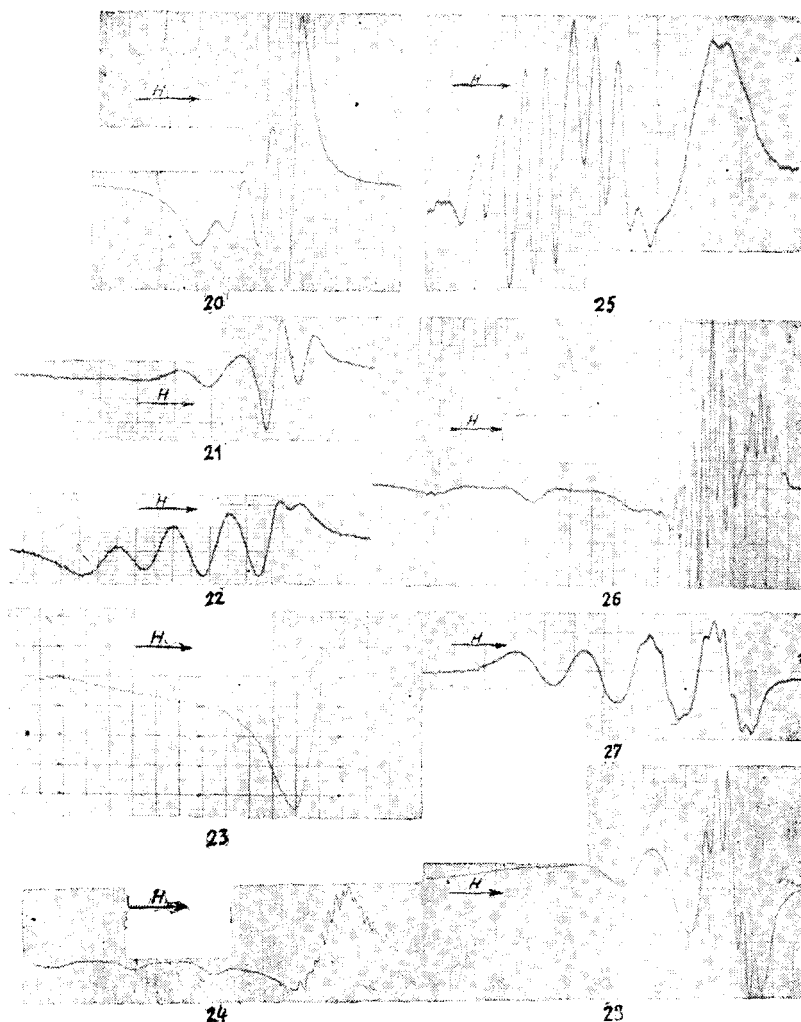


Abb. 20. Spektrum der Subst. Nr. 5 in Pyridin. Konz.  $4,5 \cdot 10^{-2}$  g/cm $^3$  t = +91°C. Mod. 4 Gauss. 21–22. Substanz Nr. 5 in Dimethylformamid 80% + Toluol Konz.  $6,2 \cdot 10^{-3}$ . Mod. 8 Gauss, t = +28°C, +166°C, Mod. 9 Gauss. 23. Substanz Nr. 4 in Xylool. Konz.  $1 \cdot 10^{-3}$  g/cm $^3$ . Mod. 2 Gauss, t = +25°C. 24. Substanz Nr. 6 in Pyridin. Konz.  $6,5 \cdot 10^{-3}$  g/cm $^3$ . Mod. 5 Gauss, t = 77°K. 25. Substanz Nr. 3. in Xylool. Konz.  $3 \cdot 10^{-3}$  g/cm $^3$ . Mod. 7 Gauss, t = 77°K. 26. Substanz Nr. 2 in Dimethylformamid + Tetrachloridkohlenstoff, + Chloroform, + Toluol. Konz.  $1,58 \cdot 10^{-2}$  g/cm $^3$  t = 77°K. 27. Substanz Nr. 3 in Tetrachloridkohlenstoff 72%, + Äthylalkohol 28%. Konz.  $1 \cdot 10^{-3}$  g/cm $^3$ , Mod. 5 G, t = +25°C. 28. Substanz Nr. 2 in Chloroform 50% + Tetrachloridkohlenstoff 50%. Konz.  $1,76 \cdot 10^{-3}$  g/cm $^3$ . Mod. 2 Gauss, t = +25°C.

Ausserdem entstehen Unterschiede zwischen den Formen der entsprechenden Absorptionslinien in Pulverzustand und zwischen den optischen Eigenschaften der Kristalle.

Im Falle der Substanz Nr. 1 in flüssiger Lösung, sowie bei niedrigen Temperaturen im Falle der Substanzen Nr. 1 und 4, ergaben sich zusätzliche Signale, die vermutlicherweise „verbotenen“ Übergängen zuzuschreiben sind. Signale dieser Art wurden bisher bei Cu(II)-Chelatverbindungen in der Lösung noch nicht festgestellt (Abb. 16, 17, 18, 19).

Mit Hilfe der Ligandenhyperfeinstruktur konnten wir Unterschiede in der Metall-Ligandenbindung des Stickstoffkerns feststellen, in Abhängigkeit von der Lage des N-Atoms in Liganden (sterische Effekte). Die Substanzen Nr. 4 und 5 ergeben keine Ligandenhyperfeinstruktur (Abb. 20, 21, 22, 23).

Die Substitution der S(thio)- durch die N(imino)-Funktion hat eine Linienverbreiterung zur Folge (siehe Abb. 1, 2, 16, 18, 28).

Wir bemerken auch Unterschiede zwischen den optischen Eigenschaften und den Röntgenspektren beider Substanzen.

Es ist möglich auf Grund der EPR-Spektren eine Ähnlichkeit zwischen den zwei- und vierzähligen Cu(II)-Chelatverbindungen festzustellen, wenn diese Substanzen in bestimmten Lösungsmitteln und bei Stickstofftemperatur gemessen werden (Abb. 25, 26, 27, 28).

In manchen Fällen ergab sich eine Ligandenhyperfeinstruktur, die eine Koordinationszahl von 5 oder 6 des Cu(II) aufweist. (Siehe Abb. 26, 24).

Das Verhalten in der Lösung der Substanzen Nr. 1 und Nr. 3 lässt einige Isotopie-Effekte in Erscheinung treten. (Siehe Abb. 15, 16, 17, 18, 21, 22, 29.)

Die Untersuchungen bei Stickstofftemperatur ( $77^{\circ}\text{K}$ ) weisen die Existenz zweier Komplexe auf [8], die entweder „Cis-Trans“-Isomerie einerseits, oder Dimerzustände anderseits sein können.

Die Temperaturabhängigkeitsuntersuchungen weisen einen Unterschied zwischen den Hyperfeinstrukturlinien, der Linienform, der Aufspaltungskonstante, der Linienbreite und Amplitude, ihrer Abhängigkeit von der Zähigkeit  $\left(\frac{\eta}{T}\right)$  und der kernmagnetischen Quantenzahl auf.

Die Asymmetrie der Linien und die Gestalt der Spektren kann in manchen Fällen auf Grund der Rotationsspinwechselwirkungen erklärt werden. (Siehe Abb. 17, 20, 30, 31, 32, 33). [2]

In Abb. 11, 12, 16, 17, 18, 32, 33 sind einige Spektren dargestellt, in denen die Hyperfeinstruktur, die Isotopenhyperfeinstruktur, die zusätzlichen Signale (Abb. 16, 18, 19, 29) und die Temperaturabhängigkeit im Falle der Substanz Nr. 1, 4 sichtbar sind. Ein Vergleich zwischen Spektren von Abb. Nr. 33 u. 34 weist auf die Relaxationsabhängigkeit von der kernmagnetischen Quantenzahl, den verschiedenen Lösungsmitteln entsprechend hin.

Die EPR-Spektren wurden in einer Reihe von reinen Lösungsmitteln niedriger und hoher Zähigkeit, sowie in Solventgemischen bei Zimmertemperatur, Stickstofftemperatur, und in einigen Fällen in einem grösseren Temperaturbereich unter- und oberhalb der Zimmertemperatur aufgenommen. Die Substanzen, die mit dem Polarisationsmikroskop untersucht wurden, zeigen Struktureigenschaften, die mit den EPR-Ergebnissen übereinstimmen.

Die Messungen wurden im X-Band der JES-3 B und 3 B-Q Spektrometern mit 100 kHz Modulation durchgeführt.

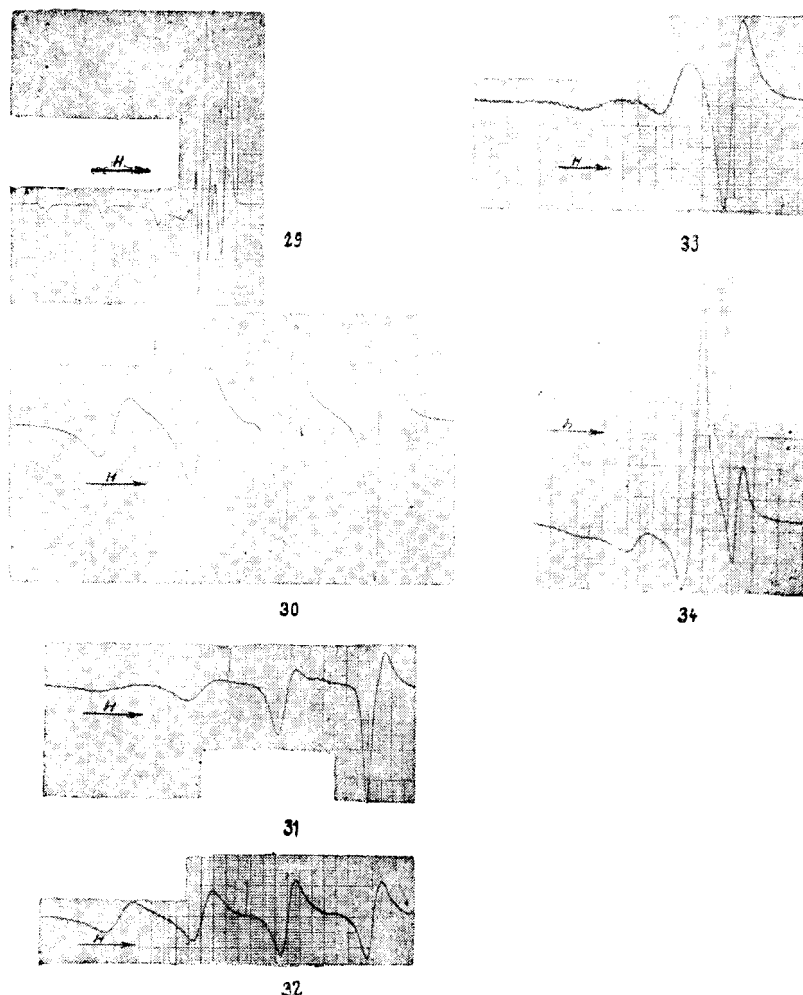


Abb. 29. Substanz Nr. 1 in Xylool + Pyridin. Konz.  $1.10^{-3}$  g/cm<sup>3</sup>, Mod. 5 Gauss, t = 77°K. 30—31. Substanz Nr. 1 in Dimethylformamid. Konz.  $1.7.10^{-2}$  g/cm<sup>3</sup>, Mod. 4 Gauss, t = +105°C u. +21°C. 32. Substanz Nr. 1 in Pyridin, Konz.  $1.46.10^{-2}$  g/cm<sup>3</sup>, Mod. 4 Gauss, t = +125°C. 33. Substanz Nr. 1 in Tetrachloridkohlenstoff 75% + 25% Chloroform. Konz.  $5.65.10^{-3}$  g/cm<sup>3</sup>, t = -75°C. 34. Substanz Nr. 1 in Benzol. Konz.  $3.10^{-3}$  g/cm<sup>3</sup>, t = -36°C.

Das Magnetfeld wurde mit einem Autodynkerresonanzverfahren gemessen. In einigen Fällen wurde DPPH als Vergleichsprobe benutzt<sup>1</sup>.

Die ausführlichen Resultate und die Interpretation der Spektren werden in späteren Veröffentlichungen erörtert.

(Eingegangen am 19. April 1967)

<sup>1</sup> Für die Unterstützung dieser Arbeit danke ich Prof. A. Lösche und der DPR-Gruppe, Dr. H. Schmidt vom Physikalischen Institut; Dr. E. Uhlemann, Dr. H. Hennig vom Chemischen Institut der Karl-Marx-Universität in Leipzig; Prof. I. Ursu und der Gruppe des Festkörperslabors der Babeș-Bolyai Universität in Cluj.

## LITERATUR

1. Karl H. Haussner, Zeitschr. für Naturforsch., **14a**, 425 (1959).
2. Raymond Wilson and Daniel Kivelson, J. Chem. Phys., **44**, 4445 (1966), **44**, 4453 (1966), **1**, **44**, 154 (1966).
3. Gersman H. Ru. Swalen, J. D., J. Chem., **12**, 3221 (1962).
4. Mc Garvey, B., J. Phys. Chem., **61**, 1232 (1957).
5. Michael M. Malley, J. Mol. Spectroscopy, **17**, 210 (1965).
6. C. H. Altschuler u. K. A. Waliew, Z. Exp. i Teor. Fis., **35**, 947 (1958).
7. I. Riwkind, Z. fiz. Chim., **9**, 2099 (1961).
8. H. P. Fritz, B. Golla, H. J. Keller, Zeitschr. für Naturforsch., **21b**, Heft 2 (1966).
9. E. Uhlemann u. P. Fritzsche, Zeitschr. für anorg. allgem. Chem., **327**, 79 (1964), **328**, 180 (1964).
10. L. Wolf, H. Hennig, Z. allg. Chem., **329**, 301 (1964).
11. Robert Neiman, Daniel Kivelson, J. Chem. Phys., nr. 1, 156 (1961).
12. Combes A., Compt. rend. Acad. Sci., **108**, 1252 (1889).

**REZONANȚA ELECTRONICĂ DE SPIN LA UNII COMPUȘI CHELATICI AI Cu(II)  
CU  $\beta$ -DICETONE**

(Comunicare preliminară)

(Rezumat)

S-au studiat prin metoda RPIE un grup de chelați ai Cu(II) cu  $\beta$ -dicetone. Măsurători Röntgen și cristalo-optice au dus la rezultate concordante cu cele obținute prin metoda RPE.

S-au determinat condițiile optime de rezolvare a spectrelor în funcție de solvenți, concentrație și temperatură.

S-a pus în evidență structura hiperfină, hiperfină de liganzi extrahiperfină structura izotopică și niște semnale suplimentare care sunt atribuite unor tranziții „interzise”.

Dependența relaxării de temperatură și nr. cuantic magnetic nuclear a fost studiată într-un interval larg de temperaturi pentru mai mulți solvenți și substanțe.

S-a găsit o corespondență între metoda de cercetare RPE în pulbere de monocristale magnetic diluate și măsurătorile în soluții înghețate. S-a pus de asemenea în evidență în anumite condiții de temperatură un paralelism între măsurătorile RPE în pulbere magnetic nediluată și măsurătorile efectuate la temperaturi joase în diferență solvenți în funcție de concentrație.

Efecte de hidrogenare a nucleului benzenic, de substituire a funcției S cu N, indicații asupra coordonării suplimentare a Cu(II), „efecte sterice de liganzi”, paralelism între chelații bidentați și tetradentati etc., în sensul aplicării metodei RPE în chimie, au fost de asemenea urmărite și studiate.

Dependența largimii liniei și amplitudinilor de  $\left(\frac{\eta}{T}\right)$  a fost urmărită și în unele cazuri poate fi interpretată cu ajutorul interacțiunii spin rotațional.

Spectrele au permis determinarea parametrilor magnetici.

Interpretarea detaliată a rezultatelor va urma în comunicări ulterioare.

ЭЛЕКТРОННЫЙ ПАРАМАГНИТНЫЙ РЕЗОНАНС НЕКОТОРЫХ ХЕЛАТНЫХ  
СОЕДИНЕНИЙ Cu(II) с  $\beta$ -ДИКЕТОНАМИ

(Письмо в редакцию)

(Р е з ю м е)

Методом ЭПР изучена группа хелатов Cu(II) с  $\beta$ -дикетонами. Рентгеновские и кристаллологические измерения привели к результатам, соответствующим с результатами, полученными методом ЭПР.

Определены оптимальные условия решения спектров в зависимости от растворителей, концентрации и температуры.

Автор выявил сверхтонкую, гиперсверхтонкую и изотопную структуру и дополнительные сигналы, приписываемые некоторым „запрещённым“ переходам.

Зависимость релаксации от температуры и ядерного магнитного квантового числа была изучена в широком температурном интервале.

Установлено соответствие между методом исследования ЭПР в порошке магнитно разбавленных монокристаллов и измерениями в замороженных растворах. Выявлена также в определённых температурных условиях параллельность между измерениями ЭПР в магните концентратором порошке и измерениями, произведёнными при низких температурах в различных растворителях в зависимости от концентрации.

Изучены также эффекты гидрогенизации бензолового кольца, замещения функции  $S$  функцией  $N$ , получены сведения о дополнительной координации Cu(II), о стерических лигандных эффектах, о параллельности между бидентатными и тетрагидратантными хелатами и т.п., в смысле применения метода ЭПР в химии.

Зависимость ширины линии и амплитуда  $\left(\frac{\tau_0}{T}\right)$  была также прослежена и в некоторых случаях её можно интерпретировать с помощью спин-ротационального взаимодействия.

Спектры позволили определить магнитные параметры.

Подробная интерпретация результатов будет дана в последующих сообщениях.

## REZENZII

**Joachim Lambek, Lectures on Rings and Modules.** Blaisdell Publishing Company, Waltham, Massachusetts, Toronto-London, 1966. VIII + 184 pp.

The stated intent of the author is an introduction to the theory of associative rings and to the homological algebra. From the author's introduction: "The introductory Chapter One attempts to cover enough of the fundamental concepts of algebra to make these notes self-contained. Chapter Two contains selected results in the case of Boolean and other commutative rings, even if some of these results are treated in greater generality later. Chapter Three deals with the classical structure theory of associative rings, anything that can be done conveniently without the concept of "injectivity". In Chapter Four, injective modules and rings of quotients are studied in some detail. Chapter Five offers an introduction to homological algebra, culminating in a new technique for chasing squares." A more detailed idea of the contents of the book is given by the chapter titles and principal topics in each chapter. I. Fundamental concepts of algebra. 1. Rings and related algebraic systems; 2. Subrings, homomorphisms, ideals; 3. Modules, direct products, and direct sums; Classical isomorphism theorems. II. Selected topics on commutative rings. 1. Prime ideals in commutative rings; 2. Prime ideals in special commutative rings; 3. The complete ring of quotients of a commutative semiprime ring; 4. Rings of quotients of commutative semiprime rings; 5. Prime ideal spaces. III. Classical Theory of associative rings. 1. Primitive rings; 2. Radicals; 3. Completely reducible modules; 4. Com-

pletely reducible rings; 5. Artinian and Noetherian rings; 6. On lifting idempotents; 7. Local and semiperfect rings. IV. Injectivity and related concepts. 1. Projective modules; 2. Injective modules; 3. The complete ring of quotients; 4. Rings of endomorphisms of injective modules; 5. Regular rings of quotients; 6. Classical rings of quotients; 7. The Faith-Utumi Theorem. V. Introduction to homological algebra. 1. Tensor products of modules; 2. Hom and  $\otimes$  as functors; 3. Exact sequences; 4. Flat modules; Torsion and extension products. The book also gives a brief exposition of some recent work by Passmann and Connell on the group ring (Appendix 2) and includes an appendix by Connell himself (Appendix 3). This was published for the first time in book form. The same observation refers also to the concept of the complete ring of quotients of an arbitrary associative ring, which has emerged from the work by Johnson and Utumi. That has been applied to Goldie's Theorem on Noetherian prime rings. Each paragraph contains many exercises which contribute to the understanding of the theory and add to the theory itself. The book contains also a list of 182 references. The proofs are rigorous and elegant. The style is clear. The presentation is compact. Therefore the reading of the above book requires a great attention. Very few minor errors were encountered, all of a typographical nature. Although the author designs this book primarily for graduate students, it may be utilized in the research, too. The book has many special methodic and scientific qualities.

I. GY. MAURER



## CRONICĂ

### DEZVOLTAREA ÎN SERIE ÎNTREAGĂ A INVERSEI UNUI POLINOM

Rezumatul disertației susținute la 10 mai 1966, la Universitatea „Babeș—Bolyai” din Cluj,  
de NICOLAE V. GHIRCOIAȘU pentru obținerea titlului de doctor în matematică

Se consideră dezvoltarea în serie după puterile variabilei  $x$  a inversei unui polinom  $P(x)$  de gradul  $n$ , cu coeficienți reali

$$\frac{1}{P(x)} = \frac{1}{(1 - a_1x)(1 - a_2x) \dots (1 - a_nx)} = 1 + p_1x + p_2x^2 + \dots + p_rx^r + \dots \quad (1)$$

unde  $a_1, a_2, \dots, a_n$  sunt inversele rădăcinilor polinomului  $P(x)$ , iar  $p_r$  este funcția simetrică și omogenă de gradul  $r$

$$p_r = \sum a_1^{i_1} a_2^{i_2} \dots a_n^{i_n},$$

suma extinzindu-se la toate valorile intregi nenegative ale indicilor  $i_1, i_2, \dots, i_n$ , așa că  $i_1 + i_2 + \dots + i_n = r$ .

Problemele fundamentale din lucrare sunt de a găsi condițiile ce trebuie să impună numerelor  $a_1, a_2, \dots, a_n$  pentru ca toți coeficienții  $p_r$  să fie pozitivi începând cu un anumit rang.

**CONDIȚIA N.** Condiția necesară pentru ca seria de părți (1) să aibă coeficienți nenegativi, este ca una dintre rădăcinile cu cel mai mic modul ale polinomului  $P(x)$  să fie pozitivă.

Rezultatele mai importante se obțin cu ajutorul unui șir de teoreme, dintre care amintim

**TEOREMA A.** Dacă rădăcinile polinomului  $P(x)$  sunt toate reale și Condiția N este îndeplinită, din dezvoltarea (1) se poate scădea un polinom astfel încât seria rămasă să aibă numai coeficienți nenegativi. Se dă o metodă pentru determinarea gradului polinomului care se scade.

**TEOREMA B.** Dacă pentru polinomul  $P(x)$  este îndeplinită Condiția N, din dezvoltarea (1) se poate scădea un polinom, astfel încât seria rămasă să aibă numai coeficienți nenegativi, dacă inversele rădăcinilor complexe ale polinomului  $P(x)$  se găsesc într-o vecinătate a originii.

În ultima parte a lucrării se dau aplicații referitoare la convergența seriilor cu termenii date de o relație de recurență liniară, rezolvîndu-se și problema nr. 4698 propusă în „Gazeta matematică” București (1935) de către acad. T. Popoviciu, de la care a pornit lucrarea. Se generalizează de asemenea unele rezultate referitoare la rădăcinile secțiunilor seriei (1), rezultate obținute de I. Agnerre, M. Hermănescu, N. Obrechhoff, T. Popoviciu și L. Techakaloff.

#### CONDUCĂTOR ȘTIINȚIFIC:

Acad. prof. GEORGE CĂLUGĂREANU  
REFERENȚI:

- Prof. dr. ELENA MURGUROESCU (Institutul politehnic București).
- Prof. dr. docent DUMITRU V. IONESCU (Universitatea din Cluj).
- Prof. dr. docent ADOLF HAIMOVICI (Universitatea din Iași).

**Sedințe de comunicări ale Facultăților de Matematică-mecanică și Fizică în 1966.**

11 ianuarie

P. Mocanu, Despre stelaritatea și convexitatea funcțiilor olomorfe.

I. Stan, I. Pop, Mișcarea unui fluid viscos în prezența unui cimp magnetic.

23 februarie

Al. Bădi, O nouă metodă de măsurare a constantei dielectricre în ghizi de microonde.

M. Cristea, I. Stan, I. Pop, Influența variației cimpului magnetic asupra undelor Alfreu.

M. Popescu, Asupra manualului de fizică al lui Emanoil Bacaloglu.

2 martie

I. Pop, I. Cosma, Antiferomagnetismul aliajelor de Ni-Cu.

A. Moju, L. Stănescu, L. Maxim, Studiu structural al sistemului de  $\text{BeO}-\text{Cr}_2\text{O}_3$ .

G. Cristea, Compuși semiconductori din grupa  $\text{Al}_{III}\text{B}_{IV}$ .

9 martie

F. Constantinescu, V. Militaru, Producția de entropie în fenomenul de polarizare dinamică a electronilor.

Cristea G., Semiconductori de grupa  $\text{A}_{III}\text{B}_V$  (Preparare sub formă de monocristale).

11 martie

Gh. Pie, Despre o teoremă a lui Vl. Diab.

L. Munteanu, Aplicații complet compacte între spații uniforme.

16 martie

I. Ursu, I. Barbu, Studiu prin rezonanță electronică de spin a defectelor produse prin iradiere gama în compuși cu azot și sulf.

P. Ciocară, Luerul de extracție. Informare.

23 martie

E. Magyari, I. Laufer, O problemă referitoare la teoria cimpului.

G. Cristea, Semiconductori din grupa  $\text{A}_{III}\text{B}_V$ , Preparare sub formă de monocristale.

30 martie

F. Puskás, G. Ilonca, O instalație pentru măsurarea rezistenței electrice și a constantei Hall la semiconductori, în regim de impulsuri.

8 aprilie

F. Radó, Cîteva probleme din teoria țesuturilor.

C. Kalik, P. Szilgyi, Probleme Dirichlet de tip Noether.

I. Kolumbán, Despre cîteva probleme de aproximare optimă.

13 aprilie

V. Mercea, Constanțuirea internațională de spectrometrie de masă (Viena, 28. III – 2. IV, 1966).

20 aprilie

V. Cristea, Creșterea monocristalelor de rutil aliat cu niobiu și studiul proprietăților lor electrice (Expunere. Teza de doctorat susținută la Universitatea din Leningrad în 1965).

4 mai

Al. Bădi, R. Baican, Măsurarea constantei dielectricre complexe și a susceptibilității magnetice complexe în cavități de rezonanță dreptunghiulare la frecvențe foarte înalte.

V. Mihăilescu, G. Cristea, Al. Nicula, Influența cimpului cristalin asupra despicării nivelelor energetice a ionului de  $\text{V}^{3+}$ .

A. Cișman (Universitatea Timișoara), Fenomene de stratificare spontană la pături subțiri depuse electrolitic.

6 mai

A. Lösche (Universitatea „Karl Marx” din Leipzig), Paramagnetic Investigations of Doped Crystals.

13 mai

D. Stancu, Limbaje de programare automată.

M. Rădulescu, Proprietăți ale primitivei.

M. Jaleoreanu, Asupra ordonării parțiale a grupurilor.

20 mai

C. A. Hogarth (Colegiul Brunel-Londra), Dezvoltarea învățământului științelor fizice la Colegiul Brunel.

1 iunie

I. Ursu, Unele aspecte ale cerecărilor de fizică din R. S. F. Iugoslavia.

I. Barbu, Lucrările celui de al II-lea Simpozion de chimia radiațiilor, Tihany (Ungaria), 1966.

F. Kelemen, E. Cristea (I.F.B.), A. Nedea, D. Niculescu (I.F.B.), Conductivitatea termică și electrică a CdTe și a unor soluții de CdTe, CdS, CaTe, CdSe.

8 iunie

I. Pop, G. Ilonca, Efectul Hall în aliaje de Ni-Sn.

R. Baican, C. Bălintffy, A. Bădi, Măsurarea unor parametri ai feritelor de tipul a  $(\text{Fe}_2\text{O}_3)_{1-x} + b(\text{Cr}_2\text{O}_3) + X_1(\text{NiO}) + X_2(\text{ZnO})$  în banda X.

10 iunie

G. Călugăreanu, Asupra separateelor pe suprafete închise.

I. A. Rus, Asupra problemei lui Dirichlet.

21 iulie

D. Demec, Deplasarea de frecvență în aproximarea Born cea mai joasă.

D. Demec, F. Constantinescu, Relații de dispersie între tempi de relaxare, deplasări de frecvență.

L. Constantinescu (I.F.A.-Cluj), Intensitatea linilor tranzităilor interzise.

11 noiembrie

G. Călugăreanu, Congresul Internațional al Matematicienilor de la Moscova.

Gh. Chiș, A. Păl, T. Oproiu, Variația elementelor orbitale ale sateliților artificiali.

I. Kolumbán, Despre o teoremă a lui I. Singer.

9 decembrie

COMEMORAREA PROFESORILOR N. ABRAMESCU SI GH. BRATU. Au luat cuvințul acad. prof. G. Călugăreanu, acad. prof. C. Iacob, prof. D. V. Ionescu, prof. Gh. Chiș.

I. Gy. Maurer, Despre o afirmație a lui D. van Dantzig.

I. Pop, Asupra stratului limită nestaționar din jurul unui corp.

**Participări la manifestări științifice din străinătate în 1966. (Facultatea de matematică-mecanică).**

COLOCVIUL DE ECUAȚII FUNCȚIONALE DIN MISKOLC (R. P. UNGARĂ), 23–25 MAI.

Prof. D. V. Ionescu, Sur quelques extensions de l'équation fonctionnelle de D. Pompeiu.

Lect. I. Gy. Maurer – asist. M. Szilágyi, Über eine Untergruppentopologie der Operatorgruppen.

CONGRESUL INTERNATIONAL AL MATHEMATICIENILOR DE LA MOSCOVA, 16–26 AUGUST.

Acad. prof. G. Călugăreanu, Sur les courbes fermées tracées sur une surface fermée orientable.

Acad. prof. T. Popoviciu, Conservation de l'allure des fonctions par interpolation.

Conf. P. Mocanu, Sur les propriétés d'étoilement de la représentation conforme.

Conf. E. Popoviciu, Sur l'étude comparative des ensembles interpolateurs.

Lect. A. Ney, Un processus infini généralisé et ses applications au calcul numérique.

COLOCVIUL EQUADIFF-2, BRATISLAVA, 1–7 SEPTEMBRIE.

Acad. prof. T. Popoviciu, Remarques sur un critère de comparaison des équations différentielles ordinaires au point de vue de leurs propriétés interpolatoires.

COLOCVIUL DE TEORIA FUNCȚIILOR SI TOPOLOGIE, CRACOVIA, SEPTEMBRIE. Conf. P. Mocanu, Sur les fonctions univalentes.

SIMPOZIONUL INTERNATIONAL ÎN PROBLEMA „CERCETĂRI ȘTIINȚIFICE CU AJUTORUL OBSERVĂRII SATELIȚIILOR ARTIFICIALE AI PĂMÂNTULUI”, POTSDAM, 21–28 OCTOMBRIE.

Prof. Gh. Chiș, conf. A. Pál, cireet. T. Oproiu, Oprědelenie nekotorej elementov orbiti sputnika Kosmos-44 iz nablidenií, provedenih v programě „Interobs”.

\*

Prof. D. V. Ionescu a ținut următoarele conferințe în R.S. Cehoslovacă, mai 1966:

– Reprezentarea diferențelor divizate prin integrale definite (19 mai, Universitatea din Praga).

– Resturile formulei de quadratură a lui Gauss și P. Turán (20 mai, Universitatea din Brno).

Conf. C. Kalik a fost în U.R.S.S., pentru documentare, între 15 septembrie–15 noiembrie.

Asist. I. Purdea a fost la Universitatea din Moscova, pentru specializare, între 22 octombrie–22 decembrie.

Asist. I. A. Rus a fost trimis pentru specializare la Universitatea din Lund (Suedia), pe timp de 8 luni (octombrie 1966–iunie 1967).

**Participări la manifestări științifice din țară.**

SESIUNEA DE COMUNICĂRI ȘTIINȚIFICE ÎNCHINATĂ CELEI DE A 45-A ANIVERSĂRI A P.C.R., CLUJ, 6 MAI.

G. Călugăreanu, Asupra unor transformări în spații metrice.

D. V. Ionescu, Aplicarea unor formule de cubatură la calculul cu aproximație dată a unei integrale duble.

P. Mocanu, Asupra proprietăților de concavitate și stelaritate a transformărilor conforme.

F. Radó, Despre o schemă generală de calcul privind o clasă de probleme de optim.

A DOUA SESIUNE ȘTIINȚIFICĂ A TINERETULUI, BUCURESTI, 20–22 MAI.

I. Pop, Seurgerea nestaționară din jurul unui disc rotitor în prezență unui câmp magnetic.

I. Purdea, Generalizarea produsului a două relații binare.

SIMPOZIONUL DE CIBERNETICĂ ORGANIZAT DE FILIALA DIN CLUJ A S.S.M. LA TIMIȘOARA, MAI.

E. Popoviciu, Aplicațiile matematice în medicină.

SESIUNEA ȘTIINȚIFICĂ A INSTITUTULUI PEDAGOGIC DE 3 ANI DIN ORADEA, 14–15 MAI.

A. Ney, Despre serii în spații ordonate.

I. Marușcia, Infrapolinoame și legătura lor cu derivata unui polinom.

AL III-LEA CONGRES INTERBALCANIC AL MATEMATICIENILOR, BUCURESTI, 12–19 SEPTEMBRIE.

G. Călugăreanu, Sur les générateurs du groupe d'un noeud.

T. Popoviciu, Une formule de moyenne de N. Ciorănescu et certaines généralisations de la formule de Simpson.

Gh. Chiș, Aspecte ale învățământului astronomiei în liceu.

Gh. Pie, Sur la notion de complément dans les réticules (lattices) distributifs.

C. Kalik – P. Szilágyi, Despre problema lui Dirichlet pentru sisteme tare eliptice.

P. Mocanu, Sur la géométrie de la représentation conforme.

E. Popoviciu, Observations sur l'approximation des fonctions continues.

*F. Radó, B. Orbán*, Interprétation géométrique de quelques propriétés extrémiales et application à l'étude de l'erreur globale des nomogrammes à points alignés.

*F. Radó*, Le demi-anneau des endomorphismes d'un semigroupe et son application à la résolution d'un problème d'ordonnancement généralisé.

*A. Turcu, T. Petrilă*, Sur les vibrations dans les châteaux d'équilibre.

*P. Enghis, P. Sandovici, M. Tarină*, Sur le groupe des mouvements des espaces  $V_{2N}$  qui admet N champs de vecteurs isotopes parallèles.

*M. Frenkel*, Contribuții la studiul unor polinoame minimizante.

*I. Marușciac*, Infrapolinomi i ekstremalnie rešenja differentjalnih uravnenij.

*I. Gy. Maurer, I. Virág*, Sur le théorème de Cayley concernant les groupes finis.

*I. Gy. Maurer, M. Szilágyi*, Sur quelques topologies définies sur l'ensemble des applications univoques d'un ensemble dans un groupe d'opérateurs.

*I. Munteanu*, Sur la convergence quasi-uniforme.

*A. Ney*, Sur la rapidité de convergence de quelques compléments concernant la théorie classique des séries.

*M. Rădulescu*, Ob odnoi obobșenii ponatie integrali.

*E. Schechter*, Convergence Considerations for a Second Order Method of Approximate Solution of Parabolic Equations.

*M. Tarină*, Espaces  $A_n$  sous-projectifs à groupe maximum de mouvements.

*I. Kolumbán*, Despre o problemă de aproximare optimă.

*Gr. Moldovan*, Asupra aproximării funcțiilor de două variabile prin polinoamile lui Bernstein.

*P. Pavel*, Asupra unei formule de cuaadratură de tip Turán.

*I. Pop*, Asupra stratului limită nestaționar din apropierea unui disc rotitor.

*M. Schechter*, Relations de préordre.

SESIUNEA GENERALĂ ȘTIINȚIFICĂ A ACADEMIEI REPUBLICII SOCIALISTE ROMÂNIA CU OCAZIA CENTENARULUI ACADEMIEI, BUCUREȘTI, 21–24 SEPTEMBRIE.

*T. Popoviciu*, Asupra unor probleme de analiză numerică.

*E. Popoviciu*, Multimi de funcții care au proprietate de interpolare.

COLOCVIUL „MODELE ȘI METODE MATEMATICI APPLICABILE ÎN PRACTICĂ”, BRAȘOV, 23–26 SEPTEMBRIE.

*D. V. Ionescu*, Metode matematice noi de integrare a ecuațiilor diferențiale de tip Adams.

*F. Radó*, O generalizare a problemelor de ordonanțare.

*E. Schechter*, Metode explicite și implice pentru integrarea numerică a ecuațiilor de tip parabolic.

*Gh. Micula*, O formulă de cuaadratură cu cinci noduri cu gradul de exactitate 5.

COLOCVIUL „APLICAȚII ALE TEORIEI FUNCȚIILOR COMPLEXE ÎN MECANICA MECIILOR CONTINUE”, SINAIȚA, 6–9 OCTOMBRIE.

*I. Pop*, Asupra stratului limită periodic tri-dimensional.

SEMINARUL „METODE MATEMATICI ÎN ORGANIZAREA ȘTIINȚIFICĂ A PRODUCȚIEI”, BUCUREȘTI, 14–17 NOIEMBRIE.

*F. Radó, L. Németh*, Programarea în timp a fabricației.

### Vizite.

Facultatea de Matematică-mecanică a fost vizitată în anul 1966 de următorii oameni de știință din străinătate.

3 iunie

Conf. dr. András Kósa (Budapesta).

5–8 iunie

Conf. dr. Sándor Gacsályi (Debrețin).

Conf. dr. Edit Lánczy (Budapesta).

17–19 iunie

Prof. I. D. Jongorici (Leningrad).

Dr. V. V. Lavrovski (Observatorul astronomic Pulkovo).

Dr. V. M. Sobolev (Observatorul astronomic Pulkovo).

14 octombrie

Prof. dr. Iosif Kleczec (Praga).

19 octombrie

Prof. dr. Ákos Császár (Budapesta).

22–26 decembrie

Prof. dr. M. Altmann (Varșovia).

Cerc. dr. I. Plonka (Wroclaw).

Asist. S. Fajtlowicz (Wroclaw).



43875

Abonament anual: 20 lei seria, 160 lei toate seriile. Abonamentele se fac la oficiile postale, prin factorii poștali și difuzorii voluntari din întreprinderi și instituții.

**Prețul 10 lei**